

สำนักพิมพ์ของในพระเจนและท่อส่วนในทำด้วยความหลากหลายของงานร่าง  
สีเขียวแก่น้ำเงิน ในว่างเด็บบันน์น้ำเงินและสีฟ้า ปี 2544

ชาร์เกียร์ดี้ แซ่ตัน

วิทยาศาสตรมหาบัณฑิต  
สาขาวิชาชีววิทยา

บัณฑิตวิทยาลัย  
มหาวิทยาลัยเชียงใหม่  
มีนาคม 2546

19 ส.ค. 2547



โครงการพัฒนาองค์ความรู้และศึกษาเรียนรู้การจัดการทรัพยากรัฐวิสาหกิจในประเทศไทย  
c/o ศูนย์พัฒนาระบบและเทคโนโลยีชีวภาพแห่งชาติ  
อาคารสำนักงานพัฒนาธุรกิจภาคตะวันออกและภาคใต้ในโลหะแห่งชาติ  
73/1 ถนนพระรามที่ 6 แขวงราษฎร์  
กรุงเทพฯ 10400

เอกสารฉบับนี้

จัดทำเพื่อการนำเสนอในสังเวชนีย์

เดือนสิงหาคม พ.ศ.

สหสมพันธ์ของในโทรศัพท์และฟอร์มในสำนักงาน  
สีเปียวแกมน้ำเงิน ในอ่างเก็บน้ำเบื้องหนึ่งจัดสมบูรณ์ชล ปี 2544

ขจรเกียรติ แซ่ตัน

วิทยานิพนธ์นี้เสนอต่อนักศึกษาด้วยเพื่อเป็นส่วนหนึ่ง  
ของการศึกษาตามหลักสูตรปริญญา  
วิทยาศาสตรมหาบัณฑิต  
สาขาวิชาชีววิทยา

บัณฑิตวิทยาลัย  
มหาวิทยาลัยเชียงใหม่  
มีนาคม 2546

สาหสัมพันธ์ของในโครงเงนและฟอสฟอรัสในน้ำต่อความหลากหลายของสาหร่าย  
ลีเชียวน้ำเงิน ในอ่างเก็บน้ำเขื่อนแม่น้ำแม่กลอง ปี 2544

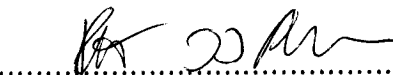
ขจรเกียรติ แซ่ตัน

วิทยานิพนธ์นี้ได้รับการพิจารณาอนุมัติให้นับเป็นส่วนหนึ่งของการศึกษา<sup>๑</sup>  
ตามหลักสูตรปริญญาวิทยาศาสตรมหาบัณฑิต  
สาขาวิชาชีววิทยา

คณะกรรมการสอบวิทยานิพนธ์

.....ประธานกรรมการ  
รองศาสตราจารย์ ดร. ศิริเพ็ญ ไชยวิภาพร

.....กรรมการ  
ผู้ช่วยศาสตราจารย์ ดร. บุญสม วรاءอกคิริ

.....กรรมการ  
รองศาสตราจารย์ ดร. ชาโลบด วงศ์สวัสดิ์

25 มีนาคม 2546

© ลิขสิทธิ์ของมหาวิทยาลัยเชียงใหม่

## กิตติกรรมประกาศ

วิทยานิพนธ์นี้สำเร็จลงได้ด้วยความกรุณาจาก รองศาสตราจารย์ ดร.ศิริเพญ ตรัยไชยapiro อาจารย์ที่ปรึกษาวิทยานิพนธ์ ผู้ซึ่งกรุณาให้ความรู้ คำแนะนำ คำปรึกษา และตรวจแก้ไขจนวิทยานิพนธ์เสร็จสมบูรณ์ ผู้เขียนขอกราบขอบพระคุณเป็นอย่างสูง

ขอกราบขอบพระคุณ ผู้ช่วยศาสตราจารย์ ดร. บุญสม วราเอกศิริ และรองศาสตราจารย์ ดร. ชาโลนล วงศ์สวัสดิ์ ที่กรุณาให้คำแนะนำและตรวจสอบวิทยานิพนธ์ให้สมบูรณ์ยิ่งขึ้น

ขอกราบขอบพระคุณ คุณพ่อชุ่นเหลียง – คุณแม่ฟูกหญิง แซ่ตัน คุณพรศักดิ์ กิตติชนม์วรกุล คุณจินต์นิภา กิตติชนม์วรกุล คุณฐิติพร แซ่ตัน ที่เป็นกำลังใจและให้ความช่วยเหลือในการศึกษา ด้วยดีตลอดมา

ขอกราบขอบพระคุณ อาจารย์อัคศักดิ์ ภูมิวงศ์ ผู้ซึ่งแนะนำทางในการศึกษาร่วมทั้งคำแนะนำ ที่ดีตลอดมา

ขอกราบขอบพระคุณ อาจารย์ ดร.พันทวี มาไฟโรมัน์ และ รองศาสตราจารย์ ดร. อารยา ชาติเสถียร ที่ให้ความอนุเคราะห์ด้านเครื่องมือวิเคราะห์คุณภาพน้ำและคำแนะนำในการวิเคราะห์ ข้อมูลทางสถิติ ขอขอบพระคุณ Dr. Stephen Elliott ที่ช่วยตรวจแก้ไขบทคัดย่อภาษาอังกฤษให้สำเร็จสมบูรณ์

ขอขอบคุณ คุณปิยะ อรุณแสงทอง เจ้าหน้าที่งานส่งน้ำและบำรุงรักษากทท. 3 เขื่อนแม่จัด สมบูรณ์ชล ที่ให้ความอนุเคราะห์ข้อมูลปริมาณน้ำฝน ปี 2544

ขอขอบคุณ คุณวิเวท สิทธิเทพ คุณปราณี ปาลี คุณวุฒินันท์ ศิริรัตนวรร庄 คุณทวีเดช ไชยนาพงษ์ คุณพรศิริ ตู้ลารักษ์ คุณพงศ์ศรีผลย์ จันทร์ชุม คุณจุฑามณฑก ศาลางาม คุณชินuma ปั่นเกตุ คุณตรัพย์นา เขาดวนปรีชา รวมถึงผู้ที่เกี่ยวข้องทุกท่านที่ให้คำแนะนำและความช่วยเหลือ ในการทำการวิจัยด้วยดีตลอดมา

ผลงานวิจัยนี้ได้รับทุนสนับสนุนจาก โครงการพัฒนาองค์ความรู้และศึกษาよいบำบัด การจัดการทรัพยากรชีวภาพในประเทศไทย ซึ่งร่วมจัดตั้งโดยสำนักงานกองทุนสนับสนุนการวิจัยและศูนย์พันธุวิศวกรรมและเทคโนโลยีชีวภาพแห่งชาติ รหัสโครงการ BRT T\_145010

ขอเรียนรู้ด้วยดี แซ่ตัน

T-145010

ชื่อเรื่องวิทยานิพนธ์

สหสัมพันธ์ของไนโตรเจนและฟอสฟอรัสในน้ำต่อความหลากหลายของสาหร่าย  
สีเขียวแกมน้ำเงินในอ่างเก็บน้ำเขื่อนแม่จัดสมบูรณ์ชล  
ปี 2544

ผู้เขียน

นาย บรรเกียรติ์ แซ่ตัน

ปริญญา

วิทยาศาสตรมหาบัณฑิต (ชีววิทยา)

อาจารย์ที่ปรึกษาวิทยานิพนธ์

รองศาสตราจารย์ ดร. ศิริเพ็ญ ตรัยไชยพร

#### บทคัดย่อ

การศึกษาสหสัมพันธ์ของไนโตรเจนและฟอสฟอรัสในน้ำต่อความหลากหลายของสาหร่าย  
สีเขียวแกมน้ำเงินในอ่างเก็บน้ำเขื่อนแม่จัดสมบูรณ์ชล ปี 2544 พบรากурсท์สาหร่ายสีเขียวแกมน้ำเงิน 3  
อันดับ 4 วงศ์ 13 สกุล และ 22 ชนิด ได้แก่ 1) *Anabaena* sp.1, 2) *Anabaena* sp.2,3) *Aphanocapsa koordersi* Strom, 4) *Aphanothece* sp., 5) *Chroococcus minutus* (Kutzing) Naegeli, 6) *Chroococcus turgidus* (Kutzing) Naegeli, 7) *Chroococcus* sp., 8) *Cylindrospermopsis raciborskii* (Wolosz) Seenayya & Subba, 9) *Cylindrospermopsis philippinensis* (Taylor) Ka., 10) *Dactylococcopsis fascicularis* Lemmermann, 11) *Lyngbya limnetica* Lemmermann, 12) *Merismopedia minima* Beck, 13) *Merismopedia punctata* Meyen, 14) *Microcystis aeruginosa* Kutz, 15) *Myxosarcina spectabilis* Geitler, 16) *Oscillatoria angustissima* West & West, 17) *Oscillatoria prolifica* (Greville) Gomont, 18) *Oscillatoria splendida* Greville.ex Gomont, 19) *Oscillatoria* sp., 20) *Raphidiopsis curvata* Fritsch & Rich, 21) *Raphidiopsis mediterranea* Skuja และ 22) *Spirulina* sp.  
สาหร่ายสีเขียวแกมน้ำเงินที่เป็นชนิดเด่น คือ *Lyngbya limnetica* และ *Raphidiopsis curvata* โดย  
จำนวนชนิดและปริมาณสาหร่ายสีเขียวแกมน้ำเงินมีแนวโน้มลดลงตามระดับความลึกที่เพิ่มขึ้น  
ซึ่งสาหร่ายสีเขียวแกมน้ำเงินส่วนใหญ่มีการแพร่กระจายอยู่ที่ระดับความลึก 0.30 – 10.00 m  
ผลการศึกษาคุณภาพน้ำทางด้าน กายภาพ เกมีและชีวภาพ พบร่วมค่าดังนี้ ความลึกของน้ำ 15.85 –

35.81 m ความโปรดังใจของน้ำ 1.73 – 4.63 m อุณหภูมิอากาศ 21.33 – 32.00 °C อุณหภูมน้ำ 24.05 – 29.57 °C ความเป็นกรด-ค้าง 5.51 – 8.30 ความนำไฟฟ้า 86.31 – 115.00  $\mu\text{S}/\text{cm}$  ปริมาณออกซิเจนละลายน้ำ 0 – 5.83 mg/L แอมโมเนียในไตรเจน 0.0115 – 0.0902 mg/L ในไตรท์ในไตรเจน 0.0019 – 0.0060 mg/L ในเตรทไนไตรเจน 0.0081 – 0.0643 mg/L Kjeldahl ในไตรเจน 0.0438 – 0.2924 mg/L ในไตรเจนรวม 0.0586 – 0.3123 mg/L ออร์โธฟอสเฟตฟอสฟอรัส 0.60 – 4.98  $\mu\text{g}/\text{L}$  ฟอสฟอรัสร่วม 5.62 – 14.01  $\mu\text{g}/\text{L}$  อัตราส่วนของไนไตรเจนและฟอสฟอรัส 4.46 – 55.17 และปริมาณคลอโรฟิลล์ เอ  $1.480 - 9.285 \times 10^{-3} \mu\text{g}/\text{L}$  ชั้นอุณหภูมน้ำ ความเป็นกรด-ค้างปริมาณออกซิเจนละลายน้ำ และปริมาณคลอโรฟิลล์ เอ มีแนวโน้มลดลงตามระดับความลึกที่เพิ่มขึ้น แต่ความนำไฟฟ้า แอมโมเนียในไตรเจน ในไตรท์ในไตรเจน ในเตรทไนไตรเจน Kjeldahl ในไตรเจน ในไตรเจนรวม ออร์โธฟอสเฟตฟอสฟอรัส ฟอสฟอรัสร่วม และอัตราส่วนของไนไตรเจนและฟอสฟอรัส มีแนวโน้มเพิ่มขึ้นตามระดับความลึกที่เพิ่มขึ้น อย่างไรก็ตามคุณภาพน้ำมีค่าอยู่ในเกณฑ์มาตรฐานคุณภาพน้ำผิวดินในทุกระดับความลึก การวิเคราะห์ทดสอบพันธุ์ระหว่างสาหร่ายสีเขียวแกมน้ำเงินกับอัตราส่วนของไนไตรเจนและฟอสฟอรัส พนวจว่าสาหร่ายสีเขียวแกมน้ำเงินไม่มีความสัมพันธ์กับอัตราส่วนของไนไตรเจนและฟอสฟอรัสแต่มีความสัมพันธ์เปรียบเทียบกับอุณหภูมน้ำ ( $r = 0.588$ ) และเปรียบเทียบกับปริมาณแอมโมเนียในไตรเจน ( $r = -0.506$ ) ในเตรทไนไตรเจน ( $r = -0.545$ ) และในไตรเจนรวม ( $r = -0.525$ ) ที่ระดับความเชื่อมั่น 95% ผลการประเมินคุณภาพน้ำในอ่างเก็บน้ำเขื่อนแม่น้ำจัดสมบูรณ์ชุด โดยพิจารณาจากค่าความลึกที่แสงส่องถึงในไตรเจนรวม ฟอสฟอรัสร่วม และปริมาณคลอโรฟิลล์ เอ สามารถจัดอยู่ในประเภทแหล่งน้ำที่มีปริมาณสารอาหารน้อย (Oligotrophic status) และหากจัดลำดับคุณภาพน้ำตามคณิตกรรมการตั้งไว้ด้านล่างแห่งชาติสามารถจัดอยู่ในประเภทที่ 2 สามารถนำไปใช้ในการอุปโภคส่วนการบริโภคควรผ่านกระบวนการกำนั้นก่อน

**Thesis Title** Correlation of Nitrogen and Phosphorus in Water on Diversity  
of Blue-Green Algae in the Mae Ngat Somboonchol Dam Year 2001

**Author** Mr. Khajornkiat Saeton

**Degree** Master of Science (Biology)

**Thesis Advisor**  
Associate Prof. Dr. Siripen Traichaiyaporn

### **Abstract**

The study of correlation of nitrogen and phosphorus in water on diversity of blue-green algae in the Mae Ngat Somboonchol dam. As a result the blue-green algae composed of 3 orders, 4 families, 13 genera and 22 species: 1) *Anabaena* sp.1, 2) *Anabaena* sp.2,3) *Aphanocapsa koordersi* Strom, 4) *Aphanothece* sp., 5) *Chroococcus minutus* (Kutzing) Naegeli, 6) *Chroococcus turgidus* (Kutzing) Naegeli, 7) *Chroococcus* sp., 8) *Cylindrospermopsis raciborskii* (Wolosz) Seenayya & Subba, 9) *Cylindrospermopsis philippinensis* (Taylor) Ka., 10) *Dactylococcopsis fascicularis* Lemmermann, 11) *Lyngbya limnetica* Lemmermann, 12) *Merismopedia minima* Beck, 13) *Merismopedia punctata* Meyen, 14) *Microcystis aeruginosa* Kutz, 15) *Myxosarcina spectabilis* Geitler, 16) *Oscillatoria angustissima* West & West, 17) *Oscillatoria prolifica* (Greville) Gomont, 18) *Oscillatoria splendida* Greville.ex Gomont, 19) *Oscillatoria* sp., 20) *Raphidiopsis curvata* Fritsch & Rich, 21) *Raphidiopsis mediterranea* Skuja and 22) *Spirulina* sp. The blue-green algae were condense distribution at 0.30 – 10.00 meters. The dominant species were *Lyngbya limnetica* and *Raphidiopsis curvata*. For water quality in every depth, with in the results were in safety range in water quality of surface water standard. Correlation analysis showed that the blue-green algae was negatively correlated with ammonia

γ

nitrogen, nitrate nitrogen and Total nitrogen at significant level 95%. Assessment of water quality in the Mae Ngat Somboonchol dam by Total nitrogen, Total phosphorus, Secchi depth and Chlorophyll a indicated low nutrient (Oligotrophic status) and assessment of water quality by National Environment Committee Announcement indicated that it was in the second category. The water could be consumed, however, for drinking purpose it had to be treated.

## สารบัญ

	หน้า
<b>กิตติกรรมประกาศ</b>	ก
<b>บทคัดย่อ</b>	๑
<b>Abstract</b>	๒
<b>สารบัญตาราง</b>	๓
<b>สารบัญภาพ</b>	๔
<b>อักษรย่อและสัญลักษณ์</b>	๕
<b>บทที่ ๑ บทนำ</b>	๑
<b>บทที่ ๒ ทบทวนเอกสาร</b>	๓
<b>บทที่ ๓ อุปกรณ์และวิธีการศึกษา</b>	๑๕
<b>บทที่ ๔ ผลการศึกษา</b>	๒๒
<b>บทที่ ๕ อภิปรายผลการศึกษา</b>	๙๙
<b>บทที่ ๖ สรุปผลการศึกษา</b>	๑๑๖
<b>บรรณานุกรม</b>	๑๑๙
<b>ภาคผนวก</b>	
<b>ภาคผนวก ก ชนิด ปริมาณและการแพร่กระจายของสาหร่ายสีเขียวแกมน้ำเงิน</b>	๑๒๔
<b>ภาคผนวก ข คุณภาพน้ำทางกายภาพ – เคมีและชีวภาพ</b>	๑๓๑
<b>ภาคผนวก ค ผลการวิเคราะห์ทางสถิติของสาหร่ายสีเขียวแกมน้ำเงินและคุณภาพน้ำ</b>	๑๓๘
<b>ภาคผนวก ง มาตรฐานคุณภาพน้ำ</b>	๑๕๘
<b>ประวัติผู้เขียน</b>	๑๖๔

## สารบัญตาราง

ตาราง	หน้า
1 ชนิดและการแพร่กระจายของสาหร่ายสีเขียวแกมน้ำเงินในต่างระดับความลึก	23
2 การเปรียบเทียบค่าเฉลี่ยชนิดและปริมาณสาหร่ายสีเขียวแกมน้ำเงิน แต่ละระดับความลึก	35
3 การเปรียบเทียบค่าเฉลี่ยชนิดและปริมาณสาหร่ายสีเขียวแกมน้ำเงิน แต่ละจุดเก็บตัวอย่าง	35
4 การเปรียบเทียบค่าเฉลี่ยชนิดและปริมาณสาหร่ายสีเขียวแกมน้ำเงินแต่ละเดือน	35
5 การเปรียบเทียบค่าเฉลี่ยคุณภาพน้ำทางกายภาพแต่ละจุดเก็บตัวอย่าง	44
6 ปริมาณน้ำฝน	45
7 สัมประสิทธิ์สหสัมพันธ์ (correlation coefficient) ของปริมาณน้ำฝนกับความลึก อุณหภูมิอากาศ ความโปร่งใสของน้ำและอุณหภูมน้ำ	45
8 การเปรียบเทียบค่าเฉลี่ยคุณภาพน้ำทางกายภาพแต่ละเดือน	47
9 การเปรียบเทียบค่าเฉลี่ยคุณภาพน้ำทางกายภาพและเคมีแต่ละระดับความลึก	50
10 การเปรียบเทียบค่าเฉลี่ยคุณภาพน้ำทางเคมีแต่ละจุดเก็บตัวอย่าง	55
11 การเปรียบเทียบค่าเฉลี่ยคุณภาพน้ำทางเคมีแต่ละเดือน	56
12 การเปรียบเทียบค่าเฉลี่ยคุณภาพน้ำทางชีวภาพแต่ละระดับความลึก	95
13 การเปรียบเทียบค่าเฉลี่ยคุณภาพน้ำทางชีวภาพแต่ละจุดเก็บตัวอย่าง	95
14 การเปรียบเทียบค่าเฉลี่ยคุณภาพน้ำทางชีวภาพแต่ละเดือน	95
15 ชนิดและปริมาณ ( $\text{จำนวน} \times 10^3 \text{ No./L}$ ) ของสาหร่ายสีเขียวแกมน้ำเงิน ในต่างระดับความลึก	125
16 คุณภาพน้ำทางกายภาพ เคมีและชีวภาพในต่างระดับความลึก	132
17 การวิเคราะห์ความแปรปรวนของชนิดสาหร่ายสีเขียวแกมน้ำเงิน	139
18 การวิเคราะห์ความแปรปรวนของปริมาณสาหร่ายสีเขียวแกมน้ำเงิน	140
19 การวิเคราะห์ความแปรปรวนของระดับความลึกของน้ำ	141
20 การวิเคราะห์ความแปรปรวนของอุณหภูมิอากาศ	141

## สารบัญตาราง

ตาราง	หน้า
21 การวิเคราะห์ความแปรปรวนของความโปรดังในสหองน้ำ	142
22 การวิเคราะห์ความแปรปรวนของอุณหภูมิน้ำ	143
23 การวิเคราะห์ความแปรปรวนของค่าความเป็นกรด-ด่าง	144
24 การวิเคราะห์ความแปรปรวนของค่าความนำไฟฟ้าของน้ำ	145
25 การวิเคราะห์ความแปรปรวนของปริมาณออกซิเจนที่ละลายน้ำ	146
26 การวิเคราะห์ความแปรปรวนของปริมาณแอนโนเนนซ์ในไตรเจน	147
27 การวิเคราะห์ความแปรปรวนของปริมาณไนโตรทีนในไตรเจน	148
28 การวิเคราะห์ความแปรปรวนของปริมาณไนเตรตในไตรเจน	149
29 การวิเคราะห์ความแปรปรวนของปริมาณ TKN	150
30 การวิเคราะห์ความแปรปรวนของปริมาณในไตรเจนรวม	151
31 การวิเคราะห์ความแปรปรวนของปริมาณօร์โซฟอสเฟตฟอร์ส	152
32 การวิเคราะห์ความแปรปรวนของปริมาณฟอสฟอรัสรวม	153
33 การวิเคราะห์ความแปรปรวนของอัตราส่วนของไนโตรเจนและฟอสฟอรัส	154
34 การวิเคราะห์ความแปรปรวนของปริมาณคลอร์ไฮด์	155
35 สัมประสิทธิ์สหสัมพันธ์ (correlation coefficient) ของชนิดและปริมาณสาหร่าย สีเขียวแกมน้ำเงินกับสภาพแวดล้อมและคุณภาพน้ำ	156
36 สัมประสิทธิ์สหสัมพันธ์ (correlation coefficient) ของปริมาณสาหร่าย สีเขียวแกมน้ำเงินกับคุณภาพน้ำทางกายภาพและเคมี	157
37 การจัดระดับความอุดมสมบูรณ์ของแหล่งน้ำโดยใช้ปริมาณฟอสฟอรัสรวม ในไตรเจนรวม คลอร์ไฮด์ และความลึกที่แสงส่องถึง	159
38 การจัดชั้นน้ำตามระดับของสารอาหาร คุณสมบัติน้ำทางกายภาพ – เคมี และชีวภาพบางประการ และกลุ่มของแพลงก์ตอนพืชที่พนเป็นชนิดเด่น <sup>๑</sup> ในระดับต่าง ๆ	160
39 การจัดระดับความอุดมสมบูรณ์ของแหล่งน้ำโดยใช้ปริมาณฟอสฟอรัสรวม คลอร์ไฮด์ และความลึกที่แสงส่องถึง	161

**สารบัญตาราง**

ตาราง	หน้า
40 มาตรฐานคุณภาพน้ำในแหล่งน้ำผิวดิน มาตรฐานและวิธีการตรวจสอบ คุณภาพน้ำในแหล่งน้ำผิวดิน	162

## สารบัญภาพ

ภาพ	หน้า
1 วัฏจักรในไตรเงนในแหล่งน้ำ	9
2 การเปลี่ยนแปลงของ $\text{NH}_3\text{-N}$ , $\text{NO}_2\text{-N}$ และ $\text{NO}_3\text{-N}$ ในแต่ละระดับความลึก ของทะเลสาบที่มีสารอาหารมาก (Eutrophic lake) และทะเลสาบที่มีสารอาหารน้อย (Oligotrophic lake)	10
3 วัฏจักรฟอสฟอรัสในแหล่งน้ำ	12
4 แผนที่แสดงจุดเก็บตัวอย่างในอ่างเก็บน้ำเขื่อนแม่น้ำมนต์ชล	21
5 Family Chroococcaceae	29
6 Family Pleurocapsaceae	30
7 Family Oscillatoriaceae	30
8 Family Nostocaceae	31
9 จำนวนชนิด (species) ของสาหร่ายสีเขียวแกมน้ำเงิน	34
10 ค่าเฉลี่ยของปริมาณสาหร่ายสีเขียวแกมน้ำเงิน ( $\text{จำนวน} \times 10^3 \text{ No./L}$ ) ในแต่ละเดือน	38
11 ปริมาณของสาหร่ายสีเขียวแกมน้ำเงิน ( $\text{จำนวน} \times 10^3 \text{ No./L}$ )	39
12 ร้อยละขององค์ประกอบแพลงก์ตอนพืชในแต่ละเดือน	41
13 ระดับความลึกของน้ำ	43
14 ปริมาณน้ำฝนและอุณหภูมิอากาศโดยเฉลี่ยแต่ละเดือน	43
15 ความโปรดปร่วงใสของน้ำ	43
16 ค่าเฉลี่ยของอุณหภูมน้ำ ( $^{\circ}\text{C}$ ) ในแต่ละเดือน	51
17 อุณหภูมน้ำ ( $^{\circ}\text{C}$ ) ในต่างระดับความลึก	52
18 ค่าเฉลี่ยของความเป็นกรด-ด่างในแต่ละเดือน	57
19 ความเป็นกรด-ด่างในต่างระดับความลึก	58
20 ค่าเฉลี่ยของความนำไฟฟ้าของน้ำ ( $\mu\text{S/cm}$ ) ในแต่ละเดือน	60
21 ความนำไฟฟ้าของน้ำ ( $\mu\text{S/cm}$ ) ในต่างระดับความลึก	61
22 ค่าเฉลี่ยของปริมาณออกซิเจนที่ละลายในน้ำ ( $\text{mg/L}$ ) ในแต่ละเดือน	63

## สารบัญภาพ

ภาพ	หน้า
23 ปริมาณออกซิเจนที่คงสภาพ (mg/L) ในต่างระดับความลึก	64
24 ค่าเฉลี่ยของปริมาณออกซิเจนในแม่น้ำในไตรเงน (mg/L) ในแต่ละเดือน	67
25 ปริมาณออกซิเจนในแม่น้ำในไตรเงน (mg/L) ในต่างระดับความลึก	68
26 ค่าเฉลี่ยของปริมาณออกซิเจนในไตรท์ในไตรเงน (mg/L) ในแต่ละเดือน	70
27 ปริมาณออกซิเจนในไตรท์ในไตรเงน (mg/L) ในต่างระดับความลึก	71
28 ค่าเฉลี่ยของปริมาณออกซิเจนในเตตราทรีท์ในไตรเงน (mg/L) ในแต่ละเดือน	74
29 ปริมาณออกซิเจนในเตตราทรีท์ในไตรเงน (mg/L) ในต่างระดับความลึก	75
30 ค่าเฉลี่ยของปริมาณ Kjeldahl ในไตรเงน (mg/L) ในแต่ละเดือน	77
31 ปริมาณ Kjeldahl ในไตรเงน (mg/L) ในต่างระดับความลึก	78
32 ค่าเฉลี่ยของปริมาณออกซิเจนรวม (mg/L) ในแต่ละเดือน	81
33 ปริมาณออกซิเจนรวม (mg/L) ในต่างระดับความลึก	82
34 ค่าเฉลี่ยของปริมาณออกซิเจนฟอสฟอรัส ( $\mu\text{g}/\text{L}$ ) ในแต่ละเดือน	84
35 ปริมาณออกซิเจนฟอสฟอรัส ( $\mu\text{g}/\text{L}$ ) ในต่างระดับความลึก	85
36 ค่าเฉลี่ยของปริมาณฟอสฟอรัสร่วม ( $\mu\text{g}/\text{L}$ ) ในแต่ละเดือน	88
37 ปริมาณฟอสฟอรัสร่วม ( $\mu\text{g}/\text{L}$ ) ในต่างระดับความลึก	89
38 ค่าเฉลี่ยของอัตราส่วนของไนโตรเจนและฟอสฟอรัสในแต่ละเดือน	91
39 อัตราส่วนของไนโตรเจนและฟอสฟอรัสในต่างระดับความลึก	92
40 ค่าเฉลี่ยของปริมาณคลอโรฟิลล์ เอ ( $\times 10^3 \mu\text{g}/\text{L}$ ) ในแต่ละเดือน	96
41 ปริมาณคลอโรฟิลล์ เอ ( $\times 10^3 \mu\text{g}/\text{L}$ ) ในต่างระดับความลึก	97

## อักษรย่อและตัวถูกยกย่อ

$^{\circ}\text{C}$	= อุณหภูมิเซลเซียส
conc.	= concentrated
DO	= ออกซิเจนละลายน้ำ
m	= เมตร
mg/L	= มิลลิกรัมต่อลิตร
mg/m <sup>3</sup>	= มิลลิกรัมต่อลูกบาศก์เมตร
mL	= มิลลิลิตร
mm	= มิลลิเมตร
N	= นาโนมัล
$\mu\text{g/L}$	= ไมโครกรัมต่อลิตร
$\mu\text{m}$	= ไมโครเมตร
$\mu\text{S/cm}$	= ไมโครซีเมนต์ต่อลเซ็นติเมตร

## บทที่ 1

### บทนำ

สั่งมีจิวิตที่ต่อสืบในระบบนิเวศแหล่งน้ำมีหลากหลายนิดได้แก่ แพลงก์ตอนพืชและสาหร่าย ซึ่งมีความสำคัญโดยเป็นผู้ผลิตเบื้องต้นในห่วงโซ่ออาหาร ผลิตก้าชออกซิเจนสู่แหล่งน้ำ และยังมีสาหร่ายบางชนิดที่เป็นอาหารสำหรับสัตว์น้ำอีกอย่างหนึ่งคือสาหร่ายน้ำดองที่ชื่อ Spirulina platensis (Nordstedt) Geiteler การเจริญเติบโตและการแพร่กระจายของแพลงก์ตอนพืชและสาหร่ายมีหลายปัจจัยที่เกี่ยวข้อง ทั้งปัจจัยทางกายภาพ เช่น ความเข้มแสง อุณหภูมิ และปัจจัยทางเคมี เช่น ชนิดและปริมาณสารอาหาร ได้แก่ ในโตรเจนและฟอสฟอรัส โดยทั่วไปในโตรเจนและฟอสฟอรัสจัดเป็นสารอาหารเบื้องต้น (primary nutrient) และเป็นปัจจัยจำกัด (limiting nutrient) ที่มีผลต่อการเจริญเติบโตของแพลงก์ตอนพืชและสาหร่ายในระบบนิเวศแหล่งน้ำ (Traichaiyaporn, 1985) ซึ่งการพิจารณาว่าสารอาหารชนิดใดเป็นปัจจัยจำกัดต่อการเจริญเติบโตของแพลงก์ตอนพืชและสาหร่าย ต้องพิจารณาจากอัตราส่วนของในโตรเจนและฟอสฟอรัส (N/P ratio) คือ ถ้า N/P มากกว่า 20:1 ฟอสฟอรัสจะเป็นปัจจัยจำกัด แต่ถ้าต่ำกว่า 10:1 ในโตรเจนจะเป็นปัจจัยจำกัด โดยแพลงก์ตอนพืชและสาหร่ายแต่ละกลุ่มนี้มีความต้องการในโตรเจนและฟอสฟอรัสแตกต่างกัน เช่น N/P ที่เหมาะสมต่อการเจริญเติบโตของสาหร่ายสีเขียวแกมน้ำเงินทั่วไป มีค่าอยู่ระหว่าง 10:1 - 16:1 (ศิริเพ็ญ, 2543; Schollhorn and Wilhelm, 1997; Yunes et al., 1998) ในโตรเจนและฟอสฟอรัสลงสู่แหล่งน้ำได้หลายทาง ส่วนใหญ่มักมาจากการชะล้างของผิวดิน การเน่าสลายของสารอินทรีย์ จากน้ำทึบและปูนที่ใช้เพื่อการเกษตร ในแต่ละแหล่งน้ำมีปริมาณในโตรเจนและฟอสฟอรัสแตกต่างกัน หากปริมาณสารอาหารไม่มีอยู่ก็จัดเป็นปัจจัยจำกัด แต่หากมีปริมาณสารอาหารมากจะทำให้เกิดปรากฏการณ์ยูโตรไฟเขียว (Eutrophication) ซึ่งอาจเป็นผลให้มีการเจริญเติบโตของสาหร่ายบางชนิดมากเกินไป เช่น *Microcystis aeruginosa* Kutz ซึ่งสามารถสร้างสารพิษในโครชิตินและเป็นอันตรายต่อสัตว์มีกระดูกสันหลังและมนุษย์ (ศิริเพ็ญ, 2537; ลัคค่า, 2538; Smith, 1950; Round, 1973)

อ่างเก็บน้ำเขื่อนแม่จั๊ดสมบูรณ์ชล ตั้งอยู่ตำบลช่อแต อำเภอแม่แตง จังหวัดเชียงใหม่ ที่พิกัด 47 Q 044 -185 ระหว่าง 4847 III ละติจูด  $19^{\circ} 09' 29''$  N ลองติจูด  $99^{\circ} 02' 23''$  E เป็นอ่างเก็บน้ำขนาดใหญ่ เก็บกักน้ำไว้ได้สูงถึง 325 ล้านลูกบาศก์เมตร มีการใช้ประโยชน์ในด้านต่างๆ เช่น การประปา การคลปะทาน การผลิตกระแสไฟฟ้า การเพาะเลี้ยงสัตว์น้ำ การเกษตรกรรม การอุปโภคบริโภคอื่นๆ และยังเป็นแหล่งท่องเที่ยวพักผ่อนหย่อนใจ จากการพิจารณาการศึกษาความหลากหลายของแพลงก์ตอนพืชและคุณภาพน้ำในอ่างเก็บน้ำเขื่อนแม่จั๊ดสมบูรณ์ชลที่ผ่านมาในปี 2540 - 2543

(กำรงค์, 2542; นันท์ชดี, 2543; พรศิริ, 2544) พาแพลงก์ตอนพืชที่เป็นชนิดเด่นต่ออัตราการศึกษาคือสาหร่ายสีเขียวแกมน้ำเงิน ได้แก่ *Lyngbya limnetica* และ *Cylindrospermopsis raciborskii* ซึ่งสร้างสารพิษ *Cylindrospermopsin* นอกจากนี้ยังพบ *Microcystis aeruginosa* แต่ในปริมาณไม่มากนัก และผลการศึกษาความสัมพันธ์ของแพลงก์ตอนพืชและปัจจัยคุณภาพน้ำ พบว่าสาหร่ายสีเขียวแกมน้ำเงินมีความสัมพันธ์แปรผันกับแอนโนเนียในไตรเจน ในไตรเจนในไตรเจน และปริมาณ Kjeldahl ในไตรเจน ซึ่งทำให้เกิดแนวคิดที่ว่าปริมาณสารอาหารโดยเฉพาะอย่างยิ่งในไตรเจน น่าจะมีผลต่อการเจริญเติบโตของสาหร่ายสีเขียวแกมน้ำเงินและส่งผลต่อองค์ประกอบชุมชนของสาหร่าย (algal composition) ในอ่างเก็บน้ำเขื่อนแม่จั๊ดสมบูรณ์ชล จึงมีความจำเป็นที่ต้องทำการศึกษาติดตามตรวจสอบสาหร่ายสีเขียวแกมน้ำเงินและคุณภาพน้ำในด้านต่างๆ ต่อไป ซึ่งข้อมูลที่ได้จากการศึกษาทำให้ทราบความสัมพันธ์ของในไตรเจนและฟอสฟอรัส รวมทั้งปัจจัยอื่นๆ ที่มีอิทธิพลต่อความหลากหลายและการแพร่กระจายของสาหร่ายสีเขียวแกมน้ำเงินในต่างระดับความลึกและต่างถูกัดเพื่อเป็นข้อมูลพื้นฐานในการประยุกต์ใช้เพื่อการศึกษาสาหร่ายสีเขียวแกมน้ำเงินขั้นสูงและเป็นการติดตามตรวจสอบคุณภาพน้ำในอ่างเก็บน้ำเขื่อนแม่จั๊ดสมบูรณ์ชล ที่เป็นแหล่งน้ำดิบในการผลิตน้ำประปาว่าในช่วงที่ทำการศึกษามีคุณภาพดีเหมาะสมในการนำมาใช้ในการผลิตน้ำประปาหรือใช้ประโยชน์ด้านต่างๆ หรือไม่ ซึ่งหากเกิดปัญหาสามารถเป็นแนวทางในการวางแผนจัดการเพื่อควบคุมคุณภาพน้ำและสาหร่าย สีเขียวแกมน้ำเงินที่จะเป็นสาหร่ายพิษ ได้ต่อไป

จึงต้องการทราบว่าในระดับความลึกต่างๆ ของอ่างเก็บน้ำเขื่อนแม่จั๊ดสมบูรณ์ชล มีความหลากหลายของสาหร่ายสีเขียวแกมน้ำเงินเพียงใด คุณภาพน้ำทางกายภาพ เคมีและชีวภาพบางประการเป็นอย่างไร รวมทั้งอัตราส่วนของในไตรเจนและฟอสฟอรัสและคุณภาพน้ำบางประการจะมีผลต่อความหลากหลายและการแพร่กระจายของสาหร่ายสีเขียวแกมน้ำเงินอย่างไร

### วัตถุประสงค์การศึกษา

- เพื่อศึกษาความหลากหลายของสาหร่ายสีเขียวแกมน้ำเงินในอ่างเก็บน้ำเขื่อนแม่จั๊ดสมบูรณ์ชล ในต่างระดับความลึกในรอบปี 2544
- เพื่อศึกษาคุณภาพน้ำทางกายภาพ เคมีและชีวภาพของน้ำในอ่างเก็บน้ำเขื่อนแม่จั๊ดสมบูรณ์ชลในต่างระดับความลึก
- เพื่อศึกษาความสัมพันธ์ของอัตราส่วนของในไตรเจนและฟอสฟอรัสและคุณภาพน้ำบางประการในอ่างเก็บน้ำเขื่อนแม่จั๊ดสมบูรณ์ชลที่มีผลต่อการแพร่กระจายของสาหร่ายสีเขียวแกมน้ำเงินในแต่ละระดับความลึก

## บทที่ 2

### ทบทวนเอกสาร

สาหร่ายสีเขียวแกมน้ำเงิน (blue-green algae) จัดอยู่ใน Division Cyanophyta เป็นสิ่งมีชีวิต ที่นับตัวจำพวกโปรแกร์ไอ็ต (prokaryote) มีคลอโรฟิลล์ เอ สามารถสร้างอาหารเองได้โดยการ ดึงเคราะห์แสง (phototroph) ไม่มีการถ่ายพันธุ์แบบอาศัยเพศ มีรูปร่างลักษณะหลายแบบ ตั้งแต่ กลุ่ม ทรงกระบอก กระ sweaty เส้นสาย ฯลฯ ซึ่งพบทั้งที่เป็นเซลล์เดียว (unicellular) เส้นสาย (filament) และ เป็นกลุ่มเซลล์ (colony) ส่วนร่องนอกผนังเซลล์มักเป็นเมือกใสๆ ที่เรียกว่า ชีท (sheath) หุ้มอยู่ โดยรอบ ชีท มักมีความหนานบางต่างกัน อาจมีสี ไม่มีสี หรือแบ่งออกเป็นชั้นๆ สาหร่ายสีเขียวแกมน้ำเงินมีการเคลื่อนไหวหลายรูปแบบ เช่น แบบลื่นไถล (gliding movement) ลื่นไถลไปข้างหน้า และถอยหลัง (backward and forward gliding) แก่วงไปซ้าย ขวา สะบัดกัน (oscillation movement) เคลื่อนไหวแบบเป็นคลื่น (wave movement) หรือหมุนเป็นเกลียวแบบคงที่ (spiral movement) นอกจากนี้ สาหร่ายสีเขียวแกมน้ำเงินยังมีแก๊สแควร์คิวโอล (gas vacuole) กระจายอยู่ในไซโทพลาสซึม ลักษณะดังกล่าวทำให้สามารถเคลื่อนที่เพรกระชาขึ้นแนวตั้งได้ (อักษร, 2529; สัคดา, 2538; Branco and Senna, 1994; Desikachary, 1959)

#### การจำแนกหมวดหมู่ (Classification)

การจัดจำแนกหมวดหมู่ของสาหร่ายสีเขียวแกมน้ำเงิน ตามหลักของ Desikachary (1959) และ Sze (1997) จัดแบ่ง 5 อันดับ (orders) ได้ดังนี้

Division Cyanophyta

Class Cyanophyceae

Order Chroococcales

Family Chroococcaceae

Order Chamaesiphonales

Order Pleurocapsales

Order Nostocales

Family Oscillatoriaceae

Family Nostocaceae

Family Scytonemataceae

Family Rivulariaceae

Order Stigonematales

Family Stigonemataceae

## ความหลากหลายของสาหร่ายสีเขียวแกมน้ำเงิน (Diversity of Blue-Green Algae)

การศึกษาสาหร่ายสีเขียวแกมน้ำเงินพบแพลงก์ตอนพืชในอ่างเก็บน้ำเขื่อนแม่จั๊ดสมบูรณ์ชุด ตั้งแต่ปี พ.ศ 2540 – 2543 พบว่าแพลงก์ตอนพืชที่เป็นชนิดเด่นตลอดการศึกษา คือ *Lyngbya limnetica* และ *Cylindrospermopsis raciborskii* ซึ่งไดบทว่าไป *C. raciborskii* จะพบในแหล่งน้ำที่มีปริมาณสารอาหารต่ำ (ธารงค์, 2542; นันท์ชลีและศิริเพ็ญ, 2543; พรคริ, 2544; Branco and Senna, 1994) นอกจากนี้พบว่าความหนาแน่นของ *C. raciborskii* ในอ่างเก็บน้ำเขื่อนแม่จั๊ดสมบูรณ์ชุด มีความสัมพันธ์แปรผันตามกับอุณหภูมิน้ำและแปรผูกันกับความลึกของน้ำ (Traichaiyaporn et al., 2001)

การศึกษาการแพร่กระจายในแนวคี่ของสาหร่ายสีเขียวแกมน้ำเงินในอ่างเก็บน้ำเขื่อนแม่จั๊ดสมบูรณ์ชุดในช่วงเดือน ตุลาคม - ธันวาคม 2543 พบสาหร่ายสีเขียวแกมน้ำเงิน 2 อันดับ 3 วงศ์ และ 7 สกุล โดยสาหร่ายสีเขียวแกมน้ำเงินที่เป็นชนิดเด่นตลอดการศึกษา คือ *L. limnetica* และ *C. raciborskii* ซึ่งสาหร่ายสีเขียวแกมน้ำเงินส่วนใหญ่แพร่กระจายอยู่ที่ระดับผิวน้ำและมีปริมาณลดน้อยลงตามระดับความลึกของน้ำ (Saeton and Traichaiyaporn, 2001) ขณะที่อ่างเก็บน้ำเขื่อน แม่กวังอุดมชารา พบสาหร่ายสีเขียวแกมน้ำเงิน 8 สกุล และ 9 ชนิด โดยสาหร่ายสีเขียวแกมน้ำเงินที่เป็นชนิดเด่นตลอดการศึกษา คือ *Microcystis aeruginosa* Kutz ซึ่งมีปริมาณมากในฤดูฝนและฤดูหนาว (ชลินดา, 2536; ธีรศักดิ์, 2541)

การศึกษาความหลากหลายและองค์ประกอบชนิดของแพลงก์ตอนพืชในทะเลสาบ Kastoria แคนเมดิเตอร์เรเนียน ซึ่งเป็นทะเลสาบที่มีความลึกปานกลาง พบแพลงก์ตอนพืช 67 ชนิดโดยองค์ประกอบชนิดของแพลงก์ตอนพืชส่วนใหญ่เป็นกลุ่ม cyanophytes ได้แก่ *Limnothrix redekei*, *C. raciborskii*, *Microcystis* spp., *Anabaena* spp. และ *Aphanizomenon* spp. (Aligizaki et al., 2001) ซึ่งผลการศึกษาสอดคล้องกับในทะเลสาบ Chignahupan ประเทศเม็กซิโก ซึ่งเป็นทะเลสาบที่มีความลึกปานกลางเช่นกัน โดยมีระดับความลึกเฉลี่ยประมาณ 1 m ผลการศึกษาพบแพลงก์ตอนพืชที่เป็นชนิดเด่นตลอดการศึกษา คือ *Microcystis aeruginosa*, *Anabaenopsis elenkintii* และ *Merismopedia tenuissima* ซึ่งน้ำมีค่า pH เป็นค่ากลางและค่าความนำไฟฟ้า 1,100 µS/cm (Gabriela and Valadez, 2001)

ทะเลสาบ Rocky shores ของช่องคง พบสาหร่ายสีเขียวแกมน้ำเงินเป็นชนิดเด่นตลอดทั้งปี ซึ่งมีการเปลี่ยนแปลงองค์ประกอบของชนิดแตกต่างกันไปในแต่ละฤดูกาล สาหร่ายสีเขียวแกมน้ำเงินที่พบมาก ได้แก่ *Phormidium*, *Gloeocapsa* และ *Chroococcus* sp. โดยพบมากในช่วงฤดูหนาวและพบน้อยหรือไม่พบเลยในช่วงฤดูร้อน (Nagarkar, 2001) และขณะที่อ่างเก็บน้ำ Paranos ประเทศบราซิล พบ *C. raciborskii* เป็นชนิดเด่นในช่วงฤดูฝนทั้งนี้ เพราะน้ำฝนจะเข้าทางสารอาหาร และพบ *M. aeruginosa* เป็นชนิดเด่นในช่วงฤดูแล้ง ซึ่งมีการเพิ่มของอุณหภูมิและเกิดผลกระทบจากสารอินทรีย์ (Branco and Senna, 1994)

## คุณภาพน้ำทางกายภาพ เกมี และชีวภาพ

### คุณภาพน้ำทางกายภาพ

#### 1. แสง (Light)

แสงที่ส่องมาขึ้นผิวน้ำมีทั้งมาจากดวงอาทิตย์โดยตรงและแสงสะท้อนจากบรรยากาศ เมื่อส่องกระทบพื้นผิวน้ำ แสงส่วนหนึ่งจะสะท้อนกลับแต่อีกส่วนหนึ่งส่องผ่านลงไปในน้ำและความเข้มของแสงจะค่อยๆ ลดลงตามระดับความลึกทั้งนี้เนื่องจากมีการดูดซึzzleโดยมากน้ำและสารแขวนลอยในน้ำ เช่น ตะกอนดินและแพลงก์ตอน (ประเทือง, 2534; Boney, 1975)

ความเข้มของแสงจะเปลี่ยนไปตามช่วงเวลาของวัน ดูจาก สถานที่ ระดับความลึกของน้ำ และสภาพอากาศ ซึ่งมีความสำคัญในกระบวนการสังเคราะห์แสงของแพลงก์ตอนพืช โดยอัตราการสังเคราะห์แสงมีมากที่บริเวณผิวน้ำและลดลงตามระดับความลึกที่เพิ่มขึ้น จึงมีอิทธิพลต่อโครงสร้างชุมชนของแพลงก์ตอนพืช เนื่องจากแพลงก์ตอนพืชแต่ละชนิดต้องการความเข้มแสงที่แตกต่างกัน (กรรณิการ์, 2529; นันทนา, 2536; Philips *et al.*, 1997)

แสงมีผลต่อการลดด้วยแสงของสาหร่ายสีเขียวแกมน้ำเงินส่วนใหญ่ เช่น *Lyngbya*, *Cylindrospermopsis* และ *Microcystis* และความเข้มของแสงมีผลต่อการเปลี่ยนแปลงลักษณะของ *Phormidium amphibium* โดยพบว่าเมื่อความเข้มแสงมากขึ้นความเข้มข้นของเม็ดสีจะลดลง แต่ปริมาณคลอโรฟิลล์ เอ จะเพิ่มขึ้น (Yin *et al.*, 1994; Misiewicz and Adam, 2001)

#### 2. ความโปร่งใสของน้ำ (Water transparency)

ค่าความโปร่งใสของน้ำ สามารถวัดโดยใช้ Secchi disc ระดับความลึกของน้ำที่ Secchi disc เริ่มหายไปและเริ่มมองเห็นได้ใหม่อีกรั้ง เรียกว่า ระดับความลึกที่แสงส่องถึง (Secchi depth) ซึ่งจะขึ้นกับปริมาณที่แสงผ่านลงไปในน้ำ ช่วงเวลาของวันและสภาพของอากาศ สามารถใช้ค่า Secchi depth ประมาณค่าระดับความลึกที่มีอัตราการสังเคราะห์แสงเท่ากับอัตราการหายใจ (compensation depth) (นันทนา, 2536; ศิริเพ็ญ, 2537; Boney, 1975; Goldman and Horne, 1983) ในแหล่งน้ำโดยทั่วไปมีค่าความโปร่งใสของน้ำอยู่ระหว่าง 30 - 60 cm หากแหล่งน้ำมีความชุ่นมากเกินไปหรือมีตะกอนหรือมีแพลงก์ตอนพืชเจริญมากแสงจะส่องลงไปได้น้อยทำให้ ค่าความโปร่งใสมีค่าต่ำกว่า 30 เซนติเมตร แต่หากแหล่งน้ำมีสารอาหารน้อยทำให้มีแพลงก์ตอนพืชเจริญอยู่น้อย สภาพน้ำค่อนข้างใสแสงส่องผ่านลงไปในน้ำได้มากทำให้ค่าความโปร่งใสมีค่ามากกว่า 60 cm ค่าความโปร่งใสของน้ำสามารถใช้เป็นข้อมูลเบริญเทียนสภาพความอุดมสมบูรณ์ของแหล่งน้ำโดยใช้อ้างอิงร่วมกับข้อมูลอื่นๆ ของแพลงก์ตอนพืชและคุณภาพน้ำ (ศิริเพ็ญ, 2543)

การศึกษาคุณภาพน้ำในอ่างเก็บน้ำเขื่อนแม่จั๊ดสมบูรณ์ตลอดปี พ.ศ 2540 – 2543 พบว่า มีค่าความโปร่งใสของน้ำอยู่ระหว่าง 1.35 – 3.96 m (ธารงค์, 2542; นันท์ชลีและศิริเพ็ญ, 2543; พร

ศิริ, 2544) ขณะที่ในอ่างเก็บน้ำเขื่อนแม่กวงอุดมสารา มีค่าความโปร่งใสของน้ำอยู่ระหว่าง 2.27 – 4.90 m (ชลินดา, 2539) การจัดระดับความอุดมสมบูรณ์ของแหล่งน้ำ (trophic state) สามารถพิจารณาจากค่าความลึกที่แสงส่องถึงร่วมกับปริมาณในโตรเจนรวม พอสฟอรัสรวม และปริมาณคลอโรฟิลล์ เอได้ (Lorraine and Vollenweider, 1981; Mason, 1996)

### 3. อุณหภูมน้ำ (Water temperature)

อุณหภูมน้ำมีความสำคัญเป็นอย่างมากในการศึกษาเรขาโนเวตแหล่งน้ำ เพราะอุณหภูมิเกี่ยวข้องกับกระบวนการต่างๆ ในน้ำ เช่น ความสามารถดักจับของแร่ธาตุและก๊าซ การระเหยของน้ำ การแบ่งชั้นของน้ำ การหมุนเวียนของแร่ธาตุต่างๆ การเน่าสลายของอินทรีย์สาร ขนาดการเมต้าไบอิกซึ่งมีชีวิต เป็นต้น ซึ่งน้ำจะมีความร้อนสูงเพียงสูงกว่าอากาศประมาณ 5 ทella ขณะนั้นในช่วงกลางวัน อุณหภูมน้ำจะต่ำกว่าอุณหภูมิอากาศ ส่วนกลางคืนจะมีอุณหภูมิสูงกว่าอุณหภูมิอากาศ โดยปกติการเปลี่ยนแปลงอุณหภูมิในแหล่งน้ำจะผันแปรตามความเข้มแสง สำหรับปริมาณความเข้มแสงมากมีผลทำให้อุณหภูมน้ำเพิ่มขึ้น นอกจากนี้อุณหภูมน้ำตามธรรมชาติจะผันแปรตามอุณหภูมิอากาศโดยขึ้นกับฤดูกาล ระดับความสูง สภาพภูมิประเทศ กระแสลม ความถี่กความเร็วของกระแสน้ำและสภาพแวดล้อมทั่วไปของแหล่งน้ำ อุณหภูมิของแหล่งน้ำธรรมชาติในประเทศไทยมีค่าผันแปรระหว่าง 23.00 – 32.00 °C ขึ้นอยู่กับช่วงเวลาของวันและฤดูกาล ซึ่งการเปลี่ยนแปลงอุณหภูมิในน้ำมีผลต่อการแพร่กระจาย การเจริญเติบโตและการสังเคราะห์แสงของแพลงก์ตอนพืช โดยทั่วไปสาหร่ายสีเขียวแกมน้ำเงินมีการเจริญเติบโตได้ดีในน้ำที่มีอุณหภูมิสูงระหว่าง 35.00 – 45.00 °C เช่น *Microcystis* มีมวลชีวภาพมากเมื่อแหล่งน้ำมีอุณหภูมิมากกว่า 20.00 °C (ประเทือง, 2534; ศิริเพ็ญ, 2543; Yunes et al., 1998; Berges et al., 2001)

การศึกษาอุณหภูมิที่มีผลต่อการเปลี่ยนแปลงลักษณะทางกายภาพของสาหร่ายสีเขียวแกมน้ำเงิน *Oscillatoria*, *Lyngbya* และ *Calothrix* ในส่องคง ระหว่างฤดูหนาวกับฤดูร้อน พบว่า อุณหภูมน้ำมีผลต่อลักษณะความหนานางของชีตกรองเซลล์ของ *Lyngbya martensiana* และ *Calothrix scopulorum* โดยเฉพาะในฤดูร้อนซึ่งมีอุณหภูมิสูงจะปรากฏชัดเจน (Nagarkar, 2001)

## คุณภาพน้ำทางเคมี

### 1. ความเป็นกรด-ด่าง (pH)

ค่า pH ของน้ำเป็นปัจจัยที่สำคัญอย่างหนึ่งต่อระบบโนเวตแหล่งน้ำ โดยทั่วไปน้ำตามธรรมชาติมีค่า pH อยู่ระหว่าง 6 - 9 ซึ่งความแตกต่างของค่า pH ขึ้นอยู่กับลักษณะของภูมิประเทศและสภาพแวดล้อมหลายประการ เช่น ลักษณะของพื้นดินและหิน ปริมาณฝน ตลอดจนการใช้ที่ดินในรอบบริเวณแหล่งน้ำ pH ของน้ำจะเปลี่ยนแปลงตาม pH ของดินด้วย นอกจากนี้สิ่งมีชีวิตในน้ำ เช่น

ุลิโนทรีซ และแพลงก์ตอนพืช กีตานารถทำให้ค่า pH ของน้ำเปลี่ยนแปลงได้ โดยทั่วไปในแหล่งน้ำ ช่วงน้ำผึ้งน้ำและแพลงก์ตอนพืชจะใช้การบอนไดออกไซด์สำหรับการสังเคราะห์แสง ทำให้ปริมาณการบอนไดออกไซด์ในแหล่งน้ำลดลง ค่า pH ของน้ำผึ้งมีค่าสูงขึ้น ส่วนในช่วงเข้ามีน้ำเนื่องจากมีการหายใจของสิ่งมีชีวิตในน้ำ ไม่มีกระบวนการสังเคราะห์แสงทำให้การบอนไดออกไซด์มีปริมาณสูงขึ้น เมื่อการบอนไดออกไซด์รวมตัวกับน้ำจะทำให้เกิดกรดคาร์บอนิก ค่า pH ของน้ำผึ้งลดลง ([ประเทือง, 2534](#); [มั่นสิน, 2540](#); [ศิริเพ็ญ, 2543](#))

การศึกษาค่า pH ของน้ำในอ่างเก็บน้ำเขื่อนแม่จัดสมบูรณ์ชล พบว่ามีค่า pH ของน้ำอยู่ระหว่าง 6.45 – 9.10 ซึ่งมีค่ามากที่ผิวน้ำและมีแนวโน้มลดลงเมื่อความลึกเพิ่มขึ้น ([ธารงค์, 2542](#); [นันท์ชล และ ศิริเพ็ญ, 2543; พรศิริ, 2544](#)) ส่วนในอ่างเก็บน้ำเขื่อนแม่กว่างอุดมชารา มีค่า pH ของน้ำอยู่ระหว่าง 6.80 – 8.30 ([ชลินดา, 2539; ธีรศักดิ์, 2541](#)) นอกจากนี้การศึกษาค่า pH ของน้ำในอ่างเก็บน้ำ Paranos ประเทศบราซิล พบว่าในช่วงฤดูฝน ค่า pH ในอ่างเก็บน้ำมีค่าสูงส่งผลให้มีการเพิ่มปริมาณอ่ายางรวดเร็ว ([bloom](#)) ของ *Cylindrospermopsis raciborskii* (Wolosz) Seenayya & Subba ([Branco and Senna, 1994](#)) และในอ่างเก็บน้ำ Benutan ประเทศมาเลเซีย พบว่า pH มีค่าประมาณ 7.00 ที่ผิวน้ำ และจะมีค่าลดลงตามความลึก จนมีค่า 6.00 ที่ความลึก 4 - 5 m ([Booth et al., 1994](#))

## 2. ความนำไฟฟ้า (Conductivity)

ความนำไฟฟ้าเป็นการวัดความสามารถของน้ำในการนำกระแสไฟฟ้า ซึ่งจะขึ้นอยู่กับความเข้มข้นและชนิดของอิオンที่มีอยู่ในน้ำ ซึ่งไม่ได้เป็นค่าเฉพาะอิออนตัวใดตัวหนึ่ง แต่เป็นค่ารวมของอิออนทั้งหมดในน้ำ หากในแหล่งน้ำมีการปนเปื้อนของสารอนินทรีย์มาก ค่าความนำไฟฟ้าก็จะค่าสูง ทั้งนี้ เพราะสารอนินทรีย์จะแตกตัวให้อิออนได้ดี ส่วนสารอินทรีย์จะไม่นำไฟฟ้าเพราะไม่มีการแตกตัวของอิออนในน้ำ นอกจากนี้อุณหภูมิมีผลต่อการแตกตัวของอิออน โดยอุณหภูมิสูงการแตกตัวของอิออนจะมากขึ้นทำให้ความนำไฟฟ้าเพิ่มขึ้น แหล่งน้ำธรรมชาติทั่วไปจะมีค่าความนำไฟฟ้าอยู่ระหว่าง 150.00 – 300.00  $\mu\text{S}/\text{cm}$  ([ประเทือง, 2534](#); [มั่นสิน, 2540](#))

ค่าความนำไฟฟ้าในอ่างเก็บน้ำเขื่อนแม่จัดสมบูรณ์ชล มีค่าอยู่ระหว่าง 70.00 - 254.40  $\mu\text{S}/\text{cm}$  ([ธารงค์, 2542](#); [นันท์ชล และ ศิริเพ็ญ, 2543; พรศิริ, 2544](#)) และในอ่างเก็บน้ำเขื่อนแม่กว่างอุดมชารา มีค่า 64.00 – 109.00  $\mu\text{S}/\text{cm}$  โดยมีค่ามากขึ้นเมื่อความลึกของน้ำเพิ่มขึ้นซึ่งมีผลเช่นเดียวกับในอ่างเก็บน้ำ Benutan ประเทศมาเลเซีย ที่ค่าความนำไฟฟ้ามีแนวโน้มเพิ่มขึ้นตามความลึก ([ชลินดา, 2539; Booth et al., 1994](#))

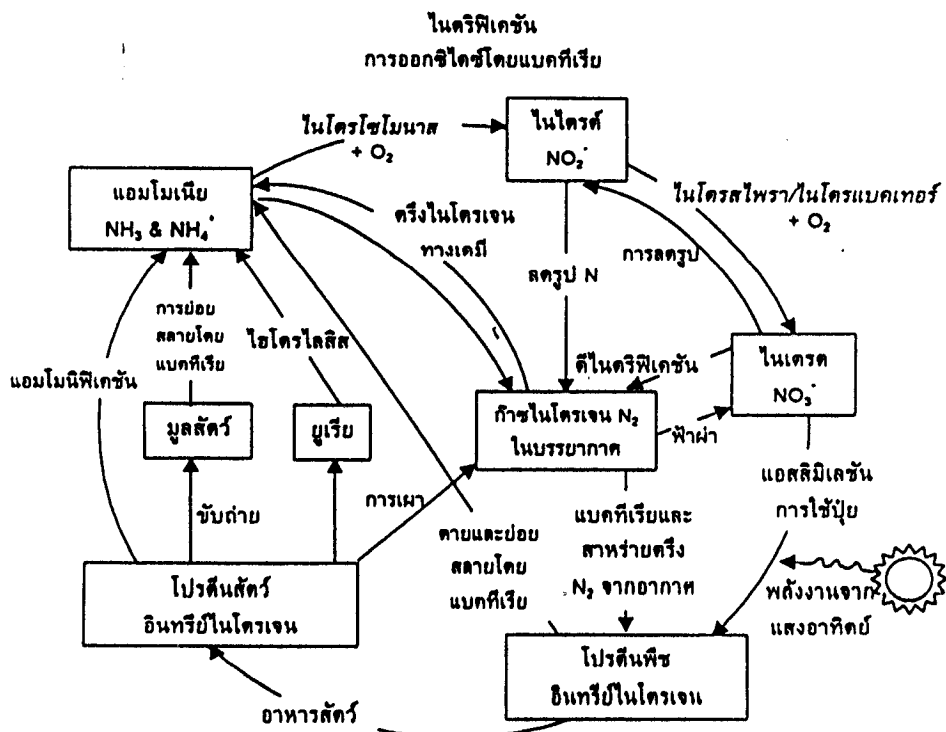
## 3. ออกซิเจนละลายน้ำ (Dissolved Oxygen: DO)

ออกซิเจนเป็นกําaziที่มีความสำคัญต่อการดำรงชีวิตของสิ่งมีชีวิต ซึ่งออกซิเจนที่ละลายน้ำในน้ำจะมาจากการหายใจและการกระบวนการสังเคราะห์แสงของสาหร่ายและพืชน้ำอื่นๆ ปัจจัยสำคัญที่มีอิทธิพลต่อปริมาณออกซิเจนที่ละลายน้ำได้แก่ ช่วงเวลาของวัน ระดับความลึก อัตราการ

สังเคราะห์แสงและการหายใจ ความเข้มแสง อุณหภูมิ ความชื้น ความกดของบรรยากาศ และปริมาณพิษที่ปล่อยลงสู่แหล่งน้ำ ปริมาณออกซิเจนที่ละลายน้ำสามารถใช้เป็นเครื่องบ่งชี้คุณภาพน้ำในแหล่งน้ำได้ โดยแหล่งน้ำที่มีความอุดมสมบูรณ์ต่ำมีการเปลี่ยนแปลงของออกซิเจนในช่วงเวลา각วัน-กลางคืน (diurnal change) ต่ำ ทำนองเดียวกับการเปลี่ยนแปลงของออกซิเจนในต่างฤดูกาล (seasonal change) และต่างความลึกของน้ำอยู่เพราะกระบวนการต่างๆ ทางชีวเคมีของสิ่งมีชีวิตมีน้อย แต่จะกลับกันในแหล่งน้ำที่มีความอุดมสมบูรณ์สูง ในแหล่งน้ำโดยทั่วไปปริมาณออกซิเจนละลายน้ำจะลดลงเมื่อความลึกเพิ่มขึ้น โดยจะเห็นได้เด่นชัดในบริเวณที่แสงส่องไม่ถึง (aphotic zone) ทั้งนี้เนื่องจากอิทธิพลการสังเคราะห์แสงและอัตราการหายใจของสิ่งมีชีวิตในบริเวณน้ำ ในอ่างเก็บน้ำ Benutan ประเทศมาเลเซีย พบว่าปริมาณออกซิเจนละลายน้ำจะมีค่ามากที่ความลึกน้ำมากกว่า 4 m นอกจากนี้ในเวลา각วันที่มีห้องฟ้าไวร์ง น้ำบริเวณที่แสงส่องถึง (euphotic zone) จะมีปริมาณออกซิเจนสูงสุดในเวลาน้ำยามและต่ำสุดในเวลาใกล้รุ่ง วิกฤตการณ์การขาดออกซิเจนจะเกิดได้โดยอิทธิพลของการเกิดแพลงก์ตอนพืชปริมาณมากแล้วตามหลังหรือการปลดปล่อยเสบียงสารอินทรีย์และสารอนินทรีย์ลงไปบนผืนดินซึ่งทำให้ปริมาณออกซิเจนของน้ำลดลง ค่าปริมาณออกซิเจนต่ำสุดที่สิ่งมีชีวิตโดยเฉพาะอย่างยิ่งปลาสามารถเจริญอยู่ได้ มีค่า 3.50 - 4.00 mg/L และถ้ามากกว่า 3.00 mg/L จะเป็นอันตรายต่อสิ่งมีชีวิตในน้ำ ซึ่งโดยปกติในแหล่งน้ำตามธรรมชาติที่ปราศจากผลกระทบจะมีค่าปริมาณออกซิเจนโดยเฉลี่ยไม่ต่ำกว่า 5.00 mg/L และมีค่าได้สูงถึง 7.00 mg/L หรือมากกว่านี้ในเวลาน้ำยาม สำหรับบริเวณที่มีแพลงก์ตอนพืชปริมาณมากอาจมีค่าปริมาณออกซิเจนสูงได้ถึง 14.00 mg/L (ประเทศไทย, 2534; นันทนา, 2536; เปี่ยมศักดิ์, 2538; นันสิน, 2540; ศิริเพ็ญ, 2543; Booth *et al.*, 1994) ปริมาณออกซิเจนละลายน้ำในอ่างเก็บน้ำเชื่อมแม่น้ำสมบูรณ์จะมีค่าอยู่ระหว่าง 0 – 9.60 mg/L (ธารังค์, 2542; นันท์ชลี และ ศิริเพ็ญ, 2543; พรศิริ, 2544)

#### 4. ไนโตรเจน (Nitrogen)

แหล่งน้ำธรรมชาติพบในไนโตรเจนอยู่ในรูปอินทรีย์ในไนโตรเจน (organic nitrogen) ซึ่งประกอบด้วยพอกที่ละลายน้ำ (dissolved organic N) และพอกที่ไม่ละลายน้ำ (particulated organic N) และอนินทรีย์ในไนโตรเจน (inorganic nitrogen) ซึ่งประกอบด้วยแอนโนนิเมติกไนโตรเจน ( $\text{NH}_3\text{-N}$ ) ในไตรท์ในไนโตรเจน ( $\text{NO}_2\text{-N}$ ) ในเตรท์ในไนโตรเจน ( $\text{NO}_3\text{-N}$ ) เป็นต้น (Goldman and Horne, 1983) ปัจจัยที่มีอิทธิพลต่อปริมาณไนโตรเจนในแหล่งน้ำ ได้แก่ ปริมาณไนโตรเจนจากภายนอกที่ลงไปสู่แหล่งน้ำ ปริมาณที่แพลงก์ตอนพืชและพืชคุดไปใช้ ขนาดการเปลี่ยนแปลงรูปแบบของไนโตรเจน และการตรึงไนโตรเจน (nitrogen fixation) ของสิ่งมีชีวิตในแหล่งน้ำนั้น โดยพอกชีวภาพ (microorganisms) และสาหร่ายสีเขียวแกมน้ำเงิน (ศิริเพ็ญ, 2543) ดังแสดงในวัฏจักรไนโตรเจน (Nitrogen cycle, ภาพ 1)

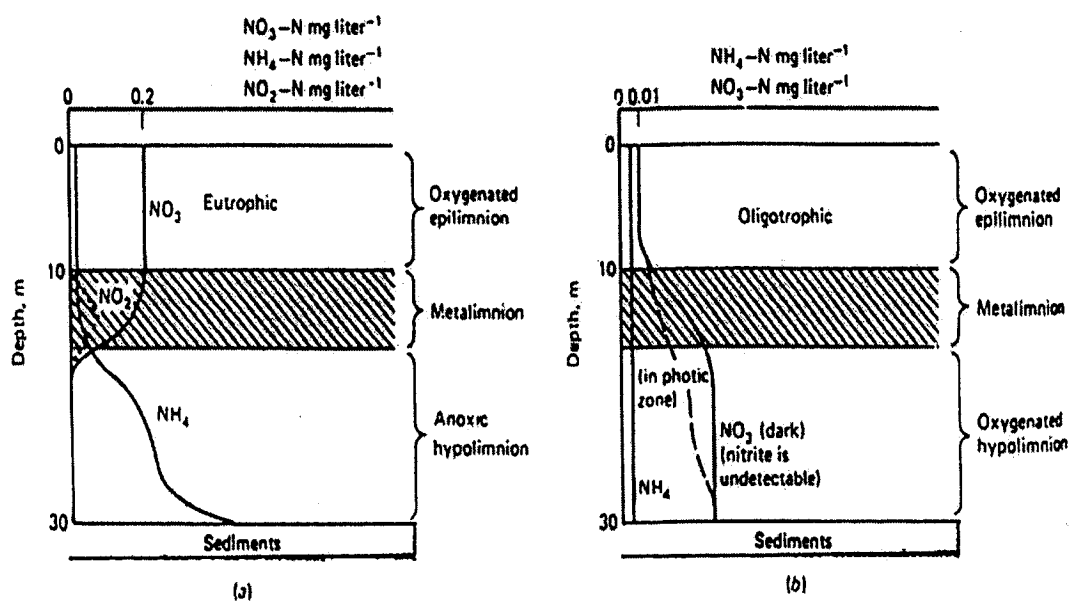


## กาว 1 รักษาระบบในโครงสร้างในแหล่งน้ำ (ที่มา: งงชัย, 2544)

ในประเทศไทย Katangday ประเทกพิลีปินส์ พบว่าขยะที่ปริมาณแอนโนมีเนียในตระเวนภัยปริมาณลดลง ปริมาณในตระหง่านที่มีปริมาณเพิ่มขึ้น ในประเทศไทยแห่งนี้ในตระเวนอยู่ในรูปอินทรีย์ในตระเวนเป็นส่วนใหญ่ซึ่งแพลงก์ตอนพืชจะไม่สามารถนำไปใช้ประโยชน์ได้ (Traichaiyaporn, 1985) อย่างไรก็ตามในตระเวนในรูปสารประกอบอินทรีย์ ถือว่าเป็นกลังของในตระเวนที่จะปลดปล่อยออกมาระหว่างพืชนำไปใช้ได้ในรูปของในตระหง่านและแอนโนมีเนียโดยพวกคุณทรีย์ช่วยย่อยสภาพ (decomposed) รูปแบบของในตระเวนที่แตกต่างกันในแหล่งน้ำที่ตรวจพบสามารถออกให้ทราบว่าแหล่งน้ำนั้นได้ถูกปนเปื้อนมาใหม่ๆ หรือว่าถูกปนเปื้อนมานานแล้ว ซึ่งถ้าตรวจพบแอนโนมีเนียในตระเวนในปริมาณมากแสดงว่าได้รับการปนเปื้อนมาใหม่ๆ ทางกลับกันถ้าพบในตระหง่านในตระเวนในปริมาณมาก แสดงว่าแหล่งน้ำนั้นได้รับการปนเปื้อนมานานแล้ว ซึ่งปกติในตระหง่านในตระเวนมีอยู่ในช่วง-ชาติค่อนข้างต่ำ คือ  $< 1.00 \text{ mg/L}$  จนถึง  $10.00 \text{ mg/L}$  ถ้าความเข้มข้นของในตระหง่านในตระเวนมากกว่า  $20.00 \text{ mg/L}$  จะเป็นอันตรายต่อสัตว์เลี้ยงถูกด้วยนม คือเกิดเป็นโรคตัวสีน้ำเงิน (Blue baby) นอกจากนี้ในตระหง่านสามารถถูกชะล้าง (leaching) ไปได้

ง่ายเมื่อมีการไหลผ่านของน้ำไปบนพื้นดิน ดังนั้นปริมาณในต่อเรือนจะลงสู่แหล่งน้ำมากขึ้น เมื่อมีการพังกระดาษของคิน จากการศึกษาในทะเลสาบทลายแห่งพบว่าปริมาณของไนโตรฟิล์ในต่อเรือนมีค่าเปลี่ยนแปลงไปตามฤดูกาล ซึ่งได้บทวิปุบปริมาณมากในฤดูฝนและต่ำลงในฤดูแล้ง ส่วนปริมาณในไตรท์ในต่อเรือนในธรรมชาตินักมีปริมาณน้อยขณะที่แอนอมีเนียในต่อเรือนโดยปกติจะมีอยู่ในน้ำตามธรรมชาติน้อยกว่า 1.00 mg/L ซึ่งจัดว่าเป็นสภาพที่ไม่มีนิมพิษ มาตรฐานแหล่งน้ำผิดคินได้กำหนดค่าปริมาณในต่อเรือนไม่เกิน 5.00 mg/L และแอนอมีเนียในต่อเรือนไม่เกิน 0.50 mg/L (กรรภิการ, 2529; กรมควบคุมมลพิษ, 2535; นันทนา, 2536; เกียรติศักดิ์, 2538; ศรีเพ็ญ, 2537)

แหล่งน้ำที่มีสภาพของสารอาหารที่แตกต่างกันมีการเปลี่ยนแปลงของปริมาณอนิโนทรีฟ์ในต่อเรือนในต่างระดับความลึกต่างๆ กัน ดังภาพ 2 (Goldman and Horne, 1983)

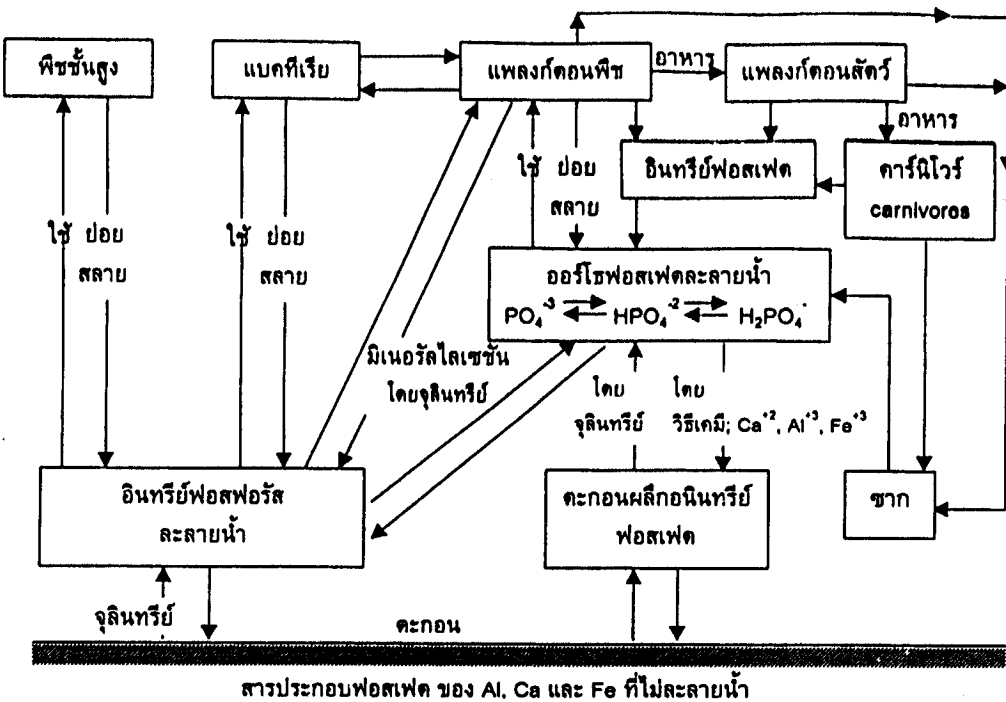


ภาพ 2 การเปลี่ยนแปลงของ  $\text{NH}_3\text{-N}$ ,  $\text{NO}_2\text{-N}$  และ  $\text{NO}_3\text{-N}$  ในต่างความลึกของทะเลสาบ  
ที่มีสารอาหารมาก (Eutrophic lake) และทะเลสาบที่มีสารอาหารน้อย  
(Oligotrophic lake)  
(ที่มา: Goldman and Horne, 1983)

อ่างเก็บน้ำเขื่อนแม่น้ำสมบูรณ์ชล พบปริมาณแอนโนมในไตรเจนมีค่า 0.004 – 0.200 mg/L และในเตรทไนไตรเจนมีค่า 0 – 0.117 mg/L ปริมาณสาหร่ายสีเขียวแกมน้ำเงินแปรผกผัน ก้าวเรโนมาดแอนโนมในไตรเจนในไตรเจนและในเตรทไนไตรเจน (ทั่งรังก์, 2542; นันท์ชลี และ ศิริเพ็ญ, 2543) ส่วนอ่างเก็บน้ำ Paranoos ประเทศบรากซิล พบว่าในช่วงฤดูฝนปริมาณแอนโนมในไตรเจน มีค่า 527 µg/L ในไตรท์ในไตรเจน มีค่า 12 µg/L และในเตรทไนไตรเจน มีค่า 110 µg/L ซึ่งมีการเพิ่มปริมาณออกซิเจนในไตรเจน มีค่า 1,461 µg/L ในไตรท์ในไตรเจน มีค่า 27 µg/L และในเตรทไนไตรเจน มีค่า 173 µg/L จะมีการเพิ่มปริมาณออกซิเจนของแหล่งน้ำ (trophic state) สามารถพิจารณาจากค่าปริมาณในไตรเจนรวม ร่วมกับค่าความลึกที่แสงส่องถึง ปริมาณฟอสฟอรัสรวม และคลอโรฟิลล์ เอ ได้ (Lorraine and Vollenweider, 1981; Wetzel, 1983)

### 5. ฟอสฟอรัส (Phosphorus)

ฟอสฟอรัสเป็นธาตุอาหารที่สำคัญในกระบวนการเมtabolism ในสิ่งมีชีวิต ซึ่งฟอสฟอรัส ในแหล่งน้ำมี 2 รูปแบบ คือ อินทรีย์ฟอสฟอรัสและอนินทรีย์ฟอสฟอรัส โดยอนินทรีย์ฟอสฟอรัส ส่วนใหญ่อยู่ในรูปออร์โธฟอสเฟตฟอสฟอรัส (Orthophosphate-P) วิธีการฟอกฟอสฟอรัส (gap 3) ตามธรรมชาติจะมีปริมาณฟอสฟอรัสที่แพลงก์ตอนพืชนำไปใช้ได้น้อยมาก เนื่องจากฟอสฟอรัสในน้ำมักจะเข้ากับอนุภาคขนาดเล็กแล้วตกตะกอนลงสู่พื้นท้องน้ำอยู่ในรูปอนุภาคตะกอน จึงจัดได้ว่าเป็นปัจจัยจำกัดต่ออัตราการผลิตเบื้องต้น (primary production) และการเจริญเติบโตของแพลงก์ตอนพืช ซึ่งแพลงก์ตอนพืชสามารถดูดฟอสฟอรัสในรูปที่ละลายน้ำ หรือ soluble reactive phosphorus (SRP) ไปใช้ได้ ปริมาณ SRP ระดับที่ต่ำกว่า 0.019 mg/L จะจำกัดการเจริญเติบโตของแพลงก์ตอนพืช เมื่อปริมาณฟอสฟอรัสในแหล่งน้ำมีน้อยแพลงก์ตอนพืชพอกสีเขียวแกมน้ำเงิน จะสามารถดึงฟอสฟอรัสที่ขัดกับอนุภาคขนาดเล็กมาใช้ในการเจริญเติบโตได้โดยอาศัยเอนไซม์ Alkaline phosphatases (ศิริเพ็ญ, 2543; Round, 1973; Goldman and Horne, 1983; Yin et al., 1994)



ภาพ 3 วัฏจักรฟอสฟอรัสในแหล่งน้ำ  
(ที่มา: ชงชัย, 2544)

ถ้าแหล่งน้ำมีปริมาณออกซิฟอสฟอรัสฟอสฟอร์สมากเกินกว่า  $0.15 \text{ mg/L}$  และในไตรเจนเกินกว่า  $0.30 \text{ mg/L}$  มีแนวโน้มทำให้แพลงก์ตอนพืชเจริญเติบโตได้อย่างรวดเร็วซึ่งเป็นการเพิ่มความอุดมสมบูรณ์ของแหล่งน้ำแต่หากมีปริมาณมากเกินไปจะเกิดความเสื่อมโทรมของแหล่งน้ำ เมื่อจากมีสารอาหารมากเกินไป หรือที่เรียกว่า Eutrophication และทำให้เกิดสภาพขาดออกซิเจนในแหล่งน้ำอันเนื่องจากการตายและมีขบวนการย่อยสลายมาก แหล่งน้ำที่ปolder พิษมีปริมาณออกซิฟอสฟอรัสฟอสฟอร์สน้อยกว่า  $0.01 \text{ mg/L}$  และฟอสฟอร์สร่วมน้อยกว่า  $0.10 \text{ mg/L}$  นอกจากนี้ ฟอสฟอรัสยังมีผลต่อมวลชีวภาพของชุมชนแพลงก์ตอนพืช (Phytoplankton community) ฉะนั้น กำลังผลิตมวลชีวภาพ (biomass production) ดังนั้นปริมาณฟอสฟอรัสสามารถใช้บ่งบอกระดับความอุดมสมบูรณ์ของแหล่งน้ำได้ (นันทนา, 2536; ศิริเพ็ญ, 2543) การจัดระดับความอุดมสมบูรณ์ของแหล่งน้ำ สามารถพิจารณาจากค่าปริมาณฟอสฟอร์สร่วม ร่วมกับปริมาณในไตรเจนรวมคลอโรฟิลล์ เอ และค่าความลึกที่แสงส่องถึงได้ (Lorraine and Vollenweider, 1981; Wetzel, 1983; Mason, 1996)

## คุณภาพน้ำทางชีวภาพ

### 1. คลอโรฟิลล์ เอ (Chlorophyll a)

คลอโรฟิลล์ เอ เป็นปัจจัยทางชีวภาพที่มีความสำคัญในการศึกษาระบบนิเวศแหล่งน้ำซึ่งจะสะท้อนถึงผลผลิตเบื้องต้น (primary productivity) ของแหล่งน้ำ โดยทั่วไปปริมาณคลอโรฟิลล์ เอ จะมีค่าแปรผันตามความหนาแน่นของแพลงก์ตอนพืช องค์ประกอบของแพลงก์ตอนพืชและมวลชีวภาพของแพลงก์ตอนพืช นอกจากนี้ยังแปรผันแปรตามชนิดสภาพแวดล้อมและปัจจัยทางด้านสารอาหารในแหล่งน้ำ (นันทนา, 2536; ลักษดา, 2538; ศรีเพ็ญ, 2543)

ปริมาณคลอโรฟิลล์ เอ ในแหล่งน้ำที่มีสภาพของสารอาหารที่แตกต่างกัน ที่จะมีค่าแตกต่างกัน เช่น ในอ่างเก็บน้ำเขื่อนแม่น้ำบูรณะชล มีค่าปริมาณคลอโรฟิลล์ เอ ระหว่าง  $1.97 - 20.72 \times 10^{-3}$   $\mu\text{g/L}$  (ธารงค์, 2542; พรศิริ, 2544) ขณะที่ปริมาณคลอโรฟิลล์ เอ ในอ่างเก็บน้ำเขื่อนแม่กวงอุตรดิตถ์ มีค่าระหว่าง  $0.10 - 20.13 \mu\text{g/L}$  (ลักษดา, 2539) การจัดระดับความอุดมสมบูรณ์ของแหล่งน้ำสามารถพิจารณาจากค่าปริมาณคลอโรฟิลล์ เอ ร่วมกับค่าความลึกที่แสงส่องถึง ปริมาณฟอสฟอรัสรวมและไนโตรเจนรวมได้

### สหสัมพันธ์ของสาหร่ายสีเขียวแกมน้ำเงินกับอัตราส่วนของไนโตรเจนและฟอสฟอรัส

(Correlation of blue-green algae and nitrogen phosphorus ratio: N/P ratio)

สารอาหารที่มีความสำคัญต่อการเจริญเติบโตของแพลงก์ตอนพืช คือ ในไนโตรเจนและฟอสฟอรัส ในการพิจารณาว่าสารอาหารชนิดใดเป็นปัจจัยสำคัญต่อการเจริญเติบโตของแพลงก์ตอนพืช ต้องพิจารณาจากอัตราส่วนของไนโตรเจนและฟอสฟอรัส (N/P ratio) ถ้า N/P มากกว่า 20:1 ฟอสฟอรัสจะเป็นปัจจัยสำคัญ แต่ถ้าน้อยกว่า 10:1 ในไนโตรเจนก็จะเป็นปัจจัยสำคัญ (ศรีเพ็ญ, 2543; Schollhorn and Wilhelm, 1997) หรือถ้า N/P มากกว่า 50 ฟอสฟอรัสจะเป็นปัจจัยสำคัญ แต่ถ้ามากกว่า 20 ในไนโตรเจนก็จะเป็นปัจจัยสำคัญ (Guildford and Hecky, 2000) ซึ่งแพลงก์ตอนพืชแต่ละชนิดมีความต้องการฟอสฟอรัสและไนโตรเจนแตกต่างกัน เช่น *Microcystis aeruginosa* Kutz มีการเจริญเติบโตสูงสุดที่ N/P ratio 75:1 (Stevenson et al., 1996) N/P ที่เหมาะสมต่อการเจริญเติบโตของสาหร่ายสีเขียวแกมน้ำเงินทั่วไป มีค่าอยู่ระหว่าง 10:1 - 16:1 (Yunes et al., 1998)

ทะเลสาบที่มีสารอาหารน้อย มีค่า N/P ต่ำกว่าทะเลสาบที่มีสารอาหารปานกลางและสารอาหารมาก ทั้งนี้พบว่า N/P ที่มีค่าต่ำคาดว่าจะมีผลทำให้เกิดกลุ่มสาหร่ายสีเขียวแกมน้ำเงินที่ครึ่งก้าชในไนโตรเจนโดยเฉพาะเมื่อ N/P มีค่าต่ำและฟอสฟอรัสมีปริมาณเพียงพอ และหาก N/P มีค่ามาก สาหร่ายสีเขียวแกมน้ำเงินมีแนวโน้มมีปริมาณน้อย (Heo and Bomchul, 1997) และเมื่อ N/P มีค่า

มาก องค์ประกอบน้ำพื้นที่ส่วนใหญ่เป็นกลุ่ม Cryptophytes และ Chrysophytes (Anton *et al*, 1995)

ในทะเลสาบ Katugdny ประเทศฟิลิปปินส์ N/P มีค่าอยู่ระหว่าง 9.4 - 15.1 เมื่อ N/P มีค่า น้อย สาหร่ายสีเขียวแกมน้ำเงินจะเป็นชนิดเด่นในแหล่งน้ำ แต่เมื่อ N/P มีค่ามาก สาหร่ายสีเขียวจะ มีแนวโน้มเพิ่มขึ้นและสาหร่ายสีเขียวแกมน้ำเงินมีแนวโน้มลดลงในแหล่งน้ำ (Traichaiyaporn, 1985)

การศึกษาสภาพของสารอาหารในทะเลสาบ 3 แห่ง ในประเทศไทย พนวิทยาทะเลสาบ Paizhong ซึ่งมีสภาพเป็น Oligotrophic status มีปริมาณฟอสฟอรัสรวม 0.01 mg/L ปริมาณ ในไตรเจนรวม 0.21 mg/L พนแพลงก์ตอนพืชที่เป็นกลุ่มเด่น คือ กลุ่มไครอตอม ส่วนทะเลสาบ Biandan ซึ่งมีสภาพเป็น Mesotrophic status มีปริมาณฟอสฟอรัสรวม 0.014 mg/L ปริมาณ ในไตรเจนรวม 0.66 mg/L พนแพลงก์ตอนพืชที่เป็นกลุ่มเด่น คือ กลุ่มไครอตอมและสาหร่ายสีเขียว และทะเลสาบ Chidong มีสภาพเป็น Eutrophic status มีปริมาณฟอสฟอรัสรวม 0.019 mg/l ปริมาณ ในไตรเจนรวม 1.45 mg/L พนแพลงก์ตอนพืชที่เป็นชนิดเด่น คือ กลุ่มสาหร่ายสีเขียวและสาหร่าย สีเขียวแกมน้ำเงิน (Zhang and Chang, 1994)

จากการพิจารณาถึงคุณภาพน้ำทางกายภาพ เคมี และชีวภาพ ตลอดจนสภาพแวดล้อมพบว่า ปัจจัยที่มีผลต่อความหลากหลายและการแพร่กระจายของสาหร่ายสีเขียวแกมน้ำเงินมี หลากหลายปัจจัยร่วม กัน ไม่ใช่ปัจจัยใดปัจจัยหนึ่ง ยิ่งในสภาพแหล่งน้ำที่ต่างกัน ระดับความลึกต่างกัน ปัจจัยต่างๆ ที่แตกต่างกัน ดังนั้นในการศึกษาถึงความหลากหลายของสาหร่ายสีเขียวแกมน้ำเงิน จึงควรที่จะคำนึงถึง ปัจจัยที่ทำการศึกษา ตลอดจนทำการติดตามตรวจสอบอย่างต่อเนื่อง เพื่อที่จะได้ทราบถึงข้อเท็จจริง ของปัจจัยที่มีผลผลกระทบอย่างแท้จริง

## บทที่ 3

### อุปกรณ์และวิธีดำเนินการศึกษา

#### วัสดุอุปกรณ์และการเตรียม

##### 1. วัสดุอุปกรณ์

###### 1.1 อุปกรณ์เก็บตัวอย่างน้ำและสาหร่าย

1.1.1 ขวดน้ำโอลีดี (BOD bottle)

1.1.2 ขวดพลาสติกเก็บตัวอย่างน้ำขนาด 2 ลิตร

1.1.3 หลอดพลาสติกเก็บตัวอย่างสาหร่าย

1.1.4 อุปกรณ์เก็บน้ำ (Water samplers) ยี่ห้อ Hydrobios

###### 1.2 อุปกรณ์การวิเคราะห์คุณภาพน้ำ

1.2.1 วัสดุอุปกรณ์

1.2.1.1 กรรไกร

1.2.1.2 กระดาษกรอง GF/C ( $\varnothing$  47 mm)

1.2.1.3 กระดาษกรอง Whatmann เบอร์ 1 ( $\varnothing$  125 mm)

1.2.1.4 กระดาษเลนอล

1.2.1.5 ขวดน้ำกลั่น

1.2.1.6 ครกบดสาร (Pistol + mortar)

1.2.1.7 ช้อนตักสาร (Spatula)

1.2.1.8 ปากคีบ (Forceps)

1.2.1.9 ถุงยางดูดสาร (Syringe ball)

1.2.1.10 ถุงมิเนียมฟอยล์

###### 1.2.2 เครื่องแก้ว

1.2.2.1 กระบอกกรอง

1.2.2.2 กระบอกตวง (Measuring cylinder)

1.2.2.3 ขวดเจลดาล (Kjeldahl flask)

1.2.2.4 ขวดรูปชنمพ (Erlenmeyer flask)

1.2.2.5 ขวดวัตปริมาตร (Volumetric flask)

1.2.2.6 จานเพาะเชื้อ (Petri dish)

1.2.2.7 บิวเรตต์ (Burette)

1.2.2.8 บีกเกอร์ (Beaker)

1.2.2.9 ปีเพตต์ (Pipette)

### 1.2.3 เครื่องมือ

1.2.3.1 กล้องจุลทรรศน์เลนส์ประกอบ (Compound microscope)

1.2.3.2 เครื่องกรองสูญญากาศ (Vacuum pump)

1.2.3.3 เครื่องชั่งละอิยาด (Electrical balance)

1.2.3.4 เครื่องวัดความนำไฟฟ้า (Conductivity meter)

1.2.3.5 เครื่องวัด pH (pH meter)

1.2.3.6 เครื่องอังน้ำ (Water bath)

1.2.3.7 ชุดบ่อยและกลั่น (Digestion and distillation set)

1.2.3.8 เตาไฟฟ้า (Hot plate)

1.2.3.9 เทตอร์ไนโมิเตอร์

1.2.3.10 แผ่นวัดความโปร่งใสของน้ำ (Secchi disc)

1.2.3.11 สเปกโทรโฟโตมิเตอร์ (Spectrophotometer) รุ่น DR/2010

### 1.3 อุปกรณ์ตรวจวินิจฉัยชนิด นับปริมาณและถ่ายภาพสาหร่าย

1.3.1 กล้องจุลทรรศน์เลนส์ประกอบ (Compound microscope)

1.3.2 กล้องถ่ายรูป

1.3.3 ไมโครมิเตอร์ (Micrometer)

1.3.4 สไลด์และกระบอกปิดสไลด์

1.3.5 หลอดหยด

## 2 สารเคมีและสารละลายน้ำ

### 2.1 สารเคมีวิเคราะห์ออกซิเจนละลายน้ำ (Dissolved Oxygen: DO)

2.1.1 Alkaline-iodide azide reagent

2.1.2 Manganese sulfate reagent

2.1.3 0.025 M Sodium thiosulfate (0.025 M Na<sub>2</sub>S<sub>2</sub>O<sub>3</sub>)

2.1.4 Starch solution

2.1.5 Sulfuric acid (H<sub>2</sub>SO<sub>4</sub>) AR

2.2 สารเคมีวิเคราะห์แอนามิเนียในไตรเจน (Ammonia nitrogen: NH<sub>3</sub>-N)

2.2.1 EDTA reagent

2.2.2 Nessler reagent

2.2.3 6 N Sodium hydroxide (6 N NaOH)

2.2.4 Zinc sulfate (ZnSO<sub>4</sub>.7H<sub>2</sub>O)

2.3 สารเคมีวิเคราะห์ไนโตรที่ในไตรเจน (Nitrite nitrogen: NO<sub>2</sub>-N)

2.3.1 Nitri Ver 3 Nitrite reagent power pillow

2.4 สารเคมีวิเคราะห์ไนเตรทในไตรเจน (Nitrate nitrogen: NO<sub>3</sub>-N)

2.4.1 Phenoldisulfonic acid solution

2.4.2 12 N Sodium hydroxide (12 N NaOH)

2.5 สารเคมีวิเคราะห์ Kjeldahl ในไตรเจน (Total Kjeldahl nitrogen: TKN)

2.5.1 Boric acid (H<sub>3</sub>BO<sub>3</sub>)

2.5.2 EDTA reagent

2.5.3 Mixed indicator

2.5.4 Nessler reagent

2.5.5 Selenium

2.5.6 32% Sodium hydroxide (32% NaOH)

2.5.7 Sulfuric acid (H<sub>2</sub>SO<sub>4</sub>) AR

2.5.8 Zinc sulfate (ZnSO<sub>4</sub>.7H<sub>2</sub>O)

2.6 สารเคมีวิเคราะห์ฟอสฟอรัส (Orthophosphate-P:PO<sub>4</sub>-P)

2.6.1 Ammonium molybdate reagent

2.6.2 Phenolphthalein indicator

2.6.3 Stannous chloride reagent

2.7 สารเคมีวิเคราะห์ฟอสฟอรัสรวม (Total phosphorus:TP)

2.7.1 Ammonium molybdate reagent

2.7.2 Nitric acid, conc. (HNO<sub>3</sub>)

2.7.3 Phenolphthalein indicator

2.7.4 1 N Sodium hydroxide (1 N NaOH)

2.7.5 Stannous chloride reagent

2.7.6 Sulfuric acid ( $H_2SO_4$ ) AR

2.8 สารเคมีวิเคราะห์คลอโรฟิลล์ เอ (Chlorophyll a)

2.8.1 Ethyl alcohol

2.9 สารเคมีเตรียมน้ำรักษาสภาพเซลล์ Lugol 's solution

2.9.1 Crystal iodine ( $I_2$ )

2.9.2 Glacial acetic acid ( $CH_3COOH$ )

2.9.3 Potassium iodide (KI)

แผนการดำเนินงานและวิธีการวิจัย

1. สำรวจพื้นที่เก็บตัวอย่างและกำหนดจุดเก็บตัวอย่างน้ำและสาหร่ายสีเขียวแกมน้ำเงิน ในอ่างเก็บน้ำเขื่อนแม่น้ำแม่กลองสมบูรณ์ชัด จำนวน 3 จุด (ภาพ 5) คือ
  - จุดที่ 1 หน้าเขื่อน (ละติจูด  $19^{\circ} 10' 05''$  N ลองติจูด  $99^{\circ} 03' 02''$  E)
  - จุดที่ 2 บริเวณแพท่องเที่ยว (ละติจูด  $19^{\circ} 10' 14''$  N ลองติจูด  $99^{\circ} 04' 58''$  E)
  - จุดที่ 3 เหนือแพท่องเที่ยว (ละติจูด  $19^{\circ} 10' 52''$  N ลองติจูด  $99^{\circ} 05' 15''$  E)
2. เก็บตัวอย่างที่ 5 ระดับความลึก คือ 0.3, 10, 20, 30 และ 40 เมตร (หรือตามระดับความลึกสูงสุด ในขณะที่ทำการเก็บตัวอย่าง) โดยเก็บตัวอย่างเดือนละ 1 ครั้ง
3. ศึกษาสาหร่ายสีเขียวแกมน้ำเงิน
  - 3.1 ทำการตกตะกอน (Sedimentation) โดยนำน้ำตัวอย่างมา 500 mL ใส่ในระบบอกรอกตะกอนขนาด 500 mL เดิน Lugol 's solution ในอัตราส่วนต่อหน้าตัวอย่าง 1:100 (Boney, 1975) ตั้งทิ้งไว้ในที่มีค่า 10 วัน สังเกตุจะเห็นว่าสาหร่ายจะตกตะกอนไปอยู่ที่ส่วนล่างของระบบอกรอกน้ำส่วนบนทิ้งไปโดยวิธีการลักษณะน้ำ คงเหลือน้ำไว้ประมาณ 80 mL เท่านั้นที่เหลือ กันระบบอกรอกไปใส่ในระบบอกรอกตะกอนขนาด 100 mL ปรับปริมาตรให้เป็น 100 mL ตั้งทิ้งไว้ในที่มีค่าให้ตกตะกอนอีก 7 วัน และดูดเอาน้ำส่วนบนทิ้งเหลือไว้ 5 mL เก็บน้ำที่มีตะกอนสาหร่ายในขวดพลาสติกเก็บตัวอย่าง ให้เดิน Lugol 's solution ลงไปอีก 1- 2 หยด เพื่อรักษาตัวอย่างรอการตรวจวินิจฉัยนิติดต่อไป (ศิริเพ็ญ, 2537)
  - 3.2 ตรวจวินิจฉัยนิติดของสาหร่ายสีเขียวแกมน้ำเงินโดยใช้หนังสือและเอกสารที่เกี่ยวข้อง คือ กาญจนภานุ (2527), ลัคดา (2538), Smith (1950), Desikachary (1959), Prescott (1970)
  - 3.3 วัดขนาดสาหร่ายด้วย ในไมโครมิเตอร์ (Micrometer)
  - 3.4 นับปริมาณสาหร่ายสีเขียวแกมน้ำเงินโดยวิธี Drop microtransect method (ศิริเพ็ญ, 2543)

- 3.5 ถ่ายภาพสาหร่ายที่พ่นโดยใช้กล้องจุลทรรศน์เลนส์ประกอบ (Compound microscope)
- 3.6 วิเคราะห์ปริมาณคลอร์ฟิลล์ เอ โดยวิธีของ Nusch (1980)
- 4 ศึกษาสภาพแวดล้อม คุณภาพน้ำทางกายภาพและเคมีทางการณ์ จุดเก็บตัวอย่าง
- 4.1 จดบันทึกสภาพอากาศและสภาพแวดล้อมของแม่น้ำที่ทำการเก็บตัวอย่าง
- 4.2 สังเกตสีและกลิ่นของน้ำ
- 4.3 วัดความโปร่งใสของน้ำ โดยใช้ Secchi disc
- 4.4 วัดอุณหภูมิในแม่น้ำและอากาศ โดยใช้ Thermometer
- 4.5 วัดค่า pH ของน้ำ โดยใช้ pH meter
- 4.6 วัดค่าความนำไฟฟ้า โดยใช้ Conductivity meter
- 4.7 วิเคราะห์คุณภาพน้ำทางค้านเคมี ที่ห้องปฏิบัติการ (ศิริเพ็ญ, 2543; APHA, 1998)
- 4.7.1 ออกซิเจนละลายน้ำ (Dissolved Oxygen: DO) โดยวิธี Azide Modification
  - 4.7.2 ออกซิฟอสเฟตฟอฟอรัส (Orthophosphate-P: PO<sub>4</sub>-P) โดยวิธี Stannous chloride
  - 4.7.3 ฟอฟอรัสรวม (Total phosphorus: TP) โดยวิธี Acid digestion followed by Stannous chloride
  - 4.7.4 แอนโนเนียมในไตรเจน (Ammonia nitrogen: NH<sub>3</sub>-N) โดยวิธี Direct Nesslerization
  - 4.7.5 ไนโตรทینไตรเจน (Nitrite nitrogen: NO<sub>2</sub>-N) โดยวิธี Diazotization
  - 4.7.6 ไนเตรทในไตรเจน (Nitrate nitrogen: NO<sub>3</sub>-N) โดยวิธี Phenoldisulfonic acid
  - 4.7.7 Kjeldahl ในไตรเจน (Total Kjeldahl nitrogen: TKN) โดยวิธี Macro Kjeldahl method followed by Nesslerization

## 5 การวิเคราะห์ข้อมูล

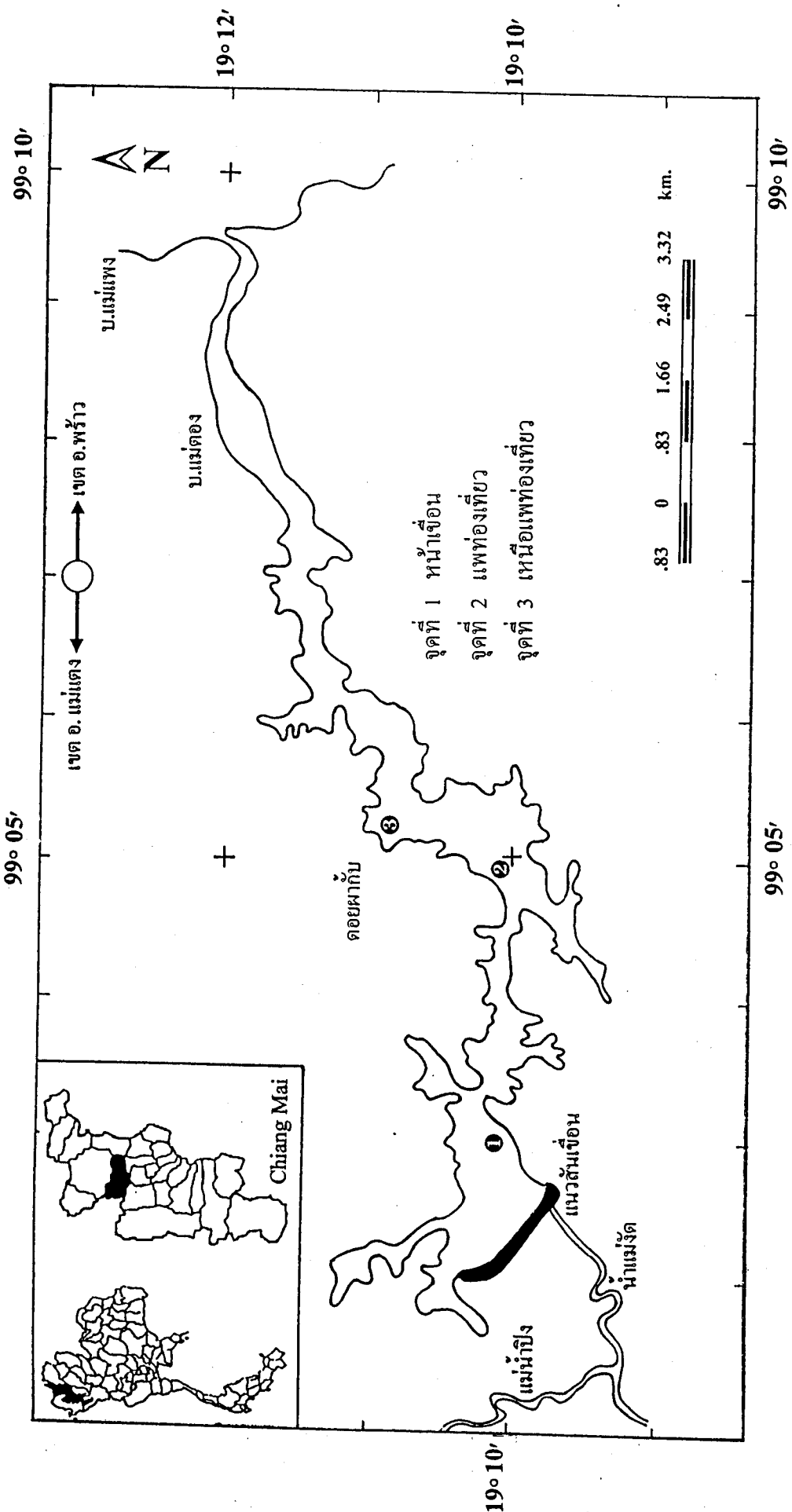
วิเคราะห์สหสัมพันธ์ระหว่างในไตรเจน ฟอฟอรัส และคุณภาพน้ำที่มีอิทธิพลต่อความหลากหลายและการแพร่กระจายของสาหร่ายสีเขียวแกมน้ำเงินในต่างระดับความลึกโดยใช้ Analysis of Variance (ANOVA) และ Correlation coefficient ด้วยโปรแกรมสำเร็จรูป SPSS/PC ที่ระดับความเชื่อมั่น 95% และ 99%

## สถานที่ดำเนินการวิจัยและรวมรวมข้อมูล

1. อ่างเก็บน้ำเขื่อนแม่น้ำแม่จัน ตำบลล้อแต๊ะ อำเภอแม่แตง จังหวัดเชียงใหม่
2. หน่วยวิจัยแพลงก์ตอนพืชและคุณภาพน้ำ ภาควิชาชีววิทยา คณะวิทยาศาสตร์ มหาวิทยาลัยเชียงใหม่ จังหวัดเชียงใหม่

## ระยะเวลาในการวิจัย

12 เดือน ตั้งแต่เดือนกรกฎาคม ถึง เดือนกันยายน พ.ศ. 2544



ก 4 ให้ห้องเรียนตั้งคราบไว้ในห้องเรียนแต่เดิมจะไม่ได้รับการอนุมัติ

(ดัดแปลงจาก: Royal irrigation department, 1977)

## บทที่ 4

### ผลการศึกษา

การศึกษาสาสัมพันธ์ของในไตรเจนและฟอสฟอรัสในน้ำต่อความหลากหลายของสาหร่ายสีเขียวแกมน้ำเงินในอ่างเก็บน้ำเขื่อนแม่น้ำมนูร์ชล ปี 2544 ตั้งแต่เดือนมกราคม ถึงเดือนธันวาคม 2544 ปรากฏผลการศึกษาดังนี้

ความหลากหลายของสาหร่ายสีเขียวแกมน้ำเงินในอ่างเก็บน้ำเขื่อนแม่น้ำมนูร์ชล

จากการศึกษาพบสาหร่ายสีเขียวแกมน้ำเงิน ทั้งหมด 3 อันดับ (orders), 4 วงศ์ (families), 13 สกุล (genera) และ 22 ชนิด (species) (ตาราง 1) ดังนี้

#### Order Chroococcales

Family Chroococcaceae พบ 6 สกุล 9 ชนิด ได้แก่

*Aphanocapsa koordersi* Strom, *Aphanothece* sp., *Chroococcus minutus* (Kutzing) Naegeli, *Chroococcus turgidus* (Kutzing) Naegeli, *Chroococcus* sp., *Dactylococcopsis fascicularis* Lemmermann, *Merismopedia minima* Beck, *Merismopedia punctata* Meyen, *Microcystis aeruginosa* Kutz (ภาพ 5)

#### Order Pleurocapsales

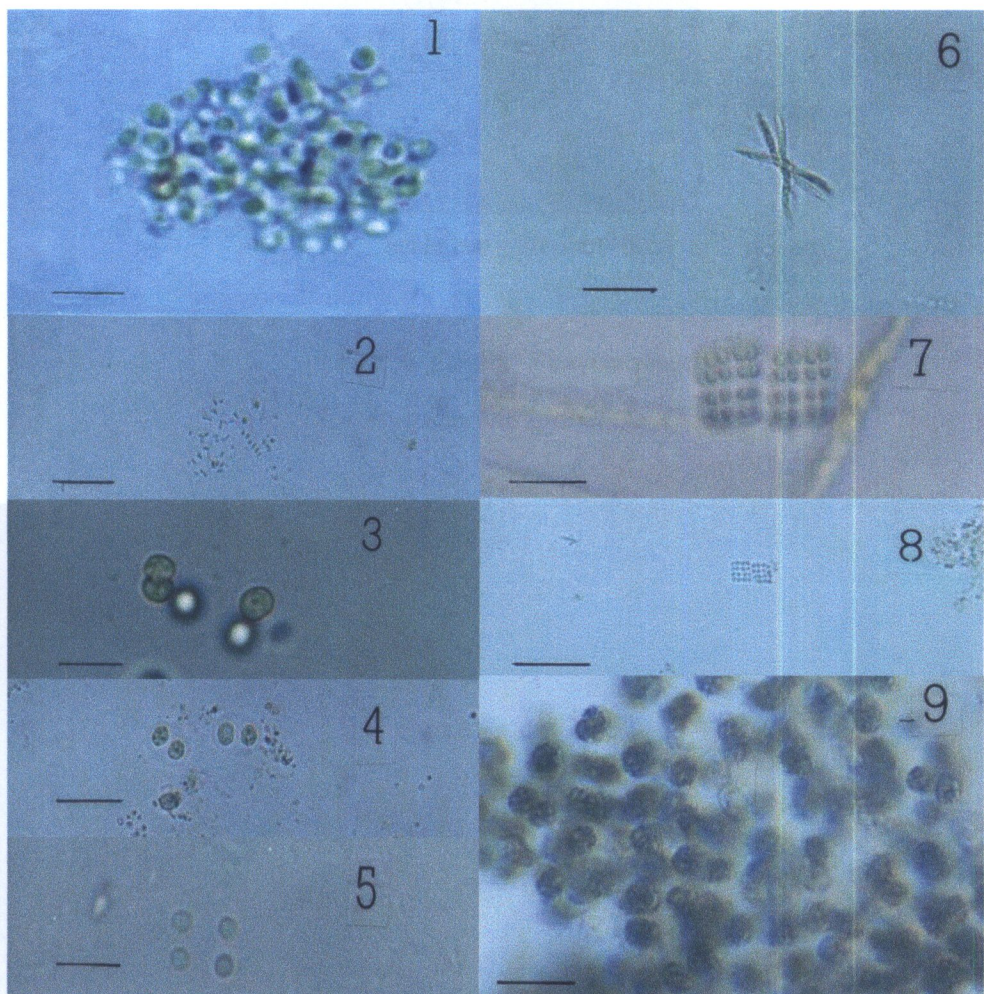
Family Pleurocapsaceae พบ 1 สกุล 1 ชนิด ได้แก่

*Myxosarcina spectabilis* Geitler (ภาพ 6)

#### Order Nostocales

Family Oscillatoriaceae พบ 3 สกุล 6 ชนิด ได้แก่

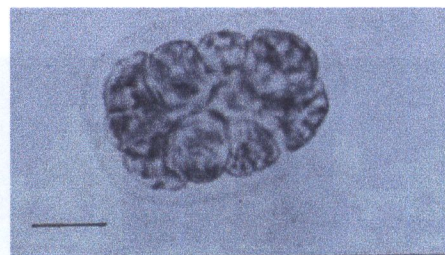
*Lyngbya limnetica* Lemmermann, *Oscillatoria angustissima* West & West, *Oscillatoria prolifica* (Greville) Gomont, *Oscillatoria splendida* Greville.ex Gomont, *Oscillatoria* sp., *Spirulina* sp. (ภาพ 7)



Scale bar = 20 µm (400x)

### ❀❀ 5 Family Chroococcaceae

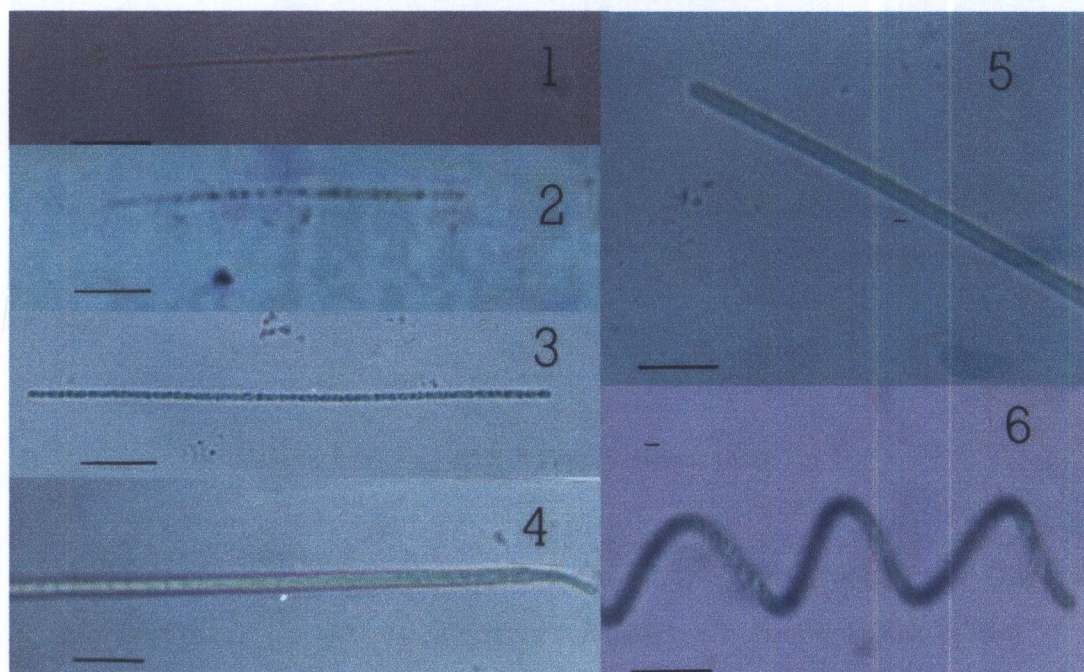
- |   |  |
|---|--|
| 1. <i>Aphanocapsa koordersi</i> Strom             | 6. <i>Dactylococcopsis fascicularis</i> Lemmermann |
| 2. <i>Aphanothece</i> sp.                         | 7. <i>Merismopedia minima</i> Beck                 |
| 3. <i>Chroococcus minutus</i> (Kutzing) Naegeli,  | 8. <i>Merismopedia punctata</i> Meyen              |
| 4. <i>Chroococcus turgidus</i> (Kutzing) Naegeli, | 9. <i>Microcystis aeruginosa</i> Kutz              |
| 5. <i>Chroococcus</i> sp.                         |  |



Scale bar = 20  $\mu\text{m}$  (400x)

### กําหนด 6 Family Pleurocapsaceae

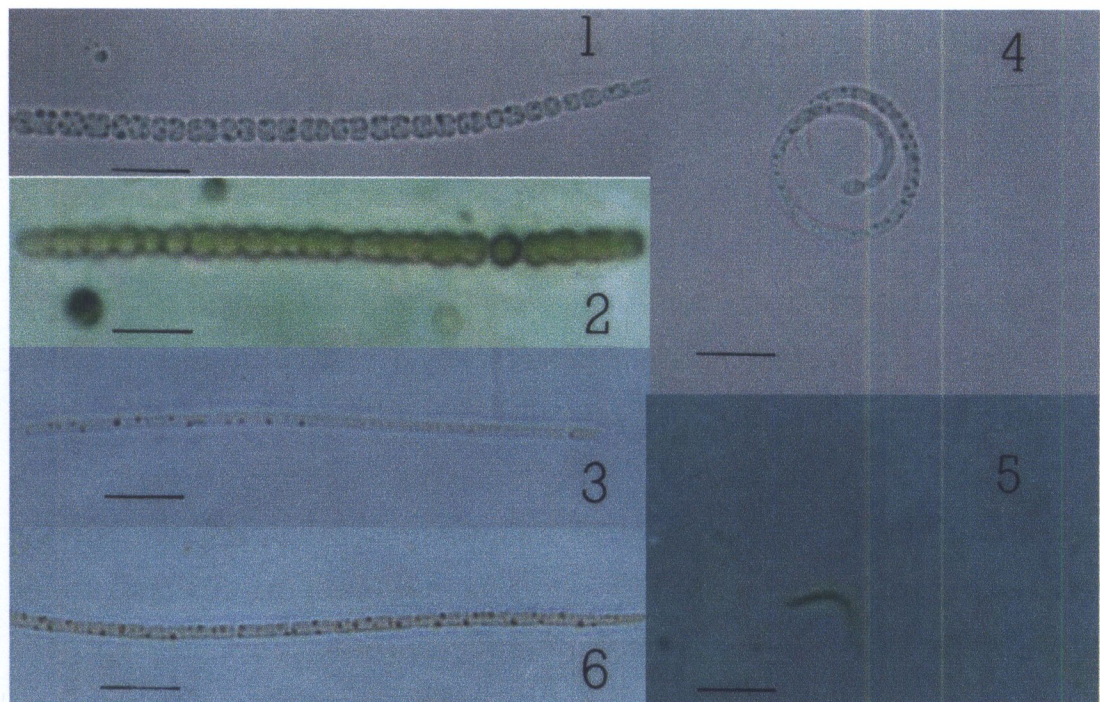
1. *Myxosarcina spectabilis* Geitler



Scale bar = 20  $\mu\text{m}$  (400x)

### กําหนด 7 Family Oscillatoriaceae

- |  |   |
|--|---|
| 1. <i>Lyngbya limnetica</i> Lemmermann             | 4. <i>Oscillatoria splendida</i> Greville.ex Gomont |
| 2. <i>Oscillatoria angustissima</i> West & West    | 5. <i>Oscillatoria</i> sp.                          |
| 3. <i>Oscillatoria prolifica</i> (Greville) Gomont | 6. <i>Spirulina</i> sp.                             |



Scale bar = 20  $\mu\text{m}$  (400x)

#### ກາໄວ 8 Family Nostocaceae

- |   |  |
|---|--|
| 1. <i>Anabaena</i> sp.1                           | 4. <i>Cylindrospermopsis philippinensis</i> (Taylor)Ka.        |
| 2. <i>Anabaena</i> sp.2                           | 5. <i>Raphidiopsis curvata</i> Fritsch & Rich                  |
| 3. <i>Cylindrospermopsis raciborskii</i> (Wolosz) | 6. <i>Raphidiopsis mediterranea</i> Skuja<br>Seenayya & Subba. |

Family Nostocaceae พน 3 สกุล 6 ชนิด ได้แก่

*Anabaena* sp.1, *Anabaena* sp.2, *Cylindrospermopsis raciborskii* (Wolosz) Seenayya & Subba, *Cylindrospermopsis philippinensis* (Taylor) Ka., *Raphidiopsis curvata* Fritsch & Rich, *Raphidiopsis mediterranea* Skuja (ภาพ 8)

จากตารางที่ 1 พนว่าความหลากหลายของสาหร่ายสีเขียวแกมน้ำเงินในแต่ละระดับความลึกไม่มีความแตกต่างกันมากนัก กล่าวคือ ส่วนใหญ่สาหร่ายสีเขียวแกมน้ำเงินมีความหลากหลายมากที่ระดับความลึก 0.30 m เมื่อระดับความลึกเพิ่มขึ้นความหลากหลายของสาหร่ายสีเขียวแกมน้ำเงินก็ไม่ได้ลดน้อยลง ชนิดสาหร่ายสีเขียวแกมน้ำเงินที่พบก็ยังเหมือนเดิม แต่จะแตกต่างกันไปในส่วนของปริมาณสาหร่ายสีเขียวแกมน้ำเงินที่พบ นอกจากนี้พบว่าสาหร่ายสีเขียวแกมน้ำเงินบางชนิดพบที่ระดับความลึกไม่ลึกมากนัก เมื่อระดับความลึกเพิ่มขึ้นจนกระทั่งถึงพื้นท้องน้ำก็จะไม่พบสาหร่ายชนิดนั้นเลย ส่งผลให้ที่ความลึกมากๆ มีความหลากหลายของสาหร่ายน้อย หรืออีกประการ สาหร่ายสีเขียวแกมน้ำเงินบางชนิดพบที่ระดับความลึกมาก ซึ่งก็น้อยครั้งมากที่มีเหตุการณ์ เช่นนี้ แต่อย่างไรก็ตามพบสาหร่ายสีเขียวแกมน้ำเงินที่มีการแพร่กระจายในทุกระดับความลึก เช่น *Lyngbya limnetica* ซึ่งการที่ระดับความลึกต่างๆ มีความหลากหลายของสาหร่ายสีเขียวแกมน้ำเงินมากน้อยแตกต่างกัน อาจเนื่องจากสภาพแวดล้อมรวมทั้งปัจจัยคุณภาพน้ำที่เหมาะสมกับการเจริญเติบโตของสาหร่ายสีเขียวแกมน้ำเงินแต่ละชนิดแตกต่างกัน แต่อย่างไรก็ตามเมื่อวิเคราะห์ทางสถิติ พนว่า ความหลากหลายของสาหร่ายสีเขียวแกมน้ำเงินในแต่ละระดับความลึกไม่มีความแตกต่างอย่างมีนัยสำคัญทางสถิติ ( $P>0.05$ ) (ตาราง 17) ซึ่งแสดงว่าความหลากหลายของสาหร่ายสีเขียวแกมน้ำเงินในความลึกต่างๆ ไม่มีความแตกต่างกัน

อย่างไรก็ตามเพื่อให้เห็นการเปลี่ยนแปลงความหลากหลายของสาหร่ายสีเขียวแกมน้ำเงินในระดับความลึกต่างๆ อย่างชัดเจนก็จะพิจารณาถึงผลการศึกษาชนิดและปริมาณของสาหร่ายสีเขียวแกมน้ำเงินด้วย ซึ่งจะกล่าวในหัวข้อต่อไป

#### จำนวนชนิดและปริมาณของสาหร่ายสีเขียวแกมน้ำเงิน

##### จำนวนชนิดของสาหร่ายสีเขียวแกมน้ำเงิน

พบสาหร่ายสีเขียวแกมน้ำเงินทั้งหมด 22 ชนิด ซึ่งมีจำนวนชนิดแตกต่างกันในต่างความลึกเดือนและฤดูกาลต่อๆ กัน โดยจำนวนชนิดของสาหร่ายสีเขียวแกมน้ำเงินในแต่ละระดับความลึกตลอดการศึกษาแสดงในตาราง 2 และภาพ 9

ที่ 0.30 m มีจำนวนชนิดเฉลี่ย 8 ชนิด พนساหร่ายสีเขียวแกมน้ำเงินมากที่สุด 14 ชนิด ในเดือนพฤษภาคม (จุดที่ 1) และพบน้อยที่สุด 2 ชนิด ในเดือนธันวาคม (จุดที่ 2)

ที่ 10.00 m มีจำนวนชนิดเฉลี่ย 7 ชนิด พนساหร่ายสีเขียวแกมน้ำเงินมากที่สุด 9 ชนิด ในเดือนพฤษภาคม (จุดที่ 1) และพบน้อยที่สุด 4 ชนิด ในเดือนกุมภาพันธ์ (จุดที่ 3) และธันวาคม (จุดที่ 2 และ 3)

ที่ 20.00 m มีจำนวนชนิดเฉลี่ย 6 ชนิด พนساหร่ายสีเขียวแกมน้ำเงินมากที่สุด 8 ชนิด ในเดือนมกราคมและสิงหาคม (จุดที่ 1) และเดือนพฤษจิกายน (จุดที่ 3) และพบน้อยที่สุด 3 ชนิด ในเดือนธันวาคม (จุดที่ 1)

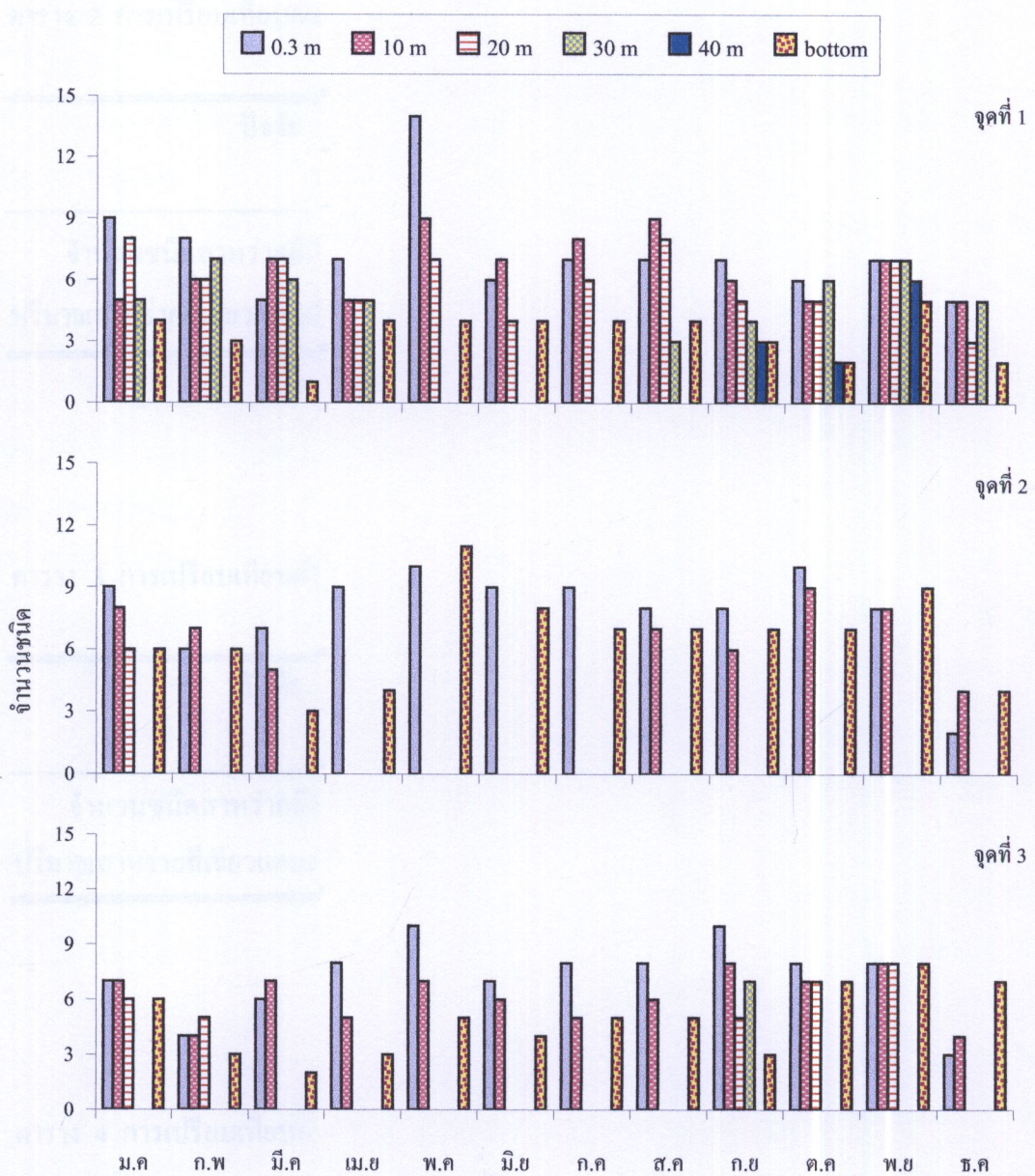
ที่ 30.00 m มีจำนวนชนิดเฉลี่ย 5 ชนิด พนساหร่ายสีเขียวแกมน้ำเงินมากที่สุด 7 ชนิด ในเดือนกุมภาพันธ์และพฤษจิกายน (จุดที่ 1) และเดือนกันยายน (จุดที่ 3) และพบน้อยที่สุด 3 ชนิด ในเดือนสิงหาคม (จุดที่ 1)

ที่ 40.00 m มีจำนวนชนิดเฉลี่ย 4 ชนิด พนساหร่ายสีเขียวแกมน้ำเงินมากที่สุด 6 ชนิด ในเดือนพฤษจิกายน (จุดที่ 1) และพบน้อยที่สุด 2 ชนิด ในเดือนตุลาคม (จุดที่ 1)

ที่พื้นท้องน้ำ มีจำนวนชนิดเฉลี่ย 4 ชนิด พนساหร่ายสีเขียวแกมน้ำเงินมากที่สุด 11 ชนิด ในเดือนพฤษภาคม (จุดที่ 2) และพบน้อยที่สุด 1 ชนิด ในเดือนมีนาคม (จุดที่ 1)

จากการ 9 พนว่าจำนวนชนิดของสาหร่ายสีเขียวแกมน้ำเงิน ส่วนใหญ่มีจำนวนลดลงตามระดับความลึกที่เพิ่มขึ้นแต่ก็ยังมีบางระดับความลึกที่แตกต่างออกไป เช่น เดือนมีนาคม มีอุณหภูมิ กรดภูมิ และสิงหาคม (จุดที่ 1) เดือนกุมภาพันธ์ พฤษภาคม พฤศจิกายน และธันวาคม (จุดที่ 2) และเดือนมีนาคมและธันวาคม (จุดที่ 3) ที่มีจำนวนชนิดเพิ่มขึ้นเมื่อระดับความลึกเพิ่มขึ้น แต่จะเกิดขึ้นบางระดับความลึกเท่านั้น และนอกจากนี้ยังพบว่าจำนวนชนิดของสาหร่ายสีเขียวแกมน้ำเงินที่พื้นท้องน้ำ (จุดที่ 2) มีจำนวนชนิดสูงกว่าที่ระดับความลึกพื้นท้องน้ำในจุดที่ 1 และ 3 ทั้งนี้อาจ เพราะระดับความลึกที่พื้นท้องน้ำ จุดที่ 2 มีความลึกไม่มากนักเมื่อเปรียบเทียบกับ จุดที่ 1 และ 3 ซึ่งส่งผลให้สาหร่ายสีเขียวแกมน้ำเงิน สามารถแพร่กระจายลงไปสู่ที่พื้นท้องน้ำได้มาก จึงมีจำนวนชนิดมากตามไปด้วย อย่างไรก็ตามพบว่าจำนวนชนิดของสาหร่ายสีเขียวแกมน้ำเงินในแต่ละระดับความลึก ไม่มีความแตกต่างอย่างมีนัยสำคัญทางสถิติ ( $P>0.05$ ) (ตาราง 17)

จำนวนชนิดของสาหร่ายสีเขียวแกมน้ำเงินในแต่ละจุดเก็บตัวอย่างและเดือน พนว่าจำนวนชนิดของสาหร่ายสีเขียวแกมน้ำเงิน ไม่มีความแตกต่างอย่างมีนัยสำคัญทางสถิติ ( $P>0.05$ ) (ตาราง 3, 4 และ 17 ก้าว 9) ซึ่งหมายความว่าในแต่ละจุดเก็บตัวอย่างและเดือนที่มีจำนวนชนิดสาหร่ายสีเขียวแกมน้ำเงินแตกต่างกันนั้น เมื่อนำไปวิเคราะห์ทางสถิติถือว่าจำนวนชนิดต่างๆ นั้น ไม่มีความแตกต่างกัน



ภาพ 9 จำนวนชนิด (species) ของสาหร่ายสีเขียวแกมน้ำเงิน

## ปริมาณของสาหร่ายสีเขียวแกมน้ำเงิน

ปริมาณของสาหร่ายสีเขียวแกมน้ำเงินในแต่ละระดับความลึกตลอดการศึกษา (ตาราง 2 ภาพ 10, 11) พบว่า

ที่ 0.30 m มีปริมาณเฉลี่ย  $6,004.75 \times 10^3$  No./L พบราบรอยสีเขียวแกมน้ำเงินมากที่สุด  $40,717.50 \times 10^3$  No./L ในเดือนกันยายน (จุดที่ 3) และพบน้อยที่สุด  $14.05 \times 10^3$  No./L ในเดือนธันวาคม (จุดที่ 3)

ที่ 10.00 m มีปริมาณเฉลี่ย  $1,500.29 \times 10^3$  No./L พบราบรอยสีเขียวแกมน้ำเงินมากที่สุด  $9,922.90 \times 10^3$  No./L ในเดือนสิงหาคม (จุดที่ 1) และพbn้อยที่สุด  $12.50 \times 10^3$  No./L ในเดือนกุมภาพันธ์ (จุดที่ 3)

ที่ 20.00 m มีปริมาณเฉลี่ย  $351.93 \times 10^3$  No./L พบราบรอยสีเขียวแกมน้ำเงินมากที่สุด  $2,770 \times 10^3$  No./L ในเดือนมิถุนายน (จุดที่ 1) และพbn้อยที่สุด  $8.75 \times 10^3$  No./L ในเดือนกุมภาพันธ์ (จุดที่ 3)

ที่ 30.00 m มีปริมาณเฉลี่ย  $155.50 \times 10^3$  No./L พบราบรอยสีเขียวแกมน้ำเงินมากที่สุด  $403.12 \times 10^3$  No./L ในเดือนธันวาคม (จุดที่ 1) และพbn้อยที่สุด  $28.34 \times 10^3$  No./L ในเดือนเมษายน (จุดที่ 1)

ที่ 40.00 m มีปริมาณเฉลี่ย  $54.19 \times 10^3$  No./L พบราบรอยสีเขียวแกมน้ำเงินมากที่สุด  $82.50 \times 10^3$  No./L ในเดือนกันยายน (จุดที่ 1) และพbn้อยที่สุด  $52.50 \times 10^3$  No./L ในเดือนตุลาคม (จุดที่ 1)

ที่พื้นท้องน้ำ มีปริมาณเฉลี่ย  $1,169.53 \times 10^3$  No./L พบราบรอยสีเขียวแกมน้ำเงินมากที่สุด  $30,789.85 \times 10^3$  No./L ในเดือนมิถุนายน (จุดที่ 2) และพbn้อยที่สุด  $3.75 \times 10^3$  No./L ในเดือนกุมภาพันธ์ (จุดที่ 3)

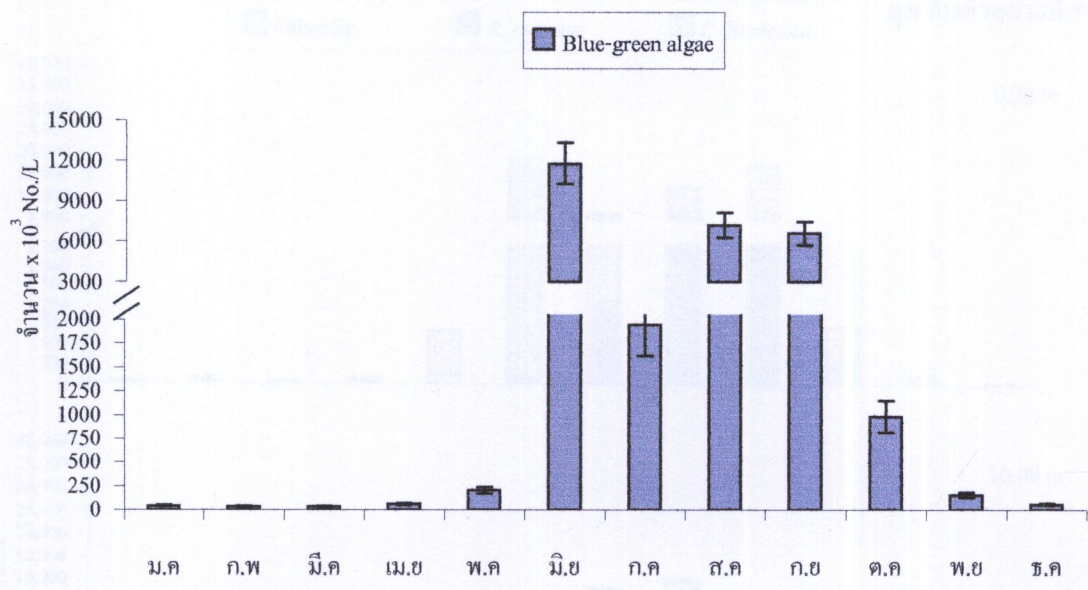
ซึ่งจากผลการศึกษาพบว่าสาหร่ายสีเขียวแกมน้ำเงินมีปริมาณมากที่ 0.30 m และมีปริมาณลดลงที่ 10.00 m แต่ยังถือว่าปริมาณสาหร่ายสีเขียวแกมน้ำเงินที่ระดับความลึกนี้มีปริมาณมากเมื่อเปรียบเทียบกับระดับความลึกอื่นๆ ทำให้เห็นภาพรวมของการเปลี่ยนแปลงปริมาณของสาหร่ายสีเขียวแกมน้ำเงินว่ามีการแพร่กระจายอยู่ที่ระดับความลึก 0.30 – 10.00 m และมีปริมาณลดลงเมื่อระดับความลึกเพิ่มขึ้น แต่อย่างไรก็ตามเมื่อสังเกตผลการศึกษาที่ระดับความลึกพื้นท้องน้ำ (จุดที่ 2, 3) ปริมาณของสาหร่ายสีเขียวแกมน้ำเงินมีปริมาณมาก จะแตกต่างกับจุดที่ 1 ทั้งนี้อาจเกิดจากระดับความลึกพื้นท้องน้ำของจุดที่ 2 และ 3 มีความลึกไม่น่าจะ ส่งผลให้สาหร่ายสีเขียวแกมน้ำเงินมีการแพร่กระจายลงไปได้มาก ซึ่งต่างจากจุดที่ 1 ที่ระดับความลึกพื้นท้องน้ำมีความลึกมาก การที่

สาหร่ายสีเขียวแกมน้ำเงินจะแพร่กระจายลงไปถึงพื้นท้องน้ำก็มีปริมาณน้อย เมื่อทำการวิเคราะห์ทางสถิติ พบว่าปริมาณสาหร่ายสีเขียวแกมน้ำเงินในแต่ละระดับความลึก มีความแตกต่างอย่างมีนัยสำคัญยิ่งทางสถิติ ( $P<0.01$ ) (ตาราง 18) โดยสามารถแบ่งความแตกต่างของปริมาณสาหร่ายสีเขียวแกมน้ำเงินที่พบออกได้ 2 กลุ่ม (ตาราง 2) ได้แก่ กลุ่มที่ 1 (0.30 m) มีปริมาณ  $6,004.75 \times 10^3$  No./L และ กลุ่มที่ 2 (10.00 m ถึงพื้นท้องน้ำ) มีปริมาณ  $54.19 - 1,500.29 \times 10^3$  No./L

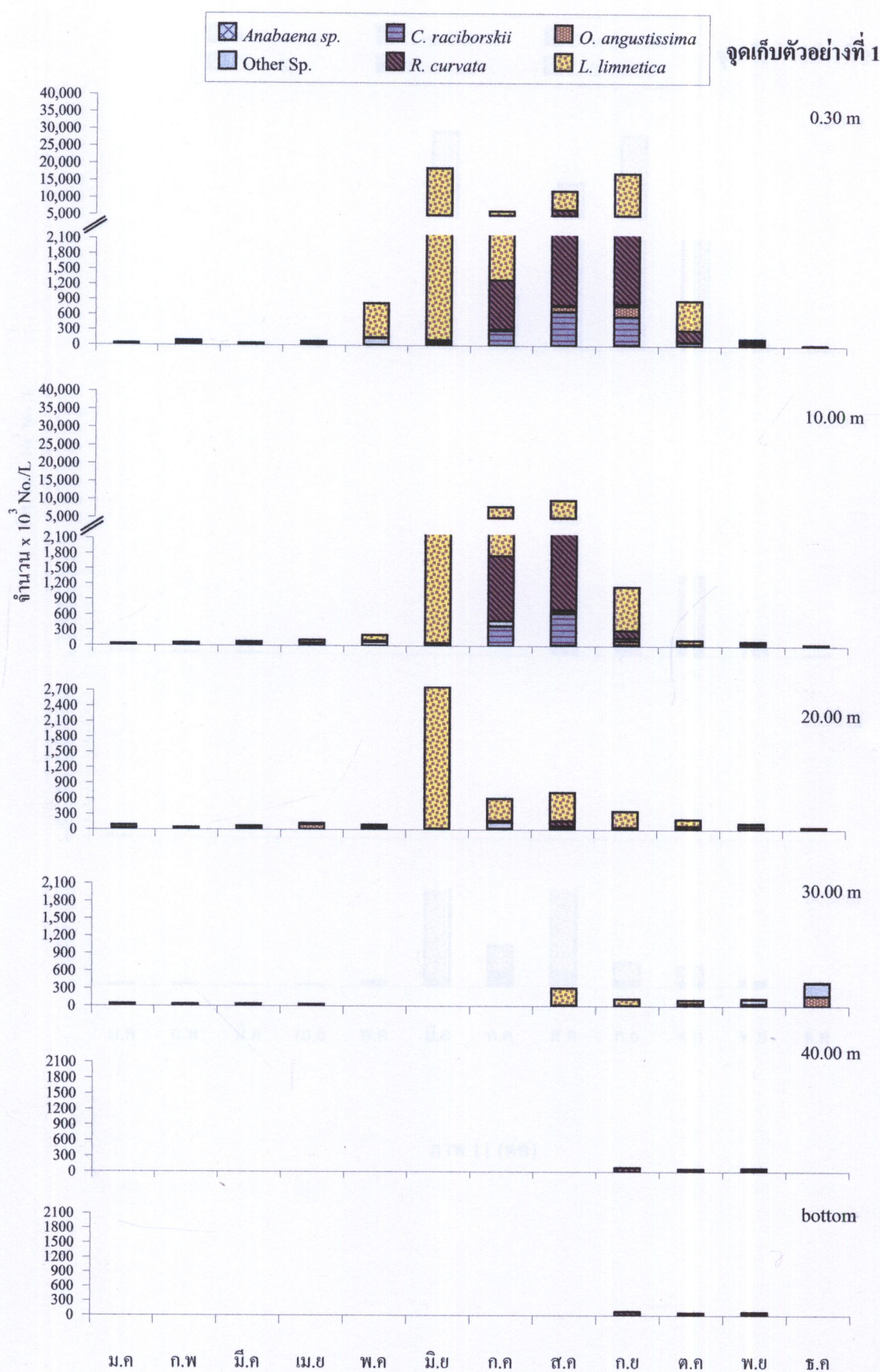
จากการศึกษาปริมาณสาหร่ายสีเขียวแกมน้ำเงินในแต่ละชุดเก็บตัวอย่างและเดือน (ตาราง 3, 4 และภาพ 10, 11) พบว่าปริมาณสาหร่ายสีเขียวแกมน้ำเงินในแต่ละชุดเก็บตัวอย่างมีความแตกต่างอย่างมีนัยสำคัญยิ่งทางสถิติ ( $P<0.01$ ) (ตาราง 18) โดยสามารถแบ่งความแตกต่างของปริมาณสาหร่ายสีเขียวแกมน้ำเงินที่พบออกได้ 3 กลุ่ม (ตาราง 3) ได้แก่ กลุ่มที่ 1 (ชุดที่ 2) มีปริมาณ  $3,654.73 \times 10^3$  No./L กลุ่มที่ 2 (ชุดที่ 3) มีปริมาณ  $2,487.59 \times 10^3$  No./L และกลุ่มที่ 3 (ชุดที่ 1) มีปริมาณ  $1,449.46 \times 10^3$  No./L

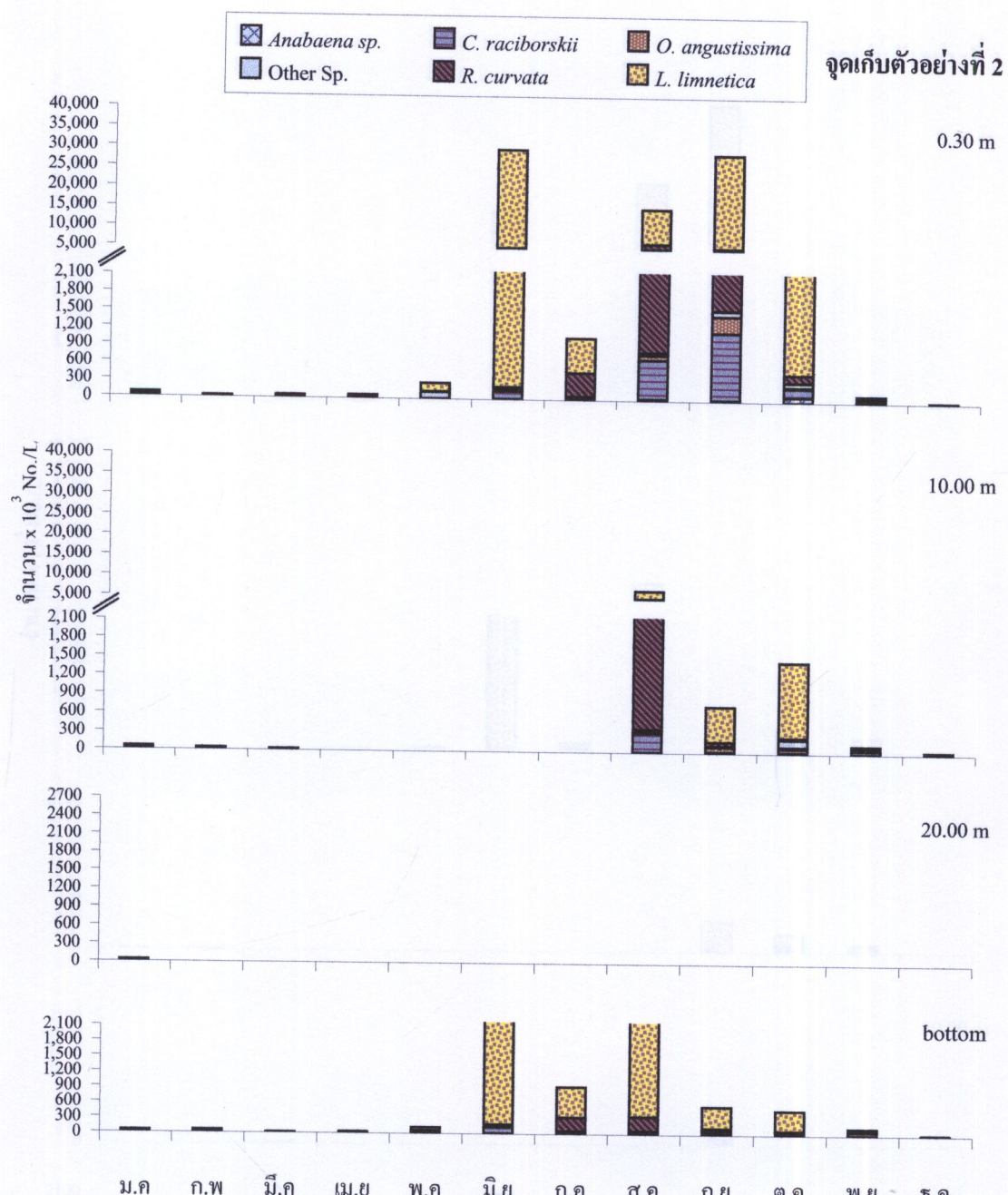
และเมื่อพิจารณาปริมาณสาหร่ายสีเขียวแกมน้ำเงินในแต่ละเดือน (ภาพ 10) พบว่าช่วงแรกของการศึกษาปริมาณของสาหร่ายสีเขียวแกมน้ำเงินมีปริมาณไม่นานกัก หลังจากนั้นปริมาณสาหร่ายสีเขียวแกมน้ำเงินเพิ่มขึ้นเด็กน้อยจนเริ่มนีปริมาณมากตั้งแต่เดือนพฤษภาคมจนถึงกันยายน และหลังจากนั้นปริมาณสาหร่ายสีเขียวแกมน้ำเงินก็เริ่มลดน้อยลง อย่างไรก็ตามเมื่อวิเคราะห์ทางสถิติ พบว่าปริมาณสาหร่ายสีเขียวแกมน้ำเงินมีความแตกต่างอย่างมีนัยสำคัญยิ่งทางสถิติ ( $P<0.01$ ) (ตาราง 18) โดยสามารถแบ่งความแตกต่างของปริมาณสาหร่ายสีเขียวแกมน้ำเงินที่พบออกได้ 8 กลุ่ม (ตาราง 4) ได้แก่ กลุ่มที่ 1 (เดือนมิถุนายน) มีปริมาณ  $11,764.76 \times 10^3$  No./L กลุ่มที่ 2 (เดือนสิงหาคม) มีปริมาณ  $7,166.43 \times 10^3$  No./L กลุ่มที่ 3 (เดือนกันยายน) มีปริมาณ  $6,564.63 \times 10^3$  No./L กลุ่มที่ 4 (เดือนกรกฎาคม) มีปริมาณ  $1,944.90 \times 10^3$  No./L กลุ่มที่ 5 (เดือนตุลาคม) มีปริมาณ  $980.56 \times 10^3$  No./L กลุ่มที่ 6 (เดือนเมษายน และพฤษภาคม) มีปริมาณ  $59.23 - 202.19 \times 10^3$  No./L กลุ่มที่ 7 (เดือนมกราคม เมษายน พฤศจิกายน และธันวาคม) มีปริมาณ  $41.60 - 154.08 \times 10^3$  No./L และกลุ่มที่ 8 (เดือนมกราคม กุมภาพันธ์ มีนาคม เมษายน และธันวาคม) มีปริมาณ  $32.36 - 59.23 \times 10^3$  No./L

และจากการพิจารณาผลการศึกษาจำนวนชนิดและปริมาณสาหร่ายสีเขียวแกมน้ำเงิน พบว่าสาหร่ายสีเขียวแกมน้ำเงินที่เป็นชนิดเด่นตลอดการศึกษา คือ *Lyngbya limnetica* และ *Raphidiopsis curvata* โดยสาหร่ายสีเขียวแกมน้ำเงินทั้งสองชนิดนี้พบบ่อยตลอดการศึกษา มีการแพร่กระจายในทุกระดับความลึก รวมทั้งมีปริมาณมาก โดยเฉพาะในช่วงเดือนที่องค์ประกอบของแพลงก์ตอนพืชส่วนใหญ่เป็นกลุ่มสาหร่ายสีเขียวแกมน้ำเงินที่มีปริมาณมากกว่าแพลงก์ตอนพืชกลุ่มอื่น (เดือนมิถุนายน- กันยายน) (ภาพ 12)



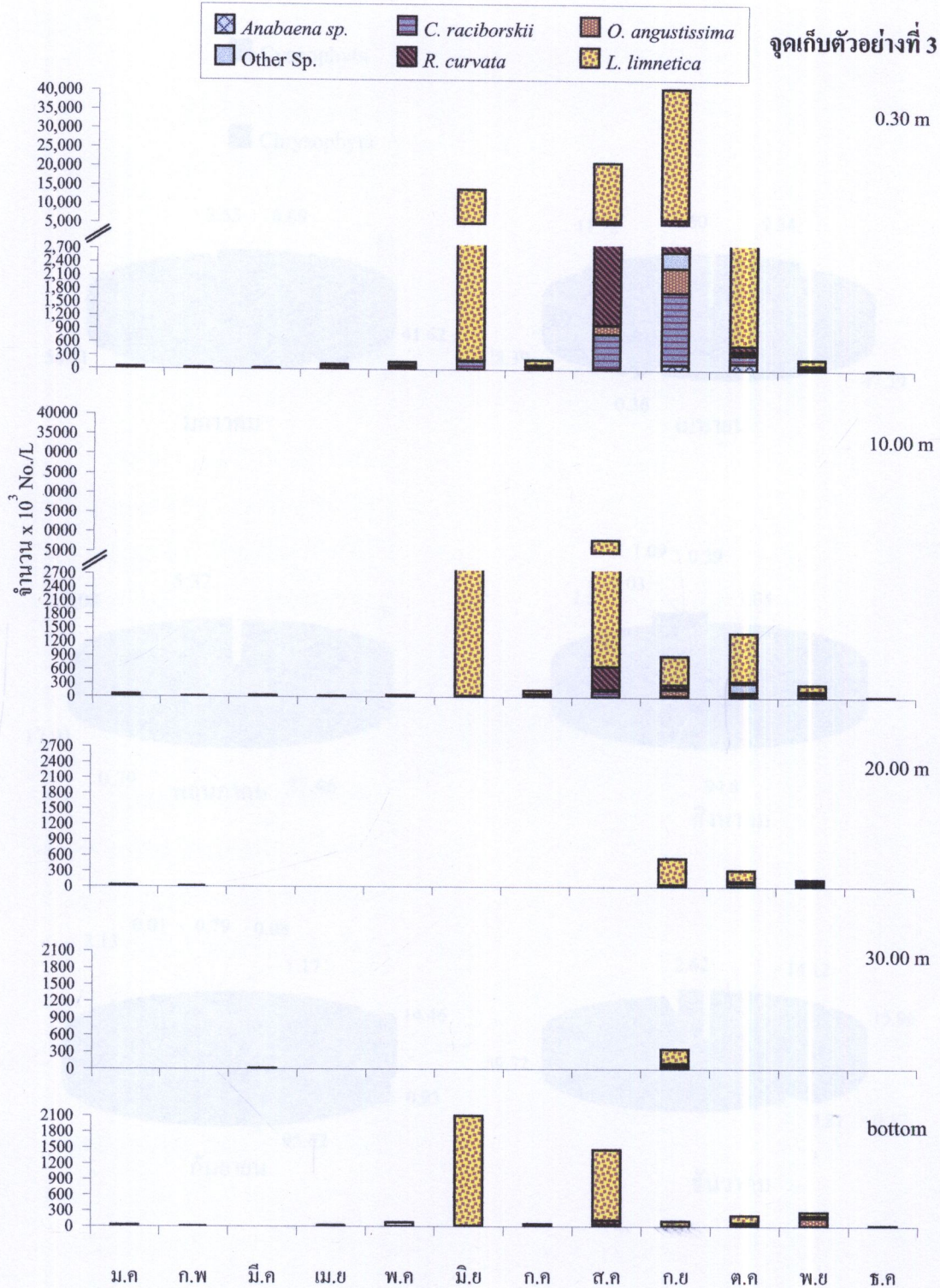
ภาพ 10 ค่าเฉลี่ยของปริมาณสาหร่ายสีเขียวแกมน้ำเงิน ( $\text{จำนวน} \times 10^3 \text{ No./L}$ ) ในแต่ละเดือน

ภาพ 11 ปริมาณของสาหร่ายสีเขียวแกมน้ำเงิน ( $\text{จำนวน} \times 10^3 \text{ No./L}$ )



ภาพ 11 (ต่อ)

ชุดเก็บตัวอย่างที่ 3



ภาพ 11 (ต่อ)

## คุณภาพน้ำทางกายภาพ เกมีและชีวภาพในอ่างเก็บน้ำเขื่อนแม่จัดสมบูรณ์ชล

ผลการศึกษาคุณภาพน้ำทางกายภาพ เกมีและชีวภาพในอ่างเก็บน้ำเขื่อนแม่จัดสมบูรณ์ชล ตั้งแต่เดือนมกราคม ถึงเดือนธันวาคม 2544 ปรากฏผลการศึกษาดังนี้

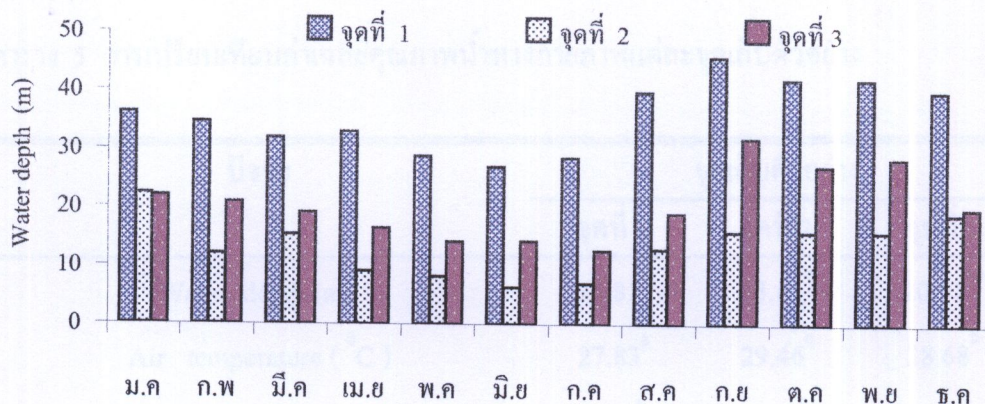
### คุณภาพน้ำทางกายภาพ

#### ระดับความลึกของน้ำ (Water Depth)

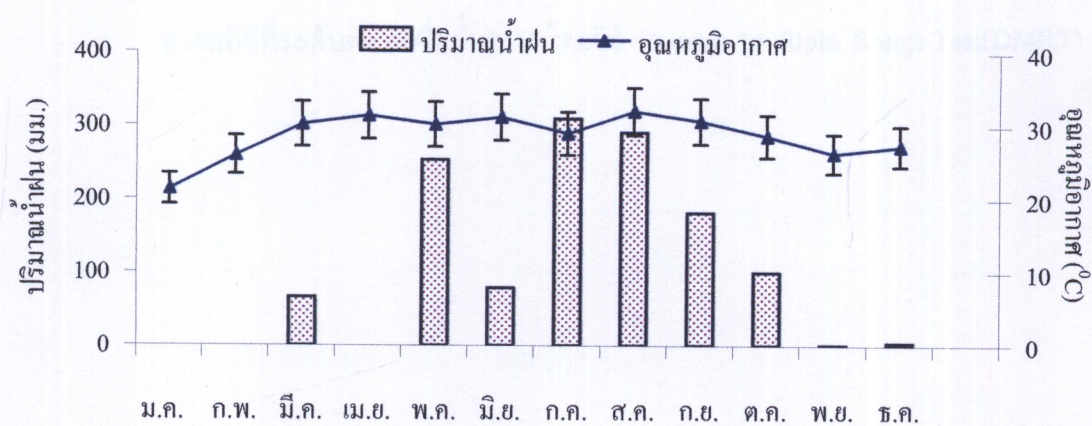
ระดับความลึกของน้ำในอ่างเก็บน้ำเขื่อนแม่จัดสมบูรณ์ชลตั้งแต่เดือนมกราคม – ธันวาคม (ตาราง 16 และภาพ 13) พบว่ามีความลึก 13.61 – 35.81 m ซึ่งจุดที่ 1 จะมีระดับความลึกของน้ำมากที่สุด และจุดที่ 2 มีระดับความลึกน้อยที่สุด เมื่อวิเคราะห์ทางสถิติระหว่างระดับความลึกของน้ำในแต่ละจุดเก็บตัวอย่าง พบว่ามีความแตกต่างอย่างมีนัยสำคัญยิ่งทางสถิติ ( $P<0.01$ ) (ตาราง 19) โดยสามารถแบ่งความแตกต่างของระดับความลึกของน้ำทั้ง 3 จุดออกได้ 2 กลุ่ม (ตาราง 5) ได้แก่ กลุ่มที่ 1 (จุดที่ 1 และ 3) มีความลึก 20.91 – 35.81 m และกลุ่มที่ 2 (จุดที่ 2 และ 3) มีความลึก 13.61 – 20.91 m

และผลการศึกษาระดับความลึกของน้ำในแต่ละเดือน พบว่ามีความลึกแตกต่างกันไปในแต่ละเดือน โดยเริ่มแรกของการศึกษาน้ำมีความลึกมาก ซึ่งสืบเนื่องมาจากการกักกันในปี พ.ศ. 2543 แล้วหลังจากนั้นระดับความลึกก็จะลดลงในช่วงฤดูร้อน แล้วก็จะมีระดับความลึกเพิ่มขึ้นอีกรั้งในฤดูฝน เมื่อนำผลการศึกษามาวิเคราะห์ทางสถิติพบว่าไม่มีความแตกต่างอย่างมีนัยสำคัญทางสถิติ ( $P>0.05$ ) (ตาราง 19)

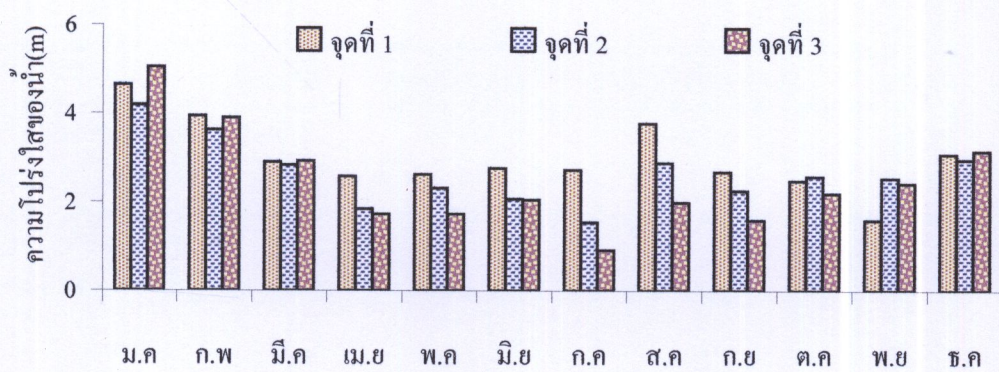
ทั้งนี้ระดับความลึกของน้ำในอ่างเก็บน้ำเขื่อนแม่จัดสมบูรณ์ชลขึ้นอยู่กับปริมาณน้ำฝนที่ตก และการเปิด-ปิดประตูน้ำของอ่างเก็บน้ำ โดยพบว่าปริมาณน้ำฝนเฉลี่ยตลอดปีมีปริมาณ 107.24 mL ซึ่งมีปริมาณมากที่สุดในเดือนกรกฎาคม 2544 (309.90 mL) และไม่มีปริมาณน้ำฝนตกในเดือนมกราคม คุณภาพน้ำ และเมษายน 2544 (0 mL) (ตาราง 6 และภาพ 14) ผลวิเคราะห์ทดสอบพันธุ์ของระดับความลึกของน้ำกับปริมาณน้ำฝน พบว่าระดับความลึกของน้ำมีความสัมพันธ์แปรผันตรงกับปริมาณน้ำฝน ( $r=0.512$ ) (ตาราง 7)



ภาพ 13 ระดับความลึกของน้ำ



ภาพ 14 ปริมาณน้ำฝนและอุณหภูมิอากาศโดยเฉลี่ยแต่ละเดือน



ภาพ 15 ความโปร่งใสของน้ำ

ตาราง 5 การเปรียบเทียบค่าเฉลี่ยคุณภาพน้ำทางกายภาพแต่ละจุดเก็บตัวอย่าง

ปัจจัย	จุดเก็บตัวอย่าง		
	จุดที่ 1	จุดที่ 2	จุดที่ 3
Water depth (m)	35.81 <sup>a</sup>	13.61 <sup>b</sup>	20.91 <sup>ab</sup>
Air temperature (°C)	27.83 <sup>a</sup>	29.46 <sup>c</sup>	28.68 <sup>b</sup>
Secchi depth (m)	2.98 <sup>a</sup>	2.56 <sup>a</sup>	2.54 <sup>a</sup>
Water temperature (°C)	26.21 <sup>a</sup>	27.19 <sup>a</sup>	26.58 <sup>a</sup>

หมายเหตุ อักษรที่เหมือนกันในแนวนอนแสดงว่าไม่มีความแตกต่างกันอย่างมีนัยสำคัญ  
ทางสถิติที่ระดับความเชื่อมั่น 95% โดยวิธี Duncan Multiple Range Test(DMRT)

### ตาราง 6 ปริมาณน้ำฝน

เดือน	ปริมาณน้ำฝน (mL)
มกราคม	-
กุมภาพันธ์	-
มีนาคม	65.80
เมษายน	-
พฤษภาคม	254.10
มิถุนายน	78.80
กรกฎาคม	309.90
สิงหาคม	291.64
กันยายน	181.60
ตุลาคม	100.40
พฤศจิกายน	0.80
ธันวาคม	3.80
เฉลี่ย	107.24

ที่มา : โครงการชลประทานเขื่อนแม่จั่งสมบูรณ์ชล

### ตาราง 7 สัมประสิทธิ์สหสัมพันธ์ (correlation coefficient) ของปริมาณน้ำฝนกับความลึก อุณหภูมิอากาศ ความโปรดังใจของน้ำและอุณหภูมน้ำ

ปัจจัย	ความลึกน้ำ	อุณหภูมิอากาศ	ความโปรดังใจของน้ำ	อุณหภูมน้ำ
ปริมาณน้ำฝน	0.512*	0.574*	-0.065	0.662*

หมายเหตุ \* Correlation is significant at the 0.05 level (2-tailed)

## อุณหภูมิอากาศ (Air Temperature)

อุณหภูมิอากาศในอ่างเก็บน้ำเขื่อนแม่น้ำแม่จั๊ดสมบูรณ์ชลคลอดการศึกษา มีค่า  $21.33 - 32.00^{\circ}\text{C}$  โดยพบว่าอุณหภูมิอากาศแต่ละฤดูกาลเก็บตัวอย่างตลอดการศึกษา (ตาราง 5 และภาพ 14) ปรากฏผลการศึกษาดังนี้

ฤดูกาลที่ 1 มีอุณหภูมิอากาศเฉลี่ย  $27.83^{\circ}\text{C}$  ซึ่งมีอุณหภูมิสูงที่สุดในเดือนสิงหาคม ( $32.00^{\circ}\text{C}$ ) และมีอุณหภูมิต่ำที่สุดในเดือนมกราคม ( $18.00^{\circ}\text{C}$ )

ฤดูกาลที่ 2 มีอุณหภูมิอากาศเฉลี่ย  $29.46^{\circ}\text{C}$  ซึ่งมีอุณหภูมิสูงที่สุดในเดือนเมษายน และสิงหาคม ( $32.00^{\circ}\text{C}$ ) และมีอุณหภูมิต่ำที่สุดในเดือนมกราคม ( $23.00^{\circ}\text{C}$ )

ฤดูกาลที่ 3 มีอุณหภูมิอากาศเฉลี่ย  $28.68^{\circ}\text{C}$  ซึ่งมีอุณหภูมิสูงที่สุดในเดือนเมษายน และสิงหาคม ( $32.00^{\circ}\text{C}$ ) และมีอุณหภูมิต่ำที่สุดในเดือนมกราคม ( $23.00^{\circ}\text{C}$ )

จากการศึกษาชี้ให้เห็นว่าอุณหภูมิอากาศในทั้ง 3 ฤดูกาลตัวอย่างมีลักษณะการเปลี่ยนแปลงคล้ายกัน คือ มีอุณหภูมิสูงในเดือนที่อุณหภูมิร้อนและฤดูฝนบางเดือนที่ฝนไม่ตก อากาศร้อน อุณหภูมิอากาศซึ่งมีค่าสูงตามไปด้วย และอุณหภูมิอากาศทั้ง 3 ฤดูกาลตัวอย่างมีค่าต่ำในเดือนที่อุณหภูมิหนาว เมื่อนำผลการศึกษาของอุณหภูมิอากาศในแต่ละฤดูกาลตัวอย่างและแต่ละเดือนมาวิเคราะห์ทางสถิติ พบว่าอุณหภูมิอากาศในแต่ละฤดูกาลตัวอย่างมีความแตกต่างอย่างมีนัยสำคัญยิ่งทางสถิติ ( $P<0.01$ ) (ตาราง 20) โดยสามารถแบ่งความแตกต่างของอุณหภูมิอากาศในแต่ละฤดูกาลตัวอย่างออกได้ 3 กลุ่ม (ตาราง 5) ได้แก่ กลุ่มที่ 1 (ฤดูที่ 2) มีอุณหภูมิ  $29.46^{\circ}\text{C}$  กลุ่มที่ 2 (ฤดูที่ 3) มีอุณหภูมิ  $28.68^{\circ}\text{C}$  และกลุ่มที่ 3 (ฤดูที่ 1) มีอุณหภูมิ  $27.83^{\circ}\text{C}$

ส่วนผลการวิเคราะห์ทางสถิติของอุณหภูมิอากาศในแต่ละเดือน (ตาราง 8 และภาพ 14) พบว่ามีความแตกต่างอย่างมีนัยสำคัญยิ่งทางสถิติ ( $P<0.01$ ) (ตาราง 20) โดยสามารถแบ่งความแตกต่างของอุณหภูมิอากาศในแต่ละเดือนออกได้ 11 กลุ่ม (ตาราง 8) ได้แก่ กลุ่มที่ 1 (เดือนสิงหาคม) มีอุณหภูมิ  $32.00^{\circ}\text{C}$  กลุ่มที่ 2 (เดือนเมษายน) มีอุณหภูมิ  $31.33^{\circ}\text{C}$  กลุ่มที่ 3 (เดือนมิถุนายน) มีอุณหภูมิ  $31.17^{\circ}\text{C}$  กลุ่มที่ 4 (เดือนกันยายน) มีอุณหภูมิ  $30.67^{\circ}\text{C}$  กลุ่มที่ 5 (เดือนมีนาคมและพฤษภาคม) มีอุณหภูมิ  $30.17^{\circ}\text{C}$  กลุ่มที่ 6 (เดือนกรกฎาคม) มีอุณหภูมิ  $29.00^{\circ}\text{C}$  กลุ่มที่ 7 (เดือนตุลาคม) มีอุณหภูมิ  $28.67^{\circ}\text{C}$  กลุ่มที่ 8 (เดือนธันวาคม) มีอุณหภูมิ  $27.33^{\circ}\text{C}$  กลุ่มที่ 9 (เดือนพฤษจิกายน) มีอุณหภูมิ  $26.33^{\circ}\text{C}$  กลุ่มที่ 10 (เดือนกุมภาพันธ์) มีอุณหภูมิ  $26.00^{\circ}\text{C}$  และกลุ่มที่ 11 (เดือนมกราคม) มีอุณหภูมิ  $21.33^{\circ}\text{C}$

## ความโปร่งใสของน้ำ (Water Transparency)

ความโปร่งใสของน้ำในอ่างเก็บน้ำเขื่อนแม่จั๊ดสมบูรณ์ชล (เดือนกรกฎาคม – ธันวาคม 2544) (ตาราง 16 และภาพ 15) พบว่ามีค่า  $1.73 - 4.62 \text{ m}$  โดยผลการศึกษาความโปร่งใสในแต่ละชุดเก็บตัวอย่าง ปรากฏผลดังนี้

ชุดเก็บตัวอย่างที่ 1 มีความโปร่งใสเฉลี่ย  $2.98 \text{ m}$  ซึ่งมีค่ามากที่สุดในเดือนกรกฎาคม ( $4.64 \text{ m}$ ) และมีค่าน้อยที่สุดในเดือนพฤษภาคม ( $1.60 \text{ m}$ )

ชุดเก็บตัวอย่างที่ 2 มีความโปร่งใสเฉลี่ย  $2.56 \text{ m}$  ซึ่งมีค่ามากที่สุดในเดือนกรกฎาคม ( $4.19 \text{ m}$ ) และมีค่าน้อยที่สุดในเดือนกรกฎาคม ( $1.55 \text{ m}$ )

ชุดเก็บตัวอย่างที่ 3 มีความโปร่งใสเฉลี่ย  $2.54 \text{ m}$  ซึ่งมีค่ามากที่สุดในเดือนกรกฎาคม ( $5.04 \text{ m}$ ) และมีค่าน้อยที่สุดในเดือนกรกฎาคม ( $0.92 \text{ m}$ )

ซึ่งพบว่าความโปร่งใสของน้ำที่ชุดเก็บตัวอย่างที่ 1 มีค่ามากกว่าชุดเก็บตัวอย่างที่ 2 และ 3 ยกเว้นในเดือนตุลาคม และพฤษภาคม ที่ชุดเก็บตัวอย่างที่ 2 มีค่ามากกว่าชุดเก็บตัวอย่างที่ 1 และ 3 และในเดือนกรกฎาคม และธันวาคม ที่ชุดเก็บตัวอย่าง 3 มีค่ามากกว่าชุดเก็บตัวอย่างที่ 1 และ 2 อย่างไรก็ตาม เมื่อนำผลการศึกษามาวิเคราะห์ทางสถิติระหว่างความโปร่งใสของน้ำในแต่ละชุดเก็บตัวอย่าง พบร่วมกันไม่มีความแตกต่างอย่างมีนัยสำคัญทางสถิติ ( $P>0.05$ ) (ตาราง 21)

และผลการศึกษาความโปร่งใสของน้ำแต่ละเดือนตลอดการศึกษา พบว่าช่วงแรกของการศึกษาซึ่งอยู่ในฤดูหนาว ความโปร่งใสของน้ำมีค่ามาก อาจเนื่องจากอ่างเก็บน้ำมีปริมาณน้ำมาก สภาพน้ำนิ่ง ไม่มีตะกอน ห้องฟ้าเปิด แต่หลังจากนั้นตั้งแต่เดือนมีนาคมเป็นต้นมา ความโปร่งใสของน้ำเริ่มลดลง ซึ่งปริมาณน้ำในอ่างเก็บน้ำเริ่มน้อยลง สภาพน้ำมีตะกอนแนวลอดอย่างมาก และเมื่อเข้าช่วงฤดูฝนในเดือนพฤษภาคม ความโปร่งใสของน้ำเพิ่มขึ้นเล็กน้อย แต่ก็ยังถือว่าข้างมีค่าน้อยอยู่ อาจเนื่องจากฝนที่ตกจะชะล้างตะกอนลงสู่อ่างเก็บน้ำ ทำให้ค่าความโปร่งใสของน้ำมีค่าน้อย ยกเว้นในเดือนสิงหาคม พบร่วมกันไม่มีความแตกต่างอย่างมีนัยสำคัญทางสถิติ ( $P<0.05$ ) (ตาราง 21) โดยสามารถแบ่งความแตกต่างของค่าความโปร่งใสของน้ำแต่ละเดือนออกได้ 7 กลุ่ม (ตาราง 8) ได้แก่ กลุ่มที่ 1 (เดือนกรกฎาคมและกุมภาพันธ์) มีค่า  $3.82 - 4.62 \text{ m}$  กลุ่มที่ 2 (เดือนกุมภาพันธ์และธันวาคม) มีค่า  $3.06 - 3.82 \text{ m}$  กลุ่มที่ 3 (มีนาคม สิงหาคมและธันวาคม) มีค่า  $2.88 - 3.06 \text{ m}$  กลุ่มที่ 4 (เดือนมีนาคม สิงหาคมและตุลาคม) มีค่า  $2.42 - 2.88 \text{ m}$  กลุ่มที่ 5 (เดือน

มีนาคม มิถุนายนและตุลาคม) มีค่า 2.29 – 2.88 m กลุ่มที่ 6 (เดือนเมษายน พฤศจิกายน มิถุนายน กันยายน ตุลาคมและพฤษจิกายน) มีค่า 2.05 – 2.42 m และกลุ่มที่ 7 (เดือนเมษายน กรกฎาคม กันยายนและพฤษจิกายน) มีค่า 1.73 – 2.18 m

### อุณหภูมน้ำ (Water Temperature)

อุณหภูมน้ำในอ่างเก็บน้ำเขื่อนแม่น้ำแม่กลอง (เดือนกรกฎาคม – ธันวาคม 2544) พบว่ามีค่า  $24.05 - 29.57^{\circ}\text{C}$  โดยอุณหภูมน้ำในแต่ละระดับความลึกตลอดการศึกษา (ตาราง 16 และภาพ 16, 17) พบว่า

ที่ 0.30 m มีอุณหภูมน้ำเฉลี่ย  $28.11^{\circ}\text{C}$  ซึ่งมีอุณหภูมิสูงที่สุดในเดือนสิงหาคม จุดที่ 3 ( $32.10^{\circ}\text{C}$ ) และมีอุณหภูมิต่ำที่สุดในเดือนกรกฎาคม จุดที่ 1 ( $24.00^{\circ}\text{C}$ )

ที่ 10.00 m มีอุณหภูมน้ำเฉลี่ย  $26.52^{\circ}\text{C}$  ซึ่งมีอุณหภูมิสูงที่สุดในเดือนสิงหาคม จุดที่ 1 ( $29.90^{\circ}\text{C}$ ) และมีอุณหภูมิต่ำที่สุดในเดือนกรกฎาคม จุดที่ 1 ( $23.90^{\circ}\text{C}$ )

ที่ 20.00 m มีอุณหภูมน้ำเฉลี่ย  $25.79^{\circ}\text{C}$  ซึ่งมีอุณหภูมิสูงที่สุดในเดือนสิงหาคม จุดที่ 1 ( $29.00^{\circ}\text{C}$ ) และมีอุณหภูมิต่ำที่สุดในเดือนกรกฎาคม จุดที่ 1 ( $23.80^{\circ}\text{C}$ )

ที่ 30.00 m มีอุณหภูมน้ำเฉลี่ย  $25.56^{\circ}\text{C}$  ซึ่งมีอุณหภูมิสูงที่สุดในเดือนสิงหาคม จุดที่ 1 ( $28.40^{\circ}\text{C}$ ) และมีอุณหภูมิต่ำที่สุดในเดือนกรกฎาคม จุดที่ 1 ( $23.50^{\circ}\text{C}$ )

ที่ 40.00 m มีอุณหภูมน้ำเฉลี่ย  $25.13^{\circ}\text{C}$  ซึ่งมีอุณหภูมิสูงที่สุดในเดือนกุมภาพันธ์ จุดที่ 1 ( $26.60^{\circ}\text{C}$ ) และมีอุณหภูมิต่ำที่สุดในเดือนพฤษจิกายน จุดที่ 1 ( $25.20^{\circ}\text{C}$ )

ที่พื้นท้องน้ำ มีอุณหภูมน้ำเฉลี่ย  $25.87^{\circ}\text{C}$  ซึ่งมีอุณหภูมิสูงที่สุดในเดือนมิถุนายน จุดที่ 2 ( $30.70^{\circ}\text{C}$ ) และมีอุณหภูมิต่ำที่สุดในเดือนกรกฎาคม จุดที่ 1 ( $23.10^{\circ}\text{C}$ )

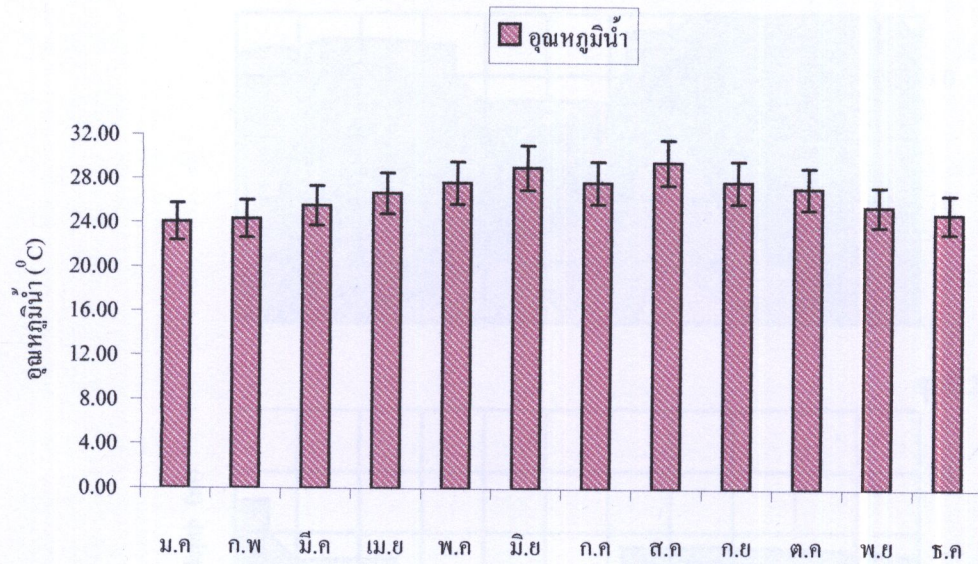
โดยจากการสังเกต พบว่าตั้งแต่ระดับความลึก 0.30 – 40.00 m อุณหภูมน้ำมีค่าลดลงตามระดับความลึกที่เพิ่มขึ้น แต่อย่างไรก็ตามที่พื้นท้องน้ำมีอุณหภูมน้ำโดยเฉลี่ยสูงขึ้นเมื่อน้อยเพราที่พื้นท้องน้ำโดยเฉพาะจุดที่ 2 และ 3 มีอุณหภูมน้ำลดลงเมื่อน้อยจากที่ระดับผิวน้ำ ทั้งนี้เพราะจากระดับผิวน้ำถึงที่พื้นท้องน้ำมีความลึกไม่นัก

เมื่อทำการวิเคราะห์ทางสถิติระหว่างอุณหภูมน้ำในแต่ละระดับความลึก พบว่ามีความแตกต่างอย่างมีนัยสำคัญทางสถิติ ( $P<0.05$ ) (ตาราง 22) สามารถแบ่งความแตกต่างของอุณหภูมน้ำออกได้ 2 กลุ่ม (ตาราง 9) ได้แก่ กลุ่มที่ 1 (0.30 m) มีอุณหภูมิ  $28.11^{\circ}\text{C}$  และกลุ่มที่ 2 (10.00 m ถึงพื้นท้องน้ำ) มีอุณหภูมิ  $25.13 - 26.52^{\circ}\text{C}$

ตาราง 9 การเปรียบเทียบค่าเฉลี่ยคุณภาพน้ำทางกายภาพและเคมีแต่ละระดับความลึก

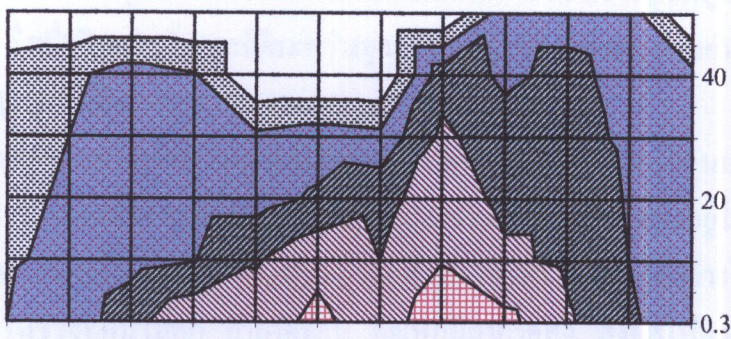
ปัจจัย	ระดับความลึก (m)					
	0.30	10.00	20.00	30.00	40.00	พื้นท้องน้ำ
Water temperature ( <sup>0</sup> C)	28.11 <sup>a</sup>	26.52 <sup>b</sup>	25.79 <sup>b</sup>	25.56 <sup>b</sup>	25.13 <sup>b</sup>	25.87 <sup>b</sup>
pH	7.22 <sup>a</sup>	6.50 <sup>b</sup>	6.37 <sup>c</sup>	6.17 <sup>c</sup>	5.61 <sup>c</sup>	6.41 <sup>b</sup>
Conductivity (us/cm)	97.97 <sup>b</sup>	95.69 <sup>b</sup>	95.56 <sup>b</sup>	93.20 <sup>b</sup>	112.00 <sup>a</sup>	106.34 <sup>b</sup>
DO (mg/L)	5.83 <sup>a</sup>	2.37 <sup>b</sup>	1.46 <sup>c</sup>	0.11 <sup>c</sup>	0 <sup>c</sup>	1.24 <sup>c</sup>
NH <sub>3</sub> -N (mg/L)	0.0339 <sup>c</sup>	0.0380 <sup>c</sup>	0.0365 <sup>c</sup>	0.0554 <sup>c</sup>	0.0844 <sup>a</sup>	0.0527 <sup>b</sup>
NO <sub>2</sub> -N (mg/L)	0.0043 <sup>a</sup>	0.0042 <sup>a</sup>	0.0046 <sup>a</sup>	0.0041 <sup>a</sup>	0.0047 <sup>a</sup>	0.0046 <sup>a</sup>
NO <sub>3</sub> -N (mg/L)	0.0129 <sup>b</sup>	0.0177 <sup>b</sup>	0.0199 <sup>b</sup>	0.0237 <sup>b</sup>	0.0226 <sup>b</sup>	0.0389 <sup>a</sup>
TKN (mg/L)	0.0799 <sup>b</sup>	0.0875 <sup>b</sup>	0.0995 <sup>b</sup>	0.1516 <sup>b</sup>	0.2175 <sup>a</sup>	0.1250 <sup>b</sup>
Total - N (mg/L)	0.0971 <sup>b</sup>	0.1095 <sup>b</sup>	0.1241 <sup>b</sup>	0.1794 <sup>ab</sup>	0.2449 <sup>a</sup>	0.1685 <sup>ab</sup>
PO <sub>4</sub> -P (ug/L)	1.74 <sup>d</sup>	1.95 <sup>d</sup>	2.37 <sup>d</sup>	3.49 <sup>c</sup>	4.98 <sup>a</sup>	3.84 <sup>b</sup>
Total - P (ug/L)	6.45 <sup>b</sup>	7.70 <sup>b</sup>	8.70 <sup>b</sup>	11.15 <sup>ab</sup>	10.90 <sup>b</sup>	11.12 <sup>a</sup>
Total N :Total P	17.84 <sup>a</sup>	18.83 <sup>a</sup>	17.99 <sup>a</sup>	21.76 <sup>a</sup>	27.46 <sup>a</sup>	17.61 <sup>a</sup>

หมายเหตุ อักษรที่เหมือนกันในแนวนอน แสดงว่าไม่มีความแตกต่างกันอย่างมีนัยสำคัญทางสถิติ  
ที่ระดับความเชื่อมั่น 95% โดยวิธี Duncan Multiple Range Test (DMRT)

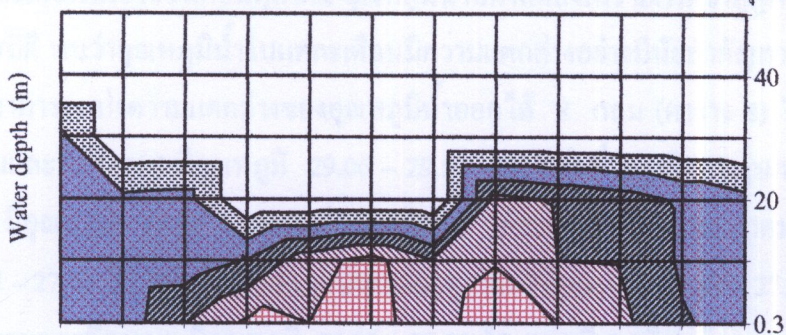


ภาพ 16 ค่าเฉลี่ยของอุณหภูมิน้ำ ( $^{\circ}\text{C}$ ) ในแต่ละเดือน

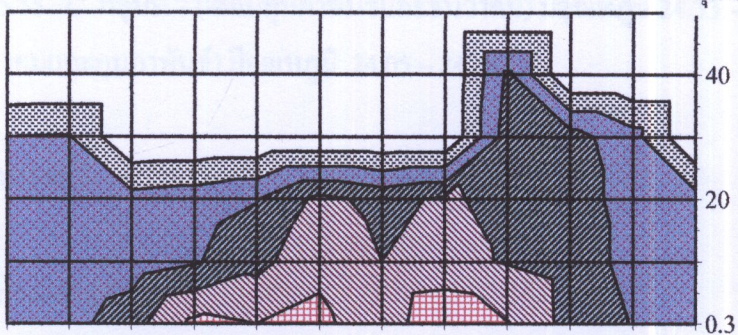
จุดที่ 1



จุดที่ 2



จุดที่ 3



ม.ค ก.พ มี.ค เม.ย พ.ค มิ.ย ก.ค ส.ค ก.ย ต.ค พ.ย ธ.ค

□ 20- 22	▨ 22- 24	■ 24- 26	■ 26- 28	▨ 28- 30	■ 30- 32
----------	----------	----------	----------	----------	----------

ภาพ 17 อุณหภูมน้ำ ( $^{\circ}\text{C}$ ) ในต่างระดับความลึก

ผลการศึกษาอุณหภูมิน้ำในแต่ละจุดเก็บตัวอย่าง พบว่าการเปลี่ยนแปลงของอุณหภูมน้ำในแต่ละระดับความลึกของทั้ง 3 จุดเก็บตัวอย่างมีการเปลี่ยนแปลงคล้ายกัน คือ มีอุณหภูมิลดลงตามระดับความลึกที่เพิ่มขึ้น ซึ่งเมื่อวิเคราะห์ทางสถิติระหว่างอุณหภูมน้ำในแต่ละจุดเก็บตัวอย่างไม่มีความแตกต่างอย่างมีนัยสำคัญทางสถิติ ( $P>0.05$ ) (ตาราง 22)

และผลการศึกษาอุณหภูมน้ำในแต่ละเดือน พบว่าอุณหภูมน้ำในช่วงเดือนแรกๆ มีค่าน้อยไปอยู่ในฤดูหนาว แต่หลังจากนั้นมีอุณหภูมิสูงขึ้นในช่วงเดือนเมษายนซึ่งอยู่ในฤดูร้อนและมีอุณหภูมิลดลงเล็กน้อยเมื่อเริ่มเข้าช่วงเดือนพฤษภาคมซึ่งเริ่มเข้าช่วงฤดูฝนแต่อย่างไรก็ตามในช่วงเดือนที่อยู่ในฤดูฝนในช่วงที่ฝนไม่ตก อากาศร้อน อุณหภูมิอากาศสูง ส่งผลให้อุณหภูมน้ำมีค่าสูงตามไปด้วย และเมื่อเริ่มเข้าช่วงเดือนตุลาคม อุณหภูมน้ำมีค่าลดลง เพราะเริ่มเข้าฤดูหนาว เมื่อทำการวิเคราะห์ทางสถิติ พบว่าอุณหภูมน้ำในแต่ละเดือนมีความแตกต่างอย่างมีนัยสำคัญทางสถิติ ( $P<0.05$ ) (ตาราง 22) สามารถแบ่งความแตกต่างของอุณหภูมน้ำออกได้ 8 กลุ่ม (ตาราง 8) ได้แก่ กลุ่มที่ 1 (เดือนมิถุนายนและสิงหาคม) มีอุณหภูมิ  $29.06 - 29.57^{\circ}\text{C}$  กลุ่มที่ 2 (เดือนพฤษภาคม กรกฎาคม และกันยายน) มีอุณหภูมิ  $27.66 - 27.77^{\circ}\text{C}$  กลุ่มที่ 3 (เดือนพฤษภาคม กรกฎาคมและตุลาคม) มีอุณหภูมิ  $27.21 - 27.70^{\circ}\text{C}$  กลุ่มที่ 4 (เดือนเมษายนและตุลาคม) มีอุณหภูมิ  $26.69 - 27.21^{\circ}\text{C}$  กลุ่มที่ 5 (เดือนมีนาคมและพฤษจิกายน) มีอุณหภูมิ  $25.55 - 25.57^{\circ}\text{C}$  กลุ่มที่ 6 (เดือนมีนาคมและธันวาคม) มีอุณหภูมิ  $24.93 - 25.55^{\circ}\text{C}$  กลุ่มที่ 7 (เดือนกุมภาพันธ์และธันวาคม) มีอุณหภูมิ  $24.33 - 24.93^{\circ}\text{C}$  และ กลุ่มที่ 8 (เดือนมกราคมและกุมภาพันธ์) มีอุณหภูมิ  $24.05 - 24.33^{\circ}\text{C}$

### คุณภาพน้ำทางเคมี

#### ความเป็นกรด-ด่าง (pH)

ผลการศึกษาพบว่า ความเป็นกรด-ด่าง มีค่า  $5.51 - 8.30$  โดยค่าความเป็นกรด-ด่างแต่ละระดับความลึก (ตาราง 16 และภาพ 18, 19) ปรากฏผลดังนี้

ที่  $0.30\text{ m}$  มีค่าความเป็นกรด-ด่างเฉลี่ย  $7.22$  ซึ่งมีค่ามากที่สุดในเดือนพฤษภาคม (จุดที่ 3)  $8.32$  และมีค่าน้อยที่สุดในเดือนพฤษจิกายน (จุดที่ 1)  $5.65$

ที่  $10.00\text{ m}$  มีค่าความเป็นกรด-ด่างเฉลี่ย  $6.50$  ซึ่งมีค่ามากที่สุดในเดือนพฤษภาคม (จุดที่ 1)  $8.31$  และมีค่าน้อยที่สุดในเดือนตุลาคม (จุดที่ 1)  $5.37$

ที่  $20.00\text{ m}$  มีค่าความเป็นกรด-ด่างเฉลี่ย  $6.37$  ซึ่งมีค่ามากที่สุดในเดือนพฤษภาคม (จุดที่ 1)  $8.29$  และมีค่าน้อยที่สุดในเดือนตุลาคม (จุดที่ 1)  $5.29$

ที่ 30.00 m มีค่าความเป็นกรด-ด่างเฉลี่ย 6.17 ซึ่งมีค่ามากที่สุดในเดือนกุมภาพันธ์ (จุดที่ 1) 7.68 และมีค่าน้อยที่สุดในเดือนตุลาคม (จุดที่ 1) 5.27

ที่ 40.00 m มีค่าความเป็นกรด-ด่างเฉลี่ย 5.61 ซึ่งมีค่ามากที่สุดในเดือนพฤษภาคม (จุดที่ 1) 5.46 และมีค่าน้อยที่สุดในเดือนกันยายน (จุดที่ 1) 5.22

ที่พื้นท้องน้ำ มีค่าความเป็นกรด-ด่างเฉลี่ย 6.41 ซึ่งมีค่ามากที่สุดในเดือนพฤษภาคม (จุดที่ 1) 8.35 และมีค่าน้อยที่สุดในเดือนกันยายน (จุดที่ 1) 5.16

ซึ่งจากการศึกษาพบว่าแต่ละระดับความลึกมีค่าความเป็นกรด-ด่างแตกต่างกัน ซึ่งเมื่อทำการวิเคราะห์ทางสถิติระหว่างค่าความเป็นกรด-ด่างในแต่ละระดับความลึก พบร่วมกับความแตกต่างอย่างมีนัยสำคัญยิ่งทางสถิติ ( $P<0.01$ ) (ตาราง 23) สามารถแบ่งค่าความเป็นกรด-ด่างที่แตกต่างออกได้ 3 กลุ่ม (ตาราง 9) ได้แก่ กลุ่มที่ 1 (0.30 m) มีค่าความเป็นกรด-ด่าง 7.22 กลุ่มที่ 2 (10.00 m และพื้นท้องน้ำ) มีค่าความเป็นกรด-ด่าง 6.41 – 6.50 และกลุ่มที่ 3 (20.00, 30.00 และ 40.00 m) มีค่าความเป็นกรด-ด่าง 5.61 – 6.37

ซึ่งจากการศึกษาพบว่า ค่าความเป็นกรด-ด่างมีค่าลดลงตามระดับความลึกที่เพิ่มขึ้นแต่อย่างไรก็ตามจากการพิจารณา ภาพ 19 พบร่วม จุดที่ 1 ในเดือนพฤษภาคม การเปลี่ยนแปลงของค่าความเป็นกรด-ด่าง ในแต่ละระดับความลึกจะแตกต่างจากฤดูและเดือนอื่น คือ ค่าความเป็นกรด-ด่าง จะมีค่าเพิ่มขึ้นเมื่อระดับความลึกเพิ่มขึ้น

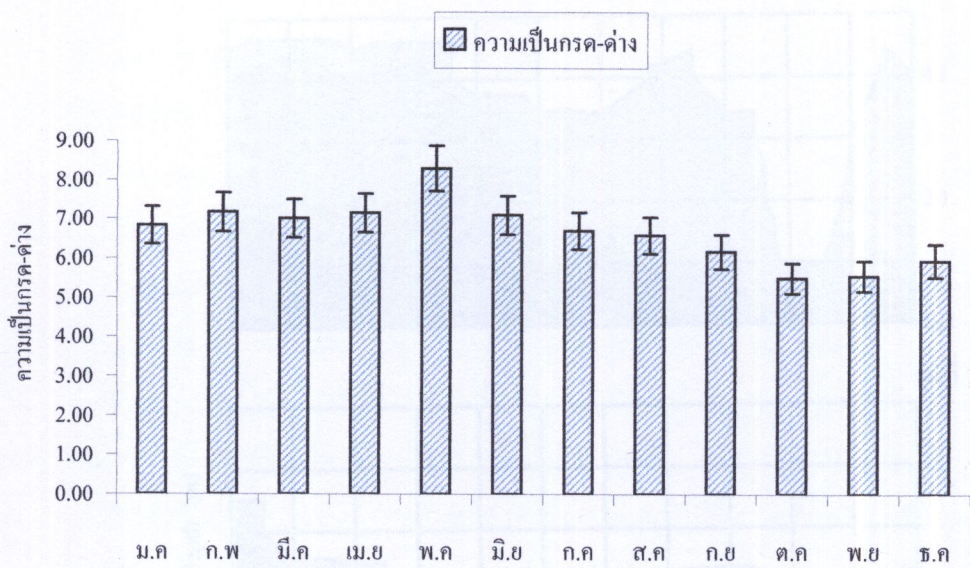
ผลการศึกษาค่าความเป็นกรด-ด่างในแต่ละฤดูกาลเก็บตัวอย่างตลอดการศึกษา พบร่วม ค่าความเป็นกรด-ด่างในแต่ละฤดูกาลเก็บตัวอย่างมีการเปลี่ยนแปลงในลักษณะที่แตกต่างกันเด่นอย่าง ซึ่งเมื่อทำการวิเคราะห์ทางสถิติพบว่าค่าความเป็นกรด-ด่างที่แตกต่างกันนั้น ไม่มีความแตกต่างอย่างมีนัยสำคัญทางสถิติ ( $P>0.05$ ) (ตาราง 23)

ส่วนผลการศึกษาค่าความเป็นกรด-ด่างในแต่ละเดือนตลอดการศึกษา พบร่วมกับความแตกต่างกันในแต่ละเดือน ซึ่งเมื่อทำการวิเคราะห์ทางสถิติ พบร่วมกับความแตกต่างอย่างมีนัยสำคัญยิ่งทางสถิติ ( $P<0.01$ ) (ตาราง 23) โดยสามารถแบ่งค่าความเป็นกรด-ด่างที่แตกต่างออกได้ 8 กลุ่ม (ตาราง 11) ได้แก่ กลุ่มที่ 1 (เดือนพฤษภาคม) มีค่าความเป็นกรด-ด่าง 8.30 กลุ่มที่ 2 (เดือนกุมภาพันธ์ เมษายน และ มิถุนายน) มีค่าความเป็นกรด-ด่าง 7.10 – 7.17 กลุ่มที่ 3 (เดือนมีนาคม และ มิถุนายน) มีค่าความเป็นกรด-ด่าง 7.01 – 7.10 กลุ่มที่ 4 (เดือนมกราคม) มีค่าความเป็นกรด-ด่าง 6.83 กลุ่มที่ 5 (เดือนกรกฎาคม และ สิงหาคม) มีค่าความเป็นกรด-ด่าง 6.59 – 6.70 กลุ่มที่ 6 (เดือนกันยายน) มีค่าความเป็นกรด-ด่าง 6.18 กลุ่มที่ 7 (เดือนธันวาคม) มีค่าความเป็นกรด-ด่าง 5.96 และกลุ่มที่ 8 (เดือนตุลาคม และ พฤศจิกายน) มีค่าความเป็นกรด-ด่าง 5.51 – 5.57

ตาราง 10 การเปรียบเทียบค่าเฉลี่ยคุณภาพน้ำทางเคมีแต่ละชุดเก็บตัวอย่าง

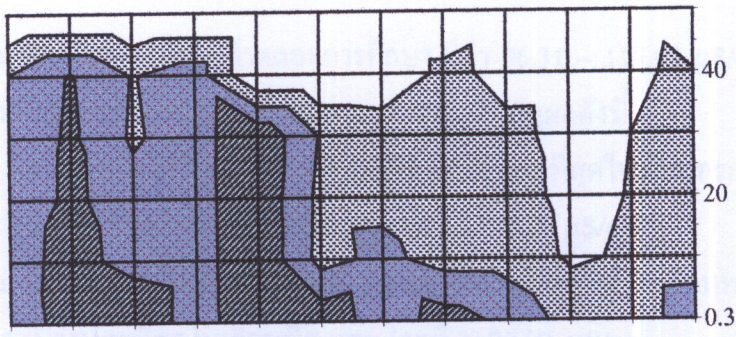
ปัจจัย	ชุดเก็บตัวอย่าง		
	ชุดที่ 1	ชุดที่ 2	ชุดที่ 3
pH	6.54 <sup>a</sup>	6.70 <sup>a</sup>	6.60 <sup>a</sup>
Conductivity (us/cm)	103.30 <sup>a</sup>	95.53 <sup>a</sup>	96.71 <sup>a</sup>
DO (mg/L)	2.02 <sup>c</sup>	3.58 <sup>a</sup>	2.77 <sup>b</sup>
NH <sub>3</sub> -N (mg/L)	0.0485 <sup>a</sup>	0.0363 <sup>a</sup>	0.0412 <sup>a</sup>
NO <sub>2</sub> -N (mg/L)	0.0046 <sup>a</sup>	0.0040 <sup>a</sup>	0.0045 <sup>a</sup>
NO <sub>3</sub> -N (mg/L)	0.0257 <sup>a</sup>	0.0224 <sup>a</sup>	0.0189 <sup>a</sup>
TKN (mg/L)	0.1321 <sup>a</sup>	0.0881 <sup>b</sup>	0.0808 <sup>c</sup>
Total - N (mg/L)	0.1623 <sup>a</sup>	0.1145 <sup>b</sup>	0.1042 <sup>c</sup>
PO <sub>4</sub> -P (ug/L)	3.01 <sup>a</sup>	1.83 <sup>a</sup>	2.79 <sup>a</sup>
Total - P (ug/L)	9.33 <sup>a</sup>	7.96 <sup>a</sup>	8.50 <sup>a</sup>
Total N:Total P	21.44 <sup>a</sup>	18.47 <sup>a</sup>	14.58 <sup>a</sup>

หมายเหตุ อักษรที่เหมือนกันในแนวนอนแสดงว่าไม่มีความแตกต่างกันอย่างมีนัยสำคัญทางสถิติที่ระดับความเชื่อมั่น 95% โดยวิธี Duncan Multiple Range Test (DMRT)

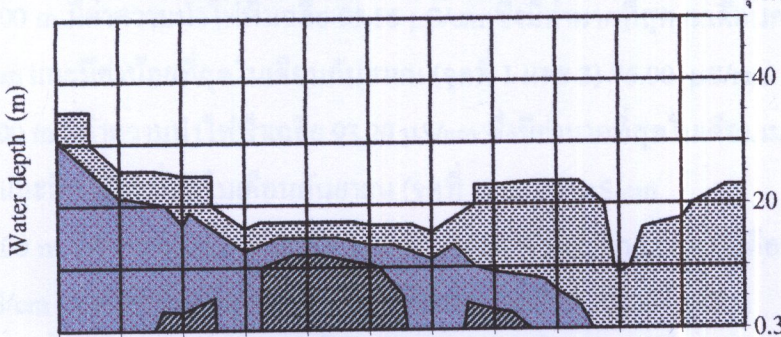


ภาพ 18 ค่าเฉลี่ยของความเป็นกรด-ค้าง ในแต่ละเดือน

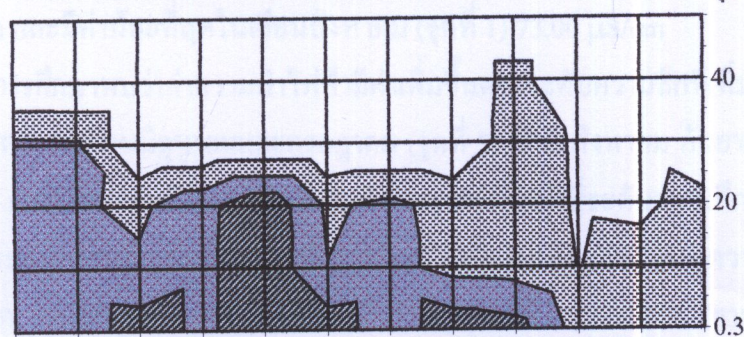
จุดที่ 1



จุดที่ 2



จุดที่ 3



ม.ค ก.พ. มี.ค เม.ย พ.ค. มิ.ย ก.ค ส.ค ก.ย ต.ค พ.ย ธ.ค

□ 15-36 ■ 26-37 ■ 37-38 ■ 38-39

ภาพ 19 ความเป็นกรด-ด่างในต่างระดับความลึก

## ความนำไฟฟ้า (Conductivity)

ผลการศึกษาพบว่าความนำไฟฟ้าลดลงตามรากศักดิ์สูตร มีค่า  $86.31 - 115.00 \mu\text{S}/\text{cm}$  ซึ่งค่าความนำไฟฟ้าในแต่ละระดับความลึก (ตาราง 16 และภาพ 20, 21) ปรากฏผลดังนี้

ที่  $0.30 \text{ m}$  มีค่าความนำไฟฟ้าเฉลี่ย  $97.97 \mu\text{S}/\text{cm}$  ซึ่งมีค่ามากที่สุดในเดือนกรกฎาคม (ฤดูที่ 3)  $113.00 \mu\text{S}/\text{cm}$  และมีค่าน้อยที่สุดในเดือนพฤษจิกายน (ฤดูที่ 1)  $79.00 \mu\text{S}/\text{cm}$

ที่  $10.00 \text{ m}$  มีค่าความนำไฟฟ้าเฉลี่ย  $95.69 \mu\text{S}/\text{cm}$  ซึ่งมีค่ามากที่สุดในเดือนพฤษจิกายน (ฤดูที่ 3)  $121.00 \mu\text{S}/\text{cm}$  และมีค่าน้อยที่สุดในเดือนสิงหาคม (ฤดูที่ 3)  $79.00 \mu\text{S}/\text{cm}$

ที่  $20.00 \text{ m}$  มีค่าความนำไฟฟ้าเฉลี่ย  $95.56 \mu\text{S}/\text{cm}$  ซึ่งมีค่ามากที่สุดในเดือนกรกฎาคม (ฤดูที่ 1)  $125.00 \mu\text{S}/\text{cm}$  และมีค่าน้อยที่สุดในเดือนกันยายน (ฤดูที่ 1 และ 3)  $76.00 \mu\text{S}/\text{cm}$

ที่  $30.00 \text{ m}$  มีค่าความนำไฟฟ้าเฉลี่ย  $93.20 \mu\text{S}/\text{cm}$  ซึ่งมีค่ามากที่สุดในเดือนเมษายน (ฤดูที่ 1)  $142.00 \mu\text{S}/\text{cm}$  และมีค่าน้อยที่สุดในเดือนกันยายน (ฤดูที่ 1)  $62.00 \mu\text{S}/\text{cm}$

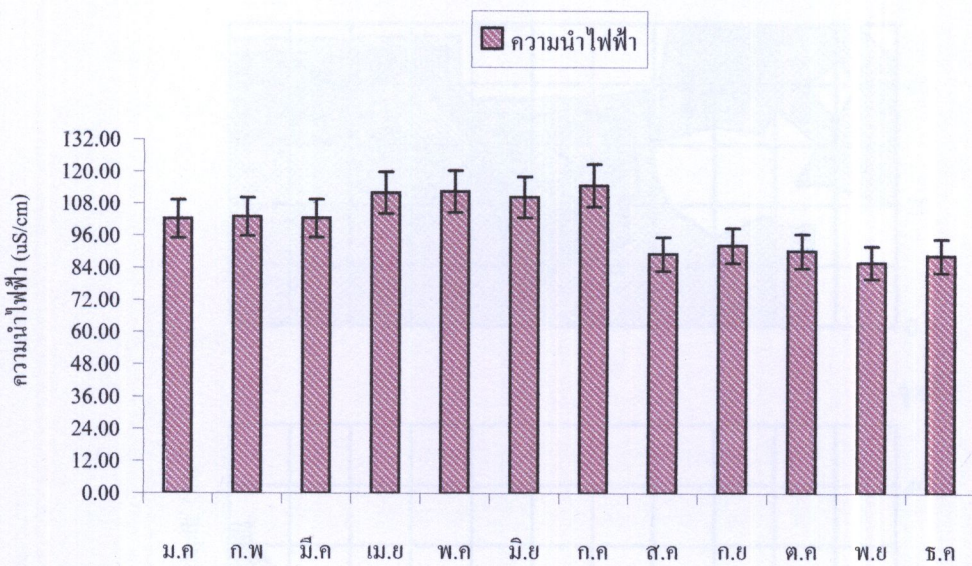
ที่  $40.00 \text{ m}$  มีค่าความนำไฟฟ้าเฉลี่ย  $112.00 \mu\text{S}/\text{cm}$  ซึ่งมีค่ามากที่สุดในเดือนกันยายน (ฤดูที่ 1)  $131.00 \mu\text{S}/\text{cm}$  และมีค่าน้อยที่สุดในเดือนพฤษจิกายน (ฤดูที่ 1)  $82.00 \mu\text{S}/\text{cm}$

ที่พื้นท้องน้ำ มีค่าความนำไฟฟ้าเฉลี่ย  $106.34 \mu\text{S}/\text{cm}$  ซึ่งมีค่ามากที่สุดในเดือนเมษายน (ฤดูที่ 1)  $159.00 \mu\text{S}/\text{cm}$  และมีค่าน้อยที่สุดในเดือนสิงหาคม (ฤดูที่ 1)  $73.00 \mu\text{S}/\text{cm}$

ซึ่งจากการศึกษาพบว่าค่าความนำไฟฟ้ามีค่าเพิ่มขึ้นตามระดับความลึกที่เพิ่มขึ้น แต่ยกเว้น ในเดือนเมษายน (ฤดูที่ 2) เดือนมิถุนายนและกรกฎาคม (ฤดูที่ 3) เดือนสิงหาคม กันยายนและตุลาคม (ฤดูที่ 1, 2 และ 3) และเดือนพฤษจิกายน (ฤดูที่ 2) ที่ค่าความนำไฟฟ้าที่ระดับความลึกผิวน้ำมีค่ามาก แล้วมีค่าลดลงเมื่อระดับความลึกเพิ่มขึ้น เมื่อทำการวิเคราะห์ทางสถิติระหว่างค่าความนำไฟฟ้าในแต่ละระดับความลึก พบว่ามีความแตกต่างอย่างมีนัยสำคัญทางสถิติ ( $P<0.05$ ) (ตาราง 24) โดยสามารถแบ่งค่าความนำไฟฟ้าที่แตกต่างออกได้ 2 กลุ่ม (ตาราง 9) ได้แก่ กลุ่มที่ 1 ( $40.00 \text{ m}$ ) มีค่าความนำไฟฟ้า  $112.00 \mu\text{S}/\text{cm}$  และกลุ่มที่ 2 ( $0.30, 10.00, 20.00, 30.00$  และพื้นท้องน้ำ) มีค่าความนำไฟฟ้า  $93.20 - 106.34 \mu\text{S}/\text{cm}$

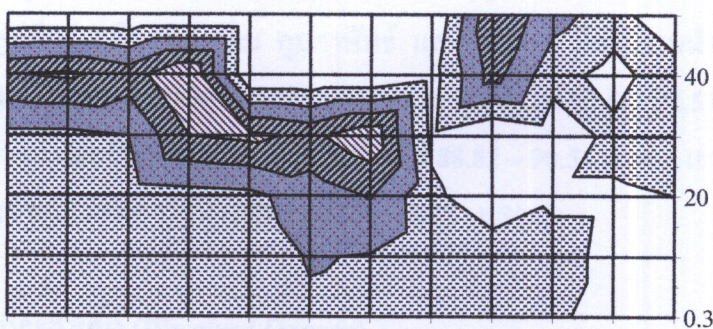
ผลการศึกษาค่าความนำไฟฟ้าในแต่ละฤดูกาลเก็บตัวอย่างทดลองการศึกษา พบว่า มีค่าแตกต่าง กันบ้างแต่อย่างไรก็ตามเมื่อทำการวิเคราะห์ทางสถิติระหว่างค่าความนำไฟฟ้าในแต่ละฤดูกาลเก็บตัวอย่าง พบว่าไม่มีความแตกต่างอย่างมีนัยสำคัญทางสถิติ ( $P>0.05$ ) (ตาราง 24)

ส่วนผลการศึกษาค่าความนำไฟฟ้าในแต่ละเดือนทดลองการศึกษา พบว่าในแต่ละเดือนมีความแตกต่างของค่าความนำไฟฟ้า ซึ่งเมื่อทำการวิเคราะห์ทางสถิติ พบว่ามีความแตกต่างอย่างมีนัยสำคัญทางสถิติ ( $P<0.05$ ) (ตาราง 24) โดยสามารถแบ่งค่าความนำไฟฟ้าที่แตกต่างออกได้ 6 กลุ่ม

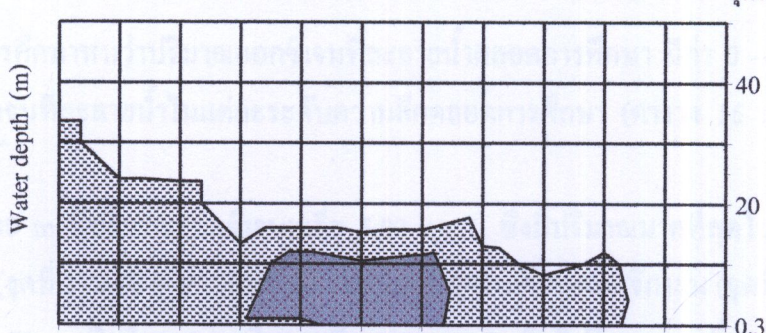


ภาพ 20 ค่าเฉลี่ยของความนำไฟฟ้าของน้ำ (uS/cm) ในแต่ละเดือน

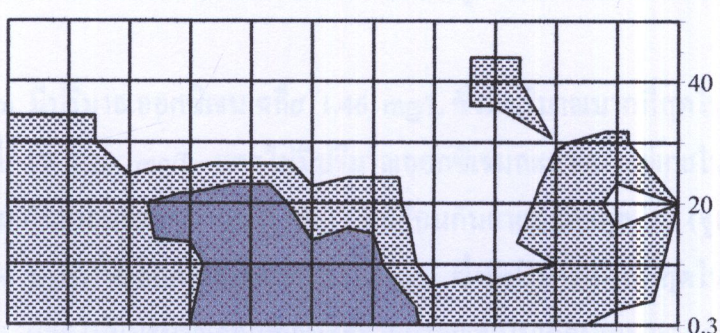
จุดที่ 1



จุดที่ 2



จุดที่ 3



น.ค ก.พ มี.ค เม.ย พ.ค มิ.ย ก.ค ส.ค ก.ย ต.ค พ.ย ธ.ค

□ 70-1.88 ■ 88-1.106 ▨ 106-1.124 ▨ 124-1.142 ▨ 142-1.160

ภาพ 21 ความนำไฟฟ้า ( $\mu\text{S}/\text{cm}$ ) ในต่างระดับความลึก

(ตาราง 11) ได้แก่ กลุ่มที่ 1 (เดือนเมษายน พฤյกายน และกรกฎาคม) มีค่าความนำไฟฟ้า  $112.10 - 115.00 \mu\text{S}/\text{cm}$  กลุ่มที่ 2 (เดือนเมษายน พฤյกายน และมิถุนายน) มีค่าความนำไฟฟ้า  $110.56 - 112.67 \mu\text{S}/\text{cm}$  กลุ่มที่ 3 (เดือนมกราคม กุมภาพันธ์ และมีนาคม) มีค่าความนำไฟฟ้า  $102.15 - 103.00 \mu\text{S}/\text{cm}$  กลุ่มที่ 4 (เดือนกันยายนและตุลาคม) มีค่าความนำไฟ  $90.54 - 92.57 \mu\text{S}/\text{cm}$  กลุ่มที่ 5 (เดือนสิงหาคม ตุลาคม และธันวาคม) มีค่าความนำไฟฟ้า  $88.82 - 90.54 \mu\text{S}/\text{cm}$  และกลุ่มที่ 6 (เดือนพฤษจิกายนและธันวาคม) มีค่าความนำไฟฟ้า  $86.31 - 88.82 \mu\text{S}/\text{cm}$

### ออกซิเจนที่ละลายน้ำ (Dissolved Oxygen)

ผลการศึกษาพบว่าปริมาณออกซิเจนที่ละลายน้ำต่ำลดการศึกษา มีค่า  $0 - 5.83 \text{ mg/L}$  ซึ่งปริมาณออกซิเจนที่ละลายน้ำในแต่ละระดับความลึกลดการศึกษา (ตาราง 16 และภาพ 22, 23) ปรากฏผลดังนี้

ที่  $0.30 \text{ m}$  มีปริมาณออกซิเจนเฉลี่ย  $5.83 \text{ mg/L}$  ซึ่งมีปริมาณมากที่สุดในเดือนพฤษจิกายน และสิงหาคม (ฤดูที่ 3)  $8.00 \text{ mg/L}$  และมีปริมาณน้อยที่สุดในเดือนพฤษจิกายน (ฤดูที่ 1)  $1.60 \text{ mg/L}$

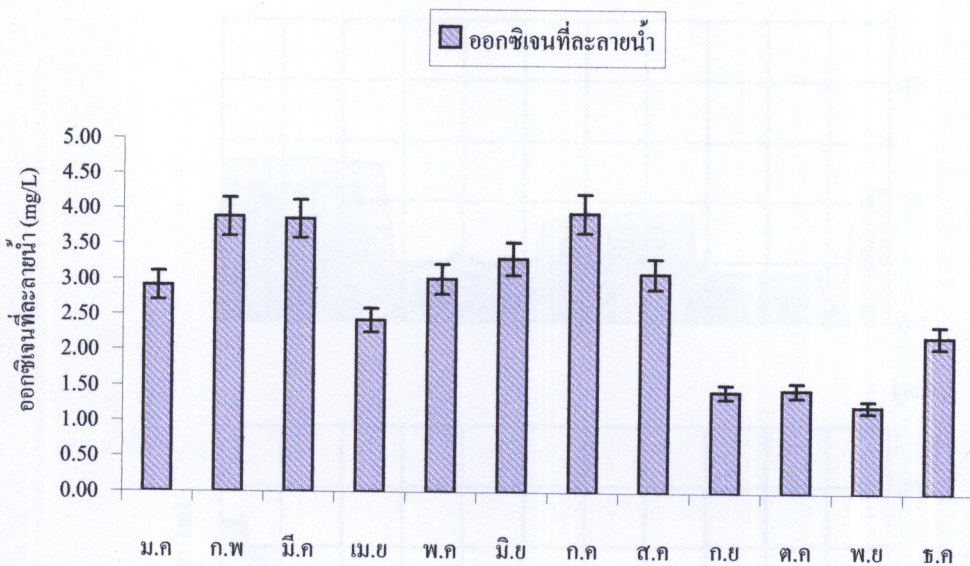
ที่  $10.00 \text{ m}$  มีปริมาณออกซิเจนเฉลี่ย  $2.37 \text{ mg/L}$  ซึ่งมีปริมาณมากที่สุดในเดือนสิงหาคม (ฤดูที่ 1)  $6.80 \text{ mg/L}$  และไม่มีปริมาณออกซิเจนละลายน้ำอยู่เลยในเดือนกันยายนและตุลาคม (ฤดูที่ 2)  $0 \text{ mg/L}$

ที่  $20.00 \text{ m}$  มีปริมาณออกซิเจนเฉลี่ย  $1.46 \text{ mg/L}$  ซึ่งมีปริมาณมากที่สุดในเดือนกุมภาพันธ์ และมีนาคม (ฤดูที่ 1)  $4.20 \text{ mg/L}$  และไม่มีปริมาณออกซิเจนละลายน้ำอยู่เลยในเดือนพฤษจิกายน มิถุนายน กรกฎาคม กันยายนและตุลาคม (ฤดูที่ 1) ในเดือนกันยายนและตุลาคม (ฤดูที่ 3)  $0 \text{ mg/L}$

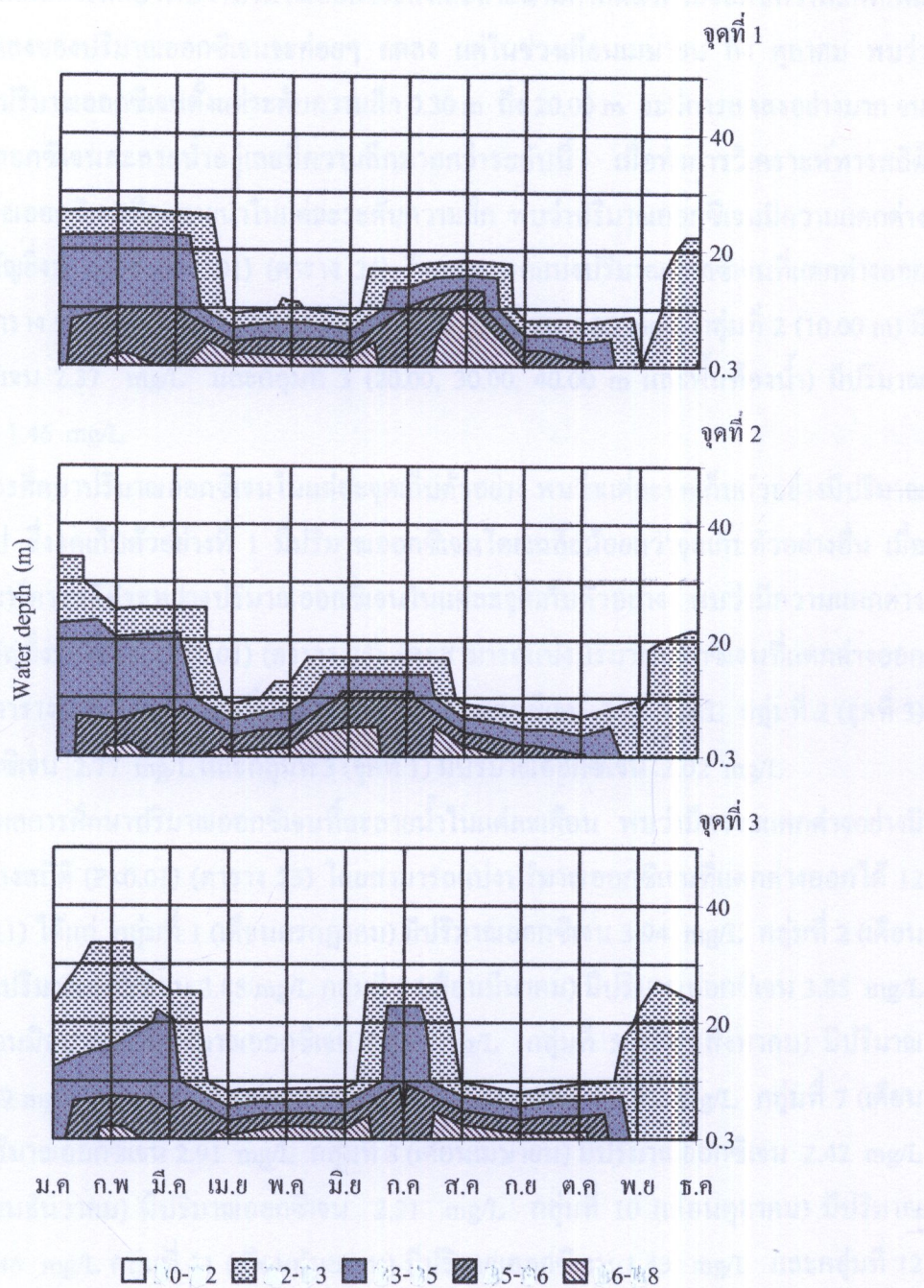
ที่  $30.00 \text{ m}$  มีปริมาณออกซิเจนเฉลี่ย  $0.11 \text{ mg/L}$  ซึ่งมีปริมาณมากที่สุดในเดือนกุมภาพันธ์ (ฤดูที่ 1)  $0.50 \text{ mg/L}$  และไม่มีปริมาณออกซิเจนละลายน้ำอยู่เลยในเดือนเมษายน สิงหาคม กันยายน ตุลาคม พฤษจิกายนและธันวาคม (ฤดูที่ 1) และในเดือนกันยายน (ฤดูที่ 3)  $0 \text{ mg/L}$

ที่  $40.00 \text{ m}$  มีปริมาณออกซิเจนเฉลี่ย  $0 \text{ mg/L}$  เพราะลดระยะเวลาที่ทำการศึกษาไม่มีปริมาณออกซิเจนละลายน้ำอยู่ที่ระดับความลึกนี้

ที่พื้นท้องน้ำ มีปริมาณออกซิเจนเฉลี่ย  $1.24 \text{ mg/L}$  ซึ่งมีปริมาณมากที่สุดในเดือนมิถุนายน (ฤดูที่ 2)  $5.40 \text{ mg/L}$  และไม่มีปริมาณออกซิเจนละลายน้ำอยู่เลยในเดือนมกราคม กุมภาพันธ์ มีนาคม เมษายน พฤษจิกายน มิถุนายน กรกฎาคม สิงหาคม กันยายน ตุลาคม พฤษจิกายนและธันวาคม (ฤดูที่ 1) ในเดือนสิงหาคม กันยายนและตุลาคม (ฤดูที่ 2) และในเดือนเมษายน สิงหาคม กันยายนและตุลาคม (ฤดูที่ 2)  $0 \text{ mg/L}$



ภาพ 22 ค่าเฉลี่ยของปริมาณออกซิเจนที่ละลายน้ำ (mg/L) ในแต่ละเดือน



ภาพ 23 ปริมาณออกซิเจนที่ละลายน้ำ (mg/L) ในต่างระดับความลึก

ซึ่งจากผลการศึกษาพบว่าปริมาณออกซิเจนที่ละลายน้ำมีค่าลดลงตามระดับความลึกที่เพิ่มขึ้น โดยการลดลงของปริมาณออกซิเจนจะค่อยๆ ลดลง แต่ในช่วงเดือนเมษายน ถึง ตุลาคม พบร้า ความต่างของปริมาณออกซิเจนตั้งแต่ระดับความลึก 0.30 m ถึง 20.00 m จะมีการลดลงอย่างมาก จนไม่มีปริมาณออกซิเจนละลายน้ำอยู่เลยที่ความลึกมากกว่าระดับนี้ เมื่อทำการวิเคราะห์ทางสถิติ ระหว่างปริมาณออกซิเจนที่ละลายน้ำในแต่ละระดับความลึก พบร้าว่าปริมาณออกซิเจนมีความแตกต่างอย่างมีนัยสำคัญยิ่งทางสถิติ ( $P<0.01$ ) (ตาราง 25) โดยสามารถแบ่งปริมาณออกซิเจนที่แตกต่างออกได้ 3 กลุ่ม (ตาราง 9) ได้แก่ กลุ่มที่ 1 (0.30 m) มีปริมาณออกซิเจน 5.83 mg/L กลุ่มที่ 2 (10.00 m) มีปริมาณออกซิเจน 2.37 mg/L และกลุ่มที่ 3 (20.00, 30.00, 40.00 m และพื้นท้องน้ำ) มีปริมาณออกซิเจน 0 - 1.46 mg/L

ผลการศึกษาปริมาณออกซิเจนในแต่ละจุดเก็บตัวอย่าง พบร้าแต่ละจุดเก็บตัวอย่างมีปริมาณแตกต่างกันไป ซึ่งจุดเก็บตัวอย่างที่ 1 มีปริมาณออกซิเจนโดยเฉลี่ยน้อยกว่าจุดเก็บตัวอย่างอื่น เมื่อทำการวิเคราะห์ทางสถิติระหว่างปริมาณออกซิเจนในแต่ละจุดเก็บตัวอย่าง พบร้าว่ามีความแตกต่างอย่างมีนัยสำคัญยิ่งทางสถิติ ( $P<0.01$ ) (ตาราง 25) โดยสามารถแบ่งปริมาณออกซิเจนที่แตกต่างออกได้ 3 กลุ่ม (ตาราง 10) ได้แก่ กลุ่มที่ 1(จุดที่ 2) มีปริมาณออกซิเจน 3.58 mg/L กลุ่มที่ 2 (จุดที่ 3) มีปริมาณออกซิเจน 2.77 mg/L และกลุ่มที่ 3 (จุดที่ 1) มีปริมาณออกซิเจน 2.02 mg/L

ส่วนผลการศึกษาปริมาณออกซิเจนที่ละลายน้ำในแต่ละเดือน พบร้าว่ามีความแตกต่างอย่างมีนัยสำคัญยิ่งทางสถิติ ( $P<0.01$ ) (ตาราง 25) โดยสามารถแบ่งปริมาณออกซิเจนที่แตกต่างออกได้ 12 กลุ่ม (ตาราง 11) ได้แก่ กลุ่มที่ 1 (เดือนกรกฎาคม) มีปริมาณออกซิเจน 3.94 mg/L กลุ่มที่ 2 (เดือนกุมภาพันธ์) มีปริมาณออกซิเจน 3.88 mg/L กลุ่มที่ 3 (เดือนมีนาคม) มีปริมาณออกซิเจน 3.85 mg/L กลุ่มที่ 4 (เดือนมิถุนายน) มีปริมาณออกซิเจน 3.30 mg/L กลุ่มที่ 5 (เดือนสิงหาคม) มีปริมาณออกซิเจน 3.09 mg/L กลุ่มที่ 6 (เดือนพฤษภาคม) มีปริมาณออกซิเจน 3.01 mg/L กลุ่มที่ 7 (เดือนกรกฎาคม) มีปริมาณออกซิเจน 2.91 mg/L กลุ่มที่ 8 (เดือนเมษายน) มีปริมาณออกซิเจน 2.42 mg/L กลุ่มที่ 9 (เดือนธันวาคม) มีปริมาณออกซิเจน 2.21 mg/L กลุ่มที่ 10 (เดือนตุลาคม) มีปริมาณออกซิเจน 1.46 mg/L กลุ่มที่ 11 (เดือนกันยายน) มีปริมาณออกซิเจน 1.43 mg/L และกลุ่มที่ 12 (เดือนพฤศจิกายน) มีปริมาณออกซิเจน 1.23 mg/L

## แอมโมเนียม ในไนโตรเจน (Ammonia Nitrogen)

ผลการศึกษาพบว่าปริมาณแอมโมเนียมในไนโตรเจนลดลงตามรากศักดิ์สิทธิ์ 0.0115 – 0.0902 mg/L ซึ่งปริมาณแอมโมเนียมในไนโตรเจนในแต่ละระดับความลึกลดลงตามรากศักดิ์สิทธิ์ (ตาราง 16 และภาพ 24, 25) ปรากฏผลดังนี้

ที่ 0.30 m มีปริมาณแอมโมเนียมในไนโตรเจนเฉลี่ย 0.0339 mg/L ซึ่งมีปริมาณมากที่สุดในเดือนพฤษภาคม (จุดที่ 2) 0.1154 mg/L และมีปริมาณน้อยที่สุดในเดือนมีนาคม (จุดที่ 3) 0.0016 mg/L

ที่ 10.00 m มีปริมาณแอมโมเนียมในไนโตรเจนเฉลี่ย 0.0380 mg/L ซึ่งมีปริมาณมากที่สุดในเดือนตุลาคม (จุดที่ 3) 0.1482 mg/L และมีปริมาณน้อยที่สุดในเดือนพฤษภาคม (จุดที่ 3) 0.0029 mg/L

ที่ 20.00 m มีปริมาณแอมโมเนียมในไนโตรเจนเฉลี่ย 0.0365 mg/L ซึ่งมีปริมาณมากที่สุดในเดือนตุลาคม (จุดที่ 1) 0.0719 mg/L และมีปริมาณน้อยที่สุดในเดือนเมษายน (จุดที่ 1) 0.0087 mg/L

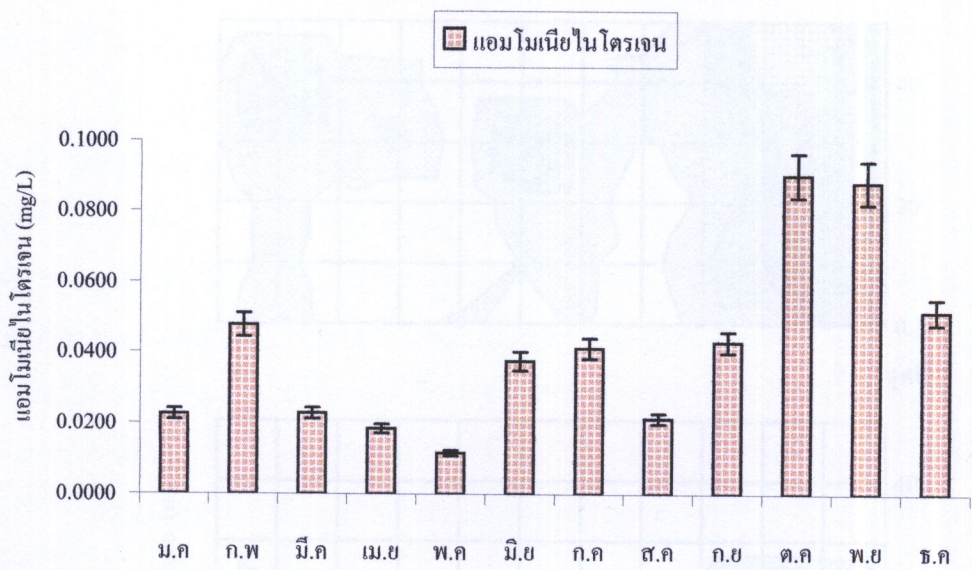
ที่ 30.00 m มีปริมาณแอมโมเนียมในไนโตรเจนเฉลี่ย 0.0554 mg/L ซึ่งมีปริมาณมากที่สุดในเดือนพฤษภาคม (จุดที่ 1) 0.1121 mg/L และมีปริมาณน้อยที่สุดในเดือนสิงหาคม (จุดที่ 1) 0.0272 mg/L

ที่ 40.00 m มีปริมาณแอมโมเนียมในไนโตรเจนเฉลี่ย 0.0844 mg/L ซึ่งมีปริมาณมากที่สุดในเดือนตุลาคม (จุดที่ 1) 0.1298 mg/L และมีปริมาณน้อยที่สุดในเดือนกันยายน (จุดที่ 1) 0.0468 mg/L

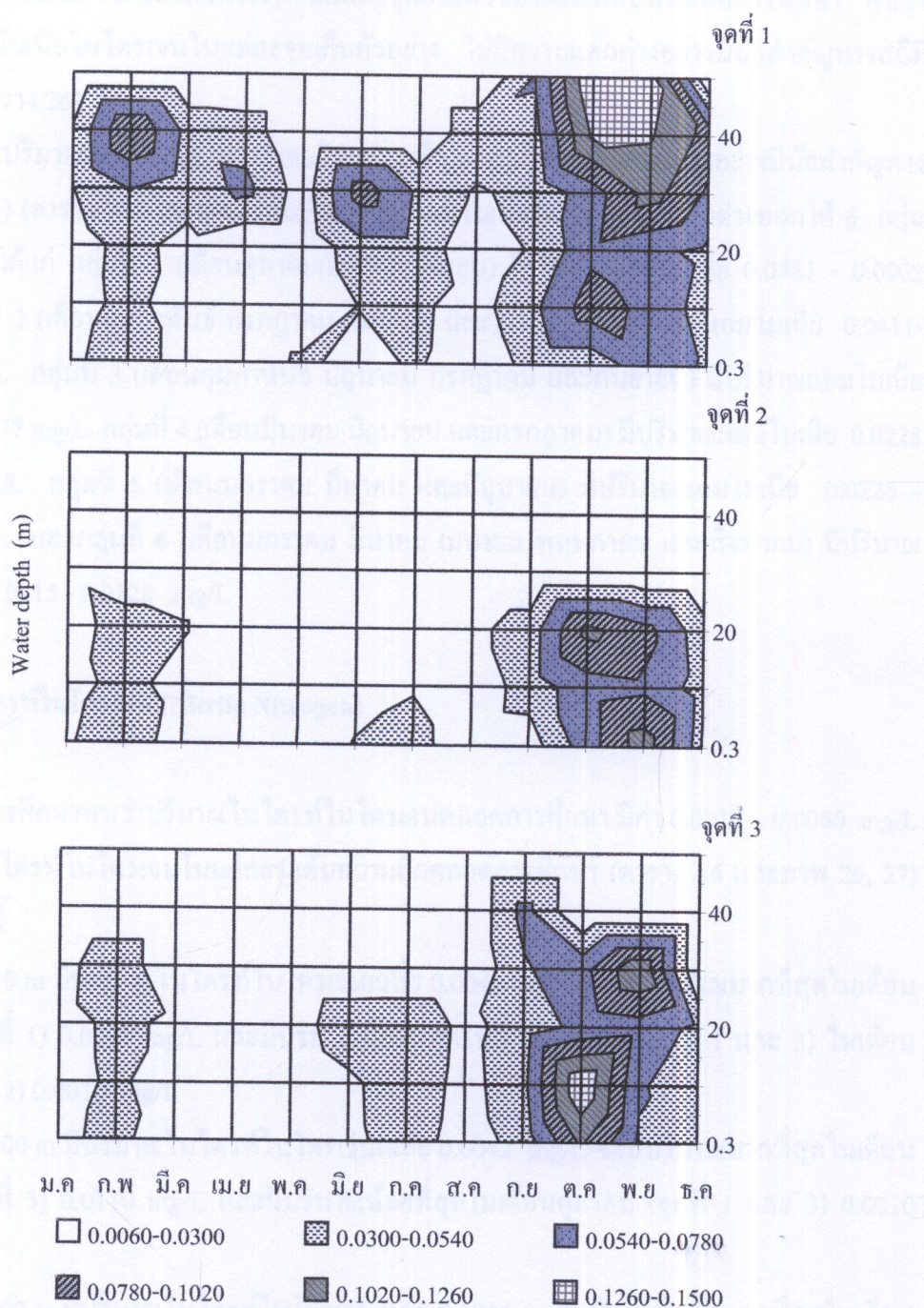
ที่พื้นท้องน้ำ มีปริมาณแอมโมเนียมในไนโตรเจนเฉลี่ย 0.0527 mg/L ซึ่งมีปริมาณมากที่สุดในเดือนตุลาคม (จุดที่ 1) 0.1504 mg/L และมีปริมาณน้อยที่สุดในเดือนเมษายน (จุดที่ 2) 0.0061 mg/L

ซึ่งจากการศึกษาพบว่าปริมาณแอมโมเนียมในไนโตรเจนมีค่าเพิ่มขึ้นตามระดับความลึกที่เพิ่มขึ้น แต่อย่างไรก็ตามมีบางระดับความลึกที่การเปลี่ยนแปลงของปริมาณแอมโมเนียมในไนโตรเจนแตกต่างออกไป คือ เมื่อระดับความลึกเพิ่มขึ้น แต่ปริมาณแอมโมเนียมในไนโตรเจนมีค่าลดลง เช่น จุดที่ 1 ที่พื้นท้องน้ำ เดือนเมษายน ที่ 20 และ 30 m เดือนตุลาคม และที่ 20 m เดือนพฤษภาคม เป็นต้น

เมื่อทำการวิเคราะห์ทางสถิติระหว่างปริมาณแอมโมเนียมในไนโตรเจนในแต่ละระดับความลึกพบว่าปริมาณแอมโมเนียมในไนโตรเจนมีความแตกต่างอย่างมีนัยสำคัญทางสถิติ ( $P<0.05$ ) (ตาราง 26) โดยสามารถแบ่งปริมาณแอมโมเนียมในไนโตรเจนที่แตกต่างออกได้ 3 กลุ่ม (ตาราง 9) ได้แก่ กลุ่มที่ 1 (40.00 m) มีปริมาณแอมโมเนียมในไนโตรเจน 0.0844 mg/L กลุ่มที่ 2 (ที่พื้นท้องน้ำ) มีปริมาณแอมโมเนียมในไนโตรเจน 0.0527 mg/L และกลุ่มที่ 3 (0.30, 10.00, 20.00 และ 30.00 m) มีปริมาณแอมโมเนียมในไนโตรเจน 0.0339 – 0.0554 mg/L



ภาพ 24 ค่าเฉลี่ยของแอมโมเนียในไตรเจน (mg/L) ในแต่ละเดือน



ภาพ 25 ปริมาณแอมโมเนียมในไทรเรน (mg/L) ในต่างระดับความลึก

ปริมาณแอนโอมเนียในไตรเจนในแต่ละจุดเก็บตัวอย่างและเดือนตลอดการศึกษา พบร่วมกันปริมาณแอนโอมเนียในไตรเจนในแต่ละจุดเก็บตัวอย่าง ไม่มีความแตกต่างของมีนัยสำคัญทางสถิติ ( $P>0.05$ ) (ตาราง 26)

ส่วนปริมาณแอนโอมเนียในไตรเจนในแต่ละเดือน พบร่วมกับความแตกต่างของมีนัยสำคัญทางสถิติ ( $P<0.05$ ) (ตาราง 26) โดยสามารถแบ่งปริมาณแอนโอมเนียในไตรเจนที่แตกต่างออกได้ 6 กลุ่ม (ตาราง 11) ได้แก่ กลุ่มที่ 1 (เดือนตุลาคมและพฤษภาคม) มีปริมาณแอนโอมเนีย  $0.0881 - 0.0902 \text{ mg/L}$  กลุ่มที่ 2 (เดือนกุมภาพันธ์ กรกฎาคม กันยายน และธันวาคม) มีปริมาณแอนโอมเนีย  $0.0411 - 0.0515 \text{ mg/L}$  กลุ่มที่ 3 (เดือนกุมภาพันธ์ มิถุนายน กรกฎาคม และกันยายน) มีปริมาณแอนโอมเนีย  $0.0375 - 0.0477 \text{ mg/L}$  กลุ่มที่ 4 (เดือนมีนาคม มิถุนายน และกรกฎาคม) มีปริมาณแอนโอมเนีย  $0.0228 - 0.0411 \text{ mg/L}$  กลุ่มที่ 5 (เดือนมกราคม มีนาคม และมิถุนายน) มีปริมาณแอนโอมเนีย  $0.0226 - 0.0375 \text{ mg/L}$  และกลุ่มที่ 6 (เดือนมกราคม มีนาคม เมษายน พฤษภาคม และสิงหาคม) มีปริมาณแอนโอมเนีย  $0.0115 - 0.0228 \text{ mg/L}$

#### ไนโตรทีไนโตรเจน (Nitrite Nitrogen)

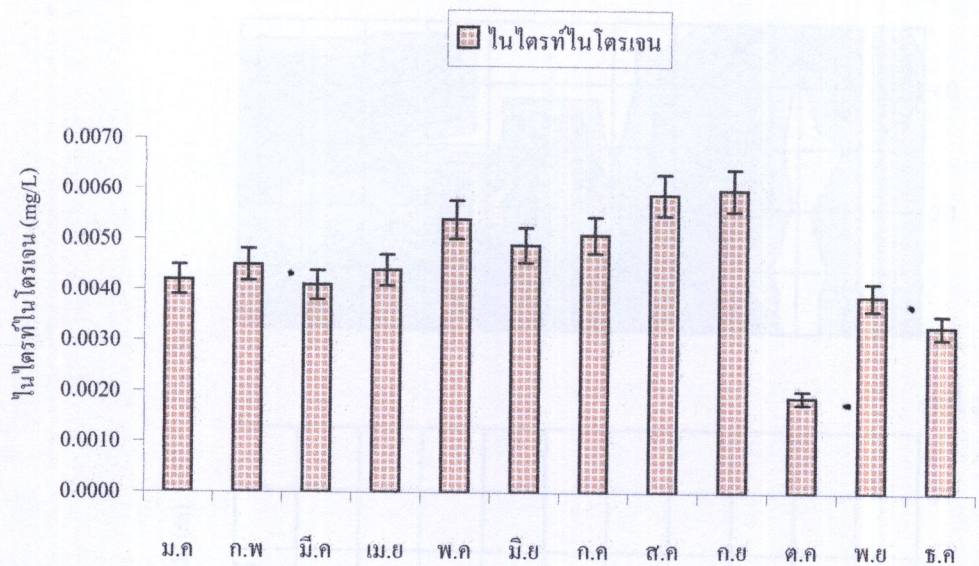
ผลการศึกษาพบว่าปริมาณไนโตรทีไนโตรเจนตลอดการศึกษา มีค่า  $0.0019 - 0.0060 \text{ mg/L}$  ซึ่งปริมาณไนโตรทีไนโตรเจนในแต่ละระดับความลึกตลอดการศึกษา (ตาราง 16 และภาพ 26, 27) ปรากฏผลดังนี้

ที่  $0.30 \text{ m}$  มีปริมาณไนโตรทีไนโตรเจนเฉลี่ย  $0.0043 \text{ mg/L}$  ซึ่งมีปริมาณมากที่สุดในเดือนสิงหาคม (จุดที่ 1)  $0.0090 \text{ mg/L}$  และมีปริมาณน้อยที่สุดในเดือนตุลาคม (จุดที่ 1 และ 3) ในเดือนมีนาคม (จุดที่ 2)  $0.0010 \text{ mg/L}$

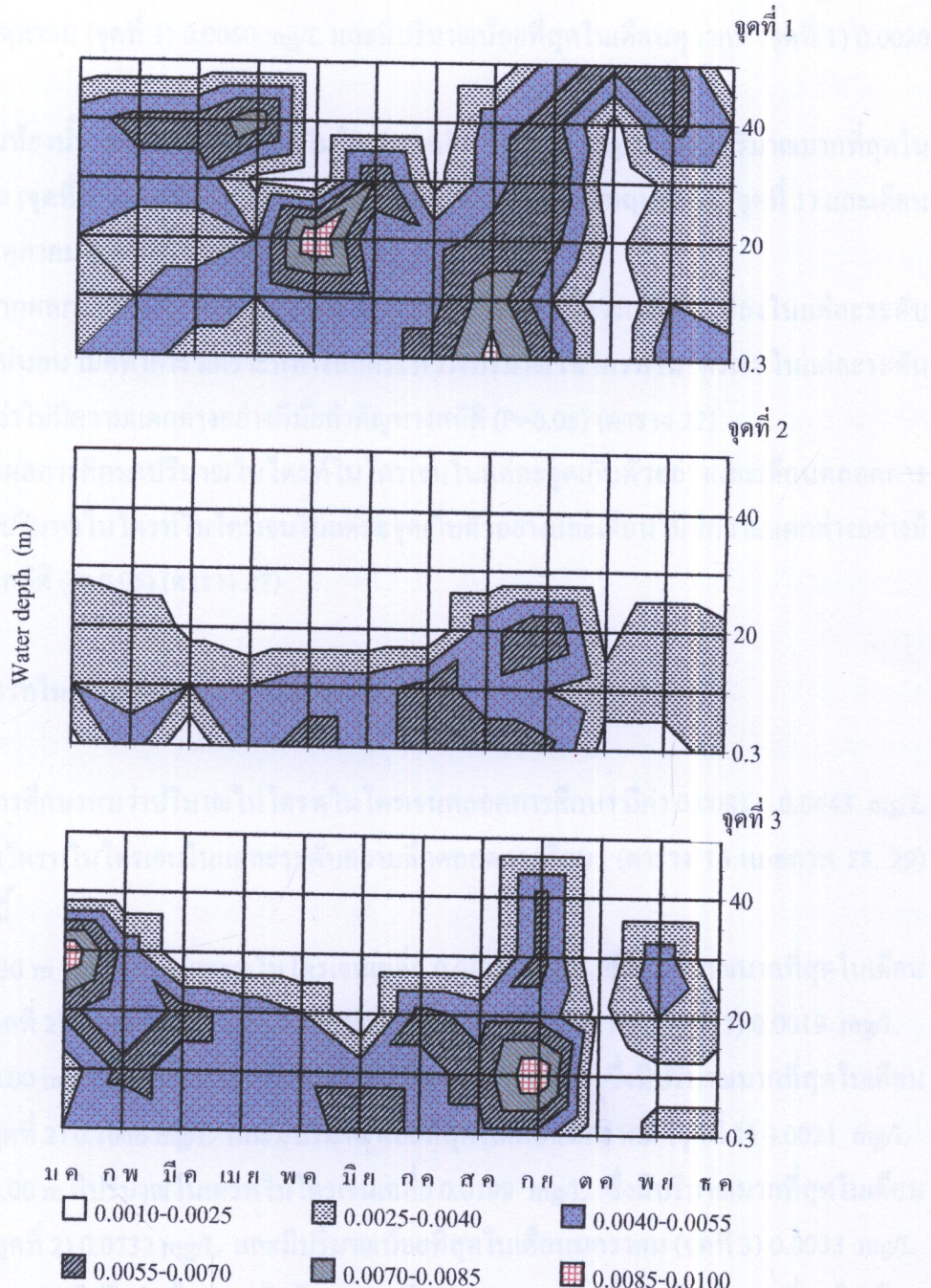
ที่  $10.00 \text{ m}$  มีปริมาณไนโตรทีไนโตรเจนเฉลี่ย  $0.0042 \text{ mg/L}$  ซึ่งมีปริมาณมากที่สุดในเดือนกันยายน (จุดที่ 3)  $0.0110 \text{ mg/L}$  และมีปริมาณน้อยที่สุดในเดือนตุลาคม (จุดที่ 1 และ 3)  $0.0010 \text{ mg/L}$

ที่  $20.00 \text{ m}$  มีปริมาณไนโตรทีไนโตรเจนเฉลี่ย  $0.0046 \text{ mg/L}$  ซึ่งมีปริมาณมากที่สุดในเดือนพฤษภาคม (จุดที่ 1)  $0.0150 \text{ mg/L}$  และมีปริมาณน้อยที่สุดในเดือนตุลาคม (จุดที่ 1 และ 3)  $0.0020 \text{ mg/L}$

ที่  $30.00 \text{ m}$  มีปริมาณไนโตรทีไนโตรเจนเฉลี่ย  $0.0041 \text{ mg/L}$  ซึ่งมีปริมาณมากที่สุดในเดือนกันยายน (จุดที่ 1)  $0.0070 \text{ mg/L}$  และมีปริมาณน้อยที่สุดในเดือนตุลาคม (จุดที่ 1)  $0.0010 \text{ mg/L}$



ภาพ 26 ค่าเฉลี่ยของไนโตรเจน (mg/L) ในแต่ละเดือน



ภาพ 27 ปริมาณไนโตรเจนในต่อเนื่อง (mg/L) ในต่างระดับความลึก

ที่ 40.00 m มีปริมาณในไตรท์ในไตรเจนเฉลี่ย 0.0047 mg/L ซึ่งมีปริมาณมากที่สุดในเดือนกันยายนและตุลาคม (จุดที่ 1) 0.0060 mg/L และมีปริมาณน้อยที่สุดในเดือนพฤษภาคม (จุดที่ 1) 0.0020 mg/L

ที่พื้นท้องน้ำ มีปริมาณในไตรท์ในไตรเจนเฉลี่ย 0.0046 mg/L ซึ่งมีปริมาณมากที่สุดในเดือนกรกฎาคม (จุดที่ 3) 0.0100 mg/L และมีปริมาณน้อยที่สุดในเดือนพฤษภาคม (จุดที่ 1) และเดือนมิถุนายนและตุลาคม (จุดที่ 3) 0.0010 mg/L

ซึ่งจากการศึกษา พบร่วมปริมาณในไตรท์ในไตรเจนมีการเปลี่ยนแปลงในแต่ละระดับความลึกไม่แน่นอน เมื่อทำการวิเคราะห์ทางสถิติระหว่างปริมาณในไตรท์ในไตรเจนในแต่ละระดับความลึก พบร่วมว่าไม่มีความแตกต่างอย่างมีนัยสำคัญทางสถิติ ( $P>0.05$ ) (ตาราง 27)

ส่วนผลการศึกษาปริมาณในไตรท์ในไตรเจนในแต่ละจุดเก็บตัวอย่างและเดือนตลอดการศึกษา พบร่วมปริมาณในไตรท์ในไตรเจนในแต่ละจุดเก็บตัวอย่างและเดือนไม่มีความแตกต่างอย่างมีนัยสำคัญทางสถิติ ( $P>0.05$ ) (ตาราง 27)

#### ไนเตรทในไตรเจน (Nitrate Nitrogen)

ผลการศึกษาพบว่าปริมาณในไตรท์ในไตรเจนตลอดการศึกษา มีค่า 0.0081 – 0.0643 mg/L ซึ่งปริมาณในไตรท์ในไตรเจนในแต่ละระดับความลึกตลอดการศึกษา (ตาราง 16 และภาพ 28, 29) ปรากฏผลดังนี้

ที่ 0.30 m มีปริมาณในไตรท์ในไตรเจนเฉลี่ย 0.0129 mg/L ซึ่งมีปริมาณมากที่สุดในเดือนกุมภาพันธ์ (จุดที่ 2) 0.0577 mg/L และมีปริมาณน้อยที่สุดในเดือนมีนาคม (จุดที่ 3) 0.0019 mg/L

ที่ 10.00 m มีปริมาณในไตรท์ในไตรเจนเฉลี่ย 0.0177 mg/L ซึ่งมีปริมาณมากที่สุดในเดือนกุมภาพันธ์ (จุดที่ 2) 0.1066 mg/L และมีปริมาณน้อยที่สุดในเดือนกรกฎาคม (จุดที่ 1) 0.0021 mg/L

ที่ 20.00 m มีปริมาณในไตรท์ในไตรเจนเฉลี่ย 0.0199 mg/L ซึ่งมีปริมาณมากที่สุดในเดือนกุมภาพันธ์ (จุดที่ 2) 0.0732 mg/L และมีปริมาณน้อยที่สุดในเดือนกรกฎาคม (จุดที่ 3) 0.0033 mg/L

ที่ 30.00 m มีปริมาณในไตรท์ในไตรเจนเฉลี่ย 0.0237 mg/L ซึ่งมีปริมาณมากที่สุดในเดือนกุมภาพันธ์ (จุดที่ 1) 0.0758 mg/L และมีปริมาณน้อยที่สุดในเดือนพฤษภาคม (จุดที่ 1) 0.0098 mg/L

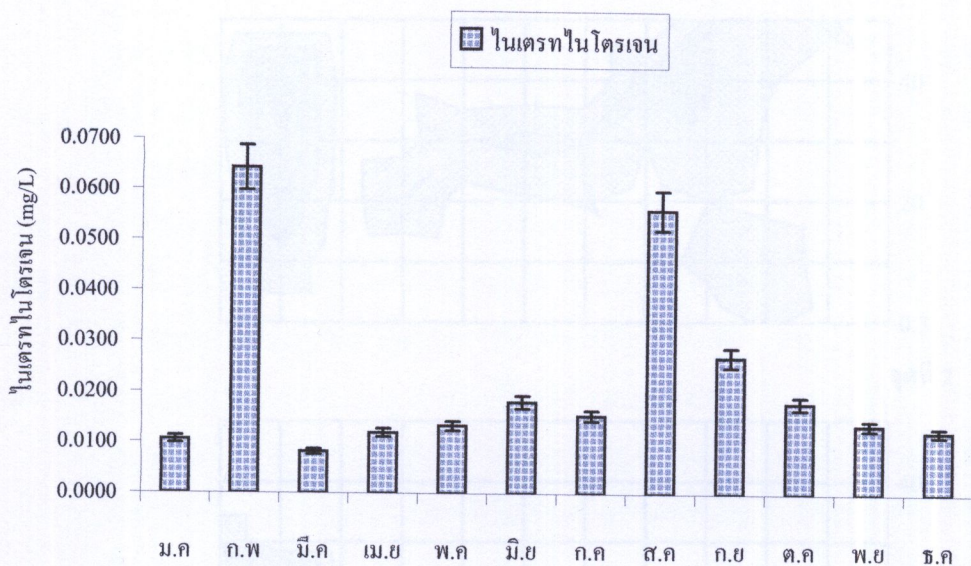
ที่ 40.00 m มีปริมาณในไตรท์ในไตรเจนเฉลี่ย 0.0226 mg/L ซึ่งมีปริมาณมากที่สุดในเดือนกันยายน (จุดที่ 1) 0.0376 mg/L และมีปริมาณน้อยที่สุดในเดือนพฤษภาคม (จุดที่ 1) 0.0134 mg/L

ที่พื้นท้องน้ำ มีปริมาณในไตรท์ในไตรเจนเฉลี่ย 0.0389 mg/L ซึ่งมีปริมาณมากที่สุดในเดือนตุลาคม (จุดที่ 1) 0.4261 mg/L และมีปริมาณน้อยที่สุดในเดือนกรกฎาคม (จุดที่ 2) 0.0079 mg/L

ซึ่งจากการศึกษาพบว่าปริมาณในต่อเรห์ในไตรเงนมีค่าเพิ่มขึ้นตามระดับความลึกที่เพิ่มขึ้น แต่อย่างไรก็ตาม พบร่วมที่ 20.00 m เดือนกันยายน และตุลาคม ที่ 30.00 m เดือนเมษายน (จุดที่ 1) ที่ 10.00 m เดือนมีนาคม และสิงหาคม (จุดที่ 2) การเปลี่ยนแปลงของปริมาณในต่อเรห์ในไตรเงน จะมีค่าลดลงเมื่อระดับความลึกเพิ่มขึ้น เมื่อทำการวิเคราะห์ทางสถิติระหว่างปริมาณในต่อเรห์ ในไตรเงนในแต่ละระดับความลึก พบร่วมมีความแตกต่างอย่างมีนัยสำคัญทางสถิติ ( $P<0.05$ ) (ตาราง 28) โดยสามารถแบ่งปริมาณในต่อเรห์ในไตรเงนที่แตกต่างออกได้ 2 กลุ่ม (ตาราง 9) ได้แก่ กลุ่มที่ 1 (ที่พื้นท้องน้ำ) มีปริมาณในต่อเรห์ในไตรเงน  $0.0389 \text{ mg/L}$  และกลุ่มที่ 2 (ที่ 0.30, 10.00, 20.00, 30.00 และ 40.00 m) มีปริมาณในต่อเรห์ในไตรเงน  $0.0129 - 0.0237 \text{ mg/L}$

ผลการศึกษาปริมาณในต่อเรห์ในไตรเงนในแต่ละชุดเก็บตัวอย่างและเดือนตลอดการศึกษา พบร่วมปริมาณในต่อเรห์ในไตรเงนในแต่ละชุดเก็บตัวอย่าง ไม่มีความแตกต่างอย่างมีนัยสำคัญทางสถิติ ( $P>0.05$ ) (ตาราง 28)

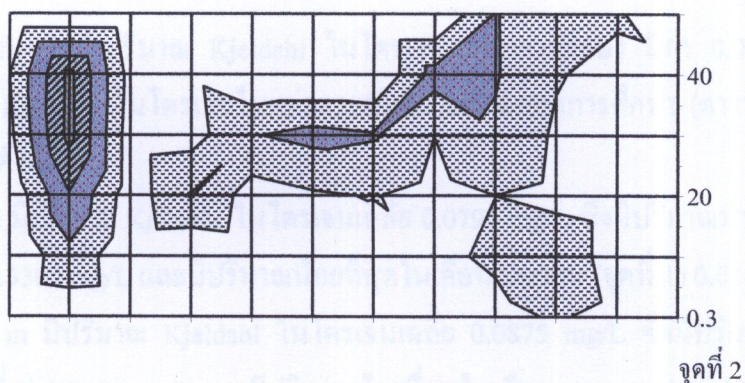
ส่วนปริมาณในต่อเรห์ในไตรเงนในแต่ละเดือน พบร่วมมีปริมาณแตกต่างกันไปในแต่ละเดือน ซึ่งส่วนใหญ่ในช่วงเดือนที่มีฝนตก คือ ช่วงเดือนมิถุนายน ถึง ตุลาคม จะมีปริมาณในต่อเรห์ในไตรเงนมาก เมื่อทำการวิเคราะห์ทางสถิติระหว่างปริมาณในต่อเรห์ในไตรเงนในแต่ละเดือนพบว่ามีความแตกต่างอย่างมีนัยสำคัญทางสถิติ ( $P<0.05$ ) (ตาราง 28) โดยสามารถแบ่งปริมาณในต่อเรห์ในไตรเงนที่แตกต่างออกได้ 6 กลุ่ม (ตาราง 11) ได้แก่ กลุ่มที่ 1 (เดือนกุมภาพันธ์ และสิงหาคม) มีปริมาณในต่อเรห์ในไตรเงน  $0.0561 - 0.0643 \text{ mg/L}$  กลุ่มที่ 2 (เดือนมิถุนายน กันยายน และตุลาคม) มีปริมาณในต่อเรห์ในไตรเงน  $0.0180 - 0.0270 \text{ mg/L}$  กลุ่มที่ 3 (เดือนพฤษภาคม มิถุนายน กรกฎาคม ตุลาคม พฤศจิกายน และธันวาคม) มีปริมาณในต่อเรห์ในไตรเงน  $0.0123 - 0.0181 \text{ mg/L}$  กลุ่มที่ 4 (เดือนเมษายน พฤษภาคม กรกฎาคม ตุลาคม พฤศจิกายน และธันวาคม) มีปริมาณในต่อเรห์ในไตรเงน  $0.0119 - 0.0180 \text{ mg/L}$  กลุ่มที่ 5 (เดือนมกราคม เมษายน พฤษภาคม กรกฎาคม พฤศจิกายน และธันวาคม) มีปริมาณในต่อเรห์ในไตรเงน  $0.0105 - 0.0154 \text{ mg/L}$  และกลุ่มที่ 6 (เดือนมกราคม มีนาคม เมษายน พฤษภาคม พฤศจิกายน และธันวาคม) มีปริมาณในต่อเรห์ในไตรเงน  $0.0081 - 0.0136 \text{ mg/L}$



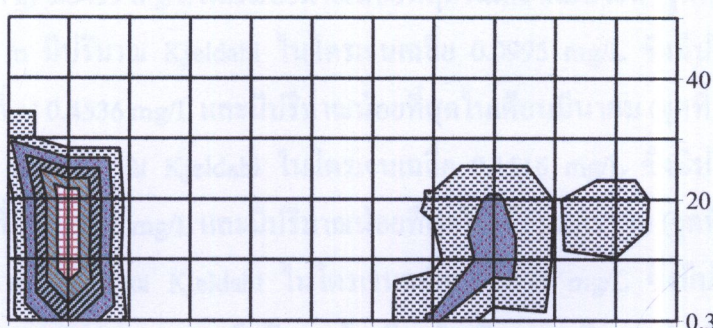
ภาพ 28 ค่าเฉลี่ยของไนเตรทในไตรเจน (mg/L) ในแต่ละเดือน

ภูมิแพนท์ แสดงปริมาณในแต่ละชั้นความลึก

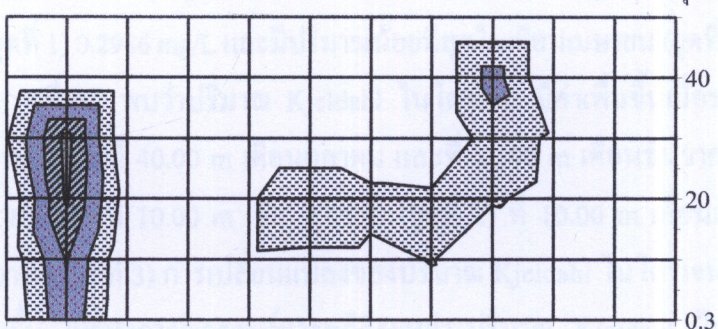
จุดที่ 1



จุดที่ 2



จุดที่ 3



ม.ค ก.พ มี.ค เม.ย พ.ค มิ.ย ก.ค ส.ค ก.ย ต.ค พ.ย ธ.ค

□ 0.0021-0.0193

▨ 0.0193-0.0364

■ 0.0364-0.0536

▨ 0.0536-0.0707

▨ 0.0707-0.0879

▨ 0.0879-0.1050

ภาพ 29 ปริมาณในแต่ละชั้นในโตรเจน (mg/L) ในต่างระดับความลึก

## Kjeldahl ในไตรเจน (Total Kjeldahl Nitrogen)

ผลการศึกษาพบว่าปริมาณ Kjeldahl ในไตรเจนตลอดการศึกษา มีค่า 0.0438 – 0.2924 mg/L ซึ่งปริมาณ Kjeldahl ในไตรเจนในแต่ละระดับความลึกตลอดการศึกษา (ตาราง 16 และภาพ 30, 31) ปรากฏผลดังนี้

ที่ 0.30 m มีปริมาณ Kjeldahl ในไตรเจนเฉลี่ย 0.0799 mg/L ซึ่งมีปริมาณมากที่สุดในเดือนตุลาคม (ฤดูที่ 2) 0.5302 mg/L และมีปริมาณน้อยที่สุดในเดือนเมษายน (ฤดูที่ 1) 0.0164 mg/L

ที่ 10.00 m มีปริมาณ Kjeldahl ในไตรเจนเฉลี่ย 0.0875 mg/L ซึ่งมีปริมาณมากที่สุดในเดือนตุลาคม (ฤดูที่ 2) 0.3499 mg/L และมีปริมาณน้อยที่สุดในเดือนเมษายน (ฤดูที่ 3) 0.0199 mg/L

ที่ 20.00 m มีปริมาณ Kjeldahl ในไตรเจนเฉลี่ย 0.0995 mg/L ซึ่งมีปริมาณมากที่สุดในเดือนตุลาคม (ฤดูที่ 1) 0.4536 mg/L และมีปริมาณน้อยที่สุดในเดือนมีนาคม (ฤดูที่ 1) 0.0264 mg/L

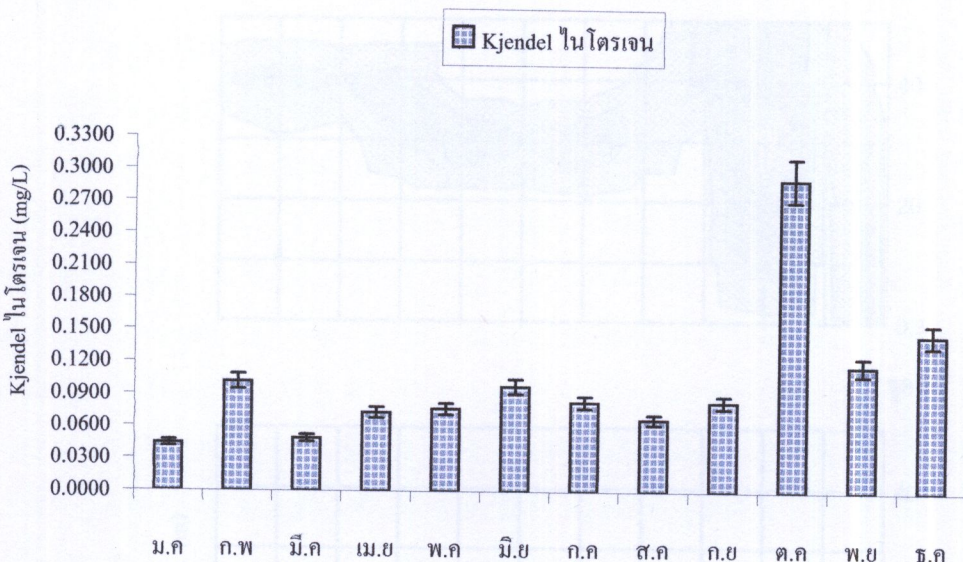
ที่ 30.00 m มีปริมาณ Kjeldahl ในไตรเจนเฉลี่ย 0.1516 mg/L ซึ่งมีปริมาณมากที่สุดในเดือนตุลาคม (ฤดูที่ 1) 0.5935 mg/L และมีปริมาณน้อยที่สุดในเดือนมกราคม (ฤดูที่ 1) 0.0313 mg/L

ที่ 40.00 m มีปริมาณ Kjeldahl ในไตรเจนเฉลี่ย 0.2175 mg/L ซึ่งมีปริมาณมากที่สุดในเดือนตุลาคม (ฤดูที่ 1) 0.3069 mg/L และมีปริมาณน้อยที่สุดในเดือนพฤษจิกายน (ฤดูที่ 1) 0.1368 mg/L

ที่พื้นท้องน้ำ มีปริมาณ Kjeldahl ในไตรเจนเฉลี่ย 0.1250 mg/L ซึ่งมีปริมาณมากที่สุดในเดือนพฤษภาคม (ฤดูที่ 1) 0.2986 mg/L และมีปริมาณน้อยที่สุดในเดือนเมษายน (ฤดูที่ 2) 0.0065 mg/L

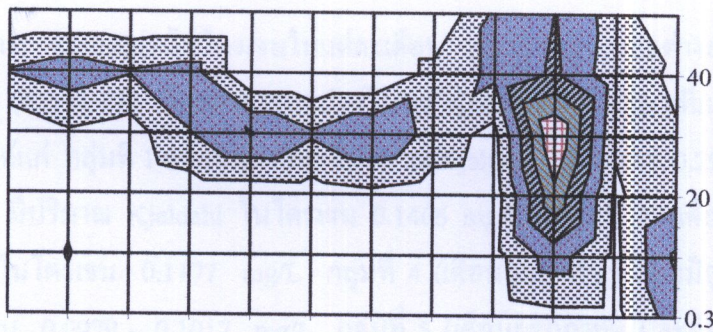
ซึ่งจากการศึกษา พบว่าปริมาณ Kjeldahl ในไตรเจน มีค่าเพิ่มขึ้นเมื่อระดับความลึกเพิ่มขึ้น แต่อย่างไรก็ตาม พบว่าที่ 40.00 m เดือนตุลาคม และที่ 20.00 m เดือนธันวาคม (ฤดูที่ 1) ที่พื้นท้องน้ำ เดือนเมษายน และที่ 10.00 m เดือนตุลาคม (ฤดูที่ 2) ที่ 10.00 m เดือนเมษายน นิยุนายน สิงหาคม และธันวาคม (ฤดูที่ 3) การเปลี่ยนแปลงของปริมาณ Kjeldahl ในไตรเจน จะมีค่าลดลงเมื่อระดับความลึกเพิ่มขึ้น เมื่อทำการวิเคราะห์ทางสถิติระหว่างปริมาณ Kjeldahl ในไตรเจนในแต่ละระดับความลึก พบว่ามีความแตกต่างอย่างมีนัยสำคัญทางสถิติ ( $P<0.05$ ) (ตาราง 29) โดยสามารถแบ่งปริมาณ Kjeldahl ในไตรเจนที่แตกต่างออกได้ 2 กลุ่ม (ตาราง 9) ได้แก่ กลุ่มที่ 1 (ที่ 40.00 m) มีปริมาณ Kjeldahl ในไตรเจน 0.2175 mg/L และกลุ่มที่ 2 (ที่ 0.30, 10.00, 20.00, 30.00 m และที่พื้นท้องน้ำ) มีปริมาณ Kjeldahl ในไตรเจน 0.0799 – 0.1516 mg/L

ผลการศึกษาปริมาณ Kjeldahl ในไตรเจนในแต่ละฤดูกาลเก็บตัวอย่างและเดือนตลอดการศึกษา พบว่าปริมาณ Kjeldahl ในไตรเจนในแต่ละฤดูกาลเก็บตัวอย่าง มีความแตกต่างอย่างมีนัยสำคัญอย่างทางสถิติ ( $P<0.01$ ) (ตาราง 29) โดยสามารถแบ่งปริมาณ Kjeldahl ในไตรเจนที่แตกต่างออกได้ 3 กลุ่ม (ตาราง 10) ได้แก่ กลุ่มที่ 1 (ฤดูที่ 1) มีปริมาณ Kjeldahl ในไตรเจน 0.1321 mg/L กลุ่มที่ 2 (ฤดูที่ 2)

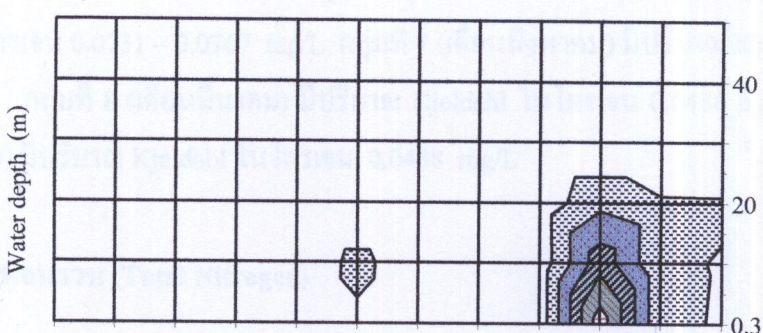


ภาพ 30 ค่าเฉลี่ยของ Kjeldahl ในโตรเจน (mg/L) ในแต่ละเดือน

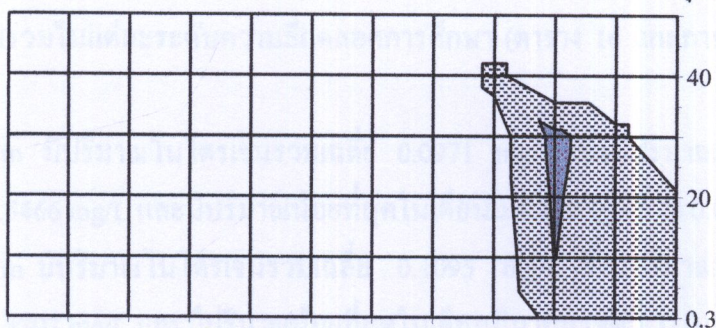
จุดที่ 1



จุดที่ 2



จุดที่ 3



น.ค	ก.พ	มี.ค	เม.ย	พ.ค	มิ.ย	ก.ค	ส.ค	ก.ย	ต.ค	พ.ย	ธ.ค
□ 0.0150-0.1075	▨ 0.1075-0.2000	■ 0.2000-0.2925									
▨ 0.2925-0.3850	■ 0.3850-0.4775	■ 0.4775-0.5700									

ภาพ 31 ปริมาณ Kjeldahl ในต่อเรん (mg/L) ในต่างระดับความลึก

มีปริมาณ Kjeldahl ในไตรเจน 0.0881 mg/L และกุ่มที่ 3 (จุดที่ 3) มีปริมาณ Kjeldahl ในไตรเจน 0.0808 mg/L

ส่วนปริมาณ Kjeldahl ในไตรเจนในแต่ละเดือน พบร่วมกับความแตกต่างของน้ำที่อยู่ในทางสถิติ ( $P<0.01$ ) (ตาราง 29) โดยสามารถแบ่งปริมาณ Kjeldahl ในไตรเจนที่แตกต่างออกได้ 9 กุ่ม (ตาราง 11) ได้แก่ กุ่มที่ 1 (เดือนตุลาคม) มีปริมาณ Kjeldahl ในไตรเจน 0.2924 mg/L กุ่มที่ 2 (เดือนธันวาคม) มีปริมาณ Kjeldahl ในไตรเจน 0.1466 mg/L กุ่มที่ 3 (เดือนพฤษภาคม) มีปริมาณ Kjeldahl ในไตรเจน 0.1177 mg/L กุ่มที่ 4 (เดือนกุมภาพันธ์ และมิถุนายน) มีปริมาณ Kjeldahl ในไตรเจน 0.0979 – 0.1017 mg/L กุ่มที่ 5 (เดือนกรกฎาคม และกันยายน) มีปริมาณ Kjeldahl ในไตรเจน 0.0833 – 0.0836 mg/L กุ่มที่ 6 (เดือนเมษายน และพฤษภาคม) มีปริมาณ Kjeldahl ในไตรเจน 0.0731 – 0.0767 mg/L กุ่มที่ 7 (เดือนสิงหาคม) มีปริมาณ Kjeldahl ในไตรเจน 0.0670 mg/L กุ่มที่ 8 (เดือนมีนาคม) มีปริมาณ Kjeldahl ในไตรเจน 0.0486 mg/L และกุ่มที่ 9 (เดือนมกราคม) มีปริมาณ Kjeldahl ในไตรเจน 0.0438 mg/L

#### ไตรเจนรวม (Total Nitrogen)

ผลการศึกษาพบว่าปริมาณไตรเจนรวมตลอดการศึกษา มีค่า 0.0586 – 0.3123 mg/L ซึ่งปริมาณไตรเจนรวมในแต่ละระดับความลึกตลอดการศึกษา (ตาราง 16 และภาพ 32, 33) ปรากฏผลดังนี้

ที่ 0.30 m มีปริมาณไตรเจนรวมเฉลี่ย 0.0971 mg/L ซึ่งมีปริมาณมากที่สุดในเดือนตุลาคม (จุดที่ 2) 0.5466 mg/L และมีปริมาณน้อยที่สุดในเดือนเมษายน (จุดที่ 1) 0.0236 mg/L

ที่ 10.00 m มีปริมาณไตรเจนรวมเฉลี่ย 0.1095 mg/L ซึ่งมีปริมาณมากที่สุดในเดือนตุลาคม (จุดที่ 2) 0.3707 mg/L และมีปริมาณน้อยที่สุดในเดือนมีนาคม (จุดที่ 3) 0.0288 mg/L

ที่ 20.00 m มีปริมาณไตรเจนรวมเฉลี่ย 0.1241 mg/L ซึ่งมีปริมาณมากที่สุดในเดือนตุลาคม (จุดที่ 1) 0.4705 mg/L และมีปริมาณน้อยที่สุดในเดือนมีนาคม (จุดที่ 1) 0.0389 mg/L

ที่ 30.00 m มีปริมาณไตรเจนรวมเฉลี่ย 0.1794 mg/L ซึ่งมีปริมาณมากที่สุดในเดือนตุลาคม (จุดที่ 1) 0.6113 mg/L และมีปริมาณน้อยที่สุดในเดือนมกราคม (จุดที่ 1) 0.0503 mg/L

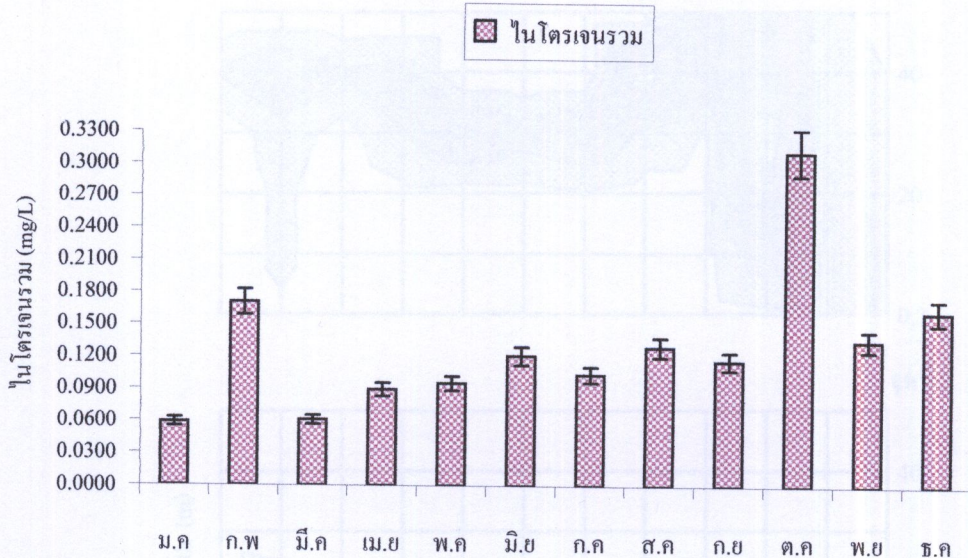
ที่ 40.00 m มีปริมาณไตรเจนรวมเฉลี่ย 0.2449 mg/L ซึ่งมีปริมาณมากที่สุดในเดือนตุลาคม (จุดที่ 1) 0.3294 mg/L และมีปริมาณน้อยที่สุดในเดือนพฤษภาคม (จุดที่ 1) 0.1562 mg/L

ที่พื้นท้องน้ำ มีปริมาณในไตรเจนรวมเฉลี่ย  $0.1685 \text{ mg/L}$  ซึ่งมีปริมาณมากที่สุดในเดือน สิงหาคม (ฤดูที่ 1)  $0.5690 \text{ mg/L}$  และมีปริมาณน้อยที่สุดในเดือนเมษายน (ฤดูที่ 2)  $0.0242 \text{ mg/L}$

ซึ่งจากการศึกษา พบว่าปริมาณในไตรเจนรวม มีค่าเพิ่มขึ้นเมื่อระดับความลึกเพิ่มขึ้น แต่ อย่างไรก็ตาม พบร่วมที่  $40.00 \text{ m}$  เดือนตุลาคม และที่  $20.00 \text{ m}$  เดือนธันวาคม (ฤดูที่ 1) ที่พื้นท้องน้ำ เดือนเมษายน และที่  $10.00 \text{ m}$  เดือนตุลาคม (ฤดูที่ 2) ที่  $10.00 \text{ m}$  เดือนเมษายน มิถุนายน สิงหาคม และธันวาคม (ฤดูที่ 3) การเปลี่ยนแปลงของปริมาณในไตรเจนรวมจะมีค่าลดลงเมื่อระดับความลึก เพิ่มขึ้น เมื่อทำการวิเคราะห์ทางสถิติระหว่างปริมาณในไตรเจนรวมในแต่ละระดับความลึก พบร่วมมี ความแตกต่างอย่างมีนัยสำคัญทางสถิติ ( $P<0.05$ ) (ตาราง 30) โดยสามารถแบ่งปริมาณในไตรเจน รวมที่แตกต่างออกได้ 2 กลุ่ม (ตาราง 9) ได้แก่ กลุ่มที่ 1 (ที่  $30.00, 40.00 \text{ m}$  และพื้นท้องน้ำ) มี ปริมาณในไตรเจนรวม  $0.1685 - 0.2449 \text{ mg/L}$  และกลุ่มที่ 2 (ที่  $0.30, 10.00, 20.00, 30.00 \text{ m}$  และ พื้นท้องน้ำ) มีปริมาณในไตรเจนรวม  $0.0971 - 0.1794 \text{ mg/L}$

ผลการศึกษาปริมาณในไตรเจนรวมในแต่ละชุดเก็บตัวอย่างและเดือนตลอดการศึกษา พบร่วม ปริมาณในไตรเจนรวมในแต่ละชุดเก็บตัวอย่าง มีความแตกต่างอย่างมีนัยสำคัญทางสถิติ ( $P<0.05$ ) (ตาราง 30) โดยสามารถแบ่งปริมาณในไตรเจนรวมที่แตกต่างออกได้ 3 กลุ่ม (ตาราง 10) ได้แก่ กลุ่มที่ 1 (ฤดูที่ 1) มีปริมาณในไตรเจนรวม  $0.1623 \text{ mg/L}$  กลุ่มที่ 2 (ฤดูที่ 2) มีปริมาณ ในไตรเจนรวม  $0.1145 \text{ mg/L}$  และกลุ่มที่ 3 (ฤดูที่ 3) มีปริมาณในไตรเจนรวม  $0.1042 \text{ mg/L}$

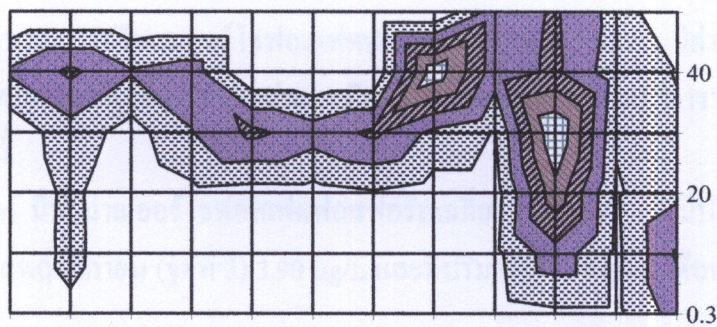
ส่วนปริมาณในไตรเจนรวมในแต่ละเดือน พบร่วมมีความแตกต่างอย่างมีนัยสำคัญยังทาง สถิติ ( $P<0.01$ ) (ตาราง 30) โดยสามารถแบ่งปริมาณในไตรเจนรวมที่แตกต่างออกได้ 9 กลุ่ม (ตาราง 11) ได้แก่ กลุ่มที่ 1 (เดือนตุลาคม) มีปริมาณในไตรเจนรวม  $0.3123 \text{ mg/L}$  กลุ่มที่ 2 (เดือน กุมภาพันธ์ และธันวาคม) มีปริมาณในไตรเจนรวม  $0.1621 - 0.1704 \text{ mg/L}$  กลุ่มที่ 3 (เดือนสิงหาคม และพฤษจิกายน) มีปริมาณในไตรเจนรวม  $0.1290 - 0.1352 \text{ mg/L}$  กลุ่มที่ 4 (เดือนมิถุนายนและ สิงหาคม) มีปริมาณในไตรเจนรวม  $0.1210 - 0.1290 \text{ mg/L}$  กลุ่มที่ 5 (เดือนมิถุนายน และ กันยายน) มีปริมาณในไตรเจนรวม  $0.1166 - 0.1210 \text{ mg/L}$  กลุ่มที่ 6 (เดือนกรกฎาคมและกันยายน) มี ปริมาณในไตรเจนรวม  $0.1038 - 0.1166 \text{ mg/L}$  กลุ่มที่ 7 (เดือนพฤษภาคมและกรกฎาคม) มี ปริมาณในไตรเจนรวม  $0.0955 - 0.1038 \text{ mg/L}$  กลุ่มที่ 8 (เดือนเมษายนและพฤษภาคม) มีปริมาณ ในไตรเจนรวม  $0.0895 - 0.0955 \text{ mg/L}$  และกลุ่มที่ 9 (เดือนมกราคมและมีนาคม) มีปริมาณ ในไตรเจนรวม  $0.0586 - 0.0608 \text{ mg/L}$



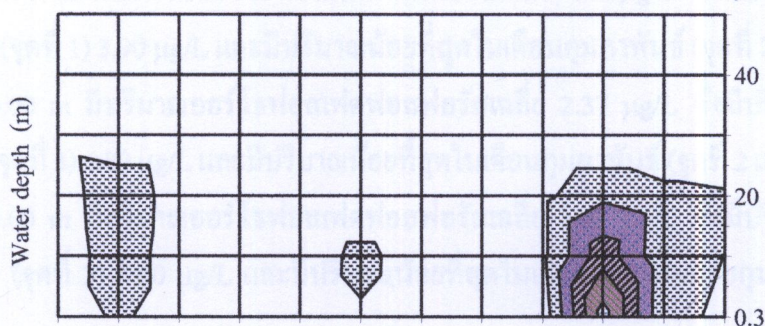
ภาพ 32 ค่าเฉลี่ยของไนโตรเจนรวม (mg/L) ในแต่ละเดือน

การตีความค่าปริมาณในต่างระดับความลึก (Interpretation of depth)

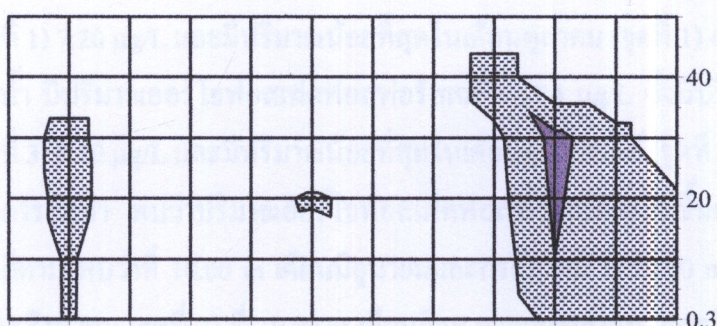
ชุดที่ 1



ชุดที่ 2



ชุดที่ 3



น.ค	ก.พ	มี.ค	เม.ย	พ.ค	มิ.ย	ก.ค	ส.ค	ก.ย	ต.ค	พ.ย	ธ.ค
0.0240-0.1200	0.1200-0.2160	0.2160-0.3120									
0.3120-0.4080	0.4080-0.5040	0.5040-0.6000									

ภาพ 33 ปริมาณในต่อเนินรวม ( $\text{mg/L}$ ) ในต่างระดับความลึก

## ออร์โธฟอสเฟตฟอสฟอรัส (Orthophosphate Phosphorus)

ผลการศึกษาพบว่าปริมาณออร์โธฟอสเฟตฟอสฟอรัสลดลงตามการศึกษา มีค่า  $0.60 - 4.98 \mu\text{g/L}$  ซึ่งปริมาณออร์โธฟอสเฟตฟอสฟอรัสในแต่ละระดับความลึกลดลงตามการศึกษา (ตาราง 16 และภาพ 34, 35) ปรากฏผลดังนี้

ที่  $0.30 \text{ m}$  มีปริมาณออร์โธฟอสเฟตฟอสฟอรัสเฉลี่ย  $1.74 \mu\text{g/L}$  ซึ่งมีปริมาณมากที่สุดในเดือนกรกฎาคมและพฤษจิกายน (ฤดูที่ 3)  $3.90 \mu\text{g/L}$  และมีปริมาณน้อยที่สุดในเดือนกุมภาพันธ์ (ฤดูที่ 2)  $0.20 \mu\text{g/L}$

ที่  $10.00 \text{ m}$  มีปริมาณออร์โธฟอสเฟตฟอสฟอรัสเฉลี่ย  $1.95 \mu\text{g/L}$  ซึ่งมีปริมาณมากที่สุดในเดือนเมษายน (ฤดูที่ 1)  $3.90 \mu\text{g/L}$  และมีปริมาณน้อยที่สุดในเดือนกุมภาพันธ์ (ฤดูที่ 2)  $0.30 \mu\text{g/L}$

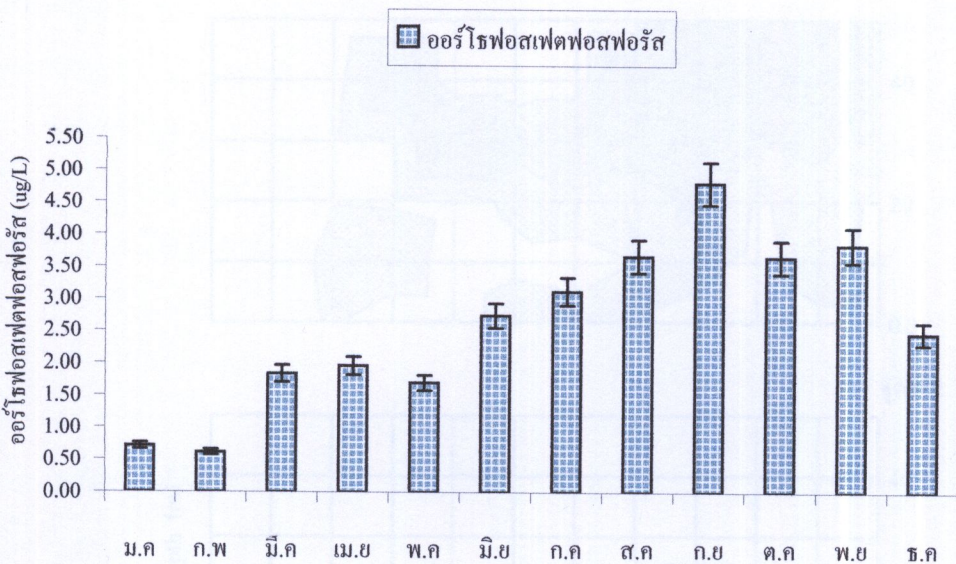
ที่  $20.00 \text{ m}$  มีปริมาณออร์โธฟอสเฟตฟอสฟอรัสเฉลี่ย  $2.37 \mu\text{g/L}$  ซึ่งมีปริมาณมากที่สุดในเดือนตุลาคม (ฤดูที่ 3)  $6.80 \mu\text{g/L}$  และมีปริมาณน้อยที่สุดในเดือนกุมภาพันธ์ (ฤดูที่ 2 และ 3)  $0.40 \mu\text{g/L}$

ที่  $30.00 \text{ m}$  มีปริมาณออร์โธฟอสเฟตฟอสฟอรัสเฉลี่ย  $3.49 \mu\text{g/L}$  ซึ่งมีปริมาณมากที่สุดในเดือนกันยายน (ฤดูที่ 3)  $6.80 \mu\text{g/L}$  และมีปริมาณน้อยที่สุดในเดือนมกราคมและกุมภาพันธ์ (ฤดูที่ 1)  $0.70 \mu\text{g/L}$

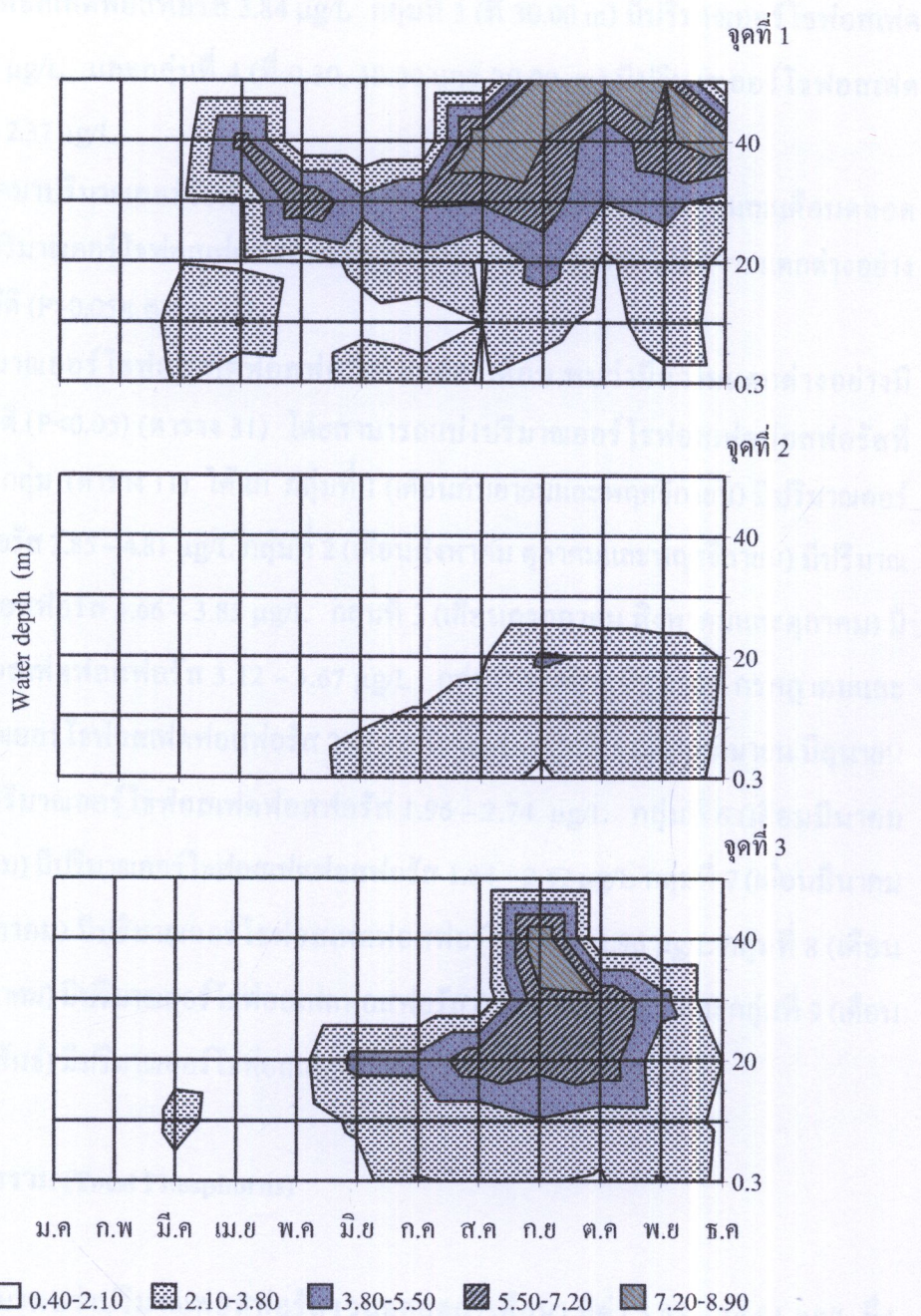
ที่  $40.00 \text{ m}$  มีปริมาณออร์โธฟอสเฟตฟอสฟอรัสเฉลี่ย  $4.98 \mu\text{g/L}$  ซึ่งมีปริมาณมากที่สุดในเดือนกันยายน (ฤดูที่ 1)  $7.20 \mu\text{g/L}$  และมีปริมาณน้อยที่สุดในเดือนตุลาคม (ฤดูที่ 1)  $4.20 \mu\text{g/L}$

ที่พื้นท้องน้ำ มีปริมาณออร์โธฟอสเฟตฟอสฟอรัสเฉลี่ย  $3.84 \mu\text{g/L}$  ซึ่งมีปริมาณมากที่สุดในเดือนกันยายน (ฤดูที่ 3)  $9.10 \mu\text{g/L}$  และมีปริมาณน้อยที่สุดในเดือนกุมภาพันธ์ (ฤดูที่ 2)  $0.40 \mu\text{g/L}$

ซึ่งจากการศึกษา พบว่าปริมาณออร์โธฟอสเฟตฟอสฟอรัสมีค่าเพิ่มขึ้นเมื่อระดับความลึกเพิ่มขึ้น แต่อย่างไรก็ตาม พบว่าที่  $10.00 \text{ m}$  เดือนมิถุนายนและกรกฎาคม ที่  $20.00 \text{ m}$  เดือนกุมภาพันธ์ มีน้ำคุณ เมฆายานและสิงหาคม (ฤดูที่ 1) ที่  $10.00 \text{ m}$  เดือนสิงหาคมและตุลาคม และที่พื้นท้องน้ำ เดือนมีนาคม เมฆายาน มิถุนายนและพฤษจิกายน (ฤดูที่ 2) ที่  $10.00 \text{ m}$  เดือนกรกฎาคม สิงหาคมและพฤษจิกายน และที่พื้นท้องน้ำ เดือนมีนาคม (ฤดูที่ 3) การเปลี่ยนแปลงของปริมาณออร์โธฟอสเฟตฟอสฟอรัสมีค่าลดลงเมื่อระดับความลึกเพิ่มขึ้น เมื่อทำการวิเคราะห์ทางสถิติระหว่างปริมาณออร์โธฟอสเฟตฟอสฟอรัสในแต่ละระดับความลึก พบว่ามีความแตกต่างอย่างมีนัยสำคัญทางสถิติ ( $P < 0.05$ ) (ตาราง 31) โดยสามารถแบ่งปริมาณออร์โธฟอสเฟตฟอสฟอรัสที่แตกต่างออกได้ 4 กลุ่ม (ตาราง 9) ได้แก่ กลุ่มที่ 1 (ที่  $40.00 \text{ m}$ ) มีปริมาณออร์โธฟอสเฟตฟอสฟอรัส  $4.98 \mu\text{g/L}$  กลุ่มที่ 2 (ที่พื้นท้องน้ำ)



ภาพ 34 ค่าเฉลี่ยของออร์โชีฟอสเฟตฟอสฟอรัส (ug/L) ในแต่ละเดือน



ภาพ 35 ปริมาณօօර์ໂໂຟໂສເຟຝອດົກໂອຣັສ (ug/L) ໃນຕ່າງຮະດັບຄວາມລຶກ

มีปริมาณออร์โธฟอสเฟตฟอสฟอรัส  $3.84 \mu\text{g/L}$  กลุ่มที่ 3 (ที่  $30.00 \text{ m}$ ) มีปริมาณออร์โธฟอสเฟตฟอสฟอรัส  $3.49 \mu\text{g/L}$  และกลุ่มที่ 4 (ที่  $0.30, 10.00$  และ  $20.00 \text{ m}$ ) มีปริมาณออร์โธฟอสเฟตฟอสฟอรัส  $1.74 - 2.37 \mu\text{g/L}$

ผลการศึกษาปริมาณออร์โธฟอสเฟตฟอสฟอรัสในแต่ละจุดเก็บตัวอย่างและเดือนตลอดการศึกษา พบว่าปริมาณออร์โธฟอสเฟตฟอสฟอรัสในแต่ละจุดเก็บตัวอย่าง ไม่มีความแตกต่างอย่างมีนัยสำคัญทางสถิติ ( $P>0.05$ ) (ตาราง 31)

ส่วนปริมาณออร์โธฟอสเฟตฟอสฟอรัสในแต่ละเดือน พบว่ามีความแตกต่างอย่างมีนัยสำคัญ ทางสถิติ ( $P<0.05$ ) (ตาราง 31) โดยสามารถแบ่งปริมาณออร์โธฟอสเฟตฟอสฟอรัสที่แตกต่างออกได้ 9 กลุ่ม (ตาราง 11) ได้แก่ กลุ่มที่ 1 (เดือนกันยายนและพฤษจิกายน) มีปริมาณออร์โธฟอสเฟตฟอสฟอรัส  $3.85 - 4.81 \mu\text{g/L}$  กลุ่มที่ 2 (เดือนสิงหาคม ตุลาคมและพฤษจิกายน) มีปริมาณออร์โธฟอสเฟตฟอสฟอรัส  $3.66 - 3.85 \mu\text{g/L}$  กลุ่มที่ 3 (เดือนกรกฎาคม สิงหาคมและตุลาคม) มีปริมาณออร์โธฟอสเฟตฟอสฟอรัส  $3.12 - 3.67 \mu\text{g/L}$  กลุ่มที่ 4 (เดือนมิถุนายน กรกฎาคมและธันวาคม) มีปริมาณออร์โธฟอสเฟตฟอสฟอรัส  $2.47 - 3.12 \mu\text{g/L}$  กลุ่มที่ 5 (เดือนเมษายน มิถุนายน และธันวาคม) มีปริมาณออร์โธฟอสเฟตฟอสฟอรัส  $1.96 - 2.74 \mu\text{g/L}$  กลุ่มที่ 6 (เดือนมีนาคม เมษายนและธันวาคม) มีปริมาณออร์โธฟอสเฟตฟอสฟอรัส  $1.84 - 2.47 \mu\text{g/L}$  กลุ่มที่ 7 (เดือนมีนาคม เมษายนและพฤษจิกายน) มีปริมาณออร์โธฟอสเฟตฟอสฟอรัส  $1.70 - 1.96 \mu\text{g/L}$  กลุ่มที่ 8 (เดือน มกราคมและพฤษจิกายน) มีปริมาณออร์โธฟอสเฟตฟอสฟอรัส  $0.71 - 1.70 \mu\text{g/L}$  และกลุ่มที่ 9 (เดือน มกราคมและกุมภาพันธ์) มีปริมาณออร์โธฟอสเฟตฟอสฟอรัส  $0.61 - 0.71 \mu\text{g/L}$

### ฟอสฟอรัสร่วม (Total Phosphorus)

ผลการศึกษาพบว่าปริมาณฟอสฟอรัสร่วมตลอดการศึกษา มีค่า  $5.62 - 14.01 \mu\text{g/L}$  ซึ่งปริมาณฟอสฟอรัสร่วมในแต่ละระดับความลึกตลอดการศึกษา (ตาราง 16 และภาพ 36, 37) ปรากฏผลดังนี้

ที่  $0.30 \text{ m}$  มีปริมาณฟอสฟอรัสร่วมเฉลี่ย  $6.45 \mu\text{g/L}$  ซึ่งมีปริมาณมากที่สุดในเดือนกุมภาพันธ์ (จุดที่ 2)  $13.20 \mu\text{g/L}$  และมีปริมาณน้อยที่สุดในเดือนกันยายน (จุดที่ 1)  $3.20 \mu\text{g/L}$

ที่  $10.00 \text{ m}$  มีปริมาณฟอสฟอรัสร่วมเฉลี่ย  $7.70 \mu\text{g/L}$  ซึ่งมีปริมาณมากที่สุดในเดือนกุมภาพันธ์ (จุดที่ 1)  $19.30 \mu\text{g/L}$  และมีปริมาณน้อยที่สุดในเดือนกันยายน (จุดที่ 1)  $3.60 \mu\text{g/L}$

ที่ 20.00 m มีปริมาณฟอสฟอร์สรวมเฉลี่ย  $8.70 \mu\text{g/L}$  ซึ่งมีปริมาณมากที่สุดในเดือน กุมภาพันธ์ (ฤดูที่ 1)  $14.10 \mu\text{g/L}$  และมีปริมาณน้อยที่สุดในเดือนตุลาคม (ฤดูที่ 1)  $4.80 \mu\text{g/L}$

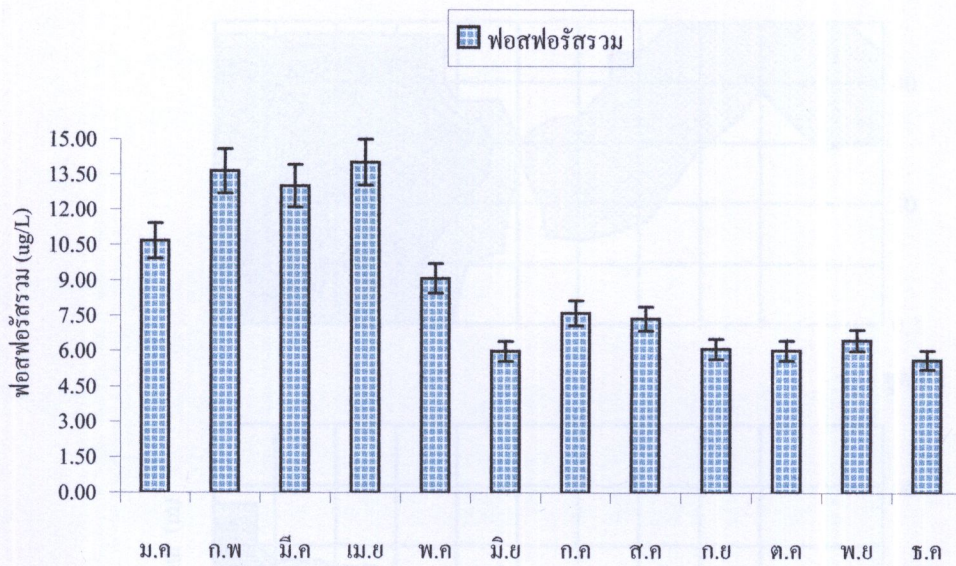
ที่ 30.00 m มีปริมาณฟอสฟอร์สรวมเฉลี่ย  $11.15 \mu\text{g/L}$  ซึ่งมีปริมาณมากที่สุดในเดือน เมษายน (ฤดูที่ 1)  $22.00 \mu\text{g/L}$  และมีปริมาณน้อยที่สุดในเดือนตุลาคม (ฤดูที่ 1)  $6.10 \mu\text{g/L}$

ที่ 40.00 m มีปริมาณฟอสฟอร์สรวมเฉลี่ย  $10.90 \mu\text{g/L}$  ซึ่งมีปริมาณมากที่สุดในเดือน กันยายน (ฤดูที่ 1)  $8.30 \mu\text{g/L}$  และมีปริมาณน้อยที่สุดในเดือนตุลาคม (ฤดูที่ 1)  $7.10 \mu\text{g/L}$

ที่พื้นท้องน้ำ มีปริมาณฟอสฟอร์สรวมเฉลี่ย  $11.12 \mu\text{g/L}$  ซึ่งมีปริมาณมากที่สุดในเดือน มีนาคม (ฤดูที่ 1)  $24.30 \mu\text{g/L}$  และมีปริมาณน้อยที่สุดในเดือนตุลาคม (ฤดูที่ 2)  $4.20 \mu\text{g/L}$

ซึ่งจากการศึกษาพบว่าปริมาณฟอสฟอร์สรวมมีค่าเพิ่มขึ้นเมื่อระดับความลึกเพิ่มขึ้น แต่ อย่างไรก็ตาม พบว่า ที่ 20.00 m เดือนกุมภาพันธ์ มีนาคม เมษายน (ฤดูที่ 1) ที่ 10.00 m เดือน มกราคมและตุลาคม และที่พื้นท้องน้ำ เดือนมิถุนายนและสิงหาคม (ฤดูที่ 2) ที่ 10.00 m เดือน กุมภาพันธ์ เมษายน สิงหาคมและพฤษจิกายน และที่พื้นท้องน้ำ เดือนมกราคม (ฤดูที่ 3) การเปลี่ยนแปลงของปริมาณฟอสฟอร์สรวมจะมีค่าลดลงเมื่อระดับความลึกเพิ่มขึ้น เมื่อทำการวิเคราะห์ทางสถิติระหว่างฟอสฟอร์สรวมในแต่ละระดับความลึก พบว่ามีความแตกต่างอย่างมีนัยสำคัญทางสถิติ ( $P<0.05$ ) (ตาราง 32) โดยสามารถแบ่งปริมาณฟอสฟอร์สรวมที่แตกต่างออกได้ 2 กลุ่ม (ตาราง 11) ได้แก่ กลุ่มที่ 1 (ที่ 30.00 m และพื้นท้องน้ำ) มีปริมาณฟอสฟอร์สรวม  $11.12 - 11.15 \mu\text{g/L}$  และกลุ่มที่ 2 (ที่ 0.30, 10.00, 20.00, 30.00 และ 40.00 m) มีปริมาณฟอสฟอร์สรวม  $6.45 - 11.15 \mu\text{g/L}$

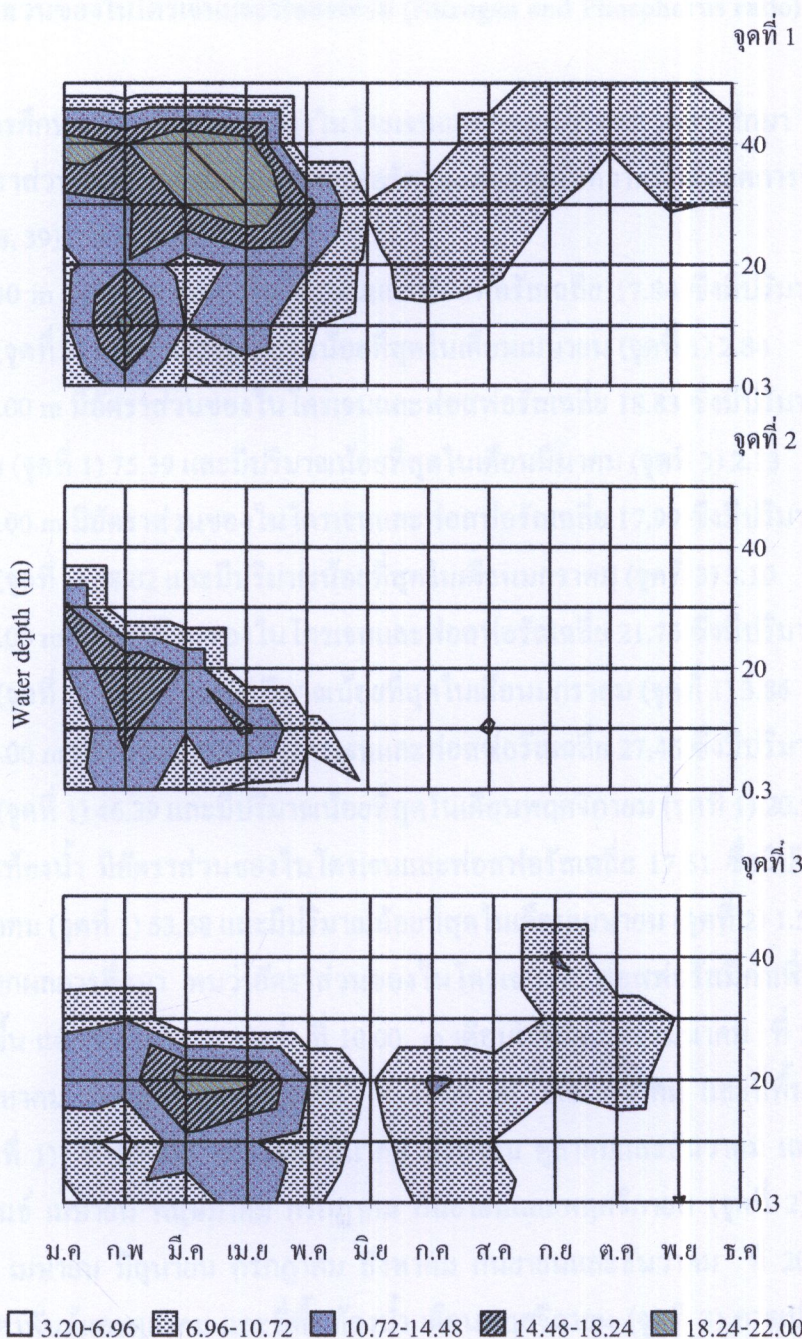
ผลการศึกษาปริมาณฟอสฟอร์สรวมในแต่ละฤดูกาลเก็บตัวอย่างและเดือนตลอดการศึกษา พบว่าปริมาณฟอสฟอร์สรวมในแต่ละฤดูกาลเก็บตัวอย่างและเดือน ไม่มีความแตกต่างอย่างมีนัยสำคัญทางสถิติ ( $P>0.05$ ) (ตาราง 32)



ภาพ 36 ค่าเฉลี่ยของฟอสฟอรัสรวม (ug/L) ในแต่ละเดือน



ภาพ 37 ค่าเฉลี่ยของฟอสฟอรัสรวม (ug/L) ในแต่ละเดือน



ภาพ 37 ปริมาณฟอสฟอรัสรวม (ug/L) ในต่างระดับความลึก

### อัตราส่วนของไนโตรเจนและฟอสฟอรัส (Nitrogen and Phosphorus ratio)

ผลการศึกษาพบว่าอัตราส่วนของไนโตรเจนและฟอสฟอรัสต่อการศึกษา มีค่า 4.46 – 55.17 ซึ่งอัตราส่วนของไนโตรเจนและฟอสฟอรัสในแต่ละระดับความลึกต่อการศึกษา (ตาราง 16 และภาพ 38, 39) ปรากฏผลดังนี้

ที่ 0.30 m มีอัตราส่วนของไนโตรเจนและฟอสฟอรัสเฉลี่ย 17.84 ซึ่งมีปริมาณมากที่สุดในเดือนตุลาคม (ฤดูที่ 2) 97.60 และมีปริมาณน้อยที่สุดในเดือนเมษายน (ฤดูที่ 1) 2.84

ที่ 10.00 m มีอัตราส่วนของไนโตรเจนและฟอสฟอรัสเฉลี่ย 18.83 ซึ่งมีปริมาณมากที่สุดในเดือนธันวาคม (ฤดูที่ 1) 75.39 และมีปริมาณน้อยที่สุดในเดือนมีนาคม (ฤดูที่ 3) 2.13

ที่ 20.00 m มีอัตราส่วนของไนโตรเจนและฟอสฟอรัสเฉลี่ย 17.99 ซึ่งมีปริมาณมากที่สุดในเดือนตุลาคม (ฤดูที่ 1) 98.02 และมีปริมาณน้อยที่สุดในเดือนมกราคม (ฤดูที่ 3) 3.10

ที่ 30.00 m มีอัตราส่วนของไนโตรเจนและฟอสฟอรัสเฉลี่ย 21.76 ซึ่งมีปริมาณมากที่สุดในเดือนตุลาคม (ฤดูที่ 1) 100.21 และมีปริมาณน้อยที่สุดในเดือนมกราคม (ฤดูที่ 3) 3.86

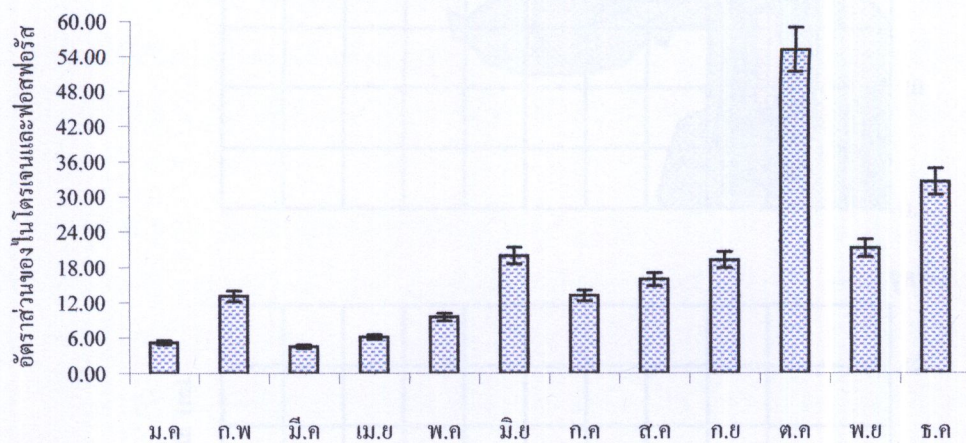
ที่ 40.00 m มีอัตราส่วนของไนโตรเจนและฟอสฟอรัสเฉลี่ย 27.46 ซึ่งมีปริมาณมากที่สุดในเดือนตุลาคม (ฤดูที่ 1) 46.39 และมีปริมาณน้อยที่สุดในเดือนพฤษจิกายน (ฤดูที่ 1) 20.55

ที่พื้นท้องน้ำ มีอัตราส่วนของไนโตรเจนและฟอสฟอรัสเฉลี่ย 17.61 ซึ่งมีปริมาณมากที่สุดในเดือนสิงหาคม (ฤดูที่ 1) 53.68 และมีปริมาณน้อยที่สุดในเดือนเมษายน (ฤดูที่ 2) 1.59

ซึ่งจากการศึกษา พบว่าอัตราส่วนของไนโตรเจนและฟอสฟอรัสมีค่าเพิ่มขึ้นเมื่อระดับความลึกเพิ่มขึ้น แต่อย่างไรก็ตาม พบว่า ที่ 10.00 m เดือนมกราคมและมีนาคม ที่ 20.00 m เดือนมิถุนายน สิงหาคม กันยายน และธันวาคม ที่ 40.00 m เดือนตุลาคม และที่พื้นท้องน้ำ เดือนกันยายน (ฤดูที่ 1) ที่ 10.000 m เดือนมีนาคม สิงหาคม ตุลาคมและธันวาคม และที่พื้นท้องน้ำ เดือนกุมภาพันธ์ เมษายน พฤศจิกายน กรกฎาคม กันยายนและพฤษจิกายน (ฤดูที่ 2) ที่ 10.00 m เดือนมีนาคม เมษายน มิถุนายน กรกฎาคม สิงหาคม กันยายนและธันวาคม ที่ 20.00 m เดือนมกราคม กุมภาพันธ์และตุลาคม และที่พื้นท้องน้ำ เดือนพฤษจิกายน (ฤดูที่ 3) การเปลี่ยนแปลงของอัตราส่วนของไนโตรเจนและฟอสฟอรัสจะมีค่าลดลงเมื่อระดับความลึกเพิ่มขึ้น เมื่อทำการวิเคราะห์ทางสถิติระหว่างการเปลี่ยนแปลงของอัตราส่วนของไนโตรเจนและฟอสฟอรัสในแต่ละระดับความลึก พบว่าไม่มีความแตกต่างอย่างมีนัยสำคัญทางสถิติ ( $P>0.05$ ) (ตาราง 33)

ผลการศึกษาอัตราส่วนของไนโตรเจนและฟอสฟอรัสในแต่ละชุดเก็บตัวอย่างและเดือนตลอดการศึกษา พบว่าอัตราส่วนของไนโตรเจนและฟอสฟอรัสในแต่ละชุดเก็บตัวอย่างและเดือนไม่มีความแตกต่างอย่างมีนัยสำคัญทางสถิติ ( $P>0.05$ ) (ตาราง 33)

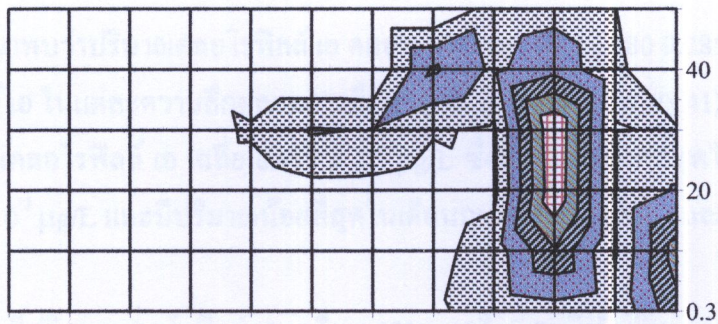
อัตราส่วนของไนโตรเจนและฟอสฟอรัส



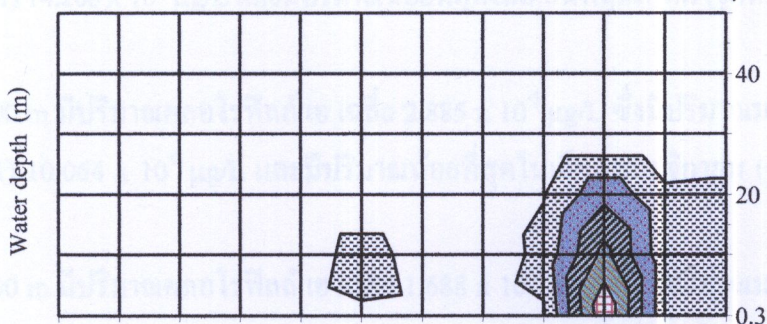
ภาพ 38 ค่าเฉลี่ยของอัตราส่วนของไนโตรเจนและฟอสฟอรัสในแต่ละเดือน

การวิเคราะห์ข้อมูลทางเคมีในน้ำ

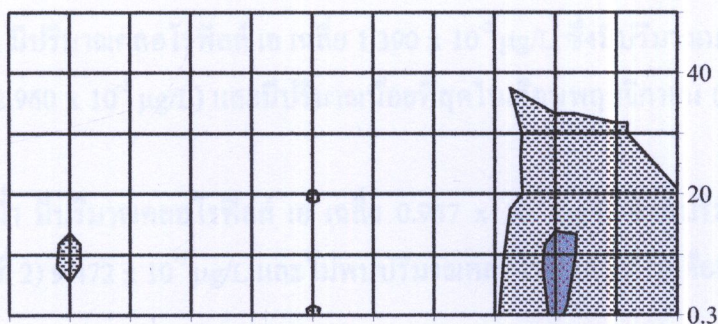
จุดที่ 1



จุดที่ 2



จุดที่ 3



ม.ค ก.พ มี.ค เม.ย พ.ค มิ.ย ก.ค ส.ค ก.ย ต.ค พ.ย ธ.ค		
<input type="checkbox"/> 2.50-18.75	<input checked="" type="checkbox"/> 18.75-35.00	<input type="checkbox"/> 35.00-51.25
<input checked="" type="checkbox"/> 51.25-67.50	<input type="checkbox"/> 67.50-83.75	<input type="checkbox"/> 83.75-100.00

ภาพ 39 อัตราส่วนของไนโตรเจนและฟอสฟอรัสในต่างระดับความลึก

### คลอโรฟิลล์ เอ (Chlorophyll a)

ผลการศึกษาพบว่าปริมาณคลอโรฟิลล์ เอ ตลอดการศึกษา มีค่า  $1.480 - 9.285 \times 10^{-3} \mu\text{g/L}$  ซึ่งปริมาณคลอโรฟิลล์ เอ ในแต่ละความลึกตลอดการศึกษา (ตาราง 16 และภาพ 40, 41) ปรากฏลดลงนี้ที่ 0.30 m มีปริมาณคลอโรฟิลล์ เอ เฉลี่ย  $6.917 \times 10^{-3} \mu\text{g/L}$  ซึ่งมีปริมาณมากที่สุดในเดือนกันยายน (จุดที่ 2)  $27.232 \times 10^{-3} \mu\text{g/L}$  และมีปริมาณน้อยที่สุดในเดือนกุมภาพันธ์ (จุดที่ 2 และ 3)  $2.664 \times 10^{-3} \mu\text{g/L}$

ที่ 10.00 m มีปริมาณคลอโรฟิลล์ เอ เฉลี่ย  $4.329 \times 10^{-3} \mu\text{g/L}$  ซึ่งมีปริมาณมากที่สุดในเดือนกันยายน (จุดที่ 1)  $14.208 \times 10^{-3} \mu\text{g/L}$  และมีปริมาณน้อยที่สุดในเดือนพฤษภาคม (จุดที่ 3)  $0.592 \times 10^{-3} \mu\text{g/L}$

ที่ 20.00 m มีปริมาณคลอโรฟิลล์ เอ เฉลี่ย  $2.885 \times 10^{-3} \mu\text{g/L}$  ซึ่งมีปริมาณมากที่สุดในเดือนตุลาคม (จุดที่ 1)  $10.064 \times 10^{-3} \mu\text{g/L}$  และมีปริมาณน้อยที่สุดในเดือนพฤษภาคม (จุดที่ 3)  $1.184 \times 10^{-3} \mu\text{g/L}$

ที่ 30.00 m มีปริมาณคลอโรฟิลล์ เอ เฉลี่ย  $1.688 \times 10^{-3} \mu\text{g/L}$  ซึ่งมีปริมาณมากที่สุดในเดือนกันยายน (จุดที่ 1)  $6.512 \times 10^{-3} \mu\text{g/L}$  และไม่พบปริมาณคลอโรฟิลล์ เอ ในเดือนกรกฎาคม (จุดที่ 1)  $0 \mu\text{g/L}$

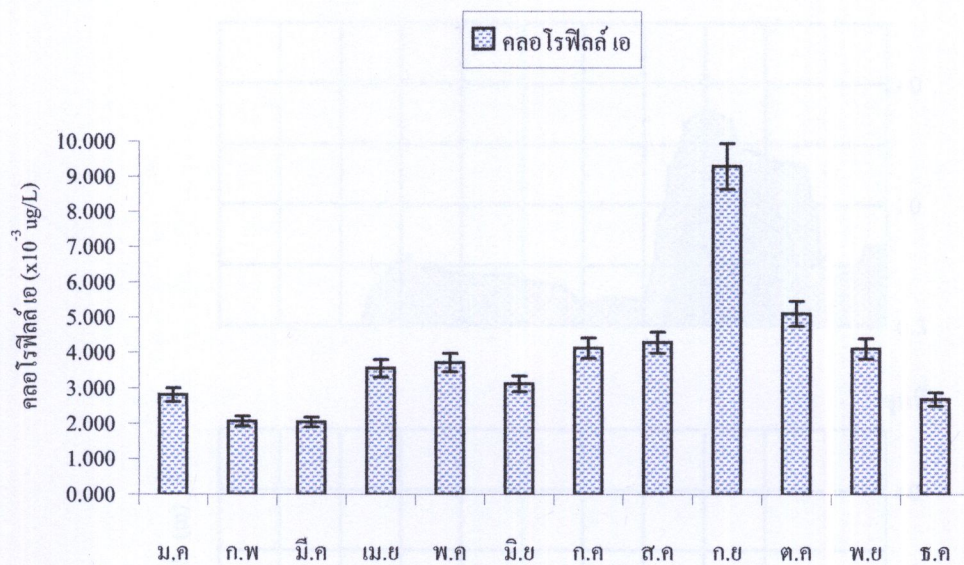
ที่ 40.00 m มีปริมาณคลอโรฟิลล์ เอ เฉลี่ย  $1.390 \times 10^{-3} \mu\text{g/L}$  ซึ่งมีปริมาณมากที่สุดในเดือนกันยายน (จุดที่ 1)  $2.960 \times 10^{-3} \mu\text{g/L}$  และมีปริมาณน้อยที่สุดในเดือนพฤษภาคม (จุดที่ 1)  $1.184 \times 10^{-3} \mu\text{g/L}$

ที่พื้นท้องน้ำ มีปริมาณคลอโรฟิลล์ เอ เฉลี่ย  $0.947 \times 10^{-3} \mu\text{g/L}$  ซึ่งมีปริมาณมากที่สุดในเดือนกันยายน (จุดที่ 2)  $9.472 \times 10^{-3} \mu\text{g/L}$  และไม่พบปริมาณคลอโรฟิลล์ เอ ในเดือนกรกฎาคม (จุดที่ 1)  $0 \mu\text{g/L}$

ซึ่งผลการศึกษา พบว่า ปริมาณคลอโรฟิลล์ เอ มีค่าลดลงเมื่อระดับความลึกเพิ่มขึ้น แต่ก็มีระดับความลึกบางจุดเก็บตัวอย่างและบางเดือนที่ปริมาณคลอโรฟิลล์ เอ มีค่าเพิ่มขึ้นเมื่อระดับความลึกเพิ่มขึ้น เมื่อทำการวิเคราะห์ทางสถิติระหว่างปริมาณคลอโรฟิลล์ เอ ในแต่ละระดับความลึก พบว่า มีความแตกต่างอย่างมีนัยสำคัญทางสถิติ ( $P < 0.05$ ) (ตาราง 34) โดยสามารถแบ่งปริมาณคลอโรฟิลล์ เอ ที่แตกต่างออกได้ 3 กลุ่ม (ตาราง 12) ได้แก่ กลุ่มที่ 1 (0.30 m) มีปริมาณคลอโรฟิลล์ เอ  $6.917 \times 10^{-3} \mu\text{g/L}$  กลุ่มที่ 2 (10.00 m) มีปริมาณคลอโรฟิลล์ เอ  $4.370 \times 10^{-3} \mu\text{g/L}$  และกลุ่มที่ 3 (20.00, 30.00, 40.00 m และพื้นท้องน้ำ) มีปริมาณคลอโรฟิลล์ เอ  $1.480 - 3.369 \times 10^{-3} \mu\text{g/L}$

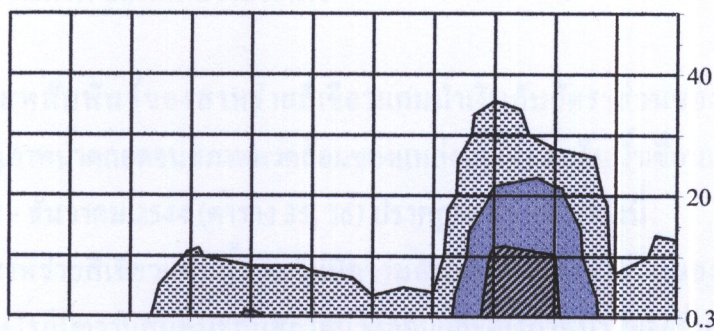
ผลการศึกษาปริมาณคลอโรฟิลล์ เอ ในแต่ละชุดเก็บตัวอย่าง พนว่าปริมาณคลอโรฟิลล์ เอ ในแต่ละชุดเก็บตัวอย่าง ไม่มีความแตกต่างอย่างมีนัยสำคัญทางสถิติ ( $P>0.05$ ) (ตาราง 34)

ส่วนผลการศึกษาปริมาณคลอโรฟิลล์ เอ ในแต่ละเดือน พนว่ามีความแตกต่างอย่างมีนัยสำคัญทางสถิติ ( $P<0.05$ ) (ตาราง 34) โดยสามารถแบ่งปริมาณคลอโรฟิลล์ เอ ที่แตกต่างออกได้ 6 กลุ่ม (ตาราง 14) ได้แก่ กลุ่มที่ 1 (เดือนกันยายน) มีปริมาณคลอโรฟิลล์ เอ  $9.285 \times 10^{-3} \mu\text{g/L}$  กลุ่มที่ 2 (เดือนกรกฎาคม สิงหาคม ตุลาคมและพฤษจิกายน) มีปริมาณคลอโรฟิลล์ เอ  $4.111 - 5.100 \times 10^{-3} \mu\text{g/L}$  กลุ่มที่ 3 (เดือนเมษายน พฤศภาคม กรกฎาคม สิงหาคมและพฤษจิกายน) มีปริมาณคลอโรฟิลล์ เอ  $3.552 - 4.283 \times 10^{-3} \mu\text{g/L}$  กลุ่มที่ 4 (เดือนเมษายน พฤศภาคม มิถุนายน กรกฎาคมและพฤษจิกายน) มีปริมาณคลอโรฟิลล์ เอ  $3.124 - 4.126 \times 10^{-3} \mu\text{g/L}$  กลุ่มที่ 5 (เดือนมกราคม เมษายน พฤศภาคม มิถุนายน พฤศภาคม มิถุนายน มีปริมาณคลอโรฟิลล์ เอ  $2.691 - 3.716 \times 10^{-3} \mu\text{g/L}$  และกลุ่มที่ 6 (เดือนมกราคม กุมภาพันธ์ มีนาคม มิถุนายนและธันวาคม) มีปริมาณคลอโรฟิลล์ เอ  $2.037 - 3.124 \times 10^{-3} \mu\text{g/L}$

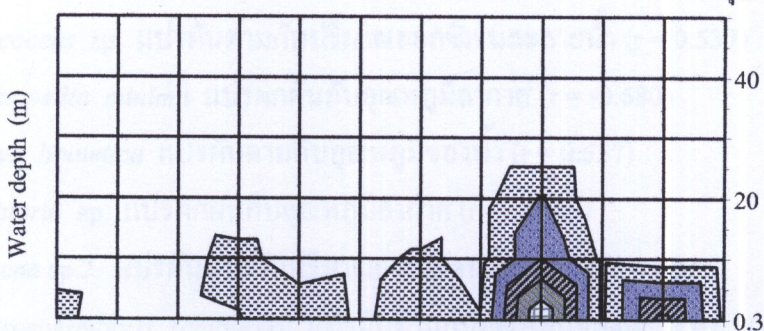


ภาพ 40 ค่าเฉลี่ยของคลอโรฟิลล์ เอ ( $\times 10^{-3}$  ug/L) ในแต่ละเดือน

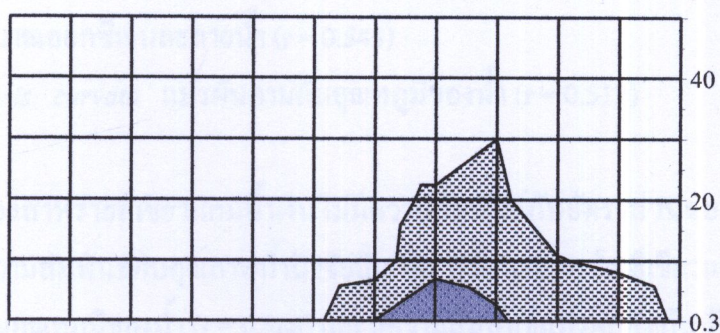
จุดที่ 1



จุดที่ 2



จุดที่ 3



น.ค ก.พ มี.ค เม.ย พ.ค มิ.ย ก.ค ส.ค ก.ย ต.ค พ.ย ธ.ค		
□ 0.000-4.500	▨ 4.500-9.000	■ 9.000-13.500
▨ 13.500-18.000	■ 18.000-22.500	▨ 22.500-27.000

ภาพ 41 ปริมาณคลอโรฟิลล์ เอ ( $\times 10^{-3}$  ug/L) ในต่างระดับความลึก

**สหสัมพันธ์ของสาหร่ายสีเขียวแกมน้ำเงินกับอัตราส่วนของไนโตรเจนและฟอสฟอรัส  
และคุณภาพน้ำทางกายภาพ และเคมีทางประการ**

การศึกษาสหสัมพันธ์ของสาหร่ายสีเขียวแกมน้ำเงินกับอัตราส่วนของไนโตรเจนและฟอสฟอรัส และคุณภาพน้ำติดต่อชนstoffาเวคลล์ของแหล่งน้ำในอ่างเก็บน้ำเขื่อนแม่จั่ดสมบูรณ์ชล ตั้งแต่เดือนมกราคม - ธันวาคม 2544 (ตาราง 35, 36) ปรากฏผลการศึกษาดังนี้

ชนิดของสาหร่ายสีเขียวแกมน้ำเงิน ไม่มีความสัมพันธ์กับอัตราส่วนของไนโตรเจนและฟอสฟอรัส แต่อย่างไรก็มีความสัมพันธ์กับสภาพแวดล้อมและคุณภาพน้ำปัจจัยอื่น ดังนี้

*Chroococcus turgidus* แปรผันกับปริมาณไนโตรทไนโตรเจน ( $r = -0.957$ )

*Chroococcus* sp. แปรผันตามกับปริมาณออกซิเจนละลายน้ำ ( $r = 0.537$ )

*Merismopedia minima* แปรผันกับอุณหภูมิอากาศ ( $r = -0.680$ )

*Lyngbya limnetica* แปรผันตามกับอุณหภูมิของน้ำ ( $r = 0.557$ )

*Oscillatoria* sp. แปรผันกับอุณหภูมิอากาศ ( $r = -0.560$ )

*Anabaena* sp.2 แปรผันตามกับปริมาณออกซิเจนละลายน้ำ ( $r = 0.586$ )

*Cylindrospermopsis raciborskii* แปรผันตามกับอุณหภูมิของน้ำ ( $r = 0.504$ )

*Cylindrospermopsis philippinensis* แปรผันกับระดับความลึกของน้ำ ( $r = -0.547$ ) และ แปรผันตามกับปริมาณออกซิเจนละลายน้ำ ( $r = 0.543$ )

*Raphidiopsis curvata* แปรผันตามกับอุณหภูมิของน้ำ ( $r = 0.512$ )

ปริมาณของสาหร่ายสีเขียวแกมน้ำเงิน ไม่มีความสัมพันธ์กับอัตราส่วนของไนโตรเจนและฟอสฟอรัส แต่มีความสัมพันธ์กับคุณภาพน้ำปัจจัยอื่น คือ ปริมาณสาหร่ายสีเขียวแกมน้ำเงินมีความสัมพันธ์แปรผันตามอุณหภูมิของน้ำ ( $r = 0.588$ ) และมีความสัมพันธ์แปรผันกับปริมาณแอมโมเนียม ( $r = -0.506$ ) ปริมาณไนโตรทไนโตรเจน ( $r = -0.545$ ) และปริมาณไนโตรเจนรวม ( $r = -0.525$ )

## บทที่ 5

### อภิปรายผลการศึกษา

#### ความหลากหลายของสาหร่ายสีเขียวแกมน้ำเงินในอ่างเก็บน้ำเขื่อนแม่น้ำบูล

การศึกษาความหลากหลายของสาหร่ายสีเขียวแกมน้ำเงินในอ่างเก็บน้ำเขื่อนแม่น้ำบูล ตั้งแต่เดือนกรกฎาคม – ธันวาคม 2544 พน.สาหร่ายสีเขียวแกมน้ำเงินทั้งหมด 3 อันดับ 4 วงศ์ 13 สกุล และ 22 ชนิด ซึ่งสาหร่ายสีเขียวแกมน้ำเงินมีการแพร่กระจายในทุกระดับความลึกที่ทำการศึกษา เนื่องด้วยสาหร่ายสีเขียวแกมน้ำเงินสามารถเคลื่อนไหวได้ในลักษณะต่างๆ เช่น แบบลื้น โคล ลื้น โคล ไปข้างหน้าและถอยหลัง แกว่งไปข้าง ขวา สถาบัน กัน เคลื่อนไหวแบบเป็นคลื่นหรือหมุนเป็นเกลียวแบบวงกว้าง ประกอบกับสาหร่ายสีเขียวแกมน้ำเงินมีแก๊สแควร์วิโอล กระจายอยู่ในไครโนพลาสต์ ลักษณะดังกล่าวทำให้สามารถเคลื่อนที่แพร่กระจายในแนวตั้งได้ (ตัดค่า, 2538; อังกอร, 2529; Desikachary, 1959) นอกจากนี้ยังมีปัจจัยอื่นที่เกี่ยวข้อง เช่น แสงและอุณหภูมิ ซึ่งเป็นการตอบสนองของสาหร่ายสีเขียวแกมน้ำเงินสามารถเคลื่อนที่แพร่กระจายอยู่ในระดับความลึกที่มีความเหมาะสมสมดุลกับการเจริญเติบโต จากการศึกษาจะเห็นอย่างเด่นชัดว่าสาหร่ายสีเขียวแกมน้ำเงิน มีจำนวนชนิดและปริมาณมากที่ระดับความลึก  $0.30\text{ m}$  และมีจำนวนชนิดรวมทั้งปริมาณลดลงเมื่อความลึกเพิ่มขึ้นกล่าวได้ว่าสาหร่ายสีเขียวแกมน้ำเงินส่วนใหญ่มีการแพร่กระจายอยู่ที่ระดับความลึก  $0.30 - 10.00\text{ m}$  (ตาราง 1 และภาพ 9,10) แสดงว่าระดับความลึกดังกล่าวมีสภาพที่เหมาะสมต่อการเจริญเติบโตของสาหร่ายสีเขียวแกมน้ำเงินมากกว่าระดับความลึกอื่น และสาหร่ายสีเขียวแกมน้ำเงินที่เป็นชนิดเด่นที่มีการแพร่กระจายในทุกระดับความลึกตลอดการศึกษา คือ *Lyngbya limnetica* และ *Raphidiopsis curvata* ซึ่งเมื่อเปรียบเทียบกับการศึกษาสาหร่ายในอ่างเก็บน้ำเขื่อนแม่น้ำบูลระหว่างปี พ.ศ 2540 - 2543 พน.ว่า สาหร่ายที่เป็นชนิดเด่นตลอดการศึกษา คือ *L. limnetica* และ *Cylindrospermopsis raciborskii* (ตารางที่ 2542; นันท์ชลี ตะศิริเพ็ญ, 2543; พรศิริ, 2544; Saetorn and Traichaiyaporn, 2001) ซึ่งจะพบว่าสาหร่ายสีเขียวแกมน้ำเงินที่เป็นชนิดเด่นในช่วงระยะเวลาที่ผ่านมา กับการศึกษาในครั้งนี้ เป็นเชิงต่อเนื่องจาก *C. raciborskii* มาเป็น *R. curvata* เมื่อพิจารณาถึงคุณภาพน้ำในอ่างเก็บน้ำเขื่อนแม่น้ำบูลในปี 2540 – 2543 โดยเฉพาะอย่างยิ่งช่วงที่ *C. raciborskii* มีการเจริญอย่างรวดเร็ว(bloom) มาก พน.ว่ามีปริมาณในต่อเน้นอ่อนกว่าที่ทำการศึกษาในครั้งนี้ ซึ่งโดยทั่วไปนักจะพบ *C. raciborskii* ในแหล่งน้ำที่มีปริมาณสารอาหารน้อย (Branco and Senna, 1994) อย่างไรก็ตามผลการศึกษานี้ก็พบ *C. raciborskii* แพร่กระจายในทุกระดับความลึก แต่ปริมาณไม่มากพอที่จะเป็นชนิดเด่นในการศึกษาครั้งนี้ได้ แต่มี *R. curvata* เป็นชนิดเด่นมาแทนที่ เมื่อเปรียบเทียบกับผลการศึกษาความหลากหลายทางชีวภาพของสาหร่ายในคลองแม่น้ำ จังหวัดเชียงใหม่ พน.ว่าองค์ประกอบของสาหร่ายส่วนใหญ่ประกอบด้วยสาหร่ายสีเขียวแกมน้ำเงิน ได้แก่

สกุล *Chroococcus*, *Merismopedia* และ *Oscillatoria* (วุฒินันท์, 2544) ส่วนการศึกษาความหลากหลายทางชีวภาพของสาหร่ายสีเขียวแกมน้ำเงินในนาข้าว พบว่าสาหร่ายสกุลเด่นในนาข้าว คือ *Aphanocapsa*, *Anabaena Oscillatoria* และ *Cylindrospermum* (ทวีเดช, 2544)

เปรียบเทียบกับผลการศึกษาสาหร่ายในอ่างเก็บน้ำหัวยังผึ่งเผ่า พบว่าสาหร่ายที่เป็นชนิดเด่นตลอดการศึกษา คือ *C. raciborskii* ซึ่งมีแนวโน้มสัมพันธ์เชิงลบกับปริมาณแอมโมเนียมในน้ำในไตรเรน และในเตรทไนโตรเจน (นพรัตน์, 2543) ซึ่งสอดคล้องกับการศึกษาในอ่างเก็บน้ำเขื่อนแม่กลองอุดมราชารา พบว่า *C. raciborskii* และ *M. aeruginosa* เป็นสาหร่ายชนิดเด่น โดยที่ *C. raciborskii* มีความสัมพันธ์แปรผันกับปริมาณไนโตรเจนทั้งนี้ เพราะ *C. raciborskii* มีเยื่อหุ้มโรงซิสต์ซึ่งเป็นออร์กานิกเลที่สามารถดึงธาตุเหล็กในไตรเรนจากอากาศเปลี่ยนเป็นแอมโมเนียมในไตรเรนซึ่งสาหร่ายนำไปใช้ได้ ขณะที่ *M. aeruginosa* มีความสัมพันธ์แปรผันตรงกับปริมาณօร์โซฟอสเฟต์ฟอสฟอรัสและปริมาณฟอสฟอรัสรวม (ปริญญา, 2540; ชีรศักดิ์, 2541) และในอ่างเก็บน้ำ Paranos ประเทศบราซิล ที่พบ *C. raciborskii* เป็นชนิดเด่นช่วงฤดูฝนทั้งนี้ เพราะน้ำฝนจะเอื้ออำนวยต่อการเจริญเติบโตของสาหร่าย และ *M. aeruginosa* จะเป็นชนิดเด่นช่วงฤดูแล้ง ซึ่งมีการเพิ่มของอุณหภูมิและเกิดความถูกัดกร่อนจากการอินทรีย์และมักพบเป็นชนิดเด่นในอ่างเก็บน้ำและทะเลสาบที่มีปริมาณสารอาหารสูง (Branco and Senna, 1994) การศึกษาความหลากหลายและองค์ประกอบชนิดของสาหร่ายในทะเลสาบ Kastoria ซึ่งเป็นทะเลสาบที่อยู่ในประเทศกรีซ เผยแพร่ในอ่างเก็บน้ำเขื่อนแม่น้ำ Paralimni ในไตรเรน 67 ชนิด โดยองค์ประกอบชนิดของสาหร่ายส่วนใหญ่เป็นกลุ่มสาหร่ายสีเขียวแกมน้ำเงิน ได้แก่ *Limnothrix redekei*, *C. raciborskii*, *Microcystis*, *Anabaena* และ *Aphanizomenon* spp. (Aligizaki et al., 2001)

### คุณภาพน้ำทางกายภาพ เกมีและชีวภาพในอ่างเก็บน้ำเขื่อนแม่น้ำป่าสัก

#### ระดับความลึกของน้ำ

ระดับความลึกของน้ำในอ่างเก็บน้ำเขื่อนแม่น้ำป่าสัก ตั้งแต่เดือนมกราคม – ธันวาคม 2544 พบว่าช่วงแรกของการศึกษา (เดือนมกราคม-กุมภาพันธ์) น้ำลึกมาก เนื่องจากมีปริมาณน้ำมากจากการกักเก็บน้ำในช่วงปลายปี 2543 ที่ผ่านมา (พรศิริ, 2544) จากนั้นระดับความลึกของน้ำจะค่อยๆ ลดลงในช่วงฤดูร้อน (เดือนกุมภาพันธ์ – พฤษภาคม) เนื่องจากมีปริมาณน้ำฝนน้อยมากและการระบายน้ำเพื่อการอุปโภคบริโภค โดยระดับความลึกของน้ำต่ำสุด 26.95 m ในเดือนมิถุนายน (ตาราง 16 และภาพ 13) หลังจากนั้นระดับความลึกของน้ำจะเพิ่มขึ้นในช่วงฤดูฝน (เดือนพฤษภาคม - ตุลาคม) ซึ่งมีปริมาณน้ำฝนมาก โดยปริมาณน้ำฝนมากที่สุด 309.90 mL ในเดือนกรกฎาคม และระดับความลึกของน้ำลึกสุด 45.80 m ในเดือนกันยายน ดังนั้นพบว่าปริมาณน้ำฝนมีผลต่อการเพิ่มและลดระดับน้ำ

นอกจากนี้ยังมีปัจจัยอื่นที่เกี่ยวข้อง เช่น การปิด-เปิดประชาระบahn้ำเพื่อการกักเก็บน้ำและการระบายน้ำเพื่อการเกษตรกรรม ซึ่งมีการส่งผลกระทบต่อคุณภาพน้ำอย่างยิ่ง

## ความโปรด়ิงในของน้ำ

ความโปรด়ิงในของน้ำในปี 2544 มีค่าเฉลี่ย  $1.73 - 4.62 \text{ m}$  โดยมีความโปรด়ิงในของน้ำมากที่สุดในเดือนกรกฎาคม (จุดที่ 3)  $5.04 \text{ m}$  ซึ่งขณะที่ทำการเก็บตัวอย่างท้องฟ้าโปรด়ิง มีแสงแดดปานกลาง ประกอบกับน้ำค่อนข้างใส สภาพน้ำนี้ไม่มีกระแสลมพัดส่งผลให้ปริมาณแสงผ่านลงไปในน้ำได้มาก ความโปรด়ิงในของน้ำจึงมีค่ามาก และพบว่าความโปรด়ิงในของน้ำน้อยที่สุดในเดือนกรกฎาคม (จุดที่ 3)  $0.92 \text{ m}$  ซึ่งขณะที่ทำการเก็บตัวอย่างท้องฟ้าปิดประกอบกับน้ำค่อนข้างชุ่น ส่งผลให้ปริมาณแสงผ่านลงไปในน้ำได้น้อย ความโปรด়ิงในของน้ำจึงมีค่าน้อย โดยทั่วไปค่าความโปรด়ิงในของน้ำจะขึ้นกับปริมาณแสงผ่านลงไปในน้ำ ช่วงเวลาของวัน สภาพของอากาศ ปริมาณของแพลงก์ตอนในน้ำ และปริมาณตะกอนสารแขวนลอยรวมทั้งอนุภาคสารอินทรีย์ในน้ำ (นันทนา, 2536; ศรีเพ็ญ, 2537; Boney, 1975; Goldman and Horne, 1983) จากผลการศึกษาพบว่าสอดคล้องกับการศึกษาคุณภาพน้ำในอ่างเก็บน้ำเขื่อนแม่น้ำบูล ระหว่างปี พ.ศ 2540 – 2543 ที่มีค่าความโปรด়ิงในของน้ำอยู่ระหว่าง  $1.35 - 3.96 \text{ m}$  (ธารงค์, 2542; นันท์ชี และศรีเพ็ญ, 2543; พรศิริ, 2544) และในอ่างเก็บน้ำเขื่อนแม่กว่างอุบลราชธานี มีค่าความโปรด়ิงในของน้ำอยู่ระหว่าง  $2.27 - 4.90 \text{ m}$  (ฉลินดา, 2539) ส่วนในทะเลสาบ Katugday ประเทศฟิลิปปินส์ พบว่าค่าความโปรด়ิงในของน้ำมีความสัมพันธ์เป็นปกติ กับปริมาณน้ำฝนและความหนาแน่นของแพลงก์ตอนพืช โดยเมื่อมีฝนตกอนุภาคสารแขวนลอยในน้ำจะเพิ่มขึ้นทำให้ค่าความโปรด়ิงในของน้ำลดลง อีกทั้งเมื่อความหนาแน่นของแพลงก์ตอนพืชเพิ่มขึ้นก็จะทำให้ค่าความโปรด়ิงในของน้ำลดลงเช่นกัน (Traichaiyaporn, 1985)

## อุณหภูมิอากาศ

อุณหภูมิอากาศในปี 2544 มีค่าเฉลี่ย  $21.33 - 32.00^{\circ}\text{C}$  โดยมีอุณหภูมิอากาศสูงที่สุดในเดือนสิงหาคม (ทั้ง 3 จุด)  $32.00^{\circ}\text{C}$  ซึ่งอยู่ในช่วงฤดูฝนแต่ขณะที่ทำการเก็บตัวอย่างฝนไม่ตกทำให้อากาศมีอุณหภูมิสูง และพบว่ามีอุณหภูมิอากาศต่ำที่สุดในเดือนกรกฎาคม (จุดที่ 1)  $18.00^{\circ}\text{C}$  เนื่องจากอยู่ในช่วงฤดูหนาวอุณหภูมิจึงต่ำ ซึ่งผลการศึกษาพบว่าสอดคล้องกับการศึกษาในอ่างเก็บน้ำเขื่อนแม่กว่างอุบลราชธานีที่มีอุณหภูมิอากาศสูงที่สุดในช่วงฤดูฝนในวันที่ฝนไม่ตกและมีอุณหภูมิอากาศต่ำที่สุดในช่วงฤดูหนาว (ปริญญา, 2540; ธีรศักดิ์, 2541) และอุณหภูมิอากาศในอ่างเก็บน้ำเขื่อนแม่น้ำบูลในปี พ.ศ 2543 พบว่ามีอุณหภูมิอากาศสูงที่สุดช่วงฤดูร้อนในเดือนเมษายน ( $34.67^{\circ}\text{C}$ ) และมีอุณหภูมิอากาศต่ำที่สุดช่วงฤดูหนาวในเดือนธันวาคม ( $23.33^{\circ}\text{C}$ ) (พรศิริ, 2544)

## อุณหภูมน้ำ

อุณหภูมน้ำในแต่ละระดับความลึก มีค่าเฉลี่ย  $25.13 - 28.11^{\circ}\text{C}$  โดยอุณหภูมน้ำที่ระดับความลึก 0.30, 10.00, 20.00, 30.00, 40.00 m และพื้นท้องน้ำ มีค่าเฉลี่ย  $28.11, 26.74, 25.99, 25.19, 25.17$  และ  $25.13$  ตามลำดับ ซึ่งพบว่ามีการเปลี่ยนแปลงของอุณหภูมิในแต่ละระดับความลึก (temperature stratification) โดยมีอุณหภูมามากที่ระดับความลึก 0.30 m และมีค่าลดลงตามระดับความลึกที่เพิ่มขึ้น ทั้งนี้จะเห็นอย่างเด่นชัดในช่วงฤดูร้อน จากผลการวิเคราะห์ทางสถิติ อุณหภูมน้ำในแต่ละระดับความลึก มีความแตกต่างอย่างมีนัยสำคัญทางสถิติ ( $P < 0.05$ ) (ตาราง 22) นอกจากนี้อุณหภูมน้ำในแต่ละเดือนตลอดที่ทำการศึกษามีค่าเฉลี่ยอยู่ระหว่าง  $24.05 - 29.57^{\circ}\text{C}$  ซึ่งการเปลี่ยนแปลงของอุณหภูมิ เป็นไปตามฤดูกาลของชั้นเงน แต่บ่ายไร้ก็ตามพบว่าในช่วงฤดูฝน วันที่ทำการเก็บตัวอย่างฝนไม่ตก อุณหภูมิอากาศมีอุณหภูมิสูงทำให้มีอุณหภูมน้ำมีอุณหภูมิสูงตามไปด้วย จากผลการศึกษาพบว่า อุณหภูมน้ำในแต่ละเดือนมีความแตกต่างอย่างมีนัยสำคัญทางสถิติ ( $P < 0.05$ ) (ตาราง 22) และอุณหภูมน้ำในแต่ละเดือนตามอุณหภูมิอากาศ ( $r = 0.858$ ) (ตาราง 36) โดยปกติการเปลี่ยนแปลงอุณหภูมน้ำจะผันแปรตามความเข้มแสง อุณหภูมิอากาศ ช่วงเวลาของวัน ฤดูกาล ระดับความสูง สภาพภูมิประเทศ กระแสลม ความลึก ความเร็วของกระแสน้ำและสภาพแวดล้อมทั่วไปของแหล่งน้ำ ซึ่งอุณหภูมน้ำของแหล่งน้ำตามธรรมชาติในประเทศไทยมีค่าผันแปร  $23.00 - 32.00^{\circ}\text{C}$  ขึ้นอยู่กับช่วงเวลาของวัน และฤดูกาล (ประเทือง, 2534; ศิริเพ็ญ, 2543)

## ความเป็นกรด-ด่าง

ความเป็นกรด-ด่างในแต่ละระดับความลึก มีค่าเฉลี่ย  $5.27 - 7.22$  โดยความเป็นกรด-ด่างที่ระดับความลึก 0.30, 10.00, 20.00, 30.00, 40.00 m และพื้นท้องน้ำ มีค่าเฉลี่ย  $7.22, 6.61, 6.35, 6.29, 6.08$  และ  $5.27$  ตามลำดับ ซึ่งมีความเป็นกรด-ด่างมากที่ระดับความลึก 0.30 m และมีค่าลดลงเมื่อระดับความลึกเพิ่มขึ้น เนื่องจากบริเวณผิวน้ำมีการสัมเคราะห์แสงของแพลงก์ตอนพืชสูง ทำให้ปริมาณคาร์บอนไดออกไซด์ลดต่ำลง ค่าความเป็นกรด-ด่างของน้ำจึงมีค่าสูงขึ้น ขณะที่เมื่อระดับความลึก เพิ่มขึ้นการสัมเคราะห์แสงน้อยลงหรือไม่มีการสัมเคราะห์แสง ประกอบกับมีการทำหายใจของสิ่งมีชีวิตทำให้การบ่อน気にออกไซด์มีปริมาณสูงขึ้น เมื่อการบ่อน気にออกไซด์รวมตัวกันน้ำจะทำให้เกิดกรดคาร์บอนิก ( $\text{H}_2\text{CO}_3$ ) ค่าความเป็นกรด-ด่างของน้ำจึงลดต่ำลง (ประเทือง, 2534; มั่นสิน, 2540; ศิริเพ็ญ, 2543) จากผลการวิเคราะห์ทางสถิติ ค่าความเป็นกรด-ด่างในแต่ละระดับความลึก มีความแตกต่างอย่างมีนัยสำคัญยิ่งทางสถิติ ( $P < 0.01$ ) (ตาราง 23) ความเป็นกรด-ด่างในแต่ละเดือนตลอดที่ทำการศึกษามี ค่าเฉลี่ยอยู่ระหว่าง  $5.51 - 8.30$  ซึ่งมีการเปลี่ยนแปลงไปในแต่ละเดือนโดยส่วนใหญ่ช่วงเดือนที่ห้องฟ้าไปร่องน้ำแสงจะมีและจะทำการเก็บตัวอย่าง จะมีค่าความเป็นกรด-ด่างสูง แต่ช่วงเดือนที่ห้องฟ้าปิด โดยเฉพาะถ้ามีฝนตก น้ำฝนจะดึงสารอินทรีย์ลงไปในแหล่งน้ำแล้วเกิดการย่อยสลายของสารอินทรีย์ทำให้ค่าความเป็นกรด-ด่างลดต่ำลง จากผลการศึกษาพบว่า ค่าความเป็น

กรด-ค่าง ในแต่ละเดือน มีความแตกต่างอย่างมีนัยสำคัญยังทางสถิติ ( $P<0.01$ ) (ตาราง 23) อย่างไรก็ตาม จากผลการศึกษาพบว่าค่าความเป็นกรด-ค่างอยู่ในเกณฑ์มาตรฐานคุณภาพน้ำผิวดิน ( $\text{pH} = 5.00 - 9.00$ ) (ตาราง 40) ซึ่งผลการศึกษารั้งนี้มีค่าความเป็นกรด-ค่างสอดคล้องกับค่าที่รายงานในอ่างเก็บน้ำเขื่อนแม่น้ำบูลบูลชัต ปี 2540 - 2543 ( $\text{pH} = 6.45 - 9.10$ ) (รั่ว่างค์, 2542; นันท์ชลี อะคริเที่ย, 2543; พรศิริ, 2544) และอย่างเก็บน้ำเขื่อนแม่กลองอุดมราوا ( $\text{pH} = 6.80 - 8.30$ ) (ชลินดา, 2539; ปริญญา, 2540; ธีรศักดิ์, 2541) และทำนองเดียวกัน ค่าความเป็นกรด-ค่าง ในอ่างเก็บน้ำ Benutan ประเทศาลาเชียง ที่ระดับความลึกผิวน้ำ มีค่า 7.00 และมีค่าลดลงเมื่อระดับความลึกเพิ่มขึ้นจนมีค่า 6.00 ที่ระดับความลึก 4 - 5 m (Booth *et al.*, 1994)

### ความนำไฟฟ้าของน้ำ

ความนำไฟฟ้าของน้ำในแต่ละระดับความลึก มีค่าเฉลี่ย  $97.06 - 116.60 \mu\text{S}/\text{cm}$  โดยความนำไฟฟ้าของน้ำที่ระดับความลึก 0.30, 10.00, 20.00, 30.00, 40.00 m และพื้นท้องน้ำ มีค่าเฉลี่ย 97.97, 97.06, 94.47, 102.89, 116.60 และ  $116.33 \mu\text{S}/\text{cm}$  ตามลำดับ พบว่าค่าความนำไฟฟ้ามีแนวโน้มเพิ่มขึ้นตามระดับความลึก ทั้งนี้อาจเนื่องจากระดับความลึกที่เพิ่มขึ้นมีสารประกอบอนินทรีย์ที่สามารถแตกตัวให้อ่อนมากกว่าที่ระดับความลึกผิวน้ำจึงทำให้มีค่าความนำไฟฟ้ามาก จากผลการวิเคราะห์ทางสถิติ ความนำไฟฟ้าในแต่ละระดับความลึกมีความแตกต่างอย่างมีนัยสำคัญทางสถิติ ( $P<0.05$ ) (ตาราง 24) ซึ่งผลที่ได้สอดคล้องกับการศึกษาค่าความนำไฟฟ้าในอ่างเก็บน้ำเขื่อนแม่กลองอุดมราواที่มีค่าความนำไฟฟ้าอยู่ระหว่าง  $64.00 - 109.00 \mu\text{S}/\text{cm}$  โดยมีค่ามากขึ้นเมื่อระดับความลึกของน้ำเพิ่มขึ้น และในอ่างเก็บน้ำ Benutan ประเทศาลาเชียง ความนำไฟฟ้ามีแนวโน้มเพิ่มขึ้นตามระดับความลึกของน้ำ เช่นเดียวกัน (ชลินดา, 2539; Booth *et al.*, 1994) ความนำไฟฟ้าของน้ำใน แต่ละเดือนตลอดที่ทำการศึกษามีค่าเฉลี่ยอยู่ระหว่าง  $86.31 - 115.00 \mu\text{S}/\text{cm}$  ซึ่งมีค่ามากในช่วงฤดูฝน ทั้งนี้อาจเนื่องจากน้ำฝน ที่ตกจะช่วยเอาระบบท่าน้ำที่ทำการเก็บตัวอย่างก่อให้เกิดการย่อยสลายเปลี่ยนแปลงสารประกอบอนินทรีย์ ทำให้ค่าความนำไฟฟ้ามีค่ามาก แต่อย่างไรก็ตามถ้ามีการปนเปื้อนของสารประกอบอนินทรีย์และที่ทำการเก็บตัวอย่างก่อให้เกิดหมายความว่าค่าความนำไฟฟ้าของน้ำจะมีค่ามาก ทั้งนี้ต้องพิจารณาว่าการเกิดเป็นสารประกอบอนินทรีย์มีมากน้อยเพียงใด ซึ่งขึ้นกับระยะเวลาการปนเปื้อนของสารประกอบอนินทรีย์ในแหล่งน้ำ จากผลการศึกษาพบว่าค่าความนำไฟฟ้าในแต่ละเดือนมีความแตกต่างอย่างมีนัยสำคัญทางสถิติ ( $P<0.05$ ) (ตาราง 24) การศึกษาค่าความนำไฟฟ้าของน้ำในถูก เมืองเชียงใหม่ พบว่ามีค่าความนำไฟฟ้าสูงสุด  $390.00 \mu\text{S}/\text{cm}$  เมื่อจากมีปริมาณน้ำในถูกเมืองน้อยทำให้ปริมาณสารประกอบอนินทรีย์ที่อยู่ในน้ำมีความเพิ่มขึ้นมาก ค่าความนำไฟฟ้าจึงมีค่ามาก และมีค่าความนำไฟฟ้าต่ำสุด  $193.80 \mu\text{S}/\text{cm}$  เมื่อจากมีปริมาณน้ำมากทำให้มีการเจือจางปริมาณสาร

ประกอบอนินทรีย์ ค่าความนำไฟฟ้าจึงน้อย (ดาวร, 2538) ผลการศึกษาครั้งนี้พบว่าค่าความนำไฟฟ้าของน้ำในอ่างเก็บน้ำเขื่อนแม่จั๊ดสมบูรณ์ชล มีค่าน้อยกว่าแหล่งน้ำธรรมชาติทั่วไปที่จะมีค่าความนำไฟฟ้าอยู่ระหว่าง  $150.00 - 300.00 \mu\text{S}/\text{cm}$  ซึ่งโดยปกติแหล่งน้ำที่มีปริมาณสารอาหารต่าจะมีค่าความนำไฟฟ้าของน้ำค่อนข้างน้อย ทั้งนี้ความนำไฟฟ้าของน้ำจะขึ้นอยู่กับความเข้มข้นและชนิดของอิオนที่มีอยู่ในน้ำและอุณหภูมิของน้ำขณะที่ทำการวัด (ไมตรี แตะขาธารวรรณ, 2528; ประเทือง, 2534; มั่นสิน, 2540) ส่วนการศึกษาค่าความนำไฟฟ้าในอ่างเก็บน้ำเขื่อนแม่จั๊ดสมบูรณ์ชลปี 2540 – 2543 พบว่า มีค่าอยู่ระหว่าง  $70.00 - 254.40 \mu\text{S}/\text{cm}$  (สำรางค์, 2542; นันท์ชลี แตะศรีเพ็ญ, 2543; พรศิริ, 2544) และ อ่างเก็บน้ำของสำนักงานเกษตรและสหกรณ์ จังหวัดเชียงใหม่ มีค่าความนำไฟฟ้าอยู่ระหว่าง  $199.00 - 241.00 \mu\text{S}/\text{cm}$  (ประเสริฐ, 2539)

### ปริมาณออกซิเจนที่ละลายน้ำ

ปริมาณออกซิเจนที่ละลายน้ำในแต่ละระดับความลึก มีค่าเฉลี่ย  $0 - 5.83 \text{ mg/L}$  โดยปริมาณออกซิเจนที่ละลายน้ำที่ระดับความลึก  $0.30, 10.00, 20.00, 30.00, 40.00 \text{ m}$  และพื้นท้องน้ำ มีค่าเฉลี่ย  $5.83, 2.49, 1.51, 0.47$  และ  $0 \text{ mg/L}$  ตามลำดับ ซึ่งมีค่าลดลงตามระดับความลึกที่เพิ่มขึ้นจนไม่มีออกซิเจนละลายน้ำอยู่เลยที่พื้นท้องน้ำ ทั้งนี้เนื่องจากการสังเคราะห์แสงของแพลงก์ตอนพืชลดลง เมื่อระดับความลึกเพิ่มขึ้นแต่อัตราการหายใจของสิ่งมีชีวิตรวมทั้งการย่อยสลายของสารอินทรีย์ มีสูงขึ้นส่งผลให้ปริมาณออกซิเจนที่ละลายน้ำลดลงหรือไม่มี ผลการวิเคราะห์ทางสถิติปริมาณออกซิเจนที่ละลายน้ำในแต่ละระดับความลึกมีความแตกต่างอย่างมีนัยสำคัญยิ่งทางสถิติ ( $P<0.01$ ) (ตาราง 25) จากผลการศึกษาสอดคล้องกับการเปลี่ยนแปลงปริมาณออกซิเจนที่ละลายน้ำตามระดับความลึกในอ่างเก็บน้ำเขื่อนแม่กวงอุดมชารา (ชลินดา, 2539; บริญญา, 2540; ธีรศักดิ์, 2541) ส่วนปริมาณออกซิเจนที่ละลายน้ำในแต่ละเดือนตลอดที่ทำการศึกษา พบว่ามีค่าเฉลี่ยอยู่ระหว่าง  $1.23 - 3.94 \text{ mg/L}$  ซึ่งพบว่ามีค่ามากในช่วงฤดูร้อนหรือในช่วงฤดูฝนในวันที่ฝนไม่ตก อากาศมีอุณหภูมิสูง แต่อย่างไรก็ตามในฤดูฝนเหล่าน้ำมีปริมาณสารประกลบอินทรีย์มากจากการชะล้างของน้ำฝน ทำให้ตั้งแต่ระดับความลึกผิวน้ำลงมา มีปริมาณออกซิเจนละลายน้ำอยู่และมีความแตกต่างของปริมาณออกซิเจนที่ละลายน้ำในต่างระดับความลึกมาก ซึ่งโดยทั่วไปแหล่งน้ำที่มีความอุดมสมบูรณ์ต่าจะมีความแตกต่างของปริมาณออกซิเจนที่ละลายน้ำในต่างระดับความลึกนาก ซึ่งโดยทั่วไปแหล่งน้ำที่มีความอุดมสมบูรณ์ต่าจะมีความแตกต่างของปริมาณออกซิเจนที่ละลายน้ำในต่างๆทางชีวเคมีของสิ่งมีชีวิตมีอยู่ แต่จะกลับกันในแหล่งน้ำที่มีความอุดมสมบูรณ์สูงจะพบปริมาณออกซิเจนที่ละลายน้ำแตกต่างกันมากในฤดูกาลและความลึกของน้ำในปริมาณน้อย เพราะกระบวนการต่างๆทางชีวเคมีของสิ่งมีชีวิตมีอยู่ แต่จะกลับกันในแหล่งน้ำที่มีความอุดมสมบูรณ์สูงจะพบปริมาณออกซิเจนที่ละลายน้ำแตกต่างกันมากในฤดูกาลและความลึกของน้ำในปริมาณน้อย (Goldman and Horne, 1983) จากผลการศึกษาพบว่าปริมาณออกซิเจนที่ละลายน้ำในแต่ละเดือน มี

ความแตกต่างอย่างมีนัยสำคัญยิ่งทางสถิติ ( $p<0.01$ ) (ตาราง 25) และปริมาณออกซิเจนที่คลายน้ำมีความสัมพันธ์เปรียกผันกับระดับความลึกของน้ำ ( $r = -0.740$ ) และมีความสัมพันธ์เปรียกผันตามกับอุณหภูมิอากาศและค่าความเป็นกรด-ด่าง ( $r = 0.578$  และ  $0.574$  ตามลำดับ) (ตาราง 36) โดยทั่วไปปัจจัยที่มีอิทธิพลต่อปริมาณออกซิเจนที่คลายน้ำ คือ ช่วงเวลาของวัน ระดับความลึก อัตราการสังเคราะห์แสงและการหายใจ ความเข้มแสง อุณหภูมิ ความกดของบรรยากาศและปริมาณลดพิษที่ปล่อยลงสู่แหล่งน้ำ ซึ่งเหล่าน้ำตามธรรมชาติที่ปราศจากผลกระทบภาวะมีค่าปริมาณออกซิเจนโดยเฉลี่ยสูงกว่า  $5.00 \text{ mg/L}$  และมีค่าได้สูงถึง  $7.00 \text{ mg/L}$  หรือมากกว่านี้ในเวลากลางคืน สำหรับบริเวณที่มีแพลงก์ตอนพืชปริมาณมากอาจมีค่าปริมาณออกซิเจนสูงได้ถึง  $14.00 \text{ mg/L}$  (ประเทือง, 2534; นันทนา, 2536; เปี่ยมศักดิ์, 2538; มั่นศิน, 2540; ศิริเพ็ญ, 2543) การศึกษาปริมาณออกซิเจนคลายน้ำในอ่างเก็บน้ำเขื่อนแม่น้ำบูล พบว่ามีค่าอยู่ระหว่าง  $0 - 9.60 \text{ mg/L}$  (ธารงค์, 2542; นันท์ชลี และศิริเพ็ญ, 2543; พรศิริ, 2544) ขณะที่อ่างเก็บน้ำของสำนักงานเกษตรและสหกรณ์ จังหวัดเชียงใหม่ มีปริมาณออกซิเจนที่คลายน้ำอยู่ระหว่าง  $7.30 - 9.10 \text{ mg/L}$  (ประเสริฐ, 2539) ในทะเลสาบ Katugday ประเทศฟิลิปปินส์ มีปริมาณออกซิเจนที่คลายน้ำอยู่ระหว่าง  $4.40 - 8.40 \text{ mg/L}$  (Traichaiyaporn, 1985) และในอ่างเก็บน้ำ Benutan ประเทศไทยแล้วซึ่ง พบว่าปริมาณออกซิเจนคลายน้ำจะมีค่ามากที่ระดับความลึกน้อยกว่า  $4.00 \text{ m}$  (Booth *et al.*, 1994)

### ปริมาณแอนโนเนียในโตรเจน

ปริมาณแอนโนเนียในโตรเจนในแต่ละระดับความลึก มีค่าเฉลี่ย  $0.0339 - 0.1136 \text{ mg/L}$  โดยปริมาณแอนโนเนียในโตรเจนที่ระดับความลึก  $0.30, 10.00, 20.00, 30.00, 40.00 \text{ m}$  และพื้นท้องน้ำ มีค่าเฉลี่ย  $0.0339, 0.0355, 0.0394, 0.0553, 0.0734$  และ  $0.1136 \text{ mg/L}$  ตามลำดับ พบว่าปริมาณแอนโนเนียในโตรเจนมีแนวโน้มเพิ่มขึ้นตามระดับความลึก ผลการวิเคราะห์ทางสถิติ ปริมาณแอนโนเนียในโตรเจนในแต่ละระดับความลึก มีความแตกต่างอย่างมีนัยสำคัญทางสถิติ ( $P<0.05$ ) (ตาราง 26) ส่วนปริมาณแอนโนเนียในโตรเจนในแต่ละเดือนตลอดที่ทำการศึกษา พบว่ามีค่าเฉลี่ยอยู่ระหว่าง  $0.0115 - 0.0902 \text{ mg/L}$  โดยเริ่มแรกของการศึกษามีปริมาณแอนโนเนียในโตรเจนน้อยและน้อยที่สุดในช่วงฤดูร้อน หลังจากนั้นเมื่อมีฝนตกในช่วงฤดูฝน ปริมาณแอนโนเนียจะแนวโน้มเพิ่มขึ้นทั้งนี้อาจเกิดจากน้ำฝนชะล้างเอาสารประกอบอนินทรีย์ลงไปในแหล่งน้ำแล้วเกิดกระบวนการย่อยสลายสารประกอบอนินทรีย์เปลี่ยนเป็นแอนโนเนียในโตรเจนตามวัฏจักรในโตรเจน แต่อย่างไรก็ตาม ปริมาณน้ำฝนที่ตกก็เพียงพอที่จะปริมาณแอนโนเนียในโตรเจนให้มีปริมาณไม่สูงมากนัก จนกระทั่งมีปริมาณแอนโนเนียในโตรเจนมากที่สุดในช่วงปลายฤดูฝน-ต้นฤดูหนาว (เดือนตุลาคม-พฤษจิกายน)

จากผลการศึกษา พนบว่าปริมาณแอนโนมเนียในโตรเจนในแต่ละเดือนมีความแตกต่างอย่างมีนัยสำคัญทางสถิติ ( $P<0.05$ ) (ตาราง 26) ซึ่งผลการศึกษาแสดงถึงกับการเปลี่ยนแปลงของปริมาณแอนโนมเนีย ในโตรเจนในแต่ละระดับความลึกและแต่ละเดือนในอ่างเก็บน้ำเขื่อนแม่น้ำโขงอุดมชารา (ฉลินดา, 2539; ปริญญา, 2540; ธีรศักดิ์, 2541) โดยปกติปริมาณแอนโนมเนียในโตรเจนจะมีอยู่ในน้ำตามธรรมชาติในปริมาณน้อยกว่า  $1.00 \text{ mg/L}$  ซึ่งจัดว่าเป็นสภาพที่ไม่มีผลกระทบ และจากผลการศึกษาที่ได้มีค่าอยู่ในเกณฑ์มาตรฐานคุณภาพน้ำผิวดิน คือ ปริมาณแอนโนมเนียในโตรเจนไม่เกิน  $0.50 \text{ mg/L}$  (กรมควบคุมมลพิษ, 2535; เปี่ยมศักดิ์, 2538; นันทนา, 2539) และพบว่าปริมาณแอนโนมเนียในโตรเจนมีความสัมพันธ์แบบผิดๆ กับระดับความลึกของน้ำ ( $r = 0.529$ ) และแปรผันผันกับค่าความเป็นกรด-ด่างของน้ำ ( $r = -0.640$ ) (ตาราง 36) การศึกษาคุณภาพน้ำในอ่างเก็บน้ำเขื่อนแม่น้ำจั่งสมบูรณ์ฯ ที่ผ่านมา พนบว่าปริมาณแอนโนมเนียในโตรเจนมีค่า  $0.0040 - 0.2000 \text{ mg/L}$  (ธารงค์, 2542; นันท์ชลี และศิริเพ็ญ, 2543) การศึกษาคุณภาพน้ำในสาระน้ำในเมืองเชียงใหม่ คือ ภูเมืองเชียงใหม่ อ่างเก็บน้ำอ่างแก้วและอ่างเก็บน้ำห้วยเม่หขวาก พนบว่ามีปริมาณแอนโนมเนียในโตรเจน  $0.2700 - 1.6300$ , น้อยกว่า  $0.0200 - 0.3075$  และ น้อยกว่า  $0.0200 - 0.2850 \text{ mg/L}$  ตามลำดับ (พันทวี และศิริเพ็ญ, 2539) อ่างเก็บน้ำของสำนักงานเกษตรและสหกรณ์จังหวัดเชียงใหม่ ปริมาณแอนโนมเนียในโตรเจน มีค่า  $0.1200 \text{ mg/L}$  (ประเสริฐ, 2539) ส่วนอ่างเก็บน้ำ Paranos ประเทศไทย บรรจุสิ่งพนบว่าในช่วงฤดูฝนปริมาณแอนโนมเนียในโตรเจนมีค่า  $527.00 \mu\text{g/L}$  แต่ในช่วงฤดูร้อนปริมาณแอนโนมเนียในโตรเจนมีค่า  $1,461.00 \mu\text{g/L}$  (Branco and Senna, 1994)

### ปริมาณไนโตรฟิไนโตรเจน

ปริมาณไนโตรฟิไนโตรเจนในโตรเจนในแต่ละระดับความลึก มีค่าเฉลี่ย  $0.0041 - 0.0057 \text{ mg/L}$  โดยปริมาณไนโตรฟิไนโตรเจนที่ระดับความลึก  $0.30, 10.00, 20.00, 30.00, 40.00 \text{ m}$  และพื้นที่ด้านล่างน้ำ มีค่าเฉลี่ย  $0.0043, 0.0044, 0.0044, 0.0041, 0.0054$  และ  $0.0057 \text{ mg/L}$  ตามลำดับ ซึ่งมีแนวโน้มเพิ่มขึ้นตามระดับความลึก ผลการวิเคราะห์ทางสถิติ ปริมาณไนโตรฟิไนโตรเจนในโตรเจนในแต่ละระดับความลึก "ไม่มีความแตกต่างอย่างมีนัยสำคัญทางสถิติ ( $P>0.05$ ) (ตาราง 27) ส่วนปริมาณไนโตรฟิไนโตรเจนในแต่ละเดือนตลอดที่ทำการศึกษา พนบว่ามีค่าเฉลี่ยอยู่ระหว่าง  $0.0019 - 0.0060 \text{ mg/L}$  ซึ่งพนบว่าการเปลี่ยนแปลงปริมาณไนโตรฟิไนโตรเจนในโตรเจนในแต่ละเดือนไม่ชัดเจน แต่มีแนวโน้มมีปริมาณมากในฤดูร้อนและฤดูฝนและลดลงในฤดูหนาว จากผลการศึกษา พนบว่าปริมาณไนโตรฟิไนโตรเจนในโตรเจนในแต่ละเดือนไม่มีความแตกต่างอย่างมีนัยสำคัญทางสถิติ ( $P>0.05$ ) (ตาราง 27)

ซึ่งการศึกษาสอดคล้องกับอ่างเก็บน้ำเขื่อนแม่กวงอุคุณธาราที่มีปริมาณในไทรท์ในไตรเงนอยู่ระหว่าง  $0.0010 - 0.0041 \text{ mg/L}$  ซึ่งมีการเปลี่ยนแปลงของชั้ดเจนโดยจะมีปริมาณสูงในช่วงฤดูร้อนและฤดูฝน และลดน้อยลงในฤดูหนาว ส่วนการเปลี่ยนแปลงตามระดับความลึก พบร่วมกับชั้ดเจนแต่มีแนวโน้มว่า มีค่ามากบริเวณผิวน้ำและลดลงตามระดับความลึกที่เพิ่มขึ้น (ปริญญา, 2540; ธีรศักดิ์, 2541) แต่ในอ่างเก็บน้ำ Paranos ประเทศบราซิล พบร่วมกับชั้ดเจนปริมาณในไทรท์ในไตรเงนมีค่า  $12.00 \mu\text{g/L}$  แต่ ในช่วงฤดูร้อนปริมาณในไทรท์ในไตรเงนมีค่า  $27.00 \mu\text{g/L}$  (Branco and Senna, 1994) โดยปกติ ปริมาณในไทรท์ในไตรเงนจะมีอยู่ในน้ำตามธรรมชาติในปริมาณน้อย (ปีรัมศักดิ์, 2538)

### ปริมาณในเตรทในไตรเงน

ปริมาณในเตรทในไตรเงนในแต่ละระดับความลึก มีค่าเฉลี่ย  $0.0129 - 0.0680 \text{ mg/L}$  โดย ปริมาณในเตรทในไตรเงนที่ระดับความลึก  $0.30, 10.00, 20.00, 30.00, 40.00 \text{ m}$  และพื้นท้องน้ำ มีค่าเฉลี่ย  $0.0129, 0.0169, 0.0230, 0.0283, 0.0680$  และ  $0.0269 \text{ mg/L}$  ตามลำดับ ซึ่งปริมาณในเตรทในไตรเงนมีแนวโน้มเพิ่มขึ้นตามระดับความลึก ผลการวิเคราะห์ทางสถิติ ปริมาณในเตรทในไตรเงน ในแต่ละระดับความลึก มีความแตกต่างอย่างมีนัยสำคัญทางสถิติ ( $P < 0.05$ ) (ตาราง 28) และปริมาณในเตรทในไตรเงนมีความสัมพันธ์เป็นผันผวนกับระดับความลึกของน้ำ ( $r = 0.578$ ) (ตาราง 36) ส่วน ปริมาณในเตรทในไตรเงนในแต่ละเดือนตลอดที่ทำการศึกษา พบร่วมกับค่าเฉลี่ย  $0.0081 - 0.0643 \text{ mg/L}$  ซึ่งการเปลี่ยนแปลงของปริมาณในเตรทในไตรเงนเป็นไปอย่างไม่ชัดเจนในแต่ละเดือนและ แต่ละฤดูกาล โดยเริ่มแรกของการศึกษาพบว่าปริมาณในเตรทในไตรเงนมีปริมาณค่อนข้างมากอาจ เนื่องจากสภาพแวดล้อมน้ำมีการปนเปื้อนของสารประกอบอินทรีย์ในไตรเงนตั้งแต่ปลายปี 2543 ประกอบกับไม่มีการปล่อยน้ำออกจากอ่างเก็บน้ำ จึงเกิดสภาพการย่อยสลายกล้ายืนยาวในเนื้อ ไตรเงนและในเตรทในไตรเงนตามลำดับในวัฏจักรในไตรเงน ผลการศึกษาปริมาณในเตรท ในไตรเงนในแต่ละเดือน มีความแตกต่างอย่างมีนัยสำคัญทางสถิติ ( $P < 0.05$ ) (ตาราง 28) โดยทั่วไป ในแหล่งน้ำถ้าตรวจพบแอนโนเนียมในไตรเงนในปริมาณที่มากแสดงว่าได้รับการปนเปื้อนมาใหม่ๆ ในทางกลับกันถ้าพบในเตรทในไตรเงนในปริมาณที่มากก็แสดงว่าแหล่งน้ำนั้นๆ ได้รับการปนเปื้อนนานาด้วยเนื่องจากมีการเปลี่ยนรูปมาเป็นในเตรทในไตรเงนมากแล้ว และจากผลการศึกษา พบร่วมกับชั้ดเจนที่มีปริมาณเพิ่มขึ้นอีกในช่วงฤดูฝนทั้งนี้อาจเกิดจากน้ำฝนจะชะล้างในเตรทในไตรเงนลงสู่ แหล่งน้ำ ซึ่งสอดคล้องกับการศึกษาในทะเลสาบทรายแห่งที่ปริมาณของในเตรทในไตรเงนมีค่า เปเปลี่ยนแปลงไปตามฤดูกาล ซึ่งโดยทั่วไปปริมาณจะมากในฤดูฝนและน้อยลงในฤดูร้อน (กรรภิการ, 2529; นันทนา, 2536; ศิริเพ็ญ, 2537) แต่อย่างไรก็ตามพบว่าลักษณะการเปลี่ยนแปลง ของปริมาณในเตรทในไตรเงนแต่ละฤดูกาลต่างจากในอ่างเก็บน้ำเขื่อนแม่กวงอุคุณธารา ที่มีปริมาณ

มากในถุงร่อน ปานกลางในถุงผนและมีปริมาณน้อยที่สุดในถุงหนาว (ปริญญา, 2540; ชีรศักดิ์, 2541) แต่ยังไรก็ตามผลการศึกษาที่ได้มีค่าในเศรษฐกิน โทรเจนอยู่ในเกณฑ์มาตรฐานคุณภาพน้ำผิวดิน คือ ปริมาณในเศรษฐกินไม่เกิน  $5.00 \text{ mg/L}$  (กรมควบคุมมลพิษ, 2535; เปี่ยมศักดิ์, 2538) การศึกษาคุณภาพน้ำในสารน้ำนั้นในเมืองเชียงใหม่ คือ ภูเมืองเชียงใหม่ อ่างเก็บน้ำอ่างแก้วและอ่างเก็บน้ำหัวยแม่หยวก พบว่าปริมาณในเศรษฐกินไม่เกิน  $0.0617 - 0.4017$ ,  $0.0300 - 0.2950$  และ  $0.0300 - 0.6000 \text{ mg/L}$  ตามลำดับ (พันธุ์ แคลคริเพญ, 2539) ส่วนอ่างเก็บน้ำ Paranos ประเทศไทย พบว่าในช่วงถุงผนปริมาณในเศรษฐกินไม่เกิน  $110.00 \text{ } \mu\text{g/L}$  และในช่วงถุงร้อนไม่เกิน  $173.00 \text{ } \mu\text{g/L}$  (Branco and Senna, 1994)

### ปริมาณ Kjeldahl ในโทรศัพท์

ปริมาณ Kjeldahl ในโทรศัพท์ในแต่ละระดับความลึก มีค่าเฉลี่ย  $0.0799 - 0.2222 \text{ mg/L}$  โดยปริมาณ Kjeldahl ในโทรศัพท์ระดับความลึก  $0.30, 10.00, 20.00, 30.00, 40.00 \text{ m}$  และพื้นท้องน้ำ มีค่าเฉลี่ย  $0.0799, 0.0842, 0.0908, 0.1568, 0.1927$  และ  $0.2222 \text{ mg/L}$  ตามลำดับ พบว่าปริมาณ Kjeldahl ในโทรศัพท์มีแนวโน้มเพิ่มขึ้นตามระดับความลึก ผลการวิเคราะห์ทางสถิติ ปริมาณ Kjeldahl ในโทรศัพท์ในแต่ละระดับความลึก มีความแตกต่างอย่างมีนัยสำคัญทางสถิติ ( $P < 0.05$ ) (ตาราง 29) ส่วนปริมาณ Kjeldahl ในโทรศัพท์ในแต่ละเดือนตลอดที่ทำการศึกษา พบว่ามีค่าเฉลี่ย  $0.0438 - 0.2924 \text{ mg/L}$  ซึ่งปริมาณ Kjeldahl ในโทรศัพท์ จะมีปริมาณมากในช่วงถุงผน เพราะน้ำฝนจะชะล้างเอาสารประกอบอนทรีย์ลงไปในแหล่งน้ำ โดยการเปลี่ยนแปลงของปริมาณ Kjeldahl ในโทรศัพท์ ในอ่างเก็บน้ำจะมีลักษณะคล้ายกับการเปลี่ยนแปลงของปริมาณแอนโนเนียในโทรศัพท์ เนื่องจากปริมาณ Kjeldahl ในโทรศัพท์ เกิดจากปริมาณแอนโนเนียในโทรศัพท์รวมกับสารประกอบอนทรีย์ในโทรศัพท์ จากผลการศึกษาปริมาณ Kjeldahl ในโทรศัพท์ในแต่ละเดือน มีความแตกต่างอย่างมีนัยสำคัญยังทางสถิติ ( $P < 0.01$ ) (ตาราง 29) และปริมาณ Kjeldahl ในโทรศัพท์มีความสัมพันธ์เป็นผันตรงกับปริมาณแอนโนเนียในโทรศัพท์ ( $r = 0.528$ ) (ตาราง 36) การศึกษาปริมาณ Kjeldahl ในโทรศัพท์ในอ่างเก็บน้ำ เพื่อนแม่น้ำแม่สุริมูล ที่ผ่านมา ปริมาณ Kjeldahl มีค่า  $0.70 - 9.43 \text{ mg/L}$  ซึ่งมีปริมาณมากกว่าการศึกษาในครั้งนี้ แต่ยังไรก็ตาม ปริมาณ Kjeldahl ในโทรศัพท์ ในช่วงที่ทำการศึกษาเก็บอยู่ในเกณฑ์ปกติของแหล่งน้ำทั่วไปที่มีปริมาณ Kjeldahl ในโทรศัพท์ สูงสุดได้ถึง  $0.20 - 0.30 \text{ mg/L}$  (พรศิริ, 2544; ศิริเพญ, 2543)

## ปริมาณในไตรเจนรวม

ปริมาณในไตรเจนรวมในแต่ละระดับความลึก มีค่าเฉลี่ย  $0.0971 - 0.2661 \text{ mg/L}$  โดยปริมาณในไตรเจนรวมที่ระดับความลึก  $0.30, 10.00, 20.00, 30.00, 40.00 \text{ m}$  และพื้นท้องน้ำ มีค่าเฉลี่ย  $0.0971, 0.1055, 0.1182, 0.1892, 0.2661$  และ  $0.2548 \text{ mg/L}$  ตามลำดับ ซึ่งปริมาณในไตรเจนรวมมีแนวโน้มเพิ่มขึ้นตามระดับความลึก ผลการวิเคราะห์ทางสถิติ ปริมาณในไตรเจนรวมในแต่ละระดับความลึก มีความแตกต่างอย่างมีนัยสำคัญทางสถิติ ( $P < 0.05$ ) (ตาราง 30) ส่วนปริมาณในไตรเจนรวมในแต่ละเดือนตลอดที่ทำการศึกษา มีค่าเฉลี่ย  $0.0586 - 0.3123 \text{ mg/L}$  ซึ่งการเปลี่ยนแปลงในแต่ละฤดูกาลไม่ชัดเจน แต่อย่างไรก็ตามปริมาณในไตรเจนรวมจะมีปริมาณมากในช่วงฤดูฝน ทั้งนี้ เพราะน้ำฝนจะชะล้างเอาสารประกอบอินทรีย์ในไตรเจนลงไปในแหล่งน้ำ แล้วเกิดกระบวนการย่อยสลายเปลี่ยนเป็นสารประกอบอนินทรีย์ในไตรเจน เช่น แอมโมเนียในไตรเจน ในไตรทานในไตรเจนและในเตรทไนไตรเจนตามวัฏจักรในไตรเจน จากผลการศึกษาปริมาณในไตรเจนรวมในแต่ละเดือน มีความแตกต่างอย่างมีนัยสำคัญยิ่งทางสถิติ ( $P < 0.01$ ) (ตาราง 30) เมื่อพิจารณาปริมาณในไตรเจนรวม ในไตรเจนส่วนใหญ่อยู่ในรูปอนินทรีย์ในไตรเจนมากกว่าอินทรีย์ในไตรเจน ซึ่งผลการศึกษาแสดงคล่องกับการศึกษาในทะเลสาบ Katugday ประเทศฟิลิปปินส์ มีปริมาณในไตรเจนรวมเฉลี่ย  $1.13 \text{ mg/L}$  ในไตรเจนส่วนใหญ่อยู่ในรูปอนินทรีย์ในไตรเจน คือ แอมโมเนียในไตรเจน และในเตรทไนไตรเจน โดยปริมาณในไตรเจนรวมสามารถบ่งบอกระดับความอุดมสมบูรณ์ของแหล่งน้ำได้ (Traichaiyaporn, 1985) ทะเลสาบ 3 แห่ง ในประเทศจีนที่มีสภาพความอุดมสมบูรณ์ที่แตกต่างกัน คือ ทะเลสาบ Paizhong มีสภาพเป็น Oligotrophic status มีปริมาณในไตรเจนรวม  $0.21 \text{ mg/L}$  ทะเลสาบ Biandan มีสภาพเป็น Mesotrophic status มีปริมาณในไตรเจนรวม  $0.66 \text{ mg/L}$  และทะเลสาบ Chidong มีสภาพเป็น Eutrophic status มีปริมาณในไตรเจนรวม  $1.45 \text{ mg/L}$  (Zhang and Chang, 1994) และจากผลการศึกษามีอิฐพิจารณาปริมาณในไตรเจนรวมที่ได้แล้วน้ำไปเบรียบเทียบกับการจัดระดับความอุดมสมบูรณ์ของแหล่งน้ำ (trophic state) โดยใช้ปริมาณในไตรเจนรวมพบว่าอย่างเก็บน้ำเขื่อนแม่จั๊ดสมบูรณ์ชัดช่วงระยะเวลาที่ทำการศึกษามีสภาพของแหล่งน้ำที่เป็น Oligotrophic status คือ มีปริมาณในไตรเจนรวม  $307.00 - 1,630.00 \text{ mg/m}^3$  (Lorraine and Vollenweider, 1981) แต่เมื่อเบรียบเทียบกับ Wetzel (1983) จะมีสภาพของแหล่งน้ำที่เป็น Ultraoligotrophic status คือ มีปริมาณในไตรเจนรวม  $< 1.00 - 250.00 \mu\text{g/L}$

## ปริมาณօร์โรฟอสเฟตฟอสฟอรัส

ปริมาณօร์โรฟอสเฟตฟอสฟอรัสในแต่ละระดับความลึก มีค่าเฉลี่ย  $1.74 - 7.90 \mu\text{g/L}$  โดยปริมาณօร์โรฟอสเฟตฟอสฟอรัสที่ระดับความลึก  $0.30, 10.00, 20.00, 30.00, 40.00 \text{ m}$  และพื้นท้องน้ำ มีค่าเฉลี่ย  $1.74, 1.90, 2.54, 3.64, 5.53$  และ  $7.90 \mu\text{g/L}$  ตามลำดับ พบร่วมปริมาณօร์โรฟอสเฟต

ฟอสฟอรัสมีค่า้น้อยที่ระดับความลึก 0.30 m และมีแนวโน้มเพิ่มขึ้นตามระดับความลึก ผลการวิเคราะห์ทางสถิติ ปริมาณออร์โธฟอสเฟตฟอสฟอรัสในแต่ละระดับความลึก มีความแตกต่างอย่างมีนัยสำคัญทางสถิติ ( $P<0.05$ ) (ตาราง 31) และปริมาณออร์โธฟอสเฟตฟอสฟอรัสมีความสัมพันธ์เปรียั้งตรงกับระดับความลึกของน้ำ ( $r = 0.587$ ) (ตาราง 36) ทั้งนี้เนื่องจากปริมาณออร์โธฟอสเฟตฟอสฟอรัสสามารถถ่ายนำได้ดีในสภาพที่ค่าความเป็นกรด-ด่างมีค่าต่ำ ซึ่งโดยปกติแห่งน้ำทั่วไปค่าความเป็นกรด-ด่างจะมีค่าลดลงตามระดับความลึก ซึ่งผลการศึกษาแสดงถึงกับการศึกษาในทะเลสาบ Katugday ประเทศฟิลิปปินส์ ที่มีปริมาณออร์โธฟอสเฟตฟอสฟอรัสเพิ่มขึ้นตามระดับความลึก และมีความสัมพันธ์เปรียั้งผันกับค่าความเป็นกรด-ด่างของน้ำ ( $r = -0.48$ ) (ศิริเพ็ญ, 2543; Traichaiyaporn, 1985) ส่วนปริมาณออร์โธฟอสเฟตฟอสฟอรัสในแต่ละเดือนตลอดที่ทำการศึกษา มีค่าเฉลี่ย 0.61 – 4.81  $\mu\text{g/L}$  ซึ่งปริมาณออร์โธฟอสเฟตฟอสฟอรัสมีปริมาณมากในช่วงฤดูฝนทั้งนี้ เพราะน้ำฝนอาจถ่างสารประกอบอินทรีย์หรืออนินทรีย์ฟอสฟอรัลลงสู่แหล่งน้ำ จากผลการศึกษาปริมาณออร์โธฟอสเฟตฟอสฟอรัสในแต่ละเดือนมีความแตกต่างอย่างมีนัยสำคัญทางสถิติ ( $P<0.05$ ) (ตาราง 31) ซึ่งผลการศึกษาระนี้แสดงถึงกับการศึกษาคุณภาพน้ำในอ่างเก็บน้ำเขื่อนแม่น้ำจั่นสมบูรณ์ ชาติที่ผ่านมา ที่มีปริมาณออร์โธฟอสเฟตฟอสฟอรัสน้อยกว่า 0.003  $\text{mg/L}$  (สำรางค์, 2542) ในอ่างเก็บน้ำเขื่อนแม่น้ำกวงอุคุณราฯ ปริมาณออร์โธฟอสเฟตฟอสฟอรัส มีค่า 18.00 – 288.50  $\mu\text{g/L}$  ซึ่งมีปริมาณมากในช่วงฤดูหนาวและมีแนวโน้มเพิ่มขึ้นตามระดับความลึก (ปริญญา, 2540) ส่วนในอ่างเก็บน้ำของสำนักงานเกษตรและสหกรณ์จังหวัดเชียงใหม่ ปริมาณออร์โธฟอสเฟตฟอสฟอรัส มีค่า 0 – 0.08  $\text{mg/L}$  (ประเสริฐ, 2539)

### ปริมาณฟอสฟอรัสร่วม

ปริมาณฟอสฟอรัสร่วมในแต่ละระดับความลึก มีค่าเฉลี่ย 6.45 – 10.17  $\mu\text{g/L}$  ปริมาณฟอสฟอรัสร่วมที่ระดับความลึก 0.30, 10.00, 20.00, 30.00, 40.00 m และพื้นท้องน้ำ มีค่าเฉลี่ย 6.45, 7.81, 9.41, 10.88, 13.86 และ 10.17  $\mu\text{g/L}$  ตามลำดับ พบว่าปริมาณฟอสฟอรัสร่วมมีแนวโน้มเพิ่มขึ้นตามระดับความลึก ผลการวิเคราะห์ทางสถิติปริมาณฟอสฟอรัสในแต่ละระดับความลึก มีความแตกต่างอย่างมีนัยสำคัญทางสถิติ ( $P<0.05$ ) (ตาราง 32) ส่วนปริมาณฟอสฟอรัสร่วมในแต่ละเดือนตลอดที่ทำการศึกษาพบว่ามีค่าเฉลี่ย 5.62 -14.01  $\mu\text{g/L}$  ซึ่งการเปลี่ยนแปลงในแต่ละฤดูกาลไม่ชัดเจน แต่อย่างไรก็ตามปริมาณฟอสฟอรัสร่วมจะมีปริมาณมากในช่วงฤดูร้อน ทั้งนี้อาจเนื่องจากในช่วงฤดูร้อนปริมาณน้ำในอ่างเก็บน้ำมีปริมาณน้ำน้อยทำให้ปริมาณฟอสฟอรัสมีความเข้มข้นมาก ผลการศึกษาปริมาณฟอสฟอรัสร่วมในแต่ละเดือนไม่มีความแตกต่างอย่างมีนัยสำคัญทางสถิติ ( $P>0.05$ )

(ตาราง 32) เมื่อพิจารณาปริมาณฟอสฟอรัสร่วม พนว่าฟอสฟอรัสรัสมีส่วนใหญ่อยู่ในรูปอินทรีย์ ฟอสฟอรัสมากกว่านินทรีย์ฟอสฟอรัส โดยทั่วไปแหล่งน้ำตามธรรมชาติฟอสฟอรัสมักอยู่ในรูป อินทรีย์ฟอสฟอรัส อนินทรีย์ฟอสฟอรัสที่ละลายน้ำ และออร์โธฟอสเฟตฟอสฟอรัสมีน้อย (Round, 1973) ปริมาณฟอสฟอรัสร่วมสามารถบ่งบอกระดับความอุดมสมบูรณ์ของแหล่งน้ำได้ (Traichaiyaporn, 1985) เช่น ทะเลสาบ 3 แห่ง ในประเทศไทยที่มีสภาพความอุดมสมบูรณ์ที่แตกต่าง กัน คือ ทะเลสาบ Paizhong มีสภาพเป็น Oligotrophic status มีปริมาณฟอสฟอรัสร่วม 0.010 mg/L ทะเลสาบ Biandan มีสภาพเป็น Mesotrophic status มีปริมาณฟอสฟอรัสร่วม 0.014 mg/L และ ทะเลสาบ Chidong มีสภาพเป็น Eutrophic status มีปริมาณฟอสฟอรัสร่วม 0.019 mg/L (Zhang and Chang, 1994) ผลการศึกษาพบว่าปริมาณฟอสฟอรัสร่วมในอ่างเก็บน้ำเขื่อนแม่น้ำแม่จัดสมบูรณ์ชัด มีปริมาณน้อยกว่าในอ่างเก็บน้ำเขื่อนแม่กวงอุดมสารที่มีปริมาณฟอสฟอรัสร่วม 29.38 – 415.71 µg/L ซึ่งมีแนวโน้มเพิ่มขึ้นตามระดับความลึก (ปริญญา, 2540; ธีรศักดิ์, 2541) และในทะเลสาบ Katugday ประเทศพิลิปปินส์ มีปริมาณฟอสฟอรัสร่วมเฉลี่ย 80.00 – 113.00 µg/L (Traichaiyaporn, 1985) และ เมื่อพิจารณาปริมาณฟอสฟอรัสร่วมที่ได้ พนว่าเมื่อน้ำไปเบริญเทียนการจัดระดับความอุดมสมบูรณ์ ของแหล่งน้ำ (trophic state) โดยใช้ปริมาณฟอสฟอรัสร่วม พนว่า อ่างเก็บน้ำเขื่อนแม่น้ำแม่จัดสมบูรณ์ชัด ช่วงระยะเวลาที่ทำการศึกษามีสภาพของแหล่งน้ำที่เป็น Oligotrophic status คือ มีปริมาณฟอสฟอรัสร่วม 3.00 - 17.70 mg/m<sup>3</sup> (Lorraine and Vollenweider, 1981) เมื่อเบริญเทียนกับ Wetzel (1983) จะ มีสภาพของแหล่งน้ำที่เป็น Oligomesotrophic status คือ มีปริมาณฟอสฟอรัสร่วม 5.00 - 10.00 µg/L และเมื่อเบริญเทียนกับ Mason (1996) จะมีสภาพของแหล่งน้ำที่เป็น Oligotrophic status คือ มี ปริมาณฟอสฟอรัสร่วม <10.00 µg/L

### อัตราส่วนของไนโตรเจนและฟอสฟอรัส

อัตราส่วนของไนโตรเจนและฟอสฟอรัสในแต่ละระดับความลึก มีค่าเฉลี่ย 16.60 – 24.82 โดยอัตราส่วนของไนโตรเจนและฟอสฟอรัสที่ระดับความลึก 0.30, 10.00, 20.00, 30.00, 40.00 m และพื้นท้องน้ำ มีค่าเฉลี่ย 17.84, 18.03, 16.60, 21.34, 23.10 และ 24.82 ตามลำดับ พนว่าอัตราส่วน ของไนโตรเจนและฟอสฟอรัสมีแนวโน้มเพิ่มขึ้นตามระดับความลึก ผลการวิเคราะห์ทางสถิติ อัตรา ส่วนของไนโตรเจนและฟอสฟอรัสในแต่ละระดับความลึก ไม่มีความแตกต่างอย่างนัยสำคัญทาง สถิติ ( $P>0.05$ ) (ตาราง 33) และอัตราส่วนของไนโตรเจนและฟอสฟอรัสในแต่ละเดือนตลอดที่ทำการศึกษา พนว่ามีค่าเฉลี่ย 4.46 – 55.17 ซึ่งการเปลี่ยนแปลงในแต่ละฤดูกาลไม่ชัดเจน แต่ยังไร้ ตามอัตราส่วนของไนโตรเจนและฟอสฟอรัสนิ่มมากในช่วงฤดูฝนเนื่องจากน้ำฝนจะชะล้างเอา

สารประกอบอินทรีย์และอนินทรีย์ลงสู่แหล่งน้ำ โดยเฉพาะอย่างยิ่งอินทรีย์ในโตรเจนและอนินทรีย์ในโตรเจนประกอบกับช่วงฤดูฝนปริมาณฟอสฟอรัสรวมมีปริมาณน้อยกว่าช่วงฤดูร้อน จึงทำให้อัตราส่วนของในโตรเจนและฟอสฟอรัสในช่วงฤดูร้อนมากในช่วงฤดูฝน ผลการศึกษาอัตราส่วนของในโตรเจนและฟอสฟอรัสในแต่ละเดือนไม่มีความแตกต่างอย่างมีนัยสำคัญทางสถิติ ( $P>0.05$ ) (ตาราง 33) การศึกษาคุณภาพน้ำในทะเลสาบ Katugday ประเทศ พิลิปปินส์ พบว่าอัตราส่วน N/P มีค่า  $9.4 - 15.1$  ซึ่งอัตราส่วน N/P สามารถบ่งบอกว่าสารอาหารชนิดใดเป็นปัจจัยจำกัดและบ่งบอกระดับความอุดมสมบูรณ์ของแหล่งน้ำได้ (ศิริเพ็ญ, 2543; Traichaiyaporn, 1985) อัตราส่วน N/P มากกว่า 20:1 ฟอสฟอรัสจะเป็นปัจจัยจำกัด แต่ถ้าน้อยกว่า 10:1 ในโตรเจนก็จะเป็นปัจจัยจำกัด (ศิริเพ็ญ, 2543; Schollhorn and Wilhelm, 1997) หรือถ้าอัตราส่วน N/P มากกว่า 50 ฟอสฟอรัสจะเป็นปัจจัยจำกัด แต่ถ้าน้อยกว่า 20 ในโตรเจนก็จะเป็นปัจจัยจำกัด (Guilford and Hecky, 2000)

### ปริมาณคลอโรฟิลล์ เอ

ปริมาณคลอโรฟิลล์ เอ ในแต่ละระดับความลึก มีค่าเฉลี่ย  $0.947 - 6.917 \times 10^{-3} \text{ } \mu\text{g/L}$  โดยปริมาณคลอโรฟิลล์ เอ ที่ระดับความลึก 0.30, 10.00, 20.00, 30.00, 40.00 m และพื้นท้องน้ำ มีค่าเฉลี่ย 6.917, 4.329, 2.885, 1.688, 1.390 และ  $0.947 \times 10^{-3} \text{ } \mu\text{g/L}$  ตามลำดับ พบว่าปริมาณคลอโรฟิลล์ เอ มีแนวโน้มลดลงตามระดับความลึก ทั้งนี้เนื่องจากปริมาณคลอโรฟิลล์ เอ จะมีค่าแปรผันตามความหนาแน่นของค่าประกอบและมวลชีวภาพของสาหร่าย ซึ่งสาหร่ายส่วนใหญ่จะมีปริมาณและการเผยแพร่อง่ายอยู่บริเวณผิวน้ำและลดลงตามระดับความลึก ผลการวิเคราะห์ทางสถิติปริมาณคลอโรฟิลล์ เอ ในแต่ละระดับความลึก มีความแตกต่างอย่างมีนัยสำคัญทางสถิติ ( $P<0.05$ ) (ตาราง 34) ส่วนปริมาณคลอโรฟิลล์ เอ ในแต่ละเดือนตลอดที่ทำการศึกษา พบว่ามีค่าเฉลี่ย  $2.037 - 9.285 \times 10^{-3} \text{ } \mu\text{g/L}$  ซึ่งการเปลี่ยนแปลงปริมาณคลอโรฟิลล์ เอ ในแต่ละฤดูกาลไม่ชัดเจน ผลการศึกษาปริมาณคลอโรฟิลล์ เอ ในแต่ละเดือน มีความแตกต่างอย่างมีนัยสำคัญทางสถิติ ( $P<0.05$ ) (ตาราง 34) ซึ่งผลการศึกษาแสดงถึงการศึกษาในอ่างเก็บน้ำเขื่อนแม่น้ำแม่จักสมบูรณ์ชลที่ผ่านมา ปริมาณคลอโรฟิลล์ เอ มีค่า  $1.97 - 20.72 \times 10^{-3} \text{ } \mu\text{g/L}$  (ธารงค์, 2542; พรศิริ, 2544) และในอ่างเก็บน้ำเขื่อนแม่กวงอุดมราชา ปริมาณคลอโรฟิลล์ เอ มีค่า  $0.10 - 20.13 \text{ } \mu\text{g/L}$  ซึ่งมีแนวโน้มลดลงตามระดับความลึก (ชลินดา, 2539; ปริญญา, 2540; ธีรศักดิ์, 2541) เมื่อพิจารณาปริมาณคลอโรฟิลล์ เอ แล้วเมื่อนำไปเปรียบเทียบกับการจัดระดับความอุดมสมบูรณ์ของแหล่งน้ำ (trophic state) โดยใช้ปริมาณคลอโรฟิลล์ เอ พบว่าอ่างเก็บน้ำเขื่อนแม่น้ำแม่จักสมบูรณ์ชลช่วงที่ทำการศึกษามีสภาพของแหล่งน้ำที่เป็น Oligotrophic status คือ มีปริมาณคลอโรฟิลล์ เอ  $0.30 - 4.50 \text{ } \mu\text{g/m}^3$  (Lorraine and Vollenweider, 1981) แต่เมื่อเปรียบเทียบกับ Wetzel (1983) จะมีสภาพของแหล่งน้ำที่

เป็น Oligomesotrophic status คือ มีปริมาณคลอโรฟิลล์ เอ  $0.30 - 3.00 \text{ mg/m}^3$  และเมื่อเปรียบเทียบกับ Mason (1996) จะมีสภาพของแหล่งน้ำที่เป็น Oligotrophic-mesotrophic status คือ มีปริมาณคลอโรฟิลล์ เอ  $< 2.50 - 8.00 \mu\text{g/L}$

## สาสัมพันธ์ของสาหร่ายสีเขียวแกมน้ำเงินกับอัตราส่วนของไนโตรเจนและฟอสฟอรัส และคุณภาพน้ำทางกายภาพ และเคมีบางประการ

การศึกษาสาสัมพันธ์ของสาหร่ายสีเขียวแกมน้ำเงินกับอัตราส่วนของไนโตรเจนและฟอสฟอรัสและคุณภาพน้ำติดเชื่อมสภาพแวดล้อมของแหล่งน้ำในอ่างเก็บน้ำเขื่อนแม่น้ำแม่จัดสมบูรณ์ชล ตั้งแต่เดือนกรกฎาคม – ธันวาคม 2544 พบร่วมกันนิคและปริมาณของสาหร่ายสีเขียวแกมน้ำเงินไม่มีความสัมพันธ์กับอัตราส่วนของไนโตรเจนและฟอสฟอรัสทั้งนี้อาจเนื่องจากการเพิ่มขึ้นหรือลดลงของไนโตรเจนและฟอสฟอรัสไม่มีทิศทางที่แน่นอน แต่อย่างไรก็ตามเมื่อพิจารณาปริมาณและการแพร่กระจายของสาหร่ายสีเขียวแกมน้ำเงิน (ตาราง 1) พบร่วมกันระหว่างเวลาที่สาหร่ายสีเขียวแกมน้ำเงินมีปริมาณและการแพร่กระจายมาก คือ ที่ระดับความลึก 0.30 – 10.00 m ในเดือนมิถุนายน – กันยายน ซึ่งช่วงเดือนและระดับความลึกดังกล่าว อัตราส่วนของไนโตรเจนและฟอสฟอรัส มีค่า 7.21 – 27.50 (ตาราง 16) Yunes *et al.* (1998) รายงานว่า อัตราส่วนของไนโตรเจนและฟอสฟอรัสที่เหมาะสมต่อการเจริญเติบโตของสาหร่ายสีเขียวแกมน้ำเงินมีค่าอยู่ระหว่าง 10:1 – 16:1 โดยแหล่งน้ำที่ไป ถ้าอัตราส่วนของไนโตรเจนและฟอสฟอรัสมีค่าน้อยและฟอสฟอรัสมีปริมาณเพียงพอ คาดว่าจะมีผลทำให้เกิดครุ่นสาหร่ายสีเขียวแกมน้ำเงินที่ครึ่งก้าชในไนโตรเจนได้ และหากอัตราส่วนของไนโตรเจนและฟอสฟอรัส มีค่ามาก สาหร่ายสีเขียวแกมน้ำเงินมีแนวโน้มลดลง (Heo and Bomchul, 1997) ซึ่งสอดคล้องกับการศึกษาในทะเลสาบ Katugday ประเทศพิลิปปินส์ อัตราส่วนของไนโตรเจนและฟอสฟอรัส มีค่า 9.4 – 15.1 เมื่ออัตราส่วนของไนโตรเจนและฟอสฟอรัส มีค่าน้อย สาหร่ายสีเขียวแกมน้ำเงินจะเป็นชนิดเด่นในแหล่งน้ำ แต่เมื่ออัตราส่วนของไนโตรเจนและฟอสฟอรัสมีค่ามาก(มากกว่า 29:1) สาหร่าย สีเขียวจะมีแนวโน้มเพิ่มขึ้นและสาหร่ายสีเขียวแกมน้ำเงินมีแนวโน้มลดลงในแหล่งน้ำ (Traichaiyaporn, 1985)

นอกจากอัตราส่วนของไนโตรเจนและฟอสฟอรัสที่มีผลต่อการเจริญเติบโตและการแพร่กระจายของสาหร่ายสีเขียวแกมน้ำเงินก็ยังมีปัจจัยอื่นที่เกี่ยวข้อง เช่น สภาพแวดล้อมของแหล่งน้ำ และคุณภาพน้ำทางกายภาพและเคมีบางประการ จากผลการศึกษาพบว่า *Merismopedia minima* และ *Oscillatoria* sp. มีความสัมพันธ์เปรียกผันกับอุณหภูมิอากาศ ( $r = -0.680$  และ  $r = -0.560$  ตามลำดับ) *Anabaena* sp.2, *Chroococcus* sp., *Cylindrospermopsis raciborskii*, *Lyngbya limnetica* และ *Raphidiopsis curvata* มีความสัมพันธ์เปรียกผันตามกับปริมาณออกซิเจนละลายน้ำ ( $r = 0.586$ ,  $r = 0.537$ ,  $r = 0.504$ ,  $r = 0.557$  และ  $r = 0.512$  ตามลำดับ) *Cylindrospermopsis philippinensis* เปรียกผันกับระดับความสีกของน้ำ ( $r = -0.547$ ) และเปรียกผันตามกับปริมาณออกซิเจนละลายน้ำ ( $r = 0.543$ ) *Chroococcus turgidus* เปรียกผันกับปริมาณไนโตรเจนในไนโตรทีนในไนโตรเจน ( $r = -0.957$ ) และจากผลการศึกษา

ปริมาณสาหร่ายสีเขียว แแกนน้ำเงินมีความสัมพันธ์แปรผันตามอุณหภูมิของน้ำ ( $r = 0.588$ ) และมีความสัมพันธ์แปรผกผันกับปริมาณแอนโไมเนียในไตรเจน ( $r = -0.506$ ) ปริมาณไนเตรทในไตรเจน ( $r = -0.545$ ) และปริมาณในไตรเจนรวม ( $r = -0.525$ ) การศึกษาแพลงก์ตอนพืชในอ่างเก็บน้ำเขื่อนแม่จัด สมบูรณ์ชล ระหว่างปี พ.ศ 2540 – 2543 พบว่าแพลงก์ตอนพืชที่เป็นชนิดเด่น ตลอดการศึกษา คือ *Lyngbya limnetica* และ *Cylindrospermopsis raciborskii* ซึ่งโดยทั่วไป *C. raciborskii* จะพบในแหล่งน้ำที่มีปริมาณสารอาหารต่ำ (ธารังค์, 2542; นันท์ชลีและคริเพญ, 2543; พรศิริ, 2544; Branco and Senna, 1994) นอกจากนี้พบว่าความหนาแน่นของ *C. raciborskii* ในอ่างเก็บน้ำเขื่อนแม่จัดสมบูรณ์ ชล มีความสัมพันธ์แปรผันตามกับอุณหภูมิของน้ำและแปรผกผันกับระดับความลึกของน้ำ (Traichaiyaporn *et al.*, 2001) ในอ่างเก็บน้ำเขื่อนแม่กวงอุดมธรรมชาติพบว่า *C. raciborskii* และ *M. aeruginosa* เป็นแพลงก์ตอนพืชชนิดเด่น โดยที่ *C. raciborskii* มีความสัมพันธ์แปรผกผันกับปริมาณไนเตรทในไตรเจนทั้งนี้ เพราะ *C. raciborskii* มีเยื่อเทอโรซิตซึ่งเป็นออร์กานาเลที่สามารถตรึงก๊าซในไตรเจนจากอากาศเปลี่ยนเป็นไตรเจนในรูปที่สามารถนำໄไปใช้ได้ ขณะที่ *M. aeruginosa* มีความสัมพันธ์แปรผันตรงกับปริมาณออร์โซฟอสเฟตฟอรัสและปริมาณฟอฟอรัสรวม(ปริญญา, 2540) อ่างเก็บน้ำ Paranos ประเทศราชีค พบว่า *C. raciborskii* เป็นชนิดเด่นช่วงฤดูฝน ทั้งนี้เพราะน้ำฝนจะเอื้อต่อการเจริญเติบโต และ *M. aeruginosa* จะเป็นชนิดเด่นช่วงฤดูแล้ง ซึ่งมีการเพิ่มของอุณหภูมิและเกิดมลภาวะจากสารอินทรีย์และมักพบเป็นชนิดเด่นในอ่างเก็บน้ำและทะเลสาบที่มีปริมาณสารอาหารสูงและ *M. aeruginosa* มีความสัมพันธ์แปรผันตรงกับปริมาณในไตรเจน (Branco and Senna, 1994)

## บทที่ 6

### สรุปผลการศึกษา

การศึกษาสหสัมพันธ์ของในไตรเจนและฟอสฟอรัสในน้ำต่อความหลากหลายของสาหร่ายสีเขียวแแกมน้ำเงินในอ่างเก็บน้ำเขื่อนแม่จั๊ดสมบูรณ์ชล ปี 2544 ตั้งแต่เดือนกรกฎาคม - ธันวาคม 2544 สรุปผลการศึกษาได้ดังนี้

พบสาหร่ายสีเขียวแแกมน้ำเงิน 3 อันดับ 4 วงศ์ 13 สกุล และ 22 ชนิด ได้แก่ 1) *Anabaena* sp.1, 2) *Anabaena* sp.2,3) *Aphanocapsa koordersi* Strom, 4) *Aphanothece* sp., 5) *Chroococcus minutus* (Kutzing) Naegeli, 6) *Chroococcus turgidus* (Kutzing) Naegeli, 7) *Chroococcus* sp., 8) *Cylindrospermopsis raciborskii* (Wolosz) Seenayya & Subba, 9) *Cylindrospermopsis philippinensis* (Taylor)Ka., 10) *Dactylococcopsis fascicularis* Lemmermann, 11) *Lyngbya limnetica* Lemmermann, 12) *Merismopedia minima* Beck, 13) *Merismopedia punctata* Meyen, 14) *Microcystis aeruginosa* Kutz, 15) *Myxosarcina spectabilis* Geitler, 16) *Oscillatoria angustissima* West & West, 17) *Oscillatoria prolifica* (Greville) Gomont, 18) *Oscillatoria splendida* Greville.ex Gomont, 19) *Oscillatoria* sp., 20) *Raphidiopsis curvata* Fritsch & Rich, 21) *Raphidiopsis mediterranea* Skuja และ 22) *Spirulina* sp. โดยสาหร่ายสีเขียวแแกมน้ำเงินมีการแพร่กระจายในทุกระดับความลึกที่ทำการศึกษา แต่อย่างไรก็ตามสาหร่ายสีเขียวแแกมน้ำเงินส่วนใหญ่มีการแพร่กระจายอยู่ที่ระดับความลึก 0.30 – 10.00 m ทั้งนี้เพราะระดับความลึกนี้มีปัจจัยต่างๆที่เหมาะสมต่อการเจริญเติบโตของสาหร่ายสีเขียวแแกมน้ำเงินมากกว่าระดับความลึกอื่น ซึ่งสาหร่ายสีเขียวแแกมน้ำเงินมีจำนวนชนิดและปริมาณมาก ที่ 0.30 m และมีจำนวนชนิดและปริมาณลดลงเมื่อระดับความลึกเพิ่มขึ้น จากการพิจารณาผลการศึกษา พบว่า สาหร่ายสีเขียวแแกมน้ำเงินที่เป็นชนิดเด่นในทุกระดับความลึก คือ *Lyngbya limnetica* และ *Raphidiopsis curvata* ซึ่งสาหร่ายสีเขียวแแกมน้ำเงินทั้งสองชนิดนี้ พนบอยตลดอดการศึกษา มีการแพร่กระจายในทุกระดับความลึก รวมทั้งมีปริมาณมาก โดยเฉพาะในช่วงเดือนที่องค์ประกอบของแพลงก์ตอนพืชในอ่างเก็บน้ำเขื่อนแม่จั๊ดสมบูรณ์ชลส่วนใหญ่เป็นกุ่มสาหร่ายสีเขียวแแกมน้ำเงิน (เดือนมิถุนายน - กันยายน)

ผลการศึกษาคุณภาพน้ำทางด้านกายภาพ เคมีและชีวภาพ พบร่วมค่าดังนี้ ความลึกของน้ำ 15.85 – 35.81 m ความโปรดิลักชันน้ำ 1.73 – 4.63 m อุณหภูมิอากาศ 21.33 – 32.00 °C อุณหภูมน้ำ 24.05 – 29.57 °C ความเป็นกรด-ด่าง 5.51 – 8.30 ความนำไฟฟ้า 86.31 – 115.00 μs/cm ปริมาณออกซิเจนละลายน้ำ 0 – 5.83 mg/L และไนโตรเจน 0.0115 – 0.0902 mg/L ในไตรท์ในไตรเจน

0.0019 – 0.0060 mg/L ในไตรเจน 0.0081 – 0.0643 mg/L Kjeldahl ในไตรเจน 0.0438 – 0.2924 mg/L ในไตรเจนรวม 0.0586 – 0.3123 mg/L ออกซิฟอสเฟตฟอสฟอรัส 0.60 – 4.98  $\mu\text{g/L}$  ฟอสฟอรัสร่วม 5.62 – 14.01  $\mu\text{g/L}$  อัตราส่วนของไตรเจนและฟอสฟอรัส 4.46 – 55.17 และปริมาณคลอโรฟิลล์ เอ  $1.480 - 9.285 \times 10^3 \mu\text{g/L}$  ซึ่งอุณหภูมน้ำ ความเป็นกรด-ค้าง ปริมาณออกซิเจน ละลายน้ำ และปริมาณคลอโรฟิลล์ เอ มีค่าลดลงตามระดับความลึกที่เพิ่มขึ้น แต่ความนำไฟฟ้า แอนโอมีนีย์ในไตรเจน ในไตรท์ในไตรเจน ไนเตรทในไตรเจน Kjeldahl ในไตรเจน ในไตรเจนรวม ออกซิฟอสเฟตฟอสฟอรัส ฟอสฟอรัสร่วม และอัตราส่วนของไตรเจนและฟอสฟอรัส มีค่าเพิ่มขึ้น ตามระดับความลึกที่เพิ่มขึ้น และจากการพิจารณาปัจจัยคุณภาพน้ำต่างๆ พบว่าปัจจัยคุณภาพน้ำทั้งหมด ที่ศึกษามีค่าอยู่ในเกณฑ์มาตรฐานคุณภาพน้ำผิวดิน ยกเว้นปริมาณออกซิเจนละลายน้ำ ที่ระดับความลึก ต่ำกว่า 0.30 หรือ 10.00 m ในบางเดือนที่มีค่าต่ำกว่าเกณฑ์มาตรฐานคุณภาพน้ำผิวดิน ( $< 3.0 \text{ mg/L}$ )

ส่วนการศึกษาสัมพันธ์ของสาหร่ายสีเขียวแกมน้ำเงินกับอัตราส่วนของไตรเจนและฟอสฟอรัสและคุณภาพน้ำ พบว่าสาหร่ายสีเขียวแกมน้ำเงิน ไม่มีความสัมพันธ์กับอัตราส่วนของไตรเจนและฟอสฟอรัส อย่างไรก็ตามเมื่อพิจารณาถึงการเปลี่ยนแปลงของจำนวนชนิดและปริมาณของสาหร่ายสีเขียวแกมน้ำเงิน พบว่ามีจำนวนลดลงเมื่อระดับความลึกเพิ่มขึ้น ในทางกลับกันเมื่อพิจารณาการเปลี่ยนแปลงของอัตราส่วนของไตรเจนและฟอสฟอรัส พบว่ามีค่าเพิ่มขึ้นเมื่อระดับความลึกเพิ่มขึ้น ซึ่งเมื่อพิจารณาทั้ง 2 กรณีประกอบเข้าด้วยกัน อัตราส่วนของไตรเจนและฟอสฟอรัสก็น่าจะมีอิทธิพลต่อความหลากหลายและการแพร่กระจายของสาหร่ายสีเขียวแกมน้ำเงิน แต่เมื่อวิเคราะห์ทางสถิติหากาสสัมพันธ์ พบว่าไม่มีความสัมพันธ์ทั้งนี้อาจเนื่องจากการเพิ่มขึ้นหรือลดลงของไตรเจนและฟอสฟอรัสไม่มีพิเศษทางที่แน่นอน

อย่างไรก็ตามปัจจัยที่มีอิทธิพลต่อความหลากหลายและการแพร่กระจายของสาหร่ายสีเขียวแกมน้ำเงิน มีปัจจัยอื่นที่เกี่ยวข้อง เช่น สภาพแวดล้อมของแหล่งน้ำและปัจจัยคุณภาพน้ำอื่นๆ ดังผลการศึกษา ที่สาหร่ายสีเขียวแกมน้ำเงินมีความสัมพันธ์แปรผันตามอุณหภูมิของน้ำ ( $r=0.588$ ) และมีความสัมพันธ์แปรผันกับปริมาณแอนโอมีนีย์ในไตรเจน ( $r = -0.506$ ) ปริมาณไนเตรทในไตรเจน ( $r = -0.545$ ) และปริมาณในไตรเจนรวม ( $r = -0.525$ ) ที่ระดับความเชื่อมั่น 95%

ผลการประเมินระดับความอุดมสมบูรณ์ (trophic state) ในอย่างเก็บน้ำเขื่อนแม่น้ำแม่จัดสมบูรณ์ชั้น ปี 2544 เมื่อนำไปเปรียบเทียบกับการจัดระดับความอุดมสมบูรณ์ของแหล่งน้ำ (Lorraine and Vollenweider, 1981; Mason, 1996; Wetzel, 1983) โดยพิจารณาใช้ค่าความลึกที่แสงส่องถึง ปริมาณในไตรเจนรวม ฟอสฟอรัสร่วม และปริมาณคลอโรฟิลล์ เอ รวมทั้งพิจารณาถึงคุณภาพน้ำปัจจัยอื่นประกอบด้วย พบว่า อย่างเก็บน้ำเขื่อนแม่น้ำแม่จัดสมบูรณ์ชั้น ในปี 2544 ที่ทำการศึกษามีสภาพอยู่ในประเภทแหล่งน้ำที่มีปริมาณสารอาหารน้อย (Oligotrophic status) และหากจัดลำดับคุณภาพน้ำตามคุณภาพการ

สิ่งแวดล้อมแห่งชาติ (2537) จะจัดอยู่ในประเภทที่ 2 ซึ่งสามารถนำน้ำไปใช้ในการอุปโภคและหากนำน้ำไปเพื่อการบริโภคควรผ่านกระบวนการบำบัดเสียก่อน

## บรรณานุกรม

- กาญจนกานน์ ลิ่วน โนมนต์. 2527. สาหร่าย คณะประมง มหาวิทยาลัยเกษตรศาสตร์, กรุงเทพฯ กรรมควบคุมมลพิษ กรมส่งเสริมคุณภาพสิ่งแวดล้อมและสำนักงานนโยบายและแผนสิ่งแวดล้อม กระทรวงวิทยาศาสตร์เทคโนโลยีและสิ่งแวดล้อม. 2535. พระราชบัญญัติส่งเสริมและรักษาคุณภาพสิ่งแวดล้อมแห่งชาติ.
- กรรมการ พุทธชาธร. 2529. ปริมาณและการเผยแพร่องค์ความรู้ที่สัมพันธ์กับคุณภาพน้ำทาง- ประการบริเวณถุ่มน้ำปิง-วัง. วิทยานิพนธ์วิทยาศาสตร์ธรรมชาติ, มหาวิทยาลัยเกษตรศาสตร์, กรุงเทพฯ.
- คณะกรรมการสิ่งแวดล้อมแห่งชาติ. 2537. มาตรฐานคุณภาพน้ำในแหล่งน้ำผิวดิน. กองจัดการคุณภาพน้ำ กรมควบคุมมลพิษ. เกณฑ์ระดับคุณภาพน้ำและมาตรฐานคุณภาพน้ำประเทศไทย.
- กระทรวงวิทยาศาสตร์และการพลังงาน กรุงเทพฯ
- ชลินดา อริยเดช. 2539. สาสัมพันธ์ของสารอาหารบางชนิดและการเผยแพร่องค์ความรู้ที่สัมพันธ์กับคุณภาพน้ำในอ่างเก็บน้ำเขื่อนแม่กวง เชียงใหม่. วิทยานิพนธ์วิทยาศาสตร์ธรรมชาติ, มหาวิทยาลัยเชียงใหม่, เชียงใหม่.
- ถาวร ถนนพงษ์ชาติ. 2538. ความสัมพันธ์ระหว่างคุณภาพน้ำกับชนิดและปริมาณของแพลงก์ตอนพืชในอุบลราชธานี เชียงใหม่. วิทยานิพนธ์วิทยาศาสตร์ธรรมชาติ, มหาวิทยาลัยเชียงใหม่, เชียงใหม่.
- ทวีเดช ไชยนาพงษ์. 2544. ความหลากหลายทางชีวภาพของสาหร่ายตีเปียวกับน้ำเงินในนาข้าว อำเภอเมืองเชียงใหม่. วิทยานิพนธ์วิทยาศาสตร์ธรรมชาติ, มหาวิทยาลัยเชียงใหม่, เชียงใหม่.
- ธงชัย พรรรณสวัสดิ์. 2544. การกำจัดในต่อเรjen และฟอสฟอรัสทางชีวภาพ. พิมพ์ครั้งที่ 1. กรุงเทพฯ สมาคมวิศวกรสิ่งแวดล้อมแห่งประเทศไทย.
- ธีรศักดิ์ สมศ. 2541. การกระจายของแพลงก์ตอนพืช *Microcystis aeruginosa* Kutz ในอ่างเก็บน้ำเขื่อนแม่กวงอุดมชารา ปี 2539 – 2540. วิทยานิพนธ์วิทยาศาสตร์ธรรมชาติ, มหาวิทยาลัยเชียงใหม่, เชียงใหม่.
- ธัರงค์ ปูรุกเกียรติ. 2542. ความหลากหลายของแพลงก์ตอนพืชและคุณภาพน้ำในอ่างเก็บน้ำเขื่อนแม่จุดสมบูรณ์ชล. วิทยานิพนธ์วิทยาศาสตร์ธรรมชาติ, มหาวิทยาลัยเชียงใหม่, เชียงใหม่.

นพรัตน์ ภานุषิชากร. 2543. การกระจายของ *Cylindrospermopsis raciborskii* (Wolosz) Seenayya & Subba ในอ่างเก็บน้ำห้วยผึ่งเผ่า จังหวัดเชียงใหม่ ปี 2542. การประชุมวิชาการวิทยาศาสตร์และเทคโนโลยีแห่งประเทศไทย ครั้งที่ 26, ศูนย์ประชุมแห่งชาติสิริกิติ์, กรุงเทพฯ, หน้า 364.

นันทนกาน คงเสนี. 2536. คู่มือปฏิบัติการนิเวศวิทยาแหล่งน้ำจืด. พิมพ์ครั้งที่ 3. กรุงเทพฯ, สำนักพิมพ์จุฬาลงกรณ์มหาวิทยาลัย.

นันท์ชีดี กิมภาการณ์ และ ศิริเพ็ญ ตรัยไชยพร. 2543. สาสัมพันธ์ระหว่างความหลากหลายของแพลงก์ตอนพืชและคุณภาพน้ำในต่างระดับความลึกของอ่างเก็บน้ำเขื่อนแม่น้ำจัดสมบูรณ์ชล จังหวัดเชียงใหม่ (กันยายน – ธันวาคม 2542). การประชุมวิชาการวิทยาศาสตร์และเทคโนโลยีแห่งประเทศไทย ครั้งที่ 26, ศูนย์ประชุมแห่งชาติสิริกิติ์, กรุงเทพฯ, หน้า 275.

ปริญญา นูลสิน. 2540. ปริมาณชีวภาพของแพลงก์ตอนพืชและคุณภาพน้ำในอ่างเก็บน้ำเขื่อนแม่กวาว เชียงใหม่. วิทยานิพนธ์วิทยาศาสตร์มหาบัณฑิต, มหาวิทยาลัยเชียงใหม่, เชียงใหม่.

ประเทือง เจริญวนกกลาง. 2534. คุณภาพน้ำทางการประมง. กรุงเทพฯ, สำนักพิมพ์ฟิสิกส์เช็นเตอร์.

ประเสริฐ ไวยาภา. 2539. คุณภาพน้ำทางชีวภาพของน้ำและการเปลี่ยนแปลงของแพลงก์ตอนพืช ในอ่างเก็บน้ำของสำนักงานเกษตรและสหกรณ์จังหวัดเชียงใหม่. ปัญหาพิเศษ วิทยาศาสตร์บัณฑิต, มหาวิทยาลัยเชียงใหม่, เชียงใหม่.

เปี่ยมศักดิ์ เมนะเวศ. 2538. แหล่งน้ำกับปัญหาน้ำดิน. กรุงเทพฯ, สำนักพิมพ์จุฬาลงกรณ์มหาวิทยาลัย.

พรศิริ ตัวรักษ์. 2544. ความหลากหลายทางชีวภาพของแพลงก์ตอนพืชและสาหร่ายยึดเกาะ และสาสัมพันธ์เชิงอาหารในปลา金พีชบางชนิดในอ่างเก็บน้ำเขื่อนแม่น้ำจัดสมบูรณ์ชล. วิทยานิพนธ์วิทยาศาสตร์มหาบัณฑิต, มหาวิทยาลัยเชียงใหม่, เชียงใหม่.

พันทวี นาไฟโรมน์ และ ศิริเพ็ญ ตรัยไชยพร. 2539. ศึกษาการใช้แพลงก์ตอนพืชเป็นดัชนีชีวภาพของคุณภาพน้ำในสระบนนิ่งในเมืองเชียงใหม่. รายงานการวิจัย ภาควิชาชีววิทยา คณะวิทยาศาสตร์ มหาวิทยาลัยเชียงใหม่, เชียงใหม่.

มั่นสิน ตัณฑุลเวศ. 2540. คู่มือวิเคราะห์คุณภาพน้ำ. กรุงเทพฯ, สำนักพิมพ์จุฬาลงกรณ์มหาวิทยาลัย. ไมตรี ดวงสวัสดิ์ และ จาเรวะรณ สมศรี. 2528. คุณสมบัติของน้ำและวิธีการวิเคราะห์สำหรับการวิจัยทางการประมง. กรุงเทพฯ, กรมประมง.

ลัดดา วงศ์รัตน์. 2538. แพลงก์ตอน. พิมพ์ครั้งที่ 2. กรุงเทพฯ, ภาควิชาชีววิทยาประมง คณะประมง มหาวิทยาลัยเกษตรศาสตร์.

- กุณินันท์ ศิริรัตนวรางกูร. 2544. ความหลากหลายทางชีวภาพของสาหร่าย การปนเปื้อนของตะกั่ว ในสาหร่ายและตะกอนดินและความสัมพันธ์กับคุณภาพน้ำในคลองแม่น้ำ จังหวัดเชียงใหม่ 2542. วิทยานิพนธ์วิทยาศาสตร์มหาบัณฑิต, มหาวิทยาลัยเชียงใหม่, เชียงใหม่.
- ศิริเพ็ญ ตรัยไชยพร. 2537. สาหร่ายวิทยาประยุกต์. พิมพ์ครั้งที่ 1. เชียงใหม่, ภาควิชาชีววิทยา คณะวิทยาศาสตร์ มหาวิทยาลัยเชียงใหม่.
- ศิริเพ็ญ ตรัยไชยพร. 2543. การวิเคราะห์คุณภาพน้ำ. พิมพ์ครั้งที่ 2. เชียงใหม่, ภาควิชาชีววิทยา คณะวิทยาศาสตร์ มหาวิทยาลัยเชียงใหม่.
- ขักษร ศรีเปล่ง. 2529. สาหร่าย. กรุงเทพฯ, สำนักส่งเสริมและฝึกอบรม มหาวิทยาลัยเกษตรศาสตร์.
- Aligizaki K., Tryfon E. and Gouni M.M. 2001. Phytoplankton species composition and diversity in shallow, urban Mediterranean lake (Lake Kastoria). 7<sup>th</sup> International Phycological Congress, Aristotle University of Thessaloniki. Greece, Phycologia, 40, 100.
- Anton A., Kusnan M., Yusoff F.M. and Ong E. S. 1995. Nutrient enrichment studies in a tropical reservoir:effect of N:P ratios on phytoplankton populations. Journal Tropical Limnology, 11, 179-185.
- American Public Health Association (APHA). 1998. Standard Methods for the Examination of Water and Waste Water. 20<sup>th</sup> edition, Washington D.C.
- Berges J.A., Varela D.E. and Harrison P.J. 2001. Rate, composition and nitrogen metabolism in a marine diatom. 7<sup>th</sup> International Phycological Congress, Aristotle University of Thessaloniki. Greece, Phycologia, 40, 12.
- Boney A.D. 1975. Phytoplankton. The Institute of Biology Studies in Biology. Edward Arnold Ltd, London.
- Booth W.E., Satish C.C. and Kamariah A.S. 1994. Ecology of a tropical man - made lake in Brunei Darussalam with proposal for its development and management. Internat. Verein.Limnol, 24, 273-278.
- Branco C.W.C. and Senna P.A.C. 1994. Factors influencing the development of *Cylindrospermopsis raciborskii* and *Microcystis aeruginosa* in the Paranoa Reservoir, Brasilia. Brazil, Journal Algological, 75, 85 - 96.
- Desikachary T.V. 1959. Cyanophyta. New Delhi, Indian Council of Agriculture Research.

- Gabriela R.G. and Valadez C.F. 2001. **Phytoplankton from Chignahupan lake, Mexico state, Mexico.** 7<sup>th</sup> International Phycological Congress, Aristotle University of Thessaloniki. Greece, *Phycologia*, 40, 104.
- Goldman C.R. and Horne A. J.. 1983. **Limnology.** McGraw - Hill Book Company Published, New York.
- Guildford S.J. and Hecky R.E. 2000. **Total nitrogen, total phosphorus and nutrient limitation in lake and oceans: Is there a common relationship.** Marine Progress Series, 45, 1213-1223.
- Heo W.M. and Bomchul K. 1997. **The change in N/P ratio with eutrophication and cyanobacterial bloom in Lake Soyang, Korea.** Internat. Verein. Limnol, 26, 491-495.
- Lorraine L. J. and Vollenweider R.A. 1981. **Summary report. The OECD Cooperative Programme on Eutrophication.** National Water Research Institute, Burlington.
- Mason C.F. 1996. **Biology of Freshwater Pollution.** 3<sup>th</sup> edition, Long man, England.
- Misiewicz S. and Adam L. 2001. **Photoadaptations, photosynthesis rate and biomass production in the Baltic cyanobacterium *Phormidium amphibium*.** 7<sup>th</sup> International Phycological Congress, Aristotle University of Thessaloniki. Greece, *Phycologia*, 40, 98.
- Nagarkar S. 2001. **Physical stress and morphological variation in cyanobacteria on tropical rocky shores of Hong Kong.** 7<sup>th</sup> International Phycological Congress, Aristotle University of Thessaloniki. Greece, *Phycologia*, 40, 94.
- Nusch E.A. 1980. **Comparision of different methods for chlorophyll and phaeopigment determination.** Arch Hydrobiol. Beih. Ergeb. Limnol., 14, 14-36.
- Phlips E.J., Cichra M., Havens K., Hanlon C., Badylak S., Rueter B., Randall M. and Hansen P. 1997. **Relationships between phytoplankton dynamics and the availability of light and nutrient in a shallow sub-tropical lake.** Journal of Plankton Research, 19, 319-342.
- Prescott G.W. 1970. **How to Know the Freshwater Algae.** W.M.C. Brown Company Pulisher, Dubuque, Iowa.
- Round F.E. 1973. **The Biology of Algae.** Edward Arnold (Published) Ltd., London.

- Royal irrigation department. 1977. **Mae Ngat Project**. Ministry of Agriculture and Cooperatives.
- Saeton K. and Traichaiyaporn S. 2001. **Vertical distribution of blue-green algae in the Mae Ngat Somboonchol Reservoir Chiang Mai, Thailand**. 7<sup>th</sup> International Phycological Congress, Aristotle University of Thessaloniki. Greece, Phycologia, 40, 105.
- Smith G. M. 1950. **The Fresh Water Algae of the United States**. 2<sup>nd</sup> edition, McGraw – Hill Book Company Publishers, New York.
- Schollhorn E. and Wilhelm G. 1997. **The importance of increasing N/P ratios for phytoplankton biomass and species composition in an oligotrophic lake**. Internat. Verein. Limnol., 26, 615-620.
- Sorokin Y.I. 1999. **Aquatic microbial ecology**. Backhuys Publishers, Leiden, Netherlands.
- Stevenson R. J., Max L.B. and Rex L.L. 1996. **Algae Ecology Freshwater Benthic Ecosystems**. Academic Press Inc., San Diego, California.
- Sze P. 1997. **A Biology of the Algae**. 3<sup>rd</sup> edition, McGraw -Hill Book Company Publishers, New York.
- Traichaiyaporn S. 1985. **Selected physico-chemical and biological characteristics of lake Katugday, Buhi, Camarines sur. Philippines**. Ph.D. Thesis, Dissertation University of the Philippines at Los Banos (UPLB) Philippines.
- Traichaiyaporn S., Pornsiri T. and Thaweedat C. 2001. **Seasonal succession of *Cylindrospermopsis raciborskii* in Mae Ngat Somboonchol reservoir**. 7<sup>th</sup> International Phycological Congress, Aristotle University of Thessaloniki. Greece, Phycologia, 40, 16.
- Vymazal J. 1995. **Algae and Element Cycling in Wetland**. Lewis Publishers, London.
- Wetzel R.G. 1983. **Limnology**. Saunders College Publishing, Philadelphia.
- Yin C., Zhiwen L and Ming Z. 1994. **Factors limiting algal growth in eutrophic Chaohu Lake, China**. Internat. Verein. Limnol., 24, 213-218.
- Yunes J.S., Luis F.H.N. and Paulo S.S. 1998. **Effect of nutrient balance and physical factors on blooms of toxic cyanobacteria in the Patos Lagoon, Southern Brazil**. Internat. Verein. Limnol., 26, 1796-1800.
- Zhang H. and Chang W.Y.B. 1994. **Management of inland fisheries in shallow eutrophic mesotrophic and oligotrophic lakes in China**. Internat. Verein. Limnol., 24, 225-229.

## ภาคผนวก ก

ชนิด ปริมาณและการแพร่กระจายของสารร้ายสีเขียวแกมน้ำเงิน  
ในอ่างเก็บน้ำเขื่อนแม่น้ำป่าสักชล ปี 2544

(เดือนมกราคม – ธันวาคม 2544)

**ภาคผนวก ข**

**คุณภาพน้ำทางกายภาพ เคมี และชีวภาพ  
ในอ่างเก็บน้ำเขื่อนแม่จัดสมบูรณ์ชล ปี 2544  
(เดือนมกราคม – ธันวาคม 2544)**

## ภาคผนวก ก

ผลการวิเคราะห์ทางสถิติของสาหาร่ายสีเขียวแกมน้ำเงินและคุณภาพน้ำ  
ในอ่างเก็บน้ำเขื่อนแม่จั๊ดสมบูรณ์ชล ปี 2544  
(เดือนกรกฎาคม – ธันวาคม 2544)

ตาราง 17 การวิเคราะห์ความแปรปรวนของชนิดสาหร่ายสีเขียวแกมน้ำเงิน

Soure	df	Sum of Squares	Mean Square	F ratio	F Prob
Corrected Model	133	613.100	4.610	9.220	0.258
Intercept	1	1875.547	1875.547	3751.093	0.010
Station	2	7.421	3.711	7.421 <sup>ns</sup>	0.251
Depth	5	129.540	25.840	51.680 <sup>ns</sup>	0.189
Month	11	126.096	11.463	22.927 <sup>ns</sup>	0.162
Station * Depth	7	2.934	0.419	0.838 <sup>ns</sup>	0.689
Station * Month	22	66.307	3.014	6.028 <sup>ns</sup>	0.312
Depth * Month	43	99.305	2.309	4.619 <sup>ns</sup>	0.356
Station * Depth * Month	43	73.077	1.699	3.399 <sup>ns</sup>	0.410
Error	1	0.500	0.500		
Total	135	5692.000			
Corrected Total	134	613.600			

หมายเหตุ a. R Squared = 0.999 (Adjusted R Squared = 0.891)

ns = ไม่มีความแตกต่างอย่างมีนัยสำคัญทางสถิติ

ตาราง 18 การวิเคราะห์ความแปรปรวนของปริมาณสาหร่ายสีเขียวแกมน้ำเงิน

Soure	df	Sum of Squares	Mean Square	F ratio	F Prob
Corrected Model	133	5.7E+09	4.3E+07	30685.62	0.005
Intercept	1	1.9E+08	1.9E+08	134923.1	0.002
Station	2	2.3E+07	1.1E+07	8086.102	** 0.008
Depth	5	4.9E+08	1.0E+08	86218.73	** 0.007
Month	11	1.5E+09	1.4E+08	97441.53	** 0.002
Station * Depth	7	4.9E+07	7033051	5053.174	* 0.011
Station * Month	22	6.5E+08	3.0E+07	21245.08	** 0.005
Depth * Month	43	1.8E+09	4.3E+07	30712.64	** 0.005
Station * Depth * Month	43	3.0E+08	6876887	4940.971	* 0.011
Error	1	1391.809	1391.809		
Total	135	6.4E+09			
Corrected Total	134	5.7E+09			

หมายเหตุ

a. R Squared = 1.000 (Adjusted R Squared = 1.000)

\* = มีความแตกต่างอย่างมีนัยสำคัญทางสถิติ ( $P < 0.05$ )

\*\* = มีความแตกต่างอย่างมีนัยสำคัญยิ่งทางสถิติ ( $P < 0.01$ )

ตาราง 19 การวิเคราะห์ความแปรปรวนของระดับความลึกของน้ำ

Soure	df	Sum of Squares	Mean Square	F ratio	F Prob
Corrected Model	34	4217.927	124.057	4.531	0.358
Intercept	1	19539.97	19539.97	713.659	0.024
Station	2	3120.310	1560.155	56.982	** 0.000
Month	11	879.040	79.913	2.919 <sup>ns</sup>	0.430
Station * Month	21	178.409	8.496	0.310 <sup>ns</sup>	0.913
Error	1	27.380	27.380		
Total	36	23687.89			
Corrected Total	35	4245.307			

หมายเหตุ a. R Squared = 0.994 (Adjusted R Squared = -0.774)

ns = ไม่มีความแตกต่างอย่างมีนัยสำคัญทางสถิติ

\*\* = มีความแตกต่างอย่างมีนัยสำคัญยิ่งทางสถิติ ( $P<0.01$ )

ตาราง 20 การวิเคราะห์ความแปรปรวนของอุณหภูมิอากาศ

Soure	df	Sum of Squares	Mean Square	F ratio	F Prob
Corrected Model	34	338.576	9.958	6.8E+12	0.000
Intercept	1	29177.38	29177.38	2.0E+16	0.000
Station	2	13.268	6.634	4.6E+12	** 0.000
Month	11	297.651	27.059	1.9E+13	** 0.000
Station * Month	21	21.377	1.018	7.0E+11	0.000
Error	1	1.458E-12	1.458E-12		
Total	36	29951.25			
Corrected Total	35	338.576			

หมายเหตุ a. R Squared = 1.000 (Adjusted R Squared = 1.000)

\*\* = มีความแตกต่างอย่างมีนัยสำคัญยิ่งทางสถิติ ( $P<0.01$ )

ตาราง 21 การวิเคราะห์ความแปรปรวนของความโปรดังใจของน้ำ

Soure	df	Sum of Squares	Mean Square	F ratio	F Prob
Corrected Model	34	28.675	0.843	117.138	0.073
Intercept	1	259.954	259.954	36104.66	0.003
Station	2	1.537	0.768	106.726 <sup>ns</sup>	0.068
Month	11	22.415	2.038	283.012*	0.046
Station * Month	21	4.405	0.210	29.132 <sup>ns</sup>	0.145
Error	1	7.200E-03	7.200E-03		
Total	36	289.990			
Corrected Total	35	28.682			

หมายเหตุ a. R Squared = 1.000 (Adjusted R Squared = 0.991)

ns = ไม่มีความแตกต่างอย่างนัยสำคัญทางสถิติ

\* = มีความแตกต่างอย่างมีนัยสำคัญทางสถิติ ( $P < 0.05$ )

ตาราง 22 การวิเคราะห์ความแปรปรวนของอุณหภูมิน้ำ

Soure	df	Sum of Squares	Mean Square	F ratio	F Prob
Corrected Model	133	629.104	4.730	236.505	0.052
Intercept	1	42147.86	42147.86	2107393.0	0.000
Station	2	1.071	0.536	26.780 <sup>ns</sup>	0.135
Depth	5	98.721	19.744	987.210*	0.017
Month	11	302.770	27.525	1376.228*	0.021
Station * Depth	7	1.257	0.180	8.979 <sup>ns</sup>	0.252
Station * Month	22	6.040	0.275	13.728 <sup>ns</sup>	0.210
Depth * Month	43	56.798	1.321	66.045 <sup>ns</sup>	0.097
Station * Depth * Month	43	5.091	0.118	5.920 <sup>ns</sup>	0.317
Error	1	2.000E-02	2.000E-02		
Total	135	95925.35			
Corrected Total	134	629.124			

หมายเหตุ a. R Squared = 1.000 (Adjusted R Squared = 0.996)

ns = ไม่มีความแตกต่างอย่างมีนัยสำคัญทางสถิติ

\* = มีความแตกต่างอย่างมีนัยสำคัญทางสถิติ ( $P < 0.05$ )

ตาราง 23 การวิเคราะห์ความแปรปรวนของค่าความเป็นกรด-ด่าง

Soure	df	Sum of Squares	Mean Square	F ratio	F Prob
Corrected Model	133	110.331	0.830	1843.451	0.019
Intercept	1	2611.601	2611.601	5803557	0.000
Station	2	1.622E-02	8.108E-03	18.017 <sup>ns</sup>	0.164
Depth	5	18.139	3.628	8062.778 <sup>**</sup>	0.008
Month	11	57.621	5.238	11640.54 <sup>**</sup>	0.007
Station * Depth	7	0.283	4.050E-02	89.995 <sup>ns</sup>	0.081
Station * Month	22	3.679	0.167	371.614 <sup>*</sup>	0.041
Depth * Month	43	11.668	0.271	603.005 <sup>*</sup>	0.032
Station * Depth * Month	43	2.111	4.908E-02	109.075 <sup>ns</sup>	0.076
Error	1	4.500E-04	4.500E-04		
Total	135	5989.215			
Corrected Total	134	110.331			

หมายเหตุ

a. R Squared = 1.000 (Adjusted R Squared = 0.999)

ns = ไม่มีความแตกต่างอย่างมีนัยสำคัญทางสถิติ

\* = มีความแตกต่างอย่างมีนัยสำคัญทางสถิติ ( $P < 0.05$ )\*\* = มีความแตกต่างอย่างมีนัยสำคัญยิ่งทางสถิติ ( $P < 0.01$ )

ตาราง 24 การวิเคราะห์ความแปรปรวนของค่าความนำไฟฟ้าของน้ำ

Soure	df	Sum of Squares	Mean Square	F ratio	F Prob
Corrected Model	133	35907.83	269.984	539.967	0.034
Intercept	1	659490.9	659490.9	1318982	0.001
Station	2	35.088	17.544	35.088 <sup>ns</sup>	0.199
Depth	5	3821.93	764.386	1528.772*	0.027
Month	11	18303.33	1663.939	3327.879*	0.014
Station * Depth	7	449.575	64.225	128.450 <sup>ns</sup>	0.068
Station * Month	22	1013.430	46.065	92.130 <sup>ns</sup>	0.082
Depth * Month	43	10935.06	254.304	508.607*	0.035
Station * Depth * Month	43	939.682	21.853	43.706 <sup>ns</sup>	0.120
Error	1	0.500	0.500		
Total	135	1368167			
Corrected Total	134	35908.33			

หมายเหตุ a. R Squared = 1.000 (Adjusted R Squared = 0.998)

ns = ไม่มีความแตกต่างอย่างมีนัยสำคัญทางสถิติ

\* = มีความแตกต่างอย่างมีนัยสำคัญทางสถิติ ( $P < 0.05$ )

ตาราง 25 การวิเคราะห์ความแปรปรวนของปริมาณออกซิเจนที่ละลายน้ำ

Soure	df	Sum of Squares	Mean Square	F ratio	F Prob
Corrected Model	133	913.078	6.865	2.5E+13	0.000
Intercept	1	298.671	298.671	1.1E+15	0.000
Station	2	1.234	0.617	2.3E+12	**
Depth	5	519.230	103.846	3.8E+14	**
Month	11	64.122	5.829	2.1E+13	**
Station * Depth	7	7.692	1.099	4.0E+12	**
Station * Month	22	23.310	1.060	3.9E+12	**
Depth * Month	43	162.599	3.781	1.4E+13	**
Station * Depth * Month	43	34.197	0.795	2.9E+12	**
Error	1	2.724E-13	2.724E-13		
Total	135	1854.766			
Corrected Total	134	913.078			

หมายเหตุ a. R Squared = 1.000 (Adjusted R Squared = 1.000)

\*\* = มีความแตกต่างอย่างมีนัยสำคัญยิ่งทางสถิติ ( $P < 0.01$ )

ตาราง 26 การวิเคราะห์ความแปรปรวนของปริมาณแอมโนเนียมในโตรเจน

Soure	df	Sum of Squares	Mean Square	F ratio	F Prob
Corrected Model	133	0.132	9.952E-04	48.596	0.114
Intercept	1	0.151	0.151	7362.579	0.007
Station	2	1.581E-04	7.906E-05	3.860 <sup>ns</sup>	0.339
Depth	5	1.372E-02	2.744E-03	113.984*	0.032
Month	11	7.023E-02	6.384E-03	311.727*	0.044
Station * Depth	7	7.734E-04	1.105E-04	5.395 <sup>ns</sup>	0.320
Station * Month	22	4.152E-03	1.887E-04	9.215 <sup>ns</sup>	0.255
Depth * Month	43	1.442E-02	3.354E-04	16.377 <sup>ns</sup>	0.194
Station * Depth * Month	43	6.966E-03	1.620E-04	7.910 <sup>ns</sup>	0.276
Error	1	2.048E-05	2.048E-05		
Total	135	0.384			
Corrected Total	134	0.132			

หมายเหตุ a. R Squared = 1.000 (Adjusted R Squared = 0.979)

ns = ไม่มีความแตกต่างอย่างมีนัยสำคัญทางสถิติ

\* = มีความแตกต่างอย่างมีนัยสำคัญทางสถิติ ( $P < 0.05$ )

ตาราง 27 การวิเคราะห์ความแปรปรวนของปริมาณในไครท์ในโตรเจน

Soure	df	Sum of Squares	Mean Square	F ratio	F Prob
Corrected Model	133	5.486E-04	4.125E-06	8.249	0.272
Intercept	1	1.245E-03	1.245E-03	2490.809	0.013
Station	2	1.016E-05	5.082E-06	10.165 <sup>ns</sup>	0.217
Depth	5	1.874E-05	3.748E-06	7.496 <sup>ns</sup>	0.221
Month	11	1.349E-04	1.226E-05	24.525 <sup>ns</sup>	0.156
Station * Depth	7	1.662E-05	2.374E-06	4.748 <sup>ns</sup>	0.340
Station * Month	22	6.062E-05	2.755E-06	5.511 <sup>ns</sup>	0.326
Depth * Month	43	1.573E-04	3.657E-06	7.315 <sup>ns</sup>	0.287
Station * Depth * Month	43	1.157E-04	2.690E-06	5.379 <sup>ns</sup>	0.331
Error	1	5.000E-07	5.000E-07		
Total	135	3.198E-03			
Corrected Total	134	5.491E-04			

หมายเหตุ a. R Squared = 1.000 (Adjusted R Squared = 0.878)

ns = ไม่มีความแตกต่างอย่างมีนัยสำคัญทางสถิติ

ตาราง 28 การวิเคราะห์ความแปรปรวนของปริมาณในเตรอที่น้ำตื้น

Soure	df	Sum of Squares	Mean Square	F ratio	F Prob
Corrected Model	133	0.211	1.583E-03	273.861	0.048
Intercept	1	5.204E-02	5.204E-02	9003.802	0.007
Station	2	1.395E-03	6.976E-04	120.691 <sup>ns</sup>	0.064
Depth	5	1.321E-02	2.642E-03	457.093*	0.042
Month	11	5.686E-02	5.169E-03	894.310*	0.026
Station * Depth	7	1.602E-04	2.288E-05	3.959 <sup>ns</sup>	0.369
Station * Month	22	5.067E-03	2.303E-04	39.851 <sup>ns</sup>	0.124
Depth * Month	43	0.121	2.804E-03	485.101*	0.036
Station * Depth * Month	43	2.294E-03	5.336E-05	9.231 <sup>ns</sup>	0.256
Error	1	5.780E-06	5.780E-06		
Total	135	0.281			
Corrected Total	134	0.211			

หมายเหตุ a. R Squared = 1.000 (Adjusted R Squared = 0.996)

ns = ไม่มีความแตกต่างอย่างมีนัยสำคัญทางสถิติ

\* = มีความแตกต่างอย่างมีนัยสำคัญทางสถิติ ( $P < 0.05$ )

ตาราง 29 การวิเคราะห์ความแปรปรวนของปริมาณ TKN

Soure	df	Sum of Squares	Mean Square	F ratio	F Prob
Corrected Model	133	1.277	9.599E-03	19197.77	0.006
Intercept	1	0.790	0.790	1579324	0.001
Station	2	1.863E-02	9.313E-03	18626.55 **	0.005
Depth	5	5.118E-02	1.024E-02	20483.65 **	0.008
Month	11	0.452	4.111E-02	82211.31 **	0.003
Station * Depth	7	2.230E-02	3.185E-03	6370.181 **	0.010
Station * Month	22	0.112	5.086E-03	10172.09 **	0.008
Depth * Month	43	0.205	4.777E-03	9553.687 **	0.008
Station * Depth * Month	43	0.160	3.111E-03	7422.025 **	0.009
Error	1	5.000E-07	5.000E-07		
Total	135	2.776			
Corrected Total	134	1.277			

หมายเหตุ a. R Squared = 1.000 (Adjusted R Squared = 1.000)

\*\* = มีความแตกต่างอย่างมีนัยสำคัญทางสถิติ ( $P < 0.01$ )

ตาราง 30 การวิเคราะห์ความแปรปรวนของปริมาณในโตรเจนรวม

Source	df	Sum of Squares	Mean Square	F ratio	F Prob
Corrected Model	133	1.560	1.173E-02	2029.071	0.018
Intercept	1	1.327	1.327	229621.4	0.001
Station	2	1.802E-02	9.010E-03	1558.880*	0.018
Depth	5	0.351	7.028E-02	1215.916*	0.029
Month	11	0.464	4.220E-02	7300.550**	0.009
Station * Depth	7	2.054E-02	2.935E-03	507.753*	0.034
Station * Month	22	0.119	5.407E-03	935.500*	0.026
Depth * Month	43	0.314	7.302E-03	1263.368**	0.022
Station * Depth * Month	43	0.157	3.653E-03	631.947*	0.032
Error	1	5.780E-06	5.780E-06		
Total	135	3.935			
Corrected Total	134	1.560			

หมายเหตุ

a. R Squared = 1.000 (Adjusted R Squared = 1.000)

\* = มีความแตกต่างอย่างมีนัยสำคัญทางสถิติ ( $P < 0.05$ )\*\* = มีความแตกต่างอย่างมีนัยสำคัญยิ่งทางสถิติ ( $P < 0.01$ )

ตาราง 31 การวิเคราะห์ความแปรปรวนของปริมาณօล์โซฟอสเฟตฟอสฟอรัส

Soure	df	Sum of Squares	Mean Square	F ratio	F Prob
Corrected Model	133	590.129	4.437	98.601	0.080
Intercept	1	699.280	699.280	15539.56	0.005
Station	2	6.656	3.328	73.958 <sup>ns</sup>	0.082
Depth	5	109.154	21.831	485.129*	0.019
Month	11	193.571	17.597	391.052*	0.039
Station * Depth	7	5.583	0.798	17.724 <sup>ns</sup>	0.181
Station * Month	22	24.688	1.122	24.938 <sup>ns</sup>	0.157
Depth * Month	43	100.002	2.326	51.681 <sup>ns</sup>	0.110
Station * Depth * Month	43	23.071	0.537	11.923 <sup>ns</sup>	0.226
Error	1	4.500E-02	4.500E-02		
Total	135	1534.770			
Corrected Total	134	590.174			

หมายเหตุ a. R Squared = 1.000 (Adjusted R Squared = 0.990)

ns = ไม่มีความแตกต่างอย่างมีนัยสำคัญทางสถิติ

\* = มีความแตกต่างอย่างมีนัยสำคัญทางสถิติ ( $P < 0.05$ )

ตาราง 32 การวิเคราะห์ความแปรปรวนของปริมาณฟ้อสฟอรัสรวม

Soure	df	Sum of Squares	Mean Square	F ratio	F Prob
Corrected Model	133	2553.926	19.202	0.701	0.765
Intercept	1	6224.367	6224.367	227.333	0.042
Station	2	22.548	11.274	0.412 <sup>ns</sup>	0.741
Depth	5	572.841	114.568	4.184*	0.042
Month	11	1347.665	122.515	4.475 <sup>ns</sup>	0.354
Station * Depth	7	39.301	5.614	0.205 <sup>ns</sup>	0.937
Station * Month	22	162.303	7.377	0.269 <sup>ns</sup>	0.933
Depth * Month	43	273.809	6.368	0.233 <sup>ns</sup>	0.956
Station * Depth * Month	43	108.228	2.517	0.092 <sup>ns</sup>	0.998
Error	1	27.380	27.380		
Total	135	12881.40			
Corrected Total	134	2581.306			

หมายเหตุ a. R Squared = 0.989 (Adjusted R Squared = -0.421)

ns = ไม่มีความแตกต่างอย่างมีนัยสำคัญทางสถิติ

ตาราง 33 การวิเคราะห์ความแปรปรวนของอัตราส่วนของไข้ในโตรเจนและฟอสฟอรัส

Soure	df	Sum of Squares	Mean Square	F ratio	F Prob
Corrected Model	133	44567.59	335.095	21.219	0.172
Intercept	1	17239.80	17239.80	1091.666	0.019
Station	2	973.542	486.771	30.823 <sup>ns</sup>	0.126
Depth	5	383.143	76.628	4.852 <sup>ns</sup>	0.276
Month	11	20481.13	1861.921	117.901 <sup>ns</sup>	0.072
Station * Depth	7	398.153	56.879	3.602 <sup>ns</sup>	0.385
Station * Month	22	5851.140	265.961	16.841 <sup>ns</sup>	0.190
Depth * Month	43	6707.891	155.997	9.878 <sup>ns</sup>	0.248
Station * Depth * Month	43	4907.811	114.135	7.227 <sup>ns</sup>	0.288
Error	1	15.792	15.792		
Total	135	91333.00			
Corrected Total	134	44583.38			

หมายเหตุ a. R Squared = 1.000 (Adjusted R Squared = 0.953)

ns = ไม่มีความแตกต่างอย่างมีนัยสำคัญทางสถิติ

ตาราง 3.4 การวิเคราะห์ความแปรปรวนของปริมาณคลอรอฟิลล์ เอ

Soure	df	Sum of Squares	Mean Square	F ratio	F Prob
Corrected Model	133	2137.768	16.073	91.727	0.083
Intercept	1	560.772	560.772	3200.108	0.011
Station	2	7.688	3.844	21.937 <sup>ns</sup>	0.149
Depth	5	548.237	109.647	626.554*	0.021
Month	11	554.793	50.436	287.823*	0.046
Station * Depth	7	38.561	5.509	31.437 <sup>ns</sup>	0.137
Station * Month	22	365.196	16.600	94.730 <sup>ns</sup>	0.081
Depth * Month	43	289.448	6.731	38.414 <sup>ns</sup>	0.127
Station * Depth * Month	43	180.073	4.188	23.898 <sup>ns</sup>	0.161
Error	1	0.175	0.175		
Total	135	4332.545			
Corrected Total	134	2137.943			

หมายเหตุ a. R Squared = 1.000 (Adjusted R Squared = 0.989)

ns = ไม่มีความแตกต่างอย่างมีนัยสำคัญทางสถิติ

\* = มีความแตกต่างอย่างมีนัยสำคัญทางสถิติ ( $P < 0.05$ )

ตาราง 36 ตัวแปรสัมพันธ์ทางคณิตศาสตร์ที่ใช้ในการทดสอบว่าตัวแปรใดมีผลต่อตัวแปรอื่นในแบบแผนที่กำหนดไว้

\* Correlation is significant at the 0.05 level (2-tailed)

\*\* Correlation is significant at the 0.01 level (2-tailed)

ภาคผนวก ๔

มาตรฐานคุณภาพนำ

ตาราง 37 การจัดระดับความอุดมสมบูรณ์ของแหล่งน้ำโดยใช้ปริมาณฟอสฟอรัสรวม ในต่อเนื่องรวม  
คลอโรฟิลล์ เอ และความลึกที่แสงส่องถึง

Variable ( Annual Mean Values )		Oligotrophic	Mesotrophic	Eutrophic	Hyper- eutrophic
Total Phosphorus $\text{mg m}^{-3}$	$\bar{x}$	<u>8.0</u>	<u>26.7</u>	<u>84.4</u>	
	$\bar{x} \pm 1 \text{ SD}$	4.85 - 13.3	14.5 - 49	38 - 189	
	$\bar{x} \pm 2 \text{ SD}$	2.9 - 22.1	7.9 - 90.8	16.8 - 424	
	Range	3.0 - 17.7	10.9 - 95.6	16.2 - 386	750 - 1200
	n	21	19 (21)	71 (72)	2
Total Nitrogen $\text{mg m}^{-3}$	$\bar{x}$	<u>661</u>	<u>753</u>	<u>1875</u>	
	$\bar{x} \pm 1 \text{ SD}$	371 - 1180	485 - 1170	861 - 4081	
	$\bar{x} \pm 2 \text{ SD}$	208 - 2103	313 - 1816	395 - 8913	
	Range	307 - 1630	361 - 1387	393 - 6100	
	n	11	8	37 (38)	
Chlorophyll a $\text{mg m}^{-3}$	$\bar{x}$	<u>1.7</u>	<u>4.7</u>	<u>14.3</u>	
	$\bar{x} \pm 1 \text{ SD}$	.8 - 3.4	3.0 - 7.4	6.7 - 31	
	$\bar{x} \pm 2 \text{ SD}$	.4 - 7.1	1.9 - 11.6	3.1 - 66	
	Range	0.3 - 4.5	3.0 - 11	2.7 - 78	100 - 150
	n	22	16 (17)	70 (72)	2
Chlorophyll a Peak Value $\text{mg m}^{-3}$	$\bar{x}$	<u>4.2</u>	<u>16.1</u>	<u>42.6</u>	
	$\bar{x} \pm 1 \text{ SD}$	2.6 - 7.6	8.9 - 29	16.9 - 107	
	$\bar{x} \pm 2 \text{ SD}$	1.5 - 13	4.9 - 52.5	6.7 - 270	
	Range	1.3 - 10.6	4.9 - 49.5	9.5 - 275	
	n	16	12	46	
Secchi Depth m.	$\bar{x}$	<u>9.9</u>	<u>4.2</u>	<u>2.45</u>	
	$\bar{x} \pm 1 \text{ SD}$	5.9 - 16.5	2.4 - 7.4	1.5 - 4.0	
	$\bar{x} \pm 2 \text{ SD}$	3.6 - 27.5	1.4 - 13	.9 - 6.7	
	Range	5.4 - 28.3	1.5 - 8.1	.8 - 7.0	0.4 - 0.5
	n	13	20	70 (72)	2

$\bar{x}$  = geometric mean

SD = Standard deviation

( ) = Value in bracket refers to the number of variables (n) employed in the first calculation.

ที่มา : Lorraine and Vollenweider (1981)

ตาราง 38 การจัดชั้นนำตามระดับของสารอาหาร ถ่ายทอดผ่านทางกระบวนการ เติมและรีวิวภาพ บางประการ และ กรณีของแพลงก์ตอนพืช  
ที่พบเป็นชนิดต่อในระดับต่าง ๆ

Trophic Type	Mean primary productivity (mg C m <sup>-2</sup> Day <sup>-1</sup> )	Phyto-plankton biomass (cm <sup>3</sup> m <sup>-3</sup> )	Chlorophyll-a (mg m <sup>-3</sup> )	Dominant phytoplankton	Light extinction coefficients (nm <sup>-1</sup> )	Total organic carbon (ug.l <sup>-1</sup> )	Total P (ug.l <sup>-1</sup> )	Total N (ug.l <sup>-1</sup> )	Total inorganic solids (ug.l <sup>-1</sup> )
Ultraoligotrophic	< 50	< 1	< 50	0.01 - 0.5	0.03 - 0.8	< 1 - 5	< 1 - 250	< 1 - 5	2 - 15
Oligotrophic	50 - 300	20 - 100	0.3 - 3	Chrysophyceae	0.05 - 1.0	< 1 - 3			
Oligomesotrophic	1 - 3			Cryptophyceae					
Mesotrophic	250 - 1000	100 - 300	2 - 15	Dinophyceae, Bacillariophyceae	0.1 - 2.0	< 1 - 5	5 - 10	250 - 600	10 - 200
Mesoeutrophic	3 - 5								
Eutrophic	> 1000	> 300	10 - 500	Bacillariophyceae, Cyanophyceae	0.5 - 4.0	5 - 30	10 - 30	500 - 1100	100 - 500
Hypereutrophic	> 10			Chlorophyceae					
Dystrophic	< 50 - 500	< 50 - 200	0.1 - 10	Euglenophyceae			30 - > 5000	500 - > 15000	400 - 60000
							1.0 - 4.0	3 - 30	< 1 - 10
									5 - 200

ที่มา : Wetzel (1983)

ตาราง 39 การจัดระดับความอุดมสมบูรณ์ของแหล่งน้ำโดยใช้ปริมาณฟอสฟอรัสรวม  
คลอโรฟิลล์ เอ และความลึกที่แสงส่องถึง

Trophic category	TP (ug/l)	mean Chlorophyll-a (ug/l)	max Chlorophyll-a (ug/l)	mean Secchi (m)	min Secchi (m)
Ultra-oligotrophic	<4.0	<1.0	<2.5	> 12.0	>6.0
Oligotrophic	<10.0	<2.5	<8.0	>6.0	>3.0
Mesotrophic	10 - 35	2.5 - 8	8 - 25	6 - 3	3 - 1.5
Eutrophic	35 - 100	8 - 25	25 - 75	3 - 1.5	1.5 - 0.7
Hypertrophic	>100	>25	>75	<1.5	< 0.7

หมายเหตุ TP = ปริมาณฟอสฟอรัสรวมโดยเฉลี่ยต่อลดปี (ug/l)

mean Chlorophyll = ปริมาณคลอโรฟิลล์ เอ ที่ผิวน้ำ โดยเฉลี่ย ต่อลดปี (ug/l)

max Chlorophyll = ปริมาณคลอโรฟิลล์ เอ ที่ผิวน้ำ สูงสุด ต่อลดปี (ug/l)

mean Secchi = ค่าความโปร่งใสโดยเฉลี่ย ต่อลดปี (m)

min Secchi = ค่าความโปร่งใส ต่ำสุดต่อลดปี (m)

ที่มา : Mason (1996)

**ตาราง 40 มาตรฐานคุณภาพน้ำในแหล่งน้ำผิวดิน**

**มาตรฐานและวิธีการตรวจสอบคุณภาพน้ำในแหล่งน้ำผิวดิน**

ลำดับ	คุณภาพน้ำ <sup>ช</sup>	ค่าทาง สถิติ	หน่วย	การแบ่งประเภทคุณภาพน้ำตามการใช้ประโยชน์ <sup>ช</sup>				
				ประเภท 1	ประเภท 2	ประเภท 3	ประเภท 4	ประเภท 5
1	สี กลิ่นและรส (Colour, Odour and Taste)	-	-	ช	ช'	ช'	ช'	-
2	อุณหภูมิ (Temperature)	°C	-	ช	ช'	ช'	ช'	-
3	ความเป็นกรด鹼ด่าง (pH)	-	-	ช	5.0 - 9.0	5.0 - 9.0	5.0 - 9.0	-
4	ออกซิเจน溶解 (DO)	P 20	มก./ล. (mg/l)	ช	‡ 6.0	‡ 4.0	‡ 2.0	-
5	บีโอดี (BOD)	P 80	"	ช	‡ 1.5	‡ 2.0	‡ 4.0	-
6	แบคทีเรียก่อโรคพอกดทนทั้งหมด (Total Coliform Bacteria)	P 80	เชื้อ.พ./เชื้อ/100 ml (MPN / 100 ml)	ช	‡ 5,000	‡ 20,000	-	-
7	แบคทีเรียก่อโรคพอกดทนท้องเสีย (fecal Coliform Bacteria)	P 80	"	ช	‡ 1,000	‡ 4,000	-	-
8	ไนเตรต ( $\text{NO}_3^-$ ) ในหน่วยในไตรเจน	มก./ล.	ช	มีค่าไม่เกิน			5.0	-
9	แอมโมเนียม ( $\text{NH}_4^+$ ) ในหน่วย ในไตรเจน	"	ช	"			0.5	-
10	ฟิโนอล (Phenols)	"	ช	"			0.005	-
11	ทองแดง (CU)	"	ช	"			0.1	-
12	nickel (Ni)	"	ช	"			0.1	-
13	แมงกานีส (Mn)	"	ช	"			1.0	-
14	ถังกะซี (Zn)	"	ช	"			1.0	-
15	แคดเมียม (Cd)	"	ช	"			0.005*	-
				0.05**			0.05**	-
16	โครเมียมชนิดเขือขาวาเต้นท์ (Cr Hexavalent)	"	ช	"			0.05	-
17	ตะกั่ว (Pb)	"	ช	"			0.05	-
18	ปรอททั้งหมด (Total Hg)	"	ช	"			0.002	-

## ตาราง 40 (ต่อ)

ลำดับ	คุณภาพน้ำ <sup>ว</sup>	ค่าทาง สถิติ	หน่วย	การแบ่งประเภทคุณภาพน้ำตามการใช้ประโยชน์ <sup>ว</sup>				
				ประเภท 1	ประเภท 2	ประเภท 3	ประเภท 4	ประเภท 5
19	สารหง่าน (As)	"	"	"	"	"	0.01	-
20	ไซยาไนด์ (Cyanide)	"	"	"	"	"	0.005	-
21	กัมมันตภาพรังสี (Radioactivity)							
	- ค่ารังสีเอกซ์ฟ่า (Alpha)	เบคเคอร์เรล/ด.	ช	มีค่าไม่เกินกว่า			0.1	-
	- ค่ารังสีบีตา (Beta)	"	ช	"			1.0	-
22	สารฆ่าศัตรูพืชและสัตว์ชนิดที่มี คลอรีนทั้งหมด (Total Organochlorine Pesticides)	มก./ล.	ช	"	"	"	0.05	-
23	ดีดีที (DDT)	ไมโครกรัม/ด.	ช	"	"	"	1.0	-
24	บีเอชซีชนิดอัลฟ่า (Alpha-BHC)	"	ช	"	"	"	0.02	-
25	ดีลดริน (Dieldrin)	"	ช	"	"	"	0.1	-
26	อัลדרิน (Aldrin)	"	ช	"	"	"	0.1	-
27	ไฮป็อกไซด์และไฮป์กาลอก อีป็อกไซด์ (Heptachor & Heptachlor epoxide)	"	ช	"	"	"	0.2	-
28	เอนดริน (Endrin)	"	ช	ไม่สามารถตรวจสอบได้ตามวิธี การตรวจสอบที่กำหนด				-

แหล่งที่มาของข้อมูล : ประกาศคณะกรรมการสิ่งแวดล้อมแห่งชาติ ฉบับที่ 8 (พ.ศ. 2537) ออกตามความในพระราชบัญญัติส่งเสริมและรักษาคุณภาพสิ่งแวดล้อมแห่งชาติ พ.ศ. 2535 เรื่อง กำหนดมาตรฐานคุณภาพน้ำในแหล่งน้ำดิบคิน ติพิมพ์ในราชกิจจานุเบกษาฉบับประกาศทั่วไป เล่ม 111 ตอนที่ 16 ลงวันที่ 24 กุมภาพันธ์ 2537 (ภาคผนวก ณ)

## ประวัติผู้เขียน

ชื่อ – นามสกุล นายชรเกียรติ แซ่ตัน  
วัน เดือน ปี เกิด 17 กรกฎาคม 2519  
ภูมิลำเนา 316/45 ต. เขานิเวศน์ อ.เมือง จ.ระนอง 85000  
ประวัติการศึกษา สำเร็จการศึกษามัธยมศึกษาตอนปลาย โรงเรียนพิชัยรัตนการ จ.ระนอง  
ปีการศึกษา 2537  
สำเร็จการศึกษาปริญญาวิทยาศาสตรบัณฑิต สาขาวิชาวิทยาการประมง  
(เกียรตินิยม อันดับ 2) มหาวิทยาลัยแม่โจ้ จ.เชียงใหม่ ปีการศึกษา 2541  
ทุนการศึกษา ได้รับทุนจากการพัฒนาองค์ความรู้และศึกษาโน้มน้าวการจัดการ  
ทรัพยากรชีวภาพในประเทศไทย (BRT) กรกฎาคม 2544 - ธันวาคม 2545  
ประสบการณ์ ฝึกงานที่บริษัทเครือเจริญโภคภัณฑ์ (ซีพี) อ. ละเม จ. ชุมพร  
ระยะเวลา มีนาคม - เมษายน 2540  
ฝึกงานที่บริษัท แหลมทองอุดรธานี จำกัด อ.ตะกั่วป่า จ.พังงา  
ระยะเวลา มีนาคม - พฤษภาคม 2541  
นักวิชาการประมง 3 ที่สถานีวิจัยทรัพยากรชากฝั่งระนอง สถาบันวิจัย  
และพัฒนาแห่งมหาวิทยาลัยเกษตรศาสตร์ จ.ระนอง  
ระยะเวลาทำงาน เมษายน - กันยายน 2542  
อบรมเชิงปฏิบัติการ 6<sup>th</sup> WRC Workshop เรื่อง Eutrophication  
and Toxic Cyanophyta in Freshwater Reservoirs. ณ. มหาวิทยาลัย  
เชียงใหม่  
ผู้ช่วยสอนปฏิบัติการชีววิทยาพื้นฐานกระบวนการวิชา 202184 ปีการศึกษา  
1/2544 และ 1/2545  
ผู้ช่วยการอบรมคุณวิทยาศาสตร์สิ่งแวดล้อม ระดับมัธยมศึกษาตอนปลาย  
(พ.ศ 2544 และ 2545) ณ. ภาควิชาชีววิทยา คณะวิทยาศาสตร์  
มหาวิทยาลัยเชียงใหม่ .

## ผลงานวิจัย

ขจรเกียรติ์ แซ่ตัน และ ศิริเพ็ญ ตรัยไชยaphr.2544. ความสัมพันธ์ของอัตราส่วนของในโตรเจน และฟอสฟอรัสต่อการแพร่กระจายของสาหร่ายสีเขียวแกมน้ำเงินในต่างระดับความลึก ของอ่างเก็บน้ำเขื่อนแม่น้ำแม่กลอง จังหวัดเชียงใหม่ I (มกราคม – เมษายน 2544). การประชุมวิชาการวิทยาศาสตร์และเทคโนโลยีแห่งประเทศไทย ครั้งที่ 27 ณ โรงแรม ลีการ์เด้น พลาซ่า จ. สงขลา. หน้า 677.

ขจรเกียรติ์ แซ่ตัน และ ศิริเพ็ญ ตรัยไชยaphr.2544. สาหสัมพันธ์ของสารอาหารและความหลากหลาย ทางชีวภาพของแพลงก์ตอนพืช ในอ่างเก็บน้ำเขื่อนแม่น้ำแม่กลอง จังหวัดเชียงใหม่ (I) (มกราคม – เมษายน 2544). การประชุมวิชาการทรัพยากรและสิ่งแวดล้อมทางน้ำนานาชาติ: การจัดการและการใช้ประโยชน์อย่างยั่งยืน จังหวัดเชียงใหม่ 2544. การจัดการและการใช้ประโยชน์อย่างยั่งยืน จังหวัดเชียงใหม่. การประชุมเสนอผลงานวิจัยระดับบัณฑิตศึกษาของประเทศไทย ครั้งที่ 3. ณ มหาวิทยาลัย เทคโนโลยีสุรนารี จ. นครราชสีมา. หน้า 517.

ขจรเกียรติ์ แซ่ตัน และ ศิริเพ็ญ ตรัยไชยaphr.2545. สาหสัมพันธ์ของอัตราส่วนของในโตรเจน และฟอสฟอรัสต่อการแพร่กระจายของสาหร่ายสีเขียวแกมน้ำเงินในต่างระดับความลึก ของอ่างเก็บน้ำเขื่อนแม่น้ำแม่กลอง จังหวัดเชียงใหม่ (II) (พฤษภาคม – สิงหาคม 2544) การประชุมเสนอผลงานวิจัยระดับบัณฑิตศึกษาของประเทศไทย ครั้งที่ 3. ณ มหาวิทยาลัย เทคโนโลยีสุรนารี จ. นครราชสีมา. หน้า 55.

ขจรเกียรติ์ แซ่ตัน และ ศิริเพ็ญ ตรัยไชยaphr.2544. ความสัมพันธ์ของอัตราส่วนของในโตรเจน และฟอสฟอรัสต่อการแพร่กระจายของสาหร่ายสีเขียวแกมน้ำเงินในต่างระดับความลึก ของอ่างเก็บน้ำเขื่อนแม่น้ำแม่กลอง จังหวัดเชียงใหม่ III (กันยายน – ธันวาคม 2544). การประชุมวิชาการวิทยาศาสตร์และเทคโนโลยีแห่งประเทศไทย ครั้งที่ 28 ณ ศูนย์ การประชุมแห่งชาติสิริกิติ์ กรุงเทพฯ. หน้า 404.

Saeton, K. and Traichaiyaporn, S. 2001. Vertical Distribution of Blue - green Algae in the Mae Ngat Somboonchol Reservoir Chiang Mai, Thailand. Phycologia. 40(4): 105.